

การໂຄລນ ກາຣແສດງອອກຂອງເອັມວາຣ໌ເລື້ນແອ ແລະ ພລຂອງແອນຕາໂກນິສຕໍ
ຂອງເມລາໂນຄອຕິນ 4 ຮີເຊປ່ເຕອຮ່ຕ່ອກກິນໄດ້ໃນປລາສລິດ

ນາງສາວອາຮຍາ ແຈ້ງໄພຣ

ນາງວິໄລຍະເທດໂນໂລຢີສຽນກາຮ

ວິຖານີພນົນນີ້ເປັນສ່ວນໜຶ່ງຂອງກາຮສຶກສາຕາມຫລັກສູດປະລິງວິທຍາສາສົດມາບັນຫຼິດ
ສາຂາວິທະເຫດໂນໂລຢີກາຮຜລິດສັດວ່
ມາວິທຍາລັຍເທດໂນໂລຢີສຽນກາຮ
ປີກາຮສຶກສາ 2553

**CLOTHING, EXPRESSION OF mRNA, AND ANTAGONIST
EFFECT OF MELANOCORTIN 4 RECEPTOR (*MC4R*) ON
FEED INTAKE IN SNAKESKIN GOURAMI
(*TRICHOGASTER PECTORALIS*)**

Araya Jangprai

**A Thesis Submitted in Partial Fulfillment of the Requirements for the
Degree of Master of Science in Animal Production Technology**

Suranaree University of Technology

Academic Year 2010

การໂຄລນ ການແສດງອອກຂອງເອັນອາຮ່ເອົ້ນເອ ແລະພລບຂອງແອນຕາໂກນິສຕໍ່ຂອງເມລາໂນໂຄຕິນ
4 ຮີເຊປ່ເຕອຣ໌ຕ່ອງກິນໄດ້ໃນປລາສລິດ

ມາຮວັດວາດ້ວຍເທິກໂນໂລຢີສຸຽນໄວ້ ອຸນຸມຕິໃຫ້ນັບວິທານິພັນຈີນັບນີ້ເປັນສ່ວນໜຶ່ງຂອງກິດໝາຍ
ຕາມໜັກສູດປະລຸງປາມຫາບັນທຶກ

ຄະນະກຽມກາຮ່ອບວິທານິພັນຈີນ

(ຜ. ດຣ. ປຣາໂມທັນ ແພງຄຳ)

ປະຊາບກຽມກາຮ່ອບ

(ຜ. ດຣ. ສຸວິນທາ ນຸ້ມອນນັ້ນສາຮ)

ກຽມກາຮ່ອບ (ອາຈານຍື່ງປະກິດວິທານິພັນຈີນ)

(ຮ. ດຣ. ມາຣິນາ ເກຫຼັກ-ກາວົນສົ່ງ)

ກຽມກາຮ່ອບ

(ຜ. ນ. ສພ. ດຣ. ບໍ່ມູ້ຈະ ລິຫິດເຂາໂຮງນີ້)

ກຽມກາຮ່ອບ

(ອ. ດຣ. ອມຮັດນີ້ ໂມພີ)

ກຽມກາຮ່ອບ

(ອ. ດຣ. ຖຸພີ ດ່ານກິດຕິກຸລ)
ຮັກຍາກາຮ່ອບຮ່ວມມືກິດຕິກຸລ

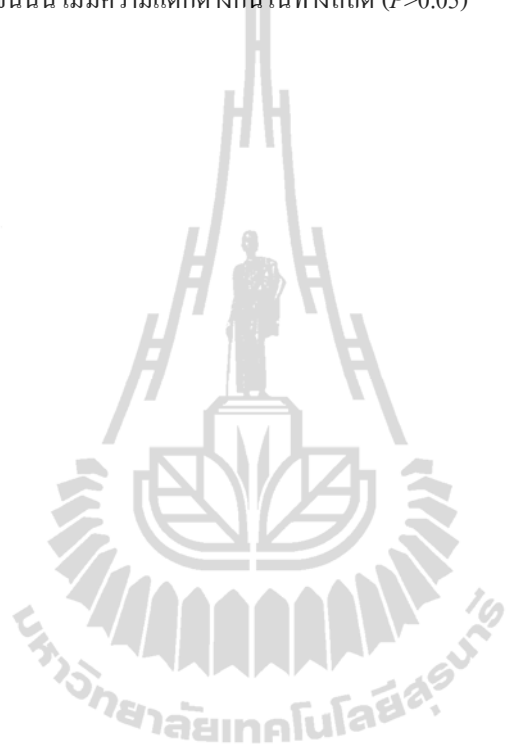
(ຜ. ດຣ. ສູວັຫຍ່ ນິງສານນິ້)
ຄະນະດີສຳນັກວິທາເທິກໂນໂລຢີກາຮ່ອບ

อาจารย์ แจ้ง ไพร : การโคลน การแสดงออกของเอ็มอาร์เอ็นเอ และผลของแอนต้าโกนิสต์
ของเมลาโนคอติน 4 รีเซปเตอร์ต่อการกินได้ในปลาสลิด (CLONING, EXPRESSION OF
mRNA, AND ANTAGONIST EFFECT OF MELANOCORTIN 4 RECEPTOR (MC4R)
ON FEED INTAKE IN SNAKESKIN GOURAMI (*TRICHOGASTER PECTORALIS*))

อาจารย์ที่ปรึกษา : ผู้ช่วยศาสตราจารย์ ดร.สุรินทร์ บุญอนันนชานสาร, 163 หน้า.

ปลาสลิด (*Trichogaster pectoralis*) เป็นปลาที่มีความสำคัญทางเศรษฐกิจ และเป็นปลาที่นิยมเลี้ยงเป็นปลาสวยงาม แต่การศึกษาทางด้านลักษณะทางพันธุกรรมและทางอนุพันธุวิทยาของปลาสลิดซึ่งมีอยู่น้อยมาก ขึ้นเมลาโนคอติน 4 รีเซปเตอร์ (melanocortin 4 receptor; MC4R) มีความเกี่ยวข้องกับสมรรถภาพการเร Jin เนื่องจาก MC4R จากระดับ RNA ของปลาสลิด (*TpMC4R*) พบว่า โปรตีน *TpMC4R* มีความคล้ายคลึงกับ โปรตีน MC4R จากปลาสลิด (*Trichogaster pectoralis*) (*TpMC4R*) พบว่า โปรตีน *TpMC4R* มีความคล้ายคลึงกับ โปรตีน MC4R จากสัตว์มีกระดูกสันหลังอื่น ๆ ผลการวิเคราะห์โดยการสร้าง Phylogenetic tree ของ โปรตีน *TpMC4R* กับ โปรตีน melanocortin receptor ชนิดต่าง ๆ ของสัตว์มีกระดูกสันหลัง พบว่า โปรตีน *TpMC4R* อยู่ในกลุ่มเดียวกันกับ โปรตีน MC4R ของสัตว์มีกระดูกสันหลัง และ โปรตีน *TpMC4R* มีความสัมพันธ์ทางวิวัฒนาการใกล้เคียงกับปลากระดูกแข็งมากที่สุด การศึกษาการแสดงออกของยีน *TpMC4R* ในระหว่างการพัฒนาการของตัวอ่อนที่ระยะเวลา 5, 7, 11, 15, 21, 24 และ 48 ชั่วโมงหลังจากที่ปลาสลิดวางไข่ (hours post spawning : hps) รวมไปถึงไข่ที่ไม่ได้รับการปฏิสนธิ พบร่วมกับยีน *TpMC4R* มีการแสดงออกในทุกระยะของการพัฒนาการของตัวอ่อน นอกจากนี้ *TpMC4R* ยังมีการแสดงออกในไข่ที่ไม่ได้รับการปฏิสนธิตัวอ่อน แสดงให้เห็นว่า ยีน *TpMC4R* จัดเป็น maternal ยีนและจากการวิเคราะห์ระดับการแสดงออกของยีน *TpMC4R* ด้วยเทคนิค Real time RT-PCR ในอวัยวะต่าง ๆ ของปลาสลิดที่ระยะเวลา トイเต้มวัย พบร่วมกับยีน *TpMC4R* มีการแสดงออกมากที่สุด ในสมองทุกส่วนและในอณฑะ (testis) อวัยวะที่มีการแสดงออกของยีน *TpMC4R* ในระดับปานกลาง คือ เหงือก (gill) ตับ (liver) ไตส่วนบน (head kidney) ไตส่วนล่าง (trunk kidney) ลำไส้ (intestine) กล้ามเนื้อ (muscle) และ รังไข่ (ovary) อวัยวะที่มีการแสดงออกของยีน *TpMC4R* ในระดับต่ำ คือ กระเพาะอาหาร (stomach) และ อวัยวะที่มีการแสดงออกของยีน *TpMC4R* ในระดับต่ำที่สุด คือ ปอด (lung) การศึกษาเบรปีชบที่ขับระดับการแสดงออกของยีน *TpMC4R* ในสมองแต่ละส่วนของปลาสลิดในระหว่างมื้ออาหาร ได้ทำการฝึกให้ปลาสลิดกินอาหารวันละ 2 มื้อ ในเวลา 10.00 และ 16.00 น. และทำการวิเคราะห์ระดับการแสดงออกของยีน *TpMC4R* ที่เวลา 9.00 11.00 13.00 และ 15.00 น. พบร่วมกับปลาสลิดมีการแสดงออกของยีน *TpMC4R* ลดลงอย่างมีนัยสำคัญทางสถิติ ที่เวลา 15.00 น. หรือ 1 ชั่วโมงก่อนอาหารเย็น และเมื่อทำการศึกษาผลของการอดอาหารต่อการแสดงออกของยีน *TpMC4R* โดยทำการวิเคราะห์ระดับของยีน *TpMC4R* ที่

ระยะเวลาการอดอาหาร 6 12 18 และ 24 ชั่วโมง พนบว่าที่เวลาการอดอาหาร 6 และ 12 ชั่วโมงมีระดับการแสดงออกของยีน *TpMC4R* ในระดับต่ำอย่างมีนัยสำคัญทางสถิติ ผลการศึกษานี้แสดงให้เห็นว่า ยีน *TpMC4R* มีความสัมพันธ์กับการกินอาหารในรอบวันและสมดุลพลังงานในระหว่างการอดอาหาร และการศึกษาผลของ MC4R antagonist (HS024) ต่อการกินได้ในปลาสลิด ที่นี่ HS024 ที่ระดับ 1 $\mu\text{g}/\text{kg}$ และ 3 $\mu\text{g}/\text{kg}$ เปรียบเทียบกับปลาที่ไม่ได้รับการฉีด (กลุ่มควบคุม) และปลาสลิดที่มีการฉีดด้วยน้ำเกลือ (0.9% NaCl) พนบว่าปลาสลิดที่ฉีดด้วย antagonist HS024 มีการกินได้ที่เพิ่มขึ้นอย่างไรก็ตามการกินได้ที่เพิ่มขึ้นนี้ไม่มีความแตกต่างกันในทางสถิติ ($P>0.05$)



สาขาวิชาเทคโนโลยีการผลิตสัตว์
ปีการศึกษา 2553

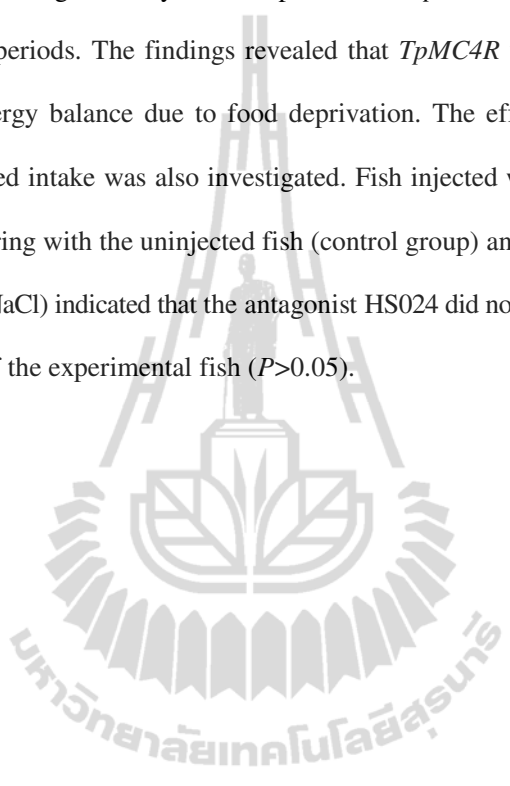
ลายมือชื่อนักศึกษา _____
ลายมือชื่ออาจารย์ที่ปรึกษา _____
ลายมือชื่ออาจารย์ที่ปรึกษาร่วม _____

ARAYA JANGPRAI : CLONING, EXPRESSION OF mRNA, AND
ANTAGONIST EFFECT OF MELANOCORTIN 4 RECEPTOR (*MC4R*) ON
FEED INTAKE IN SNAKESKIN GOURAMI (*TRICHOGASTER*
PECTORALIS). THESIS ADVISOR : ASST. PROF. SURINTORN
BOONANUNTANASARN, Ph.D., 163 PP.

MELANOCORTIN 4 RECEPTOR/ MC4R/ MC4R ANTAGONIST/ FEED INTAKE/
SNAKESKIN GOURAMI/ *Trichogaster pectoralis*

Snakeskin gourami (*Trichogaster pectoralis*) has been not only important as commercial species but also popular as aquarium fish, but its genetic aspects including conventional and molecular genetic studies are limited. Melanocortin 4 receptor (*MC4R*) has been reported to involve with growth performance and control of energy homeostasis in animals. Characterization of MC4R from Snakeskin gourami (*Trichogaster pectoralis*) (*TpMC4R*) showed that its protein sequence is similar to that of vertebrates. Phylogenetic trees analysis of TpMC4R and other vertebrates melanocortin receptors showed that TpMC4R was MC4R orthologues, closely related to piscine MC4Rs. *TpMC4R* expression was determined during embryogenesis at 5, 7, 11, 15, 21, 24 and 48 hours post spawning (hps). The expression of *TpMC4R* was also analyzed in unfertilized egg. The *TpMC4R* transcripts were detected in embryo at all developmental stages. Its mRNA was also detected in unfertilized eggs, suggesting that *TpMC4R* could be classified as maternal mRNA. Real-time RT-PCR graded expression in each organ of adult fish indicated that *TpMC4R* expression was strong in all brain regions and testis; moderate in gill, liver, head kidney, trunk kidney, intestine, muscle and ovary; low in stomach; and rare

in spleen. Fish were fed twice a day at 10:00 and 16:00, the expression profile of *TpMC4R* during daily feeding in each region of the brain was examined at 9:00, 11:00, 13:00 and 15:00. Significant reduction of the *TpMC4R* expression was seen at 15:00 (1 h before dinner). Moreover, effects of short term fasting (6, 12, 18 and 24 h) on *TpMC4R* expression were determined. Significantly lower expression of *TpMC4R* was observed at 6 and 12 hour fasting periods. The findings revealed that *TpMC4R* was related to daily feed intake and energy balance due to food deprivation. The effect of MC4R antagonist (HS024) on feed intake was also investigated. Fish injected with HS024 at 1 and 3 µg/kg-fish comparing with the uninjected fish (control group) and fish injected with normal saline (0.9% NaCl) indicated that the antagonist HS024 did not significantly increase the feed intake of the experimental fish ($P>0.05$).



School of Animal Production Technology Student's Signature _____

Academic Year 2010 Advisor's Signature _____

Co-advisor's Signature

กิตติกรรมประกาศ

วิทยานิพนธ์เล่มนี้สำเร็จลุล่วงด้วยดี เนื่องจากได้รับความช่วยเหลืออย่างดีเยี่ยม ทั้งด้านวิชาการ และด้านดำเนินงานวิจัย จากบุคคลและกลุ่มนักคิดต่าง ๆ ได้แก่

ผู้ช่วยศาสตราจารย์ ดร.สุรินทร์ บุญอนันต์นรา อาจารย์ที่ปรึกษาวิทยานิพนธ์ ที่ให้โอกาส การศึกษาให้คำแนะนำและแนวคิดที่เป็นประโยชน์ทั้งด้านวิชาการ ด้านการดำเนินการวิจัยตลอดจน การช่วยตรวจสอบดำเนินการเขียน และการตรวจแก้ไขวิทยานิพนธ์ อีกทั้งการสนับสนุนงบประมาณ ในการดำเนินการวิจัยจนเสร็จสมบูรณ์ด้วยดี และขอกราบขอบพระคุณอาจารย์ประจำสาขาวิชา เทคโนโลยีการผลิตสัตว์ทุกท่านที่ได้กรุณายกย่องสั่งสอน ถ่ายทอดความรู้และประสบการณ์

ขอขอบคุณสถาบันวิจัยและพัฒนา มหาวิทยาลัยเทคโนโลยีสุรนารี และสำนักงานกองทุน สนับสนุนการวิจัย โครงการทุนบัณฑิต ศกว. สาขาวิชาศาสตร์และเทคโนโลยี-มหาวิทยาลัย เทคโนโลยีสุรนารี ซึ่งให้การสนับสนุนงบประมาณในการดำเนินงานวิจัย ขอขอบคุณพาร์ม มหาวิทยาลัย อาคารศูนย์เครื่องมือวิชาศาสตร์และเทคโนโลยี 3 รวมทั้งบุคลากรของมหาวิทยาลัย เทคโนโลยีสุรนารี ที่ให้ความอนุเคราะห์สถานที่ เครื่องมือ อุปกรณ์ และอำนวยความสะดวกต่าง ๆ ในการทำวิจัยในครั้งนี้

ขอขอบคุณเพื่อน ๆ พี่น้อง สาขาวิชาเทคโนโลยีการผลิตสัตว์ทุกท่าน ที่ให้คำปรึกษาและ ให้ความช่วยเหลือในระหว่างการทำวิทยานิพนธ์

สำหรับคุณความดีอันได้ที่เกิดจากวิทยานิพนธ์เล่มนี้ ผู้วิจัยขอขอบใจกับบุคคลมาตรา ซึ่ง เป็นที่รักและเคารพยิ่ง ญาติพี่น้อง ตลอดจนครูอาจารย์ที่เคารพทุกท่านที่ได้ประสิทธิ์ประสาทวิชา ความรู้และถ่ายทอดประสบการณ์ที่ดีให้แก่ผู้วิจัยตลอดมา จนทำให้ประสบความสำเร็จในการศึกษา

อารยา แจ้งไพร

สารบัญ

หน้า

บทคัดย่อ (ภาษาไทย).....	ก
บทคัดย่อ (ภาษาอังกฤษ).....	ก
กิตติกรรมประกาศ.....	ก
สารบัญ.....	ช
สารบัญตาราง.....	ฉ
สารบัญภาพ.....	ฉ
บทที่	
1 บทนำ	1
1.1 ความสำคัญและที่มาของปัจจัยการทำวิจัย	1
1.2 วัตถุประสงค์ของการวิจัย.....	3
1.3 สมมติฐานของการวิจัย.....	3
1.4 ขอบเขตของการวิจัย	4
1.5 ประโยชน์ที่คาดว่าจะได้รับ.....	4
2 วรรณกรรมและเอกสารที่เกี่ยวข้อง	5
2.1 ชีววิทยาของปลาสกิด	5
2.2 ระบบเมลาโนคอดิน	10
2.3 เมลาโนคอดิน	10
2.4 เมลาโนคอดินรีเซปเตอร์	11
2.5 Melanocotin 4 receptor (MC4R)	14
2.5.1 โครงสร้างของ MC4R	14
2.5.2 การแสดงออกของ MC4R	15
2.6 บทบาทของ MC4R	15
2.6.1 บทบาทของ MC4R ต่อระบบสืบพันธุ์	15
2.6.2 บทบาทของ MC4R ต่อความเครียด.....	16
2.6.3 บทบาทของ MC4R ต่อการควบคุมสมดุลของพลังงาน.....	16
2.6.4 บทบาทของ MC4R ต่อการควบคุมการกิน.....	19

สารบัญ (ต่อ)

หน้า

2.7 การเขียนการทำงานของยีน <i>MC4R</i> ต่อการกินได้.....	22
3 วิธีดำเนินการวิจัย.....	28
3.1 ปลาสลิดที่ใช้ในการศึกษา	28
3.2 สถานที่ทำการทดลอง	28
3.3 อุปกรณ์และสารเคมี	28
3.4 แผนการดำเนินงานที่ 1 การโคเลน cDNA ของยีน <i>TpMC4R</i> เส้นสมมูลรั้น และการศึกษาการแสดงออกของ mRNA ของ <i>TpMC4R</i> ในระหว่างการพัฒนาการของตัวอ่อนและในอวัยวะต่าง ๆ ของปลาสลิด	31
3.4.1 การโคเลน cDNA ของยีน <i>TpMC4R</i> และยีน β -actin ด้วย วิธี Rapid Amplification of cDNA Ends (RACE) Amplification.....	31
3.4.2 การวิเคราะห์การแสดงออกของ mRNA ของยีน <i>TpMC4R</i> ในระหว่างการพัฒนาการของตัวอ่อนปลาสลิด.....	57
3.4.3 การวิเคราะห์การแสดงออกของ mRNA ของยีน <i>TpMC4R</i> ในอวัยวะต่าง ๆ	61
3.5 แผนการดำเนินงานที่ 2 การศึกษาระดับการแสดงออกของ mRNA ของ <i>TpMC4R</i> ในระหว่างมื้ออาหารของการกินอาหารปกติ และพฤติกรรมการอดอาหารระยะสั้นต่อการแสดงออกของ mRNA ของ <i>TpMC4R</i> ในปลาสลิด	64
3.5.1 การศึกษาการแสดงออกของ mRNA ของ <i>TpMC4R</i> ในระหว่างมื้ออาหารของการกินอาหารปกติ.....	64
3.5.2 การศึกษาการแสดงออกของ mRNA ของ <i>TpMC4R</i> ในสภาวะการอดอาหาร	65

สารบัญ (ต่อ)

หน้า

3.6	แผนการดำเนินงานที่ 3 การศึกษาผลของ MC4R antagonist ต่ออัตราการกินไข่ของปลาสลิด และการแสดงออกของ mRNA ของ <i>TpMC4R</i> ในปลาสลิด	65
3.6.1	การศึกษาผลของ MC4R antagonist ต่ออัตราการ กินไข่ของปลาสลิด	65
3.6.2	การศึกษาระดับการใช้ MC4R antagonist ต่อการแสดง ออก mRNA ของยีน <i>TpMC4R</i>	67
4	ผลการศึกษา.....	69
4.1	แผนการดำเนินงานที่ 1 การโคลน cDNA ของยีน <i>TpMC4R</i> เส้นสมบูรณ์ และการศึกษาการแสดงออกของ mRNA ของ <i>TpMC4R</i> ในระหว่างการพัฒนาการของตัวอ่อนและในวัยวะต่าง ๆ ของปลาสลิด	69
4.1.1	การโคลน cDNA ของยีน <i>TpMC4R</i> ด้วย วิธี Rapid Amplification of cDNA Ends (RACE) Amplification	69
4.1.2	การศึกษาคุณลักษณะและโครงสร้างของ cDNA เส้นสมบูรณ์ของยีน <i>TpMC4R</i>	87
4.1.3	การศึกษาความสัมพันธ์ทางวิถีทางการของยีน <i>TpMC4R</i> ของปลาสลิดและสัตว์มีกระดูกสันหลังชนิดต่าง ๆ	92
4.1.4	การโคลน cDNA ของยีน β -actin ในปลาสลิด.....	97
4.1.5	การวิเคราะห์การแสดงออกของ mRNA ของยีน <i>TpMC4R</i> ในระหว่างการพัฒนาการของตัวอ่อนปลาสลิด.....	111
4.1.6	การวิเคราะห์การแสดงออกของ mRNA ของยีน <i>TpMC4R</i> ในวัยวะต่าง ๆ	112

สารบัญ (ต่อ)

หน้า

4.2	แผนการดำเนินงานที่ 2 การศึกษาระดับการแสดงออกของ mRNA ของ <i>TpMC4R</i> ในระหว่างมื้ออาหารของการกินอาหารปกติ และผลของการอดอาหารระยะสั้นต่อการแสดงออกของ mRNA ของ <i>TpMC4R</i> ในปลาสลิด114
4.2.1	การศึกษาการแสดงออกของ mRNA ของ <i>TpMC4R</i> ในระหว่างมื้ออาหารของการกินอาหารปกติการเปลี่ยน114
4.2.2	การศึกษาการแสดงออกของ mRNA ของ <i>TpMC4R</i> ในสภาวะการอดอาหาร116
4.3	แผนการดำเนินงานที่ 3 การศึกษาผลของ MC4R antagonist ต่ออัตราการกินไข่ของปลาสลิด และการแสดงออกของ mRNA ของ <i>TpMC4R</i>119
4.3.1	การศึกษาผลของ MC4R antagonist ต่ออัตราการ กินไข่ของปลาสลิด119
4.3.2	การศึกษาผลการใช้ MC4R antagonist ต่อการแสดง ออก mRNA ของยีน <i>TpMC4R</i>121
5	อภิปรายผล125
6	สรุปและข้อเสนอแนะ134
	รายการอ้างอิง136
	ภาคผนวก143
	ภาคผนวก ก การเตรียมอาหารเลี้ยงเชื้อและสารละลาย144
	ภาคผนวก ข ตารางการวิเคราะห์ Melting curve และการวิเคราะห์วารีเอนส์149
	ประวัติผู้เขียน163

สารบัญตาราง

ตารางที่	หน้า
1.1 ปริมาณและมูลค่าต่อหน่วยน้ำหนัก ของปริมาณผลผลิต การเคลื่บสัตว์นำจีด 5 อันดับแรกของประเทศไทย ปี 2548.....	2
2.1 สรุปการเพาะพันธุ์ และการเจริญเติบโตของปลาสลิด.....	7
2.2 ความขาวของโปรตีน MC4R ในสัตว์มีกระดูกสันหลังชนิดต่าง ๆ	13
2.3 การเปรียบเทียบสารสังเคราะห์ α -MSH, MC4R antagonists (SH9119, HS131, HS014, HS024) และ MC4R agonist (MTII)	22
2.4 ผลของ MC4R antagonist ต่อการกินได้ในสัตว์.....	24
3.1 ไฟรเมอร์ที่ใช้ในการศึกษา.....	37
4.1 เปลอร์เซ็นต์ความคล้ายคลึงกันของลำดับกรดอะมิโนที่สมมูลน์ และ Transmembrane (TM) domain ระหว่าง TpMC4R และ MC4R ของปลากระดูกแข็งชนิดต่าง ๆ ไก่ และคน	90
5.1 การแสดงออกของยีน MC4R ในไก่และปลาชนิดต่าง ๆ	133

สารบัญภาพ

ภาพที่	หน้า
2.1 ปลาสลิด.....	5
2.2 ระบบ melanocortin ในสมองต่อการรักษาสมดุลพัล้งงาน	18
2.3 การทำงานของ <i>MC4R</i> ต่อการควบคุมการกินได้	21
3.1 การ alignment ของลำดับนิวคลีโอไทด์ของยีน <i>MC4R</i> ในสัตว์ มีกระดูกสันหลังชนิดต่าง ๆ และการออกแบบไพรเมอร์สำหรับ การโคลน cDNA ของยีน <i>MC4R</i> ด้านปลาย 3' ของปลาสลิด	34
3.2 แผนภาพพลาสมิเดเวคเตอร์ pGEM®-T Easy และลำดับนิวคลีโอไทด์ และ Multi-cloning site ของพลาสมิเดเวคเตอร์ pGEM® -T Easy	40
3.3 การ alignment ของลำดับนิวคลีโอไทด์ของยีน <i>TpMC4R</i> ด้านปลาย 3' ของปลาสลิด กับยีน <i>MC4R</i> ในสัตว์มีกระดูกสันหลัง ชนิดต่าง ๆ และการออกแบบไพรเมอร์สำหรับการโคลน cDNA ของยีน <i>TpMC4R</i> ด้านปลาย 5' ของปลาสลิด	46
3.4 การ alignment ของลำดับนิวคลีโอไทด์ของยีน β -actin ของปลา ชนิดต่าง ๆ และการออกแบบไพรเมอร์สำหรับการโคลน cDNA ของยีน β -actin ของปลาสลิด	53
3.5 การออกแบบไพรเมอร์ที่มีชิ้นดีอี็นขนาด 289 bp จากลำดับ นิวคลีโอไทด์ของ cDNA ของยีน <i>TpMC4R</i> เส้นสมบูรณ์ ในปลาสลิด	59
3.6 การออกแบบไพรเมอร์ที่มีชิ้นดีอี็นขนาด 95 bp จากลำดับ นิวคลีโอไทด์ของ cDNA ยีน β -actin ด้านปลาย 3' ในปลาสลิด	60
4.1 ผลของ Primary PCR ของการโคลน cDNA ของ <i>MC4R</i> ด้านปลาย 3' ด้วยวิธี RACE.....	70
4.2 ผลของ Second PCR ของการโคลน cDNA ของ <i>MC4R</i> ด้านปลาย 3' ด้วยวิธี RACE.....	71

สารบัญภาพ (ต่อ)

ภาพที่	หน้า
4.3 ผลการแยกขนาดและการทำให้บริสุทธิ์ของ cDNA ของ second PCR.....	72
4.4 การตรวจสอบโคโนโลนีที่มีพลาสมิด recombinant DNA ด้วยวิธีอ่าย่างง่าย.....	74
4.5 พลาสมิดดีเอ็นเอที่มีชิ้นส่วนของ cDNA ของ <i>MC4R</i> ด้านปลาย 3' ที่มีการเชื่อมต่อเวลาเตอร์	76
4.6 การตรวจสอบการเชื่อมต่อของพลาสมิดที่มี cDNA ของ <i>MC4R</i> โดยการตัดพลาสมิดด้วยอีนไซม์ตัดจำพวก <i>Eco RI</i>	76
4.7 ผลการการแปลงลำดับนิวคลีโอไทด์ไปเป็นลำดับกรดอะมิโนของ cDNA ของยีน <i>MC4R</i> ด้านปลาย 3' ของปลาสลิด	78
4.8 ผลของ Primary PCR และ second PCR ของการโคลน cDNA ของ <i>MC4R</i> ด้านปลาย 5'	80
4.9 ผลการแยกขนาดและการทำให้บริสุทธิ์ของ cDNA ของ Third PCR.....	82
4.10 การตรวจสอบโคโนโลนีที่มีพลาสมิด recombinant DNA ของ ยีน <i>MC4R</i> ด้านปลาย 5' ด้วยวิธีอ่ายางง่าย	84
4.11 พลาสมิดดีเอ็นเอที่มีชิ้นส่วนของ cDNA ของยีน <i>TpMC4R</i> ด้านปลาย 5' ที่มีการเชื่อมต่อเวลาเตอร์	86
4.12 การตรวจสอบการเชื่อมต่อของพลาสมิดที่มี cDNA ของยีน <i>TpMC4R</i> ด้านปลาย 5' โดยการตัดพลาสมิดด้วยอีนไซม์ตัดจำพวก <i>Eco RI</i>	86
4.13 ลำดับนิวคลีโอไทด์และลำดับกรดอะมิโนของ <i>TpMC4R</i>	89
4.14 การเปรียบเทียบลำดับกรดอะมิโนระหว่าง <i>TpMC4R</i> และ <i>MC4R</i> ของปลากระดูกแข็งชนิดต่าง ๆ ไก่ และคน	91
4.15 Phylogenetic tree ของโปรตีน melanocortin receptor	93
4.16 Phylogenetic tree ของโปรตีน melanocortin 4 receptor	95
4.17 ผลของ PCR ของการโคลน cDNA ของยีน β -actin	98
4.18 ผลการแยกขนาดและการทำให้บริสุทธิ์ของ cDNA ของยีน β -actin	100
4.19 การตรวจสอบโคโนโลนีที่มีพลาสมิด recombinant DNA ของยีน β -actin ด้านปลาย 3' ด้วยวิธีอ่ายางง่าย.....	102

สารบัญภาพ (ต่อ)

ภาพที่	หน้า
4.20 การตรวจสอบโคโนนีที่มีพลาสมิด recombinant DNA ของยีน β -actin ที่มีขนาดประมาณ 500 bp จากการ ใช้ gene specific primer (GSP) ด้วยวิธีอ่าย่างง่าย	103
4.21 พลาสมิดดีเอ็นเอที่มีชิ้นส่วนของ cDNA ของยีน β -actin จากการใช้ gene specific primer (GSP) และชิ้นส่วนของ cDNA ของยีน β -actin ด้านปลาย 3' ที่มีการเชื่อมต่อเวกเตอร์	104
4.22 การตรวจสอบการเชื่อมต่อของพลาสมิดที่มีชิ้นส่วนของ cDNA ของยีน β -actin โดยการตัดพลาสมิด ด้วยอีนไซม์ตัดจำเพาะ Eco RI	105
4.23 ผลการแปลงลำดับนิวคลีโอไฮด์เป็นกรดอะมิโน ¹ ของ cDNA ของยีน β -actin ด้านปลาย 3' ในปลาสลิดด้วยวิธี RACE (Tp actin 3'RACE)	107
4.24 ผลการแปลงลำดับนิวคลีโอไฮด์ไปเป็นกรดอะมิโน ¹ ของ cDNA ของยีน β -actin ในปลาสลิด ด้วยวิธี PCR โดยใช้ gene specific primer (Tp actin GSP)	109
4.25 ผลการเปรียบเทียบลำดับกรดอะมิโนของ cDNA ของยีน β -actin ของปลาสลิดและปลาชนิดต่าง ๆ	110
4.26 การแสดงออกของ mRNA ของยีน <i>TpMC4R</i> ในระหว่างการพัฒนาการของตัวอ่อนที่ระยะต่าง ๆ ของปลาสลิด	111
4.27 การแสดงออกของ mRNA ของยีน <i>TpMC4R</i> ในอวัยวะต่าง ๆ ของปลาสลิด	113
4.28 ระดับการแสดงออกของ mRNA ของยีน <i>TpMC4R</i> ในระหว่างมื้ออาหาร (daily feeding)	115
4.29 ระดับการแสดงออกของ mRNA ของยีน <i>TpMC4R</i> ในสภาวะการอดอาหารระยะสั้น (short fasting period)	117
4.30 ระดับกลูโคสในเลือดของปลาสลิดที่มีการอดอาหารในระยะสั้น	118

สารบัญภาพ (ต่อ)

ภาพที่

หน้า

4.31 ผลของ MC4R antagonist (HS024) ต่อการกินได้ของปลาสติดโดยทำการฉีด HS024 ที่ความเข้มข้น HS024 1 µg/kg และ 3 µg/kg	120
4.32 ผลของการฉีด HS024 ต่อระดับการแสดงออกของ mRNA ของ <i>TpMC4R</i> ในสมองของปลาสติด	122
4.33 ผลของการแช่ (incubate) สมองปลาสติดในสาร MC4R antagonist (HS024) ในระดับต่าง ๆ ต่อการแสดงออกของ mRNA ของ <i>TpMC4R</i> ในสมองของปลาสติด.....	124

บทที่ 1

บทนำ

1.1 ความสำคัญและที่มาของปัญหาในการทำวิจัย

ปลาสลิด (*Trichogaster pectoralis*) เป็นปลาชนิดน้ำจืดที่มีความสำคัญทางเศรษฐกิจชนิดหนึ่งของประเทศไทย ถึงแม้ว่าปลาสลิดจะมีปริมาณการผลิตและมูลค่าของผลผลิตเป็นอันดับที่ 4 ของผลผลิตสัตว์น้ำจืดในประเทศไทยของลงมาจาก ปลา尼ล ปลาดุก และปลาตะเพียน แต่ปลาสลิดมีมูลค่าต่อหน่วยน้ำหนักสูงสุด (ตารางที่ 1.1) ปลาสลิดถูกนำไปประกอบอาหารทั้งในรูปปลาสด ทำคั่มและตากแห้ง โดยเฉพาะผลิตภัณฑ์ปลาสลิดตากแห้งเป็นที่นิยมบริโภคทั้งในประเทศ และส่งออก จำนวนอย่างต่อเนื่อง โดยเฉพาะผลิตภัณฑ์ปลาสลิดตากแห้งที่ผลิตปลาสลิดปริมาณมากคือ พื้นที่ในจังหวัดสมุทรปราการ ซึ่งเป็นแหล่งผลิตปลาสลิดใหญ่ที่มีชื่อเสียงทั่วภูมิภาค ต่อมาได้มีการขยายพื้นที่เลี้ยงไปยังจังหวัดอื่น ๆ ได้แก่ สมุทรสาคร สมุทรสงคราม ฉะเชิงเทรา และสุพรรณบุรี

รูปแบบหรือระบบการเลี้ยงปลาสลิดโดยส่วนใหญ่จะเป็นระบบการเลี้ยงแบบธรรมชาติ (extensive system) โดยเป็นการเลี้ยงแบบอาศัยอาหารธรรมชาติ ได้แก่ พอกแพลงก์ตอนพืช แพลงก์ตอนสัตว์ และพืชน้ำ เป็นหลัก โดยเกณฑ์การใช้วิธีการตัดหญ้าข้าง ๆ บ่อไปมักเพื่อให้เกิดการเน่าสลายและความอุดมสมบูรณ์ ต่อมารูปแบบการเลี้ยงได้มีการพัฒนาเป็นระบบการเลี้ยงแบบกึ่งพัฒนา (semi-intensive system) กล่าวคือ มีการให้อาหารสมทบในช่วงท้ายของการเลี้ยงเพื่อขุนปลาให้โตเร็วขึ้น พื้นที่ที่ใช้เลี้ยงปลาสลิดมักจะเป็นบ่อที่มีพื้นที่ขนาดใหญ่ตั้งแต่ 10 ไร่ขึ้นไป ถึง มากกว่า 100 ไร่ จะเห็นได้ว่าการเพาะเลี้ยงปลาสลิดต้องใช้พื้นที่ขนาดใหญ่ ซึ่งพื้นที่ที่เหมาะสมในการเพาะเลี้ยงปลาสลิดในเขตจังหวัดสมุทรปราการ สมุทรสาครนั้น ได้เปลี่ยนไปเป็นพื้นที่สำหรับตั้งโรงงานอุตสาหกรรม นอกจากนี้การขยายตัวของกรุงเทพมหานคร ทำให้พื้นที่ในจังหวัดดังกล่าวเปลี่ยนเป็นพื้นที่บ้านจัดสรรสำหรับอยู่อาศัย และทำเป็นสนามบินของประเทศไทย จึงทำให้แนวโน้มของพื้นที่ที่ใช้ในการผลิตปลาสลิดลดลงอย่างต่อเนื่อง

ตารางที่ 1.1 ปริมาณและมูลค่าต่อหน่วยน้ำหนัก ของปริมาณผลผลิตการเลี้ยงสัตว์น้ำจีด 5 อันดับ

แรกของประเทศไทย ปี 2548

อันดับ ของผลผลิต	ปริมาณสัตว์น้ำจีด	มูลค่าผลผลิต	มูลค่าผลผลิต
	จากการเพาะเลี้ยง (1,000 ตัน)	การเลี้ยงสัตว์น้ำ (พันบาท)	ต่อหน่วยน้ำหนัก (บาท/กิโลกรัม)
1. ปลา尼ล	203.7	5,883,668	28.9
2. ปลากุ้ง	142.2	4,616,267	32.5
3. ปลาตะเพียน	60.6	1,776,610	29.3
4. ปลาสลิด	35.9	1,431,951	39.9
5. ปลาสวาย	27.3	564,383	20.7

ที่มา : กลุ่มวิเคราะห์การค้าสินค้าประมงระหว่างประเทศ กองประมงต่างประเทศ กรมประมง

(รวบรวมข้อมูลจากการศึกษา)

รูปแบบการผลิตปลาสลิดที่เป็นแบบระบบการเลี้ยงแบบชุมชนชาติ และกึ่งพัฒนาทำให้ได้ผลผลิตต่อหน่วยพื้นที่ต่ำ ใน การเลี้ยงปลาสลิดโดยทั่วไปจะได้ผลผลิตประมาณ 200-500 กิโลกรัมต่อไร่ ระยะเวลาการเลี้ยงนาน 10-12 เดือน จะเห็นได้ว่ารอบของการเลี้ยงปลาสลิดใช้ระยะเวลานานมากเมื่อเทียบกับสัตว์น้ำชนิดอื่น ประกอบกับการขยายตัวของสัตว์คุณเมื่อทำให้มีการเปลี่ยนพื้นที่ของการเลี้ยงปลาสลิด ไปเป็นพื้นที่อุดสาหกรรมและที่อยู่อาศัยมากขึ้นเรื่อยๆ ทำให้พื้นที่เลี้ยงปลาสลิดมีแนวโน้มที่จะลดลง ถึงแม้ว่าปลาสลิดจะเป็นปลาที่มีความสำคัญทางเศรษฐกิจ และได้มีการพัฒนาเทคโนโลยีการเพาะเลี้ยงและการเพาะพันธุ์ปลาสลิดมาอย่างต่อเนื่อง แต่การศึกษาทางด้านพันธุกรรมปลาสลิด เพื่อนำไปสู่การเพิ่มผลผลิตและการคัดเลือกพันธุ์ปลาบังเมืองน้อยมาก

การพัฒนาเทคโนโลยีทางอุณหภูมิวิทยาทำให้นักวิทยาศาสตร์ได้หันมาสนใจการศึกษาทางด้านเขินที่เกี่ยวข้องกับ พฤติกรรมการกิน (feeding behavior) คุณภาพของพลังงาน (energy homeostasis) การการกินได้ (feed intake) การควบคุมน้ำหนักตัว (body weight regulation) ในสัตว์เศรษฐกิจ เพราะการเพิ่มอัตราการกินได้ในสัตว์และการควบคุมคุณภาพของพลังงานที่เหมาะสมจะส่งผลให้สัตว์ที่เลี้ยงมีอัตราการเจริญเติบโตสูงขึ้น ลดระยะเวลาการเลี้ยงสัตว์ให้สั้นลงได้ จนถึงปัจจุบันนี้ได้มีข้อมูลการศึกษาแสดงการค้นพบ neuropeptides จำนวนมากที่เกี่ยวข้องกับการกินได้ และสมดุลพลังงานในสัตว์ (Baile and Della-Fera, 2009) เขินหนึ่งที่ได้มีการรายงานว่าแสดงผล

เด่นชัดต่อการควบคุมการกินได้คือ เมลาโนคอติน 4 รีเซปเตอร์ (melanocortin 4 receptor; MC4R) เมื่อยืน MC4R มีการเปลี่ยนแปลงลำดับเบส (mutation) เป็นผลให้สุกรมีการเพิ่มการกินได้ (Kim et al., 2000; Kim et al., 2004) และยังมีรายงานการศึกษาถึงการพัฒนาการใช้ยืน MC4R เป็นยืน เครื่องหมายสำหรับการคัดเลือกพันธุ์สุกร (marker-assisted selection) (Kim et al., 2006) นอกจากนี้ ได้มีรายงานการศึกษาการสังเคราะห์ non-peptide antagonists ของยืน MC4R โดยทดลองฉีดสารเข้าไปในปากเพื่อให้หนูกิน ซึ่งพบว่าสามารถเพิ่มอัตราการกินได้ในหนู (Tucci et al., 2005) ดังนั้นในการศึกษาครั้งนี้ผู้วิจัยจึงมีความสนใจที่จะใช้เทคนิคทางเอนไซม์พันธุ์วิทยาเพื่อนำมาโคลนและศึกษา ลำดับนิวคลีโอไทด์และลำดับกรดอะมิโนของยืน MC4R ในปลาสลิด (*Trichogaster pectoralis*) (ซึ่ง จะใช้คำว่า TpMC4R) และทำการศึกษาผลของการทำหน้าที่ของยืน MC4R โดยการฉีด MC4R antagonist เพื่อขับขึ้นการทำงานของยืน TpMC4R ต่อการเพิ่มอัตราการกินได้ของปลาสลิด

1.2 วัตถุประสงค์ในการวิจัย

1.2.1 เพื่อโคลน cDNA เส้นสมบูรณ์ของยืน TpMC4R รวมทั้งการวิเคราะห์โครงสร้างโปรตีน และการเปรียบเทียบความเหมือนกันของยืนกับสัตว์มีกระดูกสันหลังชนิดอื่นๆ

1.2.2 เพื่อศึกษาการแสดงออกของ mRNA ของยืน TpMC4R ในระหว่างการพัฒนาการของ ตัวอ่อน (embryo)

1.2.3 เพื่อศึกษาการแสดงออกของ mRNA ของยืน TpMC4R ในอวัยวะต่างๆ

1.2.4 เพื่อศึกษาการแสดงออกของ mRNA ของยืน TpMC4R ในระหว่างมื้ออาหารและใน สภาวะการอดอาหาร

1.2.5 เพื่อศึกษาผลของการทำหน้าที่ของยืน MC4R โดยการฉีด MC4R antagonist เพื่อขับขึ้น การทำงานของยืน TpMC4R ต่อการเพิ่มอัตราการกินได้ของปลา

1.3 สมมติฐานของงานวิจัย

โปรตีน TpMC4R มีโครงสร้างคล้ายคลึงกับโปรตีน MC4R ของสัตว์มีกระดูกสันหลังชนิด อื่นๆ ยืน TpMC4R มีการแสดงออกในระหว่างการพัฒนาการของตัวอ่อน มีการแสดงออกของยืน TpMC4R ในอวัยวะต่างๆ ในระดับที่แตกต่างกัน การแสดงออกของยืน TpMC4R มีการเปลี่ยนแปลง ในระหว่างมื้ออาหารและในสภาวะการอดอาหาร ยืน MC4R มีความสำคัญในการควบคุมการกินได้ ของปลาสลิด และเมื่อมีการขับขึ้นการทำงานโดยการฉีด MC4R antagonist จะสามารถเพิ่มการกินได้ ของปลาสลิด

1.4 ขอบเขตของงานวิจัย

การวิจัยในครั้งนี้มุ่งเน้นที่จะโคลน cDNA เส้นสมบูรณ์ของยีน *TpMC4R* รวมทั้งการวิเคราะห์โครงสร้างโปรตีนและการเปรียบเทียบความเหมือนกันของโปรตีน MC4R กับสัตว์มีกระดูกสันหลังชนิดอื่น ๆ ทำการศึกษาการแสดงออกของยีน *TpMC4R* ในระหว่างการพัฒนาการของตัวอ่อน, ในอวัยวะต่าง ๆ และในระหว่างเม็ดอาหารและในสภาวะการอดอาหารของปลาสลิดทำการศึกษาผลของการใช้ MC4R antagonist ต่อการเพิ่มอัตราการกินได้ของปลาสลิด

1.5 ประโยชน์ที่คาดว่าจะได้รับ

ผลงานวิจัยนี้จะทำให้ได้ข้อมูลเชิงวิชาการและการนำไปประยุกต์ใช้ในการเพาะเลี้ยงสัตว์น้ำดังนี้

1.5.1 ทราบถึงลำดับนิวคลีโอไทด์และลำดับกรดอะมิโนของ cDNA เส้นสมบูรณ์ของยีน *TpMC4R*

1.5.2 ทราบการแสดงออกของยีน *TpMC4R* ในระหว่างการพัฒนาการของตัวอ่อน, ในอวัยวะต่าง ๆ และในระหว่างเม็ดอาหารและในสภาวะการอดอาหารของปลาสลิด

1.5.3 ทราบผลของการทำหน้าที่ของยีน *MC4R* ต่อการเพิ่มการกินได้ของปลาสลิด

1.5.4 สามารถนำข้อมูลจากการศึกษาใช้เป็นข้อมูลพื้นฐานในการศึกษาวิจัยในอนาคตได้ซึ่งสามารถศึกษาลำดับนิวคลีโอไทด์และลำดับกรดอะมิโนของ cDNA ของยีน *MC4R* ในปลาชนิดอื่น ๆ เพื่อทราบถึงความสัมพันธ์ทางวิวัฒนาการระหว่างสั่งเมียชิต และสามารถทำนายหน้าที่ของโปรตีนจากลำดับนิวคลีโอไทด์และลำดับกรดอะมิโนของยีน *MC4R* ในปลาชนิดอื่น ๆ ได้อีกทั้งยังสามารถใช้ข้อมูลลำดับนิวคลีโอไทด์และลำดับกรดอะมิโนของ cDNA ของยีน *TpMC4R* ไปใช้เป็นส่วนหนึ่งในการศึกษา polymorphism ของยีน *MC4R* ในปลาสลิด ซึ่ง polymorphism นี้มีหน้าที่คือการกินได้ในปลาสลิด ซึ่งอาจจะพัฒนาในการใช้ยีน *MC4R* เป็นยีนเครื่องหมายสำหรับการคัดเลือกพันธุ์ปลาสลิดได้

บทที่ 2

วรรณกรรมและเอกสารที่เกี่ยวข้อง

2.1 ชีววิทยาของปลาสลิด

ปลาสลิด (Snakeskin gourami) หรือปลาใบไม้ มีชื่อวิทยาศาสตร์ว่า *Trichogaster pectoralis* เป็นปลาขนาดจีด



ภาพที่ 2.1 ปลาสลิด

2.1.1 ลักษณะทางด้านอนุกรมวิธาน

ปลาสลิดจัดอยู่ใน ไฟลัม (Phylum) *Chordata*

ชั้น (Class) *Actinopterygii*

อันดับ (Order) *Labyrinthici*

วงศ์ (Family) *Anabantidae*

สกุล (Genus) *Trichogaster*

ศัพชีส์ (Species) *Trichogaster pectoralis*

2.1.2 ลักษณะรูปร่างทั่วไป

ปลาสลิดเป็นปลาขนาดจีด มีรูปร่างแบบข้างคล้ายใบไม้ความสูงลำตัว (body depth) เป็น 2.2-2.5 เท่าของความยาวมาตรฐาน (standard length) ครีบหลัง (dorsal fin) มีก้านครีบแข็ง 7 อัน และ ก้านครีบอ่อน 10-11 อัน ครีบก้น (anal fin) มีก้านครีบแข็ง 9-11 อันและมีก้านครีบอ่อน 36-38 อัน ครีบอก (pectoral fin) ยาวกว่าความยาวของหัวและมีก้านครีบอ่อน 11 อัน ครีบอันแรกของครีบห้อง (pelvic fin) เป็นร่องไปเป็นลักษณะเดี่ยวยาว (simple filament) จำนวนเก้าคู่ตามเส้นข้างตัว (lateral line scales) มีจำนวน 55-63 เกล็ด มีลายพาดยาวตามบริเวณลำตัว และลำตัวตัดกับลายคำเป็นแนบ

ข้าวจากหัวถึงโคนหาง มีเกล็ดเป็นแบบปลาหยัก (ctenoid scales) คล้ายหยัก มีเกล็ดที่หัว ตา ไต ปากเล็กอยู่หน้าสุดยึดหดได้เล็กน้อย (บุณยรัตน์ จันทร์สว่าง, 2523)

2.1.3 ท่ออย่าศัย

ปลาสกิดมีอวัยวะพิเศษช่วยหายใจเรียกว่า Labyrinth organ ช่วยให้ปลาสกิดใช้ออกซิเจนจากอากาศได้โดยตรงจึงทำให้ปลาสกิดมีความทนทานต่อสภาพที่มีออกซิเจนน้อยได้ปลาสกิดเป็นปลาที่ชอบอาศัยอยู่ในน้ำนิ่ง เช่น ตามท้องนา ร่องน้ำ คูน้ำ แม่น้ำ หนอง และบึง มักชอบอาศัยอยู่ตามบริเวณที่มีพรรณไม้น้ำ เช่น ผักและสาหร่าย เพื่อใช้เป็นที่พักอาศัย กำบังตัว และอาจจะใช้เป็นแหล่งก่อหาด涎ว่า ในนอกจากนี้ยังพบว่าปลาสกิดเป็นปลาที่ชอบอยู่ในน้ำที่มีอุณหภูมิประมาณ 23-25°C และเจริญเติบโตอยู่ในน้ำที่มีความเป็นกรดถึง pH 5.6-6 และเป็นต่าจได้ถึง pH 9

2.1.4 การสืบพันธุ์

ปลาสกิดเป็นปลาที่มีความแตกต่างระหว่างเพศผู้กับเพศเมียอย่างเด่นชัด โดยสังเกตจากลักษณะภายนอกได้ชัดเจน ตัวผู้มีลำตัวยาวเรียว สันหลังและสันท้องเกือบเป็นเส้นตรงนานกัน มีคริบหลังยาวจระดับหรือเลขโคนหาง ลำตัวมีสีเข้มกว่าตัวเมีย ส่วนตัวเมียมีสันท้องยาวนานไม่ขนาด กับสันหลัง และคริบหลังมนไม่ยาวจระดับถึงโคนหาง สีจางกว่าตัวผู้ ในฤดูวางไข่ท้องจะอุ้มเป็นองค์มาทั้งสองข้างอย่างเห็นได้ชัด ปลาที่พับดามธรรมชาติจะมีขนาดเล็กกว่าปลาที่เลี้ยง และมีอายุประมาณ 6-8 เดือนเป็นส่วนใหญ่ ปลาสกิดขนาด 8-10 ซม. ที่สามารถสืบพันธุ์ได้ ปลาสกิดจะเติบโตถึงขั้นสืบพันธุ์ได้ภายในเวลา 7-12 เดือน ทั้งนี้ขึ้นกับสภาพดินฟ้าอากาศที่เหมาะสมและปริมาณอาหารเป็นสำคัญ (สุปรารภณ์ ชินบุตร, 2515-2516)

2.1.5 การเจริญเติบโต

ไข่ปลาสกิดจะเริ่มฟักเป็นตัวภายในระยะเวลา 24 ชั่วโมง ฟักโดยทbayของอุณหภูมิเป็นตัวเรื่อยๆ และจะฟักเป็นตัวหมวยภายใน 48 ชั่วโมง ลูกปลาที่ฟักออกจากไข่ใหม่ๆ มีถุงอาหารติดอยู่ที่ท้อง ซึ่งไม่กินอาหารจนกว่าจะพ้น 7 วัน ไปแล้ว การเจริญเติบโตของปลาสกิดที่เลี้ยงในบ่อคินและในแปลง ข้าวโดยเฉลี่ยทั้งๆ ไปแล้วใช้เวลา 3 เดือน ปลาจะมีความยาว 7-9 ซม. 6 เดือน ยาว 10-12 ซม. และต้องทำการเลี้ยง 8-10 เดือนจึงจะมีขนาด 14-22 ซม. มีน้ำหนัก 50-150 กรัม ที่จะสามารถจับขายได้ (ประเทือง เจริญวันกลาง, 2536)

ตารางที่ 2.1 สรุปการเพาะพันธุ์ และการเจริญเติบโตของปลาสกิด

ระยะปลาสกิด	ระยะเวลาเลี้ยง	กินอาหาร	สถานที่	ที่มา
ไข่ปลาสกิดฝักเป็นตัว	ประมาณ 24-48 ชั่วโมง หลังจากนั้น 3-4 ชั่วโมง ลูกปลาจะลอกไข้เนื้อน้ำ	ลูกปลาจะดูดซึมไข่แดง (yolk sac) ตรงหน้าท้องเป็นอาหาร	บ่อพัก เช่น บ่อซีเมนต์ ถังพลาสติก	
การอนุบาลลูกปลา สลิดวัยอ่อน มีขนาด ความยาว 2-3 ซม.	ประมาณ 1 เดือน	หลังจากฟักออกเป็นตัว 7 วัน เริ่มกิน อาหารตามธรรมชาติ ที่เกิดจากการใส่ ปุ๋ยและพื้นหญ้า ได้แก่แพลงก์ตอนสัตว์ ชนิดต่างๆ เช่น ไรเดง โรติเฟอร์ หรือ อาจให้อาหารสมทบ เช่นรำละอีกด	บ่ออนุบาล เช่น บ่อคิน หรือแปลงนา	academic ชั้นชี (2548)
การเลี้ยงปลาสกิด	ประมาณ 8-10 เดือน มีขนาด 14-22 ซม. มีน้ำหนัก 50-150 กรัม ที่จะสามารถจับขายได้	ใส่ปุ๋ย พื้นหญ้า และให้อาหารสมทบ	บ่อเลี้ยง เช่น บ่อคิน แปลงนา	ประเทือง เขาวันกลาง (2536)
	ประมาณ 7-12 เดือน ปลาสกิด ^{จะเติบโตถึงขั้นสืบพันธุ์ได้}	ใส่ปุ๋ย พื้นหญ้า และให้อาหารสมทบ	บ่อเลี้ยง เช่น บ่อคิน แปลงนา	

2.1.6 การให้อาหาร

ในธรรมชาติปลาสลิดจะกินแพลงก์ตอนพืชและแพลงก์ตอนสัตว์ โดยเฉพาะอย่างยิ่งจะกินตัวอ่อนของแพลงก์ตอนสัตว์ที่เกะติดพันธุ์ไม่น้ำ หรือหญ้าที่เน่าเปื่อย ตัวอ่อนแมลงน้ำและตะไคร่น้ำ สำหรับอาหารที่เหมาะสมสำหรับปลาวัยอ่อนซึ่งมีอายุตั้งแต่ 7 วัน ถึง 1 เดือน ควรเป็นตะไคร่น้ำและไวน้ำ และเมื่อปลาเมื่ออายุมากขึ้นควรให้อาหารผงสำเร็จรูปที่มีคุณค่าอาหารและวิตามินครบถ้วนเป็นอาหารเสริม ต่างจากน้ำกึ่งของให้อาหารเม็ดสำเร็จรูปที่มีขนาดใหญ่ขึ้นเป็นอาหารต่อไปสำหรับอาหารเสริมที่นิยมใช้เลี้ยงปลาสลิด คือ รำละเอี๊ด ปลายข้าว ต้มปนกับผักบุ้งที่หั่นแล้วเคลือบกับรำน้ำปั้นเป็นก้อน หรืออาจใช้อาหารเม็ดเช่นเดียวกันที่ใช้เลี้ยงปลา尼ลเป็นอาหารประจำวัน โดยมีส่วนผสมดังนี้ ผัก 2 ส่วน ต่อ รำ 1 ส่วน ต่อปลายข้าว 1 ส่วน (academic ชุมชน, 2548)

การเพาะเลี้ยงปลาสลิดในอดีตเป็นการเลี้ยงในนาปลา ซึ่งแต่เดิมคือนาข้าวเป็นการเลี้ยงแบบธรรมชาติ โดยอาศัยอาหารจากธรรมชาติเพียงอย่างเดียว ทำให้ไม่สามารถคาดคะเนผลผลิตที่แน่นอนได้ ต่อมาได้มีการพัฒนาการเลี้ยงมาเป็นแบบกึ่งพัฒนา โดยมีการเพิ่มอาหารธรรมชาติในนาปลา โดยการใส่ปุ๋ยอินทรีย์ ได้แก่ ปุ๋ยคอก ปุ๋ยหมัก เป็นต้น นอกจากนี้ยังมีการให้อาหารสมทบ ได้แก่ รำละเอี๊ด ปลาป่น เศษอาหาร และอาหารสำเร็จรูป เป็นต้น ซึ่งทำให้ได้ผลผลิตที่สูงขึ้นและมีความแน่นอนมากขึ้น (academic ชุมชน, 2548) และนอกจากนี้ยังมีการพยาบาลハウวิชีการเพิ่มการผลิตปลาสลิด โดยการขยายพันธุ์ที่การเพาะเลี้ยงไบยงพันธุ์ที่ไก่เคียง และการเพาะเลี้ยงพันธุ์ปลาสลิดโดยการใช้ชอร์โวนสังเคราะห์ (ชื่น suprefact) ร่วมกับยาเสริมฤทธิ์ (ชื่น Motilium M) แต่อย่างไรก็ตามการเพาะพันธุ์ปลาสลิดก็ยังมีปัญหาอยู่ เนื่องจากปลาสลิดจะใช้ระยะเวลาในการเจริญเติบโต ซึ่งต้องทำการเลี้ยง 8-10 เดือน จึงจะมีขนาด 14-22 เซนติเมตร มีน้ำหนัก 50-150 กรัม ที่จะสามารถจับขายได้ (ประเทือง เห่าวันกลาง, 2536) ดังนั้นถ้าสามารถเร่งการเจริญเติบโตของปลาสลิดให้เร็วขึ้นได้ก็จะสามารถทำให้ลดระยะเวลาในการเพาะเลี้ยงปลาสลิดซึ่งก็จะเป็นการเพิ่มผลผลิตได้

การพัฒนาเทคโนโลยีทางอุณหวัตถภาพทำให้นักวิทยาศาสตร์ได้หันมาสนใจการศึกษาทางด้านนี้ที่เกี่ยวข้องกับพฤติกรรมการกิน (feeding behavior) คุณภาพของพลังงาน (energy homeostasis) การการกินได้ (feed intake) การควบคุมน้ำหนักตัว (body weight regulation) ในสัตว์ เกษรยูจิกิ เพาะการเพิ่มอัตราการกินได้ในสัตว์และการควบคุมคุณคุณภาพของพลังงานที่เหมาะสมจะส่งผลให้สัตว์ที่เลี้ยงมีอัตราการเจริญเติบโตสูงขึ้น ลดระยะเวลาการเลี้ยงสัตว์ให้สั้นลงได้ จนถึงปัจจุบันนี้ได้มีข้อมูลการศึกษาแสดงการค้นพบ neuropeptides จำนวนมากที่เกี่ยวข้องกับการกินได้ และสมคุลพลังงานในสัตว์ (Baile and Della-Fera, 2009) ขึ้นหนึ่งที่ได้มีการรายงานว่าแสดงผลเด่นชัดต่อการควบคุมการกินได้คือ เมลาโนคอติน 4 รีเซปเตอร์ (melanocortin 4 receptor; MC4R) ผลการศึกษาพบว่าเมื่อยืน MC4R มีการเปลี่ยนแปลงลำดับเบส (mutation) ในตำแหน่งที่ 298 ที่ทำ

ให้ aspartic acid ถูกเปลี่ยนเป็น asparagine ซึ่งส่งผลให้สูตรมีการเพิ่มการกินได้ และเพิ่มอัตราการเจริญเติบโต (Kim, Larsen, Short, Plastow and Rothschild, 2000; Kim, Reecy, Hsu, Anderson and Rothschild, 2004) ซึ่งจะเห็นได้ว่าใน *MC4R* มีส่วนในการควบคุมการกินได้ และ single nucleotide polymorphism (SNP) ในชีน *MC4R* ที่มีความเกี่ยวข้องกับลักษณะทางเศรษฐกิจ ได้แก่ ความหนาของไขมันสันหลัง การกินได้ และอัตราการเจริญเติบโตในสุกร ส่วนในโโคเมียศึกษา polymorphism ของชีน *MC4R* พบว่าลำดับเบสในตำแหน่งที่ 1069 (G/C) มีผลต่อกลไนท์ของไขมันสันหลังในโโค (Huang, Gao, Li, Ren, Chen and Xu, 2010) การศึกษาการเกิด mutation ใน 5' regulation region และ coding region ของชีน *MC4R* ในไก่มีผลต่อความหลากหลายของการเจริญเติบโตและคุณภาพซากในไก่ (Xuemei, Ning, Xuemei, Xingbo, Qingyong and Xiuli, 2006) และมีรายงานการศึกษาชีน *MC4R* ใน Landes geese ซึ่งมีการวิเคราะห์เกี่ยวกับ 2 single nucleotide polymorphisms (SNPs) ได้แก่ จีโนไทป์ c.108G → A และ จีโนไทป์ c.627C → T ซึ่งจีโนไทป์ทั้งสองมีผลต่อคุณภาพซาก เช่น น้ำหนักซาก เปรอร์เซ็นต์กล้ามเนื้อน้ำหนัก เปรอร์เซ็นต์กล้ามเนื้อขา และน้ำหนักเครื่องใน เป็นต้น (Huang, Wang, He and Liu, 2010) ต่อมาได้มีรายงานการศึกษาถึงการพัฒนาการใช้ชีน *MC4R* เป็นชีนเครื่องหมายสำหรับการคัดเลือกพันธุ์สุกร (marker-assisted selection) (Kim et al., 2006) นอกจากนี้ได้มีรายงานการศึกษาการสังเคราะห์ non-peptide antagonists ของชีน *MC4R* โดยทดลองฉีดสารเข้าไปในปากเพื่อให้หนูกิน ซึ่งพบว่าสามารถเพิ่มอัตราการกินได้ในหนู (Tucci et al., 2005) ดังนั้นในการศึกษาครั้งนี้ผู้วิจัยจึงมีความสนใจที่จะใช้เทคนิคทางเคมีพันธุ์วิทยามาโดยนิคและการศึกษาลำดับนิวคลีโอไทด์และลำดับกรดอะมิโนของชีน *MC4R* ของปลาสลิด (*Trichogaster pectoralis*) (ซึ่งจะใช้คำว่า *TpMC4R*) และทำการศึกษาผลของการทำหน้าที่ของชีน *MC4R* โดยการฉีด *MC4R* antagonist เพื่อยับยั้งการทำงานของชีน *TpMC4R* ต่อการเพิ่มอัตราการกินได้ของปลาสลิด

MC4R เป็นสมาชิกตัวหนึ่งใน melanocortin receptor (MCRs) หรือเรียกอีกชื่อว่า 7-transmembrane G-protein-coupled receptor โดยมีสมาชิกทั้งหมด 5 ตัว คือ MC1R, MC2R, MC3R, MC4R และ MC5R ซึ่ง MCRs จะทำหน้าที่ในการควบคุมการทำงานของ melanocortin peptide ซึ่ง melanocortin peptide ทำหน้าที่เกี่ยวข้องกับการควบคุมสร้างเม็ดสี (pigmentation), การสร้าง steroid hormone (steroidogenesis), การตอบสนองต่อความเครียด, การควบคุมสมดุลของพลังงาน (energy homeostasis), การกินได้ (feed intake), การทำหน้าที่เกี่ยวกับเพศ (sexual function) และการควบคุม exocrine glands (Cerda-Reverter, Ringholm, Schioth and Peter, 2003)

2.2 ระบบเมลาโนค็อติน (Melanocotin system)

Melanocortin system ประกอบไปด้วย เมลาโนค็อติน (Melanocortin peptide) ซึ่งเป็นสาร agonist ต่อ melanocortin receptor, เมลาโนค็อตินรีเซปเตอร์ (Melanocortin receptors : MCRs) และสาร endogenous melanocortin antagonists คือ Agouti signaling peptide (ASIP) และ Agouti-related protein (AgRP) (Bertile and Raclot, 2006) ซึ่งจะเข้าไปจับกับ MCRs ได้ โดย ASIP จะจับกับ MC1R มีผลต่อการควบคุมจำนวนเม็ดสีดำ (eumelanin) และสีแดง/เหลือง (phaemelanin) บนขนหรือผิวหนังในสัตว์เลี้ยงลูกด้วยนม (Rees, 2003) และ AgRP จับกับ MC4R มีผลทำให้เพิ่มการกินได้ในสัตว์มีกระดูกสันหลังหลายชนิด (Metz, Peters, and Flik, 2006; Lasaga, Debeljuk, Durand, Scimonelli and Caruso, 2008) ซึ่ง melanocortin system นี้จะมีความเกี่ยวข้องกับการทำหน้าที่การควบคุมการให้สี (pigmentation), การสร้าง steroid hormone (steroidogenesis), การตอบสนองต่อความเครียด, การควบคุมสมดุลของพลังงาน (energy homeostasis), การกินได้ (feed intake), การทำหน้าที่เกี่ยวกับเพศ (sexual function) และการควบคุม exocrine glands

2.3 เมลาโนค็อติน (Melanocortin peptide)

Melanocortin peptide คือ neuromodulatory peptide ถูกสร้างมาจากโปรตีนตั้งต้นคือ pro-opiomelanocortin (POMC) โดยผ่านกระบวนการ posttranslantion ทำให้ผลิตเป็น melanocyte-stimulating hormone (α -, β - และ γ -MSH) และ adrenocorticotropic hormone (ACTH) ในสัตว์มีกระดูกสันหลัง melanocortin peptide จะถูกผลิตที่ต่อมใต้สมองและระบบประสาทส่วนกลางเป็นหลัก melanocortin peptide มีการแสดงออกในระบบประสาทของ arcuate nucleus ของสมองส่วน hypothalamus และระบบประสาทใน nucleus ของ salitary tract ใน brain stem ซึ่งจะครอบคลุมถึง paraventricular nucleus, lateral hypothalamus และส่วนต่างๆ ในสมอง เช่น amygdale, cortex, hippocampus, medulla, mesencephalon และ spinal cord และนอกจากนี้ยังสามารถพบรการแสดงออกในเนื้อเยื่ออื่นๆ ด้วย melanocortin peptide ทุกตัวจะประกอบไปด้วย 7 peptide เป็นหลัก (heptapeptide core) คือ Met⁴-Glu⁵-His⁶-Phe⁷-Arg⁸-Trp⁹-Gly¹⁰ แต่ใน γ -MSH ในตำแหน่ง Gly¹⁰ จะถูกแทนที่ด้วย Asp⁹ ซึ่งในตำแหน่งที่ 4-9 ของ α -MSH จะมีความจำเป็นต่อการจับกับ MC1R ดังนั้นหาก Gln⁵ ถูกแทนที่ด้วย Ala จะไม่มีผลทำให้ความสามารถในการจับ (affinity) กับรีเซปเตอร์ลดลง แต่เมื่อมีการแทนที่ Met⁴, His⁶, Phe⁷, Arg⁸ และ Trp⁹ ด้วย Aln จะมีผลทำให้ความสามารถในการจับ (affinity) กับรีเซปเตอร์ลดลง ซึ่งจะเห็นได้ว่า His⁶ มีความจำเป็นต่อการจับกันของ peptide และ MCRs นอกจากนี้ peptide ในตำแหน่ง 4, 7, 8 และ 9 มีความสำคัญต่อการเกิดปฏิกิริยาระหว่าง melanocortin peptide กับ MCRs และหากมีการแทนที่ Gly¹⁰ ของ α -MSH ด้วย Asp และ Pro¹² แทนด้วย Ala จะมีผลทำ

ให้ความสามารถในการจับของ peptide ลดลง (Sahm, Olivier, Branch, Moss and Pouton, 1994; Peng, Sahm, Doherty, Kinsman, Moss and Pouton, 1997)

2.4 เมลาโนคอตินรีเซปเตอร์ (Melanocortin receptors; MCRs)

Melanocortin receptors หรือเรียกอีกชื่อว่า 7-transmembrane G-protein-coupled receptor จัดอยู่ในโปรตีนกลุ่ม G-protein-coupled receptor (GPCRs) ใน rhodopsin family โปรตีนที่อยู่ในกลุ่มนี้มีคู่ยกัน 5 ชนิด ได้แก่ MC1R, MC2R, MC3R, MC4R และ MC5R โดย MCRs จะทำหน้าที่เป็นตัวรับ (receptor) ของฮอร์โมน α , β และ γ -melanocyte stimulation hormone (α , β , และ γ -MSH) และฮอร์โมน ACTH โดย MCRs แต่ละตัวทำหน้าที่ทางสืรริบทยาแตกต่างกันออกไป

ในสัตว์เลี้ยงลูกด้วยนมและในปลากระดูกแข็งต่างๆ มีขึ้น MCRs ทั้งหมด 5 subtype ซึ่งขึ้น MCRs จะไม่มีส่วนของ intron และมีเพียง 1 exon อย่างไรก็ตามปลาในกลุ่ม puffer fish ยกเว้นในปลา zebrafish (*Danio rerio*) ที่มีขึ้น MC2R และ MC5R ที่ประกอบด้วย 1 intron และ 3 intron ตามลำดับ ซึ่ง MCRs ของปลาในกลุ่ม puffer fish จะมีทั้งหมด 4 subtype ซึ่งประกอบไปด้วย MC1R, MC2R, MC4R และ MC5R ในปลา zebrafish มี MCRs ทั้งหมด 5 subtype ประกอบด้วย MC1R, MC2R, MC4R, MC5Ra และ MC5Rb (Logan, Bryson-Richardson, Taylor, Currie and Jackson, 2003)

Melanocortin 1 receptor (MC1R) เป็น receptor ซึ่งถูกโคลนมาจาก melanoma cells สามารถจับ α -MSH ได้อย่างมี affinity สูงที่สุดเมื่อเทียบกับ MCRs ตัวอื่น ๆ หรืออาจเรียก MC1R ว่า α -MSH receptor ขึ้น MC1R จะทำหน้าที่ในการควบคุมการให้สี และจะมีการแสดงออกใน melanocytes ที่ผิวนัง แต่ไม่มีการตรวจพบในเซลล์ภูมิคุ้มกันอันได้แก่ neutrophils, monocytes, dendritic cells, endothelial cells และ B lymphocytes นอกจากนี้ยังตรวจไม่พบใน glioma cells, astrocytes และมีการตรวจพบเพียงเล็กน้อยในระบบประสาทของ periaqueductal gray (Metz et al., 2006) ในสัตว์เลี้ยงลูกด้วยนม MC1R จะสามารถจับกับ ACTH ได้อย่างมี affinity ปานกลางเท่านั้น แต่สำหรับ MC1R ของปลา fugu (*Takifugu rubripes*) (Klovins et al., 2004) และปลา tilapia (*Oreochromis mossambicus*) สามารถจับกับ ACTH ได้อย่างมี affinity สูงที่สุด (Van der Salm, Metz, Wendelaar Bonga and Flik, 2005)

Melanocortin 2 receptor (MC2R) เป็น receptor ที่มีความเฉพาะเจาะจงสำหรับ ACTH ใน adrenal cortex หรืออาจเรียก MC2R ว่า ACTH receptor MC2R มีผลต่อการกระตุ้นการหลั่งของ adrenal steroid ในสัตว์เลี้ยงลูกด้วยนมขึ้น MC2R จะมีการแสดงออกในบริเวณ adrenal gland เป็นหลัก และสามารถพบใน adipocyte (Metz et al., 2006) ในปลา fugu ขึ้น MC2R จะมีการแสดงออกในบริเวณสมองส่วนต่าง ๆ และในไตส่วนบน (head kidney) (Klovins et al., 2004) และสำหรับใน

ปลา carp ขึ้น *MC2R* จะมีการแสดงออกในบริเวณ ไตส่วนบน (head kidney) ในระดับสูง และมีการแสดงออกในม้าม (spleen) ในระดับต่ำ (Metz, Geven, vanden Burg and Flik, 2005)

Melanocortin 3 receptor (*MC3R*) เป็น receptor ของ γ -MSH ขึ้น *MC3R* จะมีการแสดงออกในสมองเพียงเล็กน้อย ได้แก่ บริเวณ hypothalamus, septum, hippocampus, olfactory cortex, thalamus, และ amygdala นอกจากนี้ขึ้น *MC3R* มีการแสดงออกในหัวใจ, adrenal cortex, placental tissue และระบบทางเดินอาหาร ได้แก่ กระเพาะอาหาร, ลำไส้เล็กส่วน duodenum และตับอ่อน ซึ่งขึ้น *MC3R* มีความสัมพันธ์ต่อการควบคุมสมดุลของพลังงาน และมีหน้าที่ต่อการควบคุมการกิน ได้ (Metz et al., 2006)

Melanocortin 4 receptor (*MC4R*) เป็น receptor สำหรับ β -MSH หรืออาจเรียกว่า β -MSH receptor แต่จากรายงานการศึกษาของ Metz et al. (2006) เมื่อพิจารณาถึงค่าปฏิกิริยา (affinity) การจับกันของ ligand และ receptor พบว่า α -MSH เป็น natural ligand สำหรับ *MC4R* มากกว่า β -MSH แต่สำหรับในสัตว์เลี้ยงลูกด้วยนมและในปลา spiny dogfish (*Squalus acanthias*) *MC4R* จะสามารถจับ β -MSH ได้อย่างมี affinity สูงที่สุดเมื่อเทียบกับ melanocortin peptide ตัวอื่น ๆ (Ringholm et al., 2003) อย่างไรก็ตามในปลา fugu และ ปลา rainbow trout (*Oncorhynchus mykiss*) *MC4R* จะสามารถจับ α -MSH และ β -MSH ได้อย่างมี affinity สูงมากกว่าในสัตว์เลี้ยงลูกด้วยนม (Klovins et al., 2004; Haitina et al., 2004) ซึ่งโดยทั่วไป *MC4R* จะสามารถจับกับ α -MSH, β -MSH, ACTH ได้ดีกว่า γ -MSH ขึ้น *MC4R* มีการแสดงออกที่บริเวณสมองเป็นหลัก ได้แก่ สมองส่วน telencephalon, metencephalon, mesencephalon และ diencephalon ซึ่งขึ้น *MC4R* จะมีความสำคัญต่อการควบคุม neuroendocrine, erectile activity, การควบคุมสมดุลของพลังงาน และการกิน ได้

Melanocortin 5 receptor (*MC5R*) ในสัตว์เลี้ยงลูกด้วยนม *MC5R* สามารถจับ α -MSH, β -MSH และ ACTH ได้อย่างมี affinity สูง (Haitina et al., 2004) เช่นเดียวกับในปลา zebrafish และปลา goldfish (*Carassius auratus*) (Ringholm et al., 2002; Cerdá-Reverter et al., 2003) ส่วนในปลา cyprinid และปลา zebrafish (Ringholm et al., 2002) จะมี *MC5R* 2 form คือ *MC5Ra* และ *MC5Rb* ขึ้น *MC5R* ในสัตว์เลี้ยงลูกด้วยนม มีการแสดงออกในสมองส่วน cortex, striatum, cerebellum, pituitary gland และสามารถพบได้ในเนื้อเยื่อต่าง ๆ, ผิวน้ำ, กล้ามเนื้อ, adrenocortical zona glomerulosa, thymus, leukocytes, ปอด, ม้าม, รังไข่ และอณฑะ ซึ่งในสัตว์เลี้ยงลูกด้วยนมขึ้น *MC5R* มีความสำคัญในการควบคุม exocrine glands เช่น harderian gland, preputal gland, lacrimal gland และ sebaceous gland (Metz et al., 2006)

ซึ่งจะเห็นได้ว่าขึ้น *MCRs* แต่ละตัวนั้นมีบทบาทหน้าที่ในการทำงานที่แตกต่างกันขึ้น *MCRs* 2 ตัว ที่มีความสำคัญต่อการควบคุมการกิน ได้ คือ ขึ้น *MC3R* และขึ้น *MC4R* การศึกษาวิจัยทางด้าน

เทคโนโลยีการผลิตสัตว์จึงให้ความสนใจกับยีน *MC4R* เพราะมีรายงานวิจัยบทบาทหน้าที่สำคัญเกี่ยวกับอัตราการกินได้ (feed intake) และการควบคุมสมดุลของพลังงาน (energy homeostasis) ในสุกร (Barb, Robertson, Barrett, Kraeling and Houseknecht, 2004), หนู (Kask et al., 1998), นก ring dove (Strader, Schioth and Buntin, 2003) และ ปลา Brafin flounder (*Verasper moseri*) (Kobayashi, Tsuchiya, Yamanome, Schioth, Kawauchi and Takahasi, 2008) และได้มีรายงานการศึกษาทางด้านอนุพันธุศาสตร์ของยีน *MC4R* ในสัตว์มีกระดูกสันหลังชนิดต่าง ๆ โดยเฉพาะในสัตว์เลี้ยงและสัตว์ที่มีความความสำคัญทางเศรษฐกิจ และคงดั้งตารางที่ 2.2

ตารางที่ 2.2 ความยาวของโปรตีน *MC4R* ในสัตว์มีกระดูกสันหลังชนิดต่าง ๆ

GenBank accession no.	ชนิดสัตว์	จำนวนกรดอะมิโน
EF 080880	คน (Human)	332
NM_013099	หนู (Rat)	332
NM_174110	วัว (Cattle)	332
EU 622853	แกะ (Sheep)	332
DQ 084210	สุนัข (Dog)	332
AB 021664	สุกร (Pig)	332
AY 545057	ไก่ (Chicken)	331
AY 16850	ปลาเม็ดลาย (Zebrafish)	326
AY 161856	ปลาฟูกุ (Fugu)	322
AY534915	ปลาทู (Trout)	339
AJ 534337	ปลาทอง (Goldfish)	326

2.5 Melanocortin 4 receptor (MC4R)

2.5.1 โครงสร้างของ MC4R

โครงสร้างของ MC4R ประกอบด้วยส่วนของ N-terminal domains, cysteines residues, C-terminal domain, N-link glycosylation sites, transmembrane domain (TM) 7 domain, protein kinase C of phosphorylation site, PMY motif, DRY motif และ DPIIY (NPXXY) motif ซึ่งบริเวณ N-terminal domain ไม่มีความสำคัญต่อการจับและการทำปฏิกิริยาของ MCR กับ MSH (Srinivasan et al., 2004) ขึ้น MC4R ในสัตว์มีกระดูกสันหลังส่วนใหญ่จะมี N-linked glycosylation site และ protein kinase C of phosphorylation site อยู่ในตำแหน่งเดียวกัน โดยตำแหน่งของ phosphorylation ที่อยู่ในบริเวณ intracellular loop (ICL) ที่ 2 จะมีความสำคัญต่อการกำหนดการจับของ G-protein ซึ่งมีความเกี่ยวข้องต่อการควบคุมระดับของปฏิกิริยา (Shinyama, Masuzaki, Fang and Flier, 2003) TM domain จะมีความสำคัญต่อการจับและการทำปฏิกิริยาของ MC4R (Lagerstrom et al., 2003; Oosterom et al., 1999) ขึ้น MC4R ในคน, ไก่, ปลา Brafin flounder, ปลา Saebass (*Dicentrarchus labrax*), ปลา Fugu, ปลา Rainbow trout, ปลา Goldfish และปลา Zebrafish มี cysteine 15 residues (Tan et al., 2009; Takeuchi and Takahashi, 1998; Kobayashi et al., 2008; Sanchez et al., 2009; Klovins et al., 2004a; Haitina et al., 2004; Cerdá-Reverter et al., 2003a; Ringholm et al., 2002) ซึ่ง cysteine residues มีความสำคัญต่อโครงสร้างที่ดึงกู้มในการสร้างพันธะไดซัลไฟฟ์ (disulphide bond) เพื่อเชื่อมโยงระหว่าง extracellular loop (ECL) ในแต่ละตำแหน่ง (Tarnow, Schoneberg, Krude, Gruters, and Biebermann, 2003) นอกจากนี้ PMY motif, DRY motif และ DPIIY (NPXXY) motif ของขึ้น MC4R ในสัตว์มีกระดูกสันหลังชนิดต่าง ๆ ซึ่ง DRY motif มีความสำคัญต่อการรักษาสภาวะปร่างของ MCR เมื่ออู่ในสภาวะที่ไม่สามารถจับ ligand ได้ (Schioth, Haitina, Fridmanis and Klovins, 2005)

ตำแหน่งของกรดอะมิโนในโครงสร้างของโปรตีน MC4R มีความสำคัญในการจับกับระหว่าง MSH peptide และ MC4R ซึ่งโครงสร้างโปรตีน MC4R ของคน มี acidic residues คือ Asp ในตำแหน่ง 122 และ 126 (ซึ่งอยู่ใน transmembrane domain ที่ 3) และ basic residues คือ His ในตำแหน่ง 264 (อยู่ใน transmembrane domain ที่ 4) กรดอะมิโนที่สองตำแหน่งเป็นองค์ประกอบที่มีความสำคัญต่อการจับกับ ligand ส่วน Glu¹⁰⁰, Met²⁰⁰, Trp²⁵⁸ และ Phe²⁶¹ เป็นกรดอะมิโนที่มีความสำคัญต่อการจับกับ α-MSH และนอกจากนี้ Ser¹²⁷, Tyr¹⁸⁷, Ala¹⁹² และ Phe²⁶⁷ ก็มีส่วนช่วยในการจับกับ ligand (Lee et al., 2001) ซึ่ง โปรตีน MC4R ของปลา brafin flounder, ปลา saebass, ปลา fugu, ปลา rainbow trout, ปลา goldfish, ปลา zebrafish และ ปลา spiny dogfish ต่างก็มีกรดอะมิโนดังกล่าวแต่ตำแหน่งของกรดอะมิโนจะไม่ตรงกัน (Kobayashi et al., 2008; Sanchez et al., 2009;

Klovins et al., 2004; Haitina et al., 2004; Cerdá-Reverter et al., 2003; Ringholm et al., 2002; Ringholm et al., 2003) ซึ่งโปรตีน MC4R ของปลาจะมีการแทนที่กรดอะมิโน Ala¹⁹² และ Phe²⁶⁷ ด้วยกรดอะมิโนชนิดอื่น ๆ อย่างไรก็ตามในการจับของ MC4R จะสามารถจับกับ cyclic peptide ได้ดีกว่า non cyclic peptide เนื่องจาก cyclic peptide มี affinity ต่อการจับกับ MC4R ที่สูงกว่า ซึ่งโปรตีน MC4R ของคนมีกรดอะมิโน Try²⁶⁸ จะทำให้ MC4R ขาดความสามารถในการจับกับ non cyclic peptide เมื่อมีการแทนที่ Try²⁶⁸ ด้วย Ile จะมีผลทำให้เพิ่มความสามารถของ MC4R ต่อการจับกับ γ-MSH ซึ่งเป็น non cyclic peptide (Adan and Gispens, 2000) โปรตีน MC4R ของปลามีการแทนที่ Try²⁶⁸ ด้วย Met ซึ่งมีผลทำให้ MC4R มี affinity ต่อการจับกับ α-MSH ที่สูงกว่าในสัตว์เลี้ยงลูกด้วยนม

2.5.2 การแสดงออกของ MC4R

ในสัตว์เลี้ยงลูกด้วยนมและสัตว์มีกระดูกสันหลังส่วนใหญ่มีการแสดงออกของยีน MC4R ที่บริเวณสมองเป็นหลัก ได้แก่ สมองส่วน telencephalon, metencephalon, mesencephalon และ diencephalon นอกจากนี้ยัง MC4R มีการแสดงออกในอวัยวะต่าง ๆ เช่น ในไก่มีการแสดงออกของยีน MC4R ในไต, ม้าม, กล้ามเนื้อ, รังไข่ และอัณฑะ และในปลาชนิดต่าง ๆ เช่น ปลา brafin flounder มีการแสดงออกของยีน MC4R ในตับ, รังไข่ และอัณฑะ ปลา seabass มีการแสดงออกของยีน MC4R ในตับ, กล้ามเนื้อ และอัณฑะ ปลา fugu มีการแสดงออกของยีน MC4R ในไตส่วนบน และกระเพาะอาหาร ปลา rainbow trout มีการแสดงออกของยีน MC4R ในไตส่วนบน ปลา goldfish มีการแสดงออกของยีน MC4R ในเหงือก, ม้าม และรังไข่ ปลา zebrafish มีการแสดงออกของยีน MC4R ในระบบทางเดินอาหารและรังไข่ และในปลา lamprey มีการแสดงออกของยีน MC4R ในตับ และกล้ามเนื้อ ซึ่งจะเห็นได้ว่าปลาชนิดต่าง ๆ มีการแสดงออกของยีน MC4R ที่แตกต่างกัน (ดังแสดงในตารางที่ 5.1) (Takeuchi and Takahashi, 1998; Kobayashi et al., 2008; Sanchez et al., 2009; Klovins et al., 2004; Haitina et al., 2004; Cerdá-Reverter et al., 2003; Ringholm et al., 2002; Haitina et al., 2004)

2.6 บทบาทของ MC4R

2.6.1 บทบาทของ MC4R ต่อระบบสีบพันธุ์

ในหนูปกติที่มีการฉีด ACTH และ α-MSH เข้าไปจะมีผลทำให้เกิดการแข็งตัวของอวัยวะเพศ (Argiolas, Melis, Murgia and Schioth, 2000) และเมื่อมีการฉีด selective MC4R agonist จะมีผลทำให้เกิดการเพิ่มปฏิกิริยาการแข็งตัวของอวัยวะสีบพันธุ์ของหนูเพศผู้ และมีอัตราการร่วม

เพศมาเกเพิ่มขึ้น หนูที่มีการ knock out ขีน MC4R จะมีอาการผิดปกติเกี่ยวกับพฤติกรรมทางเพศ และ อวัยวะสืบพันธุ์ของหนูเพศผู้จะมีการแข็งตัวที่ผิดปกติ (Van der Ploeg et al., 2002) ดังนั้นขีน MC4R จึงมีหน้าที่สำคัญในการควบคุมการแข็งตัวของอวัยวะสืบพันธุ์เพศผู้

2.6.2 บทบาทของ MC4R ต่อความเครียด

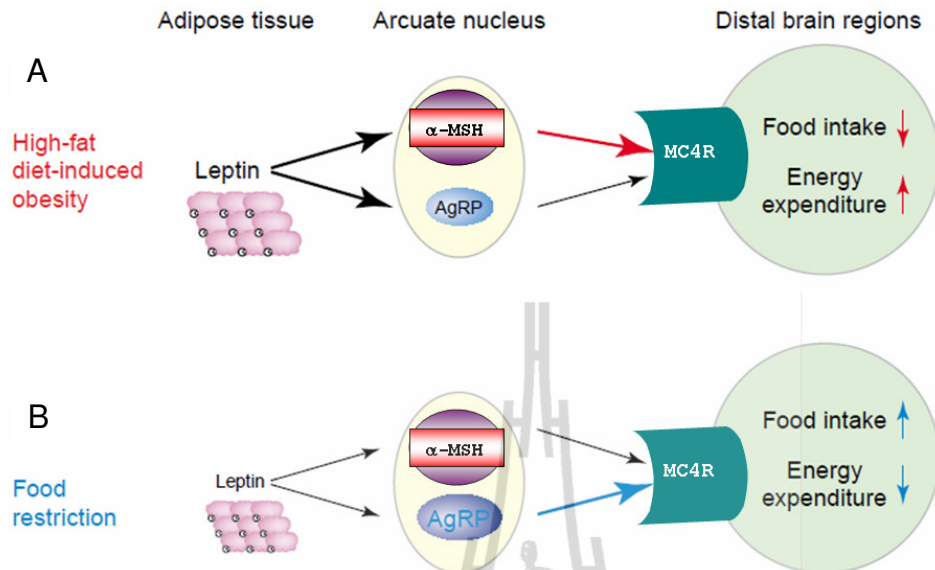
การทำงานของ POMC และ MC4R จะมีผลต่อการควบคุมปฏิกิริยาของ hypothalamic pituitary adrenal axis (HPA axis) ซึ่งในสภาวะปกติ POMC จะถูกสั่งเคราะห์หลักในสมองบริเวณ arcuate nucleus และถูกส่งต่อไปยังกับ MC4R ในสมองบริเวณ paraventricular nucleus (PVN) ซึ่ง จะกระตุ้นให้เกิดการสั่งเคราะห์ corticotrophin releasing factor (CRF) และ arginine vasopressin system (AVP) ที่อยู่ใน pavocellular ของสมองบริเวณ PVN และหลังจากมาจับกับ CRF1 receptor และ V1b receptor ที่อยู่ใน anterior pituitary gland ต่อจากนั้นจะเกิดการกระตุ้นให้ POMC สั่งเคราะห์ ACTH และหลังสาร ACTH ออกมากจาก corticotrophs ที่อยู่ใน anterior pituitary gland ซึ่งถูกส่งไปยัง adrenal gland และมีการหลังสาร glucocorticoid ออกมาร่วมกับ glucocorticoid receptor (GR) และเมื่อเกิดสภาวะความเครียดจะมีผลทำให้เกิดการสั่งเคราะห์ mRNA ของขีน POMC และ mRNA ของขีน MC4R ในบริเวณ arcuate nucleus เพิ่มขึ้น และจากกระบวนการสั่งเคราะห์ mRNA ของ ขีน POMC และ mRNA ของขีน MC4R ที่เพิ่มขึ้นจะมีผลต่อการกระตุ้นการสั่งเคราะห์ mRNA ของ ขีน CRF และ mRNA ของขีน AVP เพิ่มขึ้น มีการหลังสาร ACTH เพิ่มขึ้น และมีอร์โนน glucocorticoid เพิ่มขึ้นด้วยเช่นกัน (Chaki and Okuyama, 2005) และเมื่อมีการฉีด MC4R antagonist เข้าในสมองของหนู พบร่วมกับหนูที่ไม่มีการฉีด MC4R antagonist จะมีอาการกระวนกระวายและก้าวร้าวลดลงเมื่อเปรียบเทียบกับหนูที่ไม่มีการฉีด

2.6.3 บทบาทของ MC4R ต่อการควบคุมสมดุลของพลังงาน

การควบคุมสมดุลของพลังงานมี 2 แบบ คือ แบบ positive energy balance และแบบ negative energy balance ซึ่งการควบคุมสมดุลของพลังงานแบบ positive energy balance ในสภาวะปกติจะมีการเพิ่มการใช้พลังงาน (energy expenditure) และลดการกิน ได้ ซึ่งเป็นผลจากการที่ α -MSH จับกับ MC4R ทำให้มีการขับยั้งการกินได้ และจะมีการใช้พลังงานเพิ่มขึ้น หากในสภาวะที่มี การเหนื่อยยวายอาหารที่มีไขมันสูง จะมีผลทำให้มีการเพิ่มน้ำหนักของ adipose tissue ซึ่งจะมีผล ทำให้ระดับ leptin ในพลาสม่าเพิ่มขึ้น มีผลทำให้มีระดับการแสดงออกของ mRNA ของขีน POMC เพิ่มขึ้น (เนื่องจาก leptin จะเป็นตัวส่งสัญญาณไปที่สมองบริเวณ arcuate nucleus เพื่อกระตุ้น POMC มีการสั่งเคราะห์ α -MSH) และ AgRP ในบริเวณ arcuate nucleus ของสมองส่วน hypothalamus มี

ระดับการแสดงออกของ mRNA ขึ้น *AgRP* ลดลง และ *MC4R* ในบริเวณ ventromedial ของสมองส่วน hypothalamus มีจำนวนในการจับกับ ligand น้อยลง การควบคุมสมดุลของพลังงานแบบ negative energy balance ในสภาวะปกติจะมีการเพิ่มการกินได้และลดการใช้พลังงาน ซึ่งเป็นผลจาก การ *AgRP* ไปจับกับ *MC4R* ซึ่งมีผลทำให้เกิดการกระตุ้นการกินได้จึงทำให้มีการใช้พลังงานน้อยลง ซึ่งในสภาวะที่ได้รับอาหารอย่างจำกัดจะมีการลดการกินและมีการเพิ่มการใช้พลังงาน ซึ่งเป็นผลจากการเผาผลาญไขมันจาก adipose tissue ทำให้ระดับ leptin ในพลาสม่าลดลง ในขณะเดียวกัน ระดับการแสดงออกของ mRNA ของขึ้น *AgRP* เพิ่มขึ้น และ *POMC* ในบริเวณ arcuate nucleus ของสมองส่วน hypothalamus จะมีระดับการแสดงออกของ mRNA ของขึ้น *POMC* ลดลงทำให้มีการสังเคราะห์ α -MSH ลดลงด้วย และ *MC4R* ในสมองส่วน hypothalamic nuclei จะมีจำนวนที่เพิ่มขึ้น (Schwartz, Woods, Porte, Jr, Seeley and Baskin, 2000; Adan and Kas, 2003) ดังแสดงในภาพที่ 2.2 จะเห็นได้ว่าเมื่อมีการได้รับอาหารอย่างจำกัดหรือมีการอดอาหารจะมีผลต่อการเปลี่ยนแปลง metamorphosis ในร่างกาย ซึ่งมีผลในทางตรงหรือทางอ้อมต่อการทำงานของร่างกายต่อกระบวนการสร้างไขมัน การสังเคราะห์กลูโคส และการสร้างไขมัน และจากกระบวนการของการเปลี่ยนแปลงของเมตาbolism ในส่วนหนึ่งจะถูกควบคุมโดยการทำางานร่วมกันระหว่างขึ้น *leptin* และการส่งสัญญาณของ melanocortin system (Bertile and Raclot, 2006) *leptin* จะถูกผลิตมาจาก adipose tissue เป็นหลัก ซึ่งมีหน้าที่ในการรักษาสมดุลของพลังงานซึ่งมีผลต่อการควบคุมการแสดงออกของขึ้น เช่น ขึ้น *POMC* ในระบบประสาท (Schartz et al., 1997) และขึ้น *MC4R* (Dridi, Swennen, Decuypere, and Buyse, 2005)

จากการศึกษาของ Balthasar et al. (2005) เมื่อมีการขับยึดการทำงานของ *MC4R* โดยการ knockdown ขึ้น *MC4R* ในหนู พบร่วมกับหนูที่ถูก knockdown ขึ้น *MC4R* มีการกินได้ที่เพิ่มขึ้น และมีน้ำหนักไขมันเพิ่มขึ้นเมื่อเปรียบเทียบกับหนูปกติ (wild type) เนื่องจากมีการลดการทำงานของขึ้น *MC4R* ก็จะมีผลต่อการเพิ่มการกินได้จึงทำให้มีการใช้พลังงานน้อยลงจึงทำให้เกิดการสะสมเนื้อเยื่อของไขมัน และมีการศึกษาผลของการฉีดสารกระตุ้นการทำงานของ *MC4R* (MC4R agonist เช่น MTII) ในหนู knockdown ขึ้น *MC4R* และหนูปกติ ซึ่ง agonist *MC4R* MTII เป็นสารสังเคราะห์ α -MSH analogs โดยจะเข้าจับกับ *MC4R* จึงทำให้เกิดการขับยึดการทำงานของ *MC4R* ที่เป็นปกติจึงทำให้เกิดการขับยึดการทำงานได้ และเมื่อหนูมีการกินอาหารน้อยลงจึงมีการนำไขมันที่สะสมมาเผาผลาญเป็นพลังงานสำหรับการดำรงชีวิต ซึ่งในหนูปกติที่มีการใช้ออกซิเจนที่มากขึ้นก็จะบ่งบอกถึงการเผาผลาญไขมันมาก



ภาพที่ 2.2 ระบบ melanocortin ในสมองต่อการรักษาสมดุลพลังงาน เมื่อมีการกินอาหารที่มีไขมันสูง
(A) และเมื่อมีการกินอาหารอย่างจำกัด (B)

ที่มา : Adan and Kas (2003)

2.6.4 บทบาทของ MC4R ต่อการควบคุมการกิน

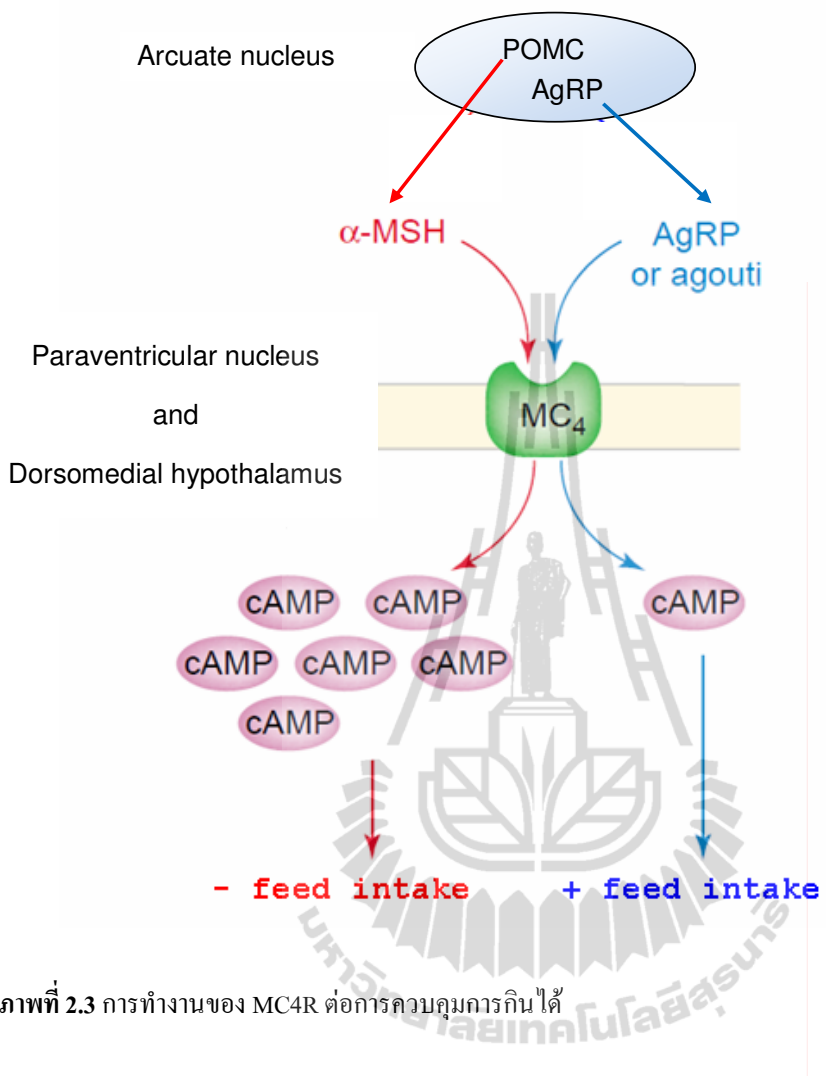
ในการควบคุมการกินได้ เกิดจากการที่ POMC ที่อยู่ในสมองบริเวณ arcuate nucleus (ARC) ทำการสังเคราะห์ α -MSH และหลังจากมา ซึ่ง α -MSH จะถูกส่งมาที่สมองบริเวณ paraventricular nucleus (PVN) และ dorsomedial hypothalamus (DMH) เพื่อมาจับกับ MC4R ซึ่งจะมีผลทำให้เกิดการขับยั้งการกินได้ (Irani and Haskell-Luevano, 2005) ส่วน AgRP ก็ถูกหลั่งมาจากสมองบริเวณ ARC เพื่อเข้ามาจับ MC4R ซึ่งมีผลทำให้เกิดการกระตุ้นการกินได้ในสัตว์ เมื่อ α -MSH มาจับกับ MC4R จะมีการส่งสัญญาณมากระตุ้นให้อ่อนไวซึ่ง adenyllyl cyclase ให้มีการเพิ่ม cyclic adenosine monophosphate production (cAMP) ภายในเซลล์ ซึ่ง cAMP จะไปกระตุ้นให้ protein kinase A (PKA) ทำงาน โดย PKA จะร่วมการเกิดปฏิกิริยาการเติมหมู่ฟอสเฟต (phosphorylation) ของ gene regulatory protein ในการทำงานดังกล่าวจะมีผลทำให้เกิดการขับยั้งการกินได้ และในทางตรงกันข้ามเมื่อ AgRP เข้ามาจับ MC4R จะเหนี่ยวแน่นให้ MC4R มีการเปลี่ยนโครงสร้าง ซึ่งจะทำให้เกิดการทำงานของเอนไซม์ phosphodiesterase และทำให้มีการลดระดับ cAMP ภายในเซลล์ ซึ่งมีผลทำให้ลดการทำงานของ PKA ใน การเร่งการเกิดปฏิกิริยาการเติมหมู่ฟอสเฟต (phosphorylation) ของ gene regulatory protein ในการทำงานดังกล่าวจะมีผลทำให้เพิ่มการกินได้ (Sanchez et al., 2009) ดังแสดงในภาพที่ 2.3

ในบริเวณสมองส่วน hypothalamus มีการแสดงออกของยีน *MC4R*, *AgRP*, *Cocaine-and-amphetamine-regulated transcript (CART)*, *Leptin receptor (LR)*, *Melanin concentrating hormone (MCH)*, *Neuropeptide Y (NPY)*, *Orexin* และ *POMC* ซึ่งในปัจจุบันได้มีรายงานการศึกษาฐานแบบของการแสดงออกของยีน neuropeptide ในสมองส่วน hypothalamus ซึ่งเป็นยีนที่มีความเกี่ยวข้องกับการควบคุมวงจรชีวิตที่เกิดขึ้นเป็นช่วงๆ ช่วงละ 24 ชั่วโมง (circadian rhythm) และมีความเกี่ยวข้องกับสภาวะของการได้รับอาหารได้แก่ ยีน *AgRP*, *CART*, *LR*, *MCH*, *NPY*, *Orexin* และ *POMC* (Saper, Lu, Chou, and Gooley, 2005; Stutz, Staszkiewicz and Ptitsyn, 2007) ซึ่งการศึกษาเกี่ยวกับการแสดงออกของยีน *MC4R* ในช่วงวงรอบของการกินต่อวันยังมีการศึกษาอยู่น้อย

การศึกษาการแสดงออกของยีน *MC4R* ในสภาวะการอดอาหารหรือการได้รับอาหารอย่างจำกัด จากรายงานการศึกษาในหนูที่มีการให้อาหารอย่างจำกัดหรือการให้อาหารไม่เพียงพอต่อความต้องการในระยะเวลา 10 วัน พบว่าหนูมีน้ำหนักของ epididymal ลดลง, มีระดับ leptin ในพลาสม่าลดลง ในสมองบริเวณ acuate nucleus มีระดับการแสดงออกของ mRNA ของยีน α -MSH ลดลง และมีผลทำให้เพิ่มจำนวน MC4R ในการจับกับ ligand ในบริเวณ ventromedial ของสมองส่วน hypothalamus (เพิ่มพื้นที่ในการที่ MC4R จะสามารถจับกับ ligand อีก ๑) และเมื่อหนูได้รับอาหารจำนวนมากหรืออาหารที่ไขมันสูงเป็นระยะ 10 วัน ก็จะมีผลทำให้ระดับการแสดงออกของ mRNA ของยีน α -MSH

เพิ่มขึ้น และมีผลทำให้ลดจำนวน MC4R ใน การจับกับ ligand ในบริเวณ ventromedial ของสมอง ส่วน hypothalamus (Harrold, Widdowson and Williams, 1999) จากรายงานของ Kas, Dijk, Scheurink and Adan (2003) ทำการศึกษาในหนูสภาวะการได้รับอาหารอย่างจำกัดพบว่าจากการทำ *In situ hybridization* ในสมองส่วนต่าง ๆ ของหนู สมองในบริเวณ acuate nucleus มีระดับการแสดงออกของ mRNA ของยีน α -MSH ลดลง และในบริเวณ ventromedial ของสมองส่วน hypothalamus มี การแสดงออกของ mRNA ของยีน MC4R เพิ่มขึ้น การศึกษาของ Higgins et al. (2010) ที่ได้มี การศึกษาผลการแสดงออกของยีน MC4R ในไก่ที่อู้ยู่ในสภาวะการอดอาหาร ซึ่งพบว่ามีการ แสดงออกของยีน MC4R เพิ่มขึ้นเมื่อมีช่วงเวลาการอดอาหารที่เพิ่มขึ้นถึง 48 ชั่วโมง ส่วนในปลา brafin flounder ในสภาวะการอดอาหาร ไม่มีผลต่อการแสดงออกของยีน MC4R ในสมอง แต่มีผล ต่อการเพิ่มการแสดงออกของยีน MC4R ในตับ (Kobayashi et el., 2008) ซึ่งข้อมูลเกี่ยวกับการ แสดงออกของยีน MC4R ที่มีความสัมพันธ์กับสภาวะของการได้รับอาหาร การรักษาสมดุลของ พลังงาน และการแสดงออกของยีน MC4R ในช่วงวางรอนของการกินต่อวันยังมีการศึกษาอู้ยู่น้อห ดังนั้นจึงควรมีการศึกษาการแสดงออกของยีน MC4R ที่มีความสัมพันธ์กับสภาวะของการได้รับ อาหาร และการรักษาสมดุลของพลังงานต่อไป





ภาพที่ 2.3 การทำงานของ MC4R ต่อการควบคุมการกินได้

2.7 การขับยั้งการทำงานของยีน MC4R ต่อการควบคุมการกินได้

เมื่อมีการขับยั้งการทำงานของ MC4R โดยสารสังเคราะห์ melanocyte stimulating hormone (MSH) analogs ซึ่งจะมีการไปขัดขวางการเข้าจับกันระหว่าง α -MSH และ MC4R จึงมีผลทำให้เกิดการกระตุ้นการกินได้ (Kawauchi and Baker, 2004) สารสังเคราะห์ MSH analogs หรือ MC4R antagonists ซึ่งได้แก่ SHU9119, HS014 และ HS024 จะทำหน้าที่ในการเข้าไปแข่งการจับของ α -MSH ต่อ MC4R ซึ่ง MC4R antagonist มี 2 แบบ คือแบบ nonselective antagonist (SHU9119) ซึ่งจะประกอบไปด้วยกรดอะมิโนที่มีความสำคัญต่อการจับกับ MC3R และ MC4R ทำให้ลักษณะการจับเป็นแบบไม่จำเพาะเจาะจง ซึ่งส่วนมาก SHU9119 จะถูกนำมาใช้เมื่อต้องการศึกษาการทำหน้าที่ของ MC3R และ MC4R แบบ selective antagonist (HS131, HS014, HS024) ประกอบไปด้วยกรดอะมิโนที่มีความสำคัญต่อการจับกับ MC4R ทำให้ลักษณะการจับเป็นแบบจำเพาะเจาะจงต่อ MC4R แต่อย่างไรก็ตาม HS024 จะมีความสามารถในการจับกับ receptor ได้สูงกว่า (high affinity) HS131 และ HS014 (Kask et al., 1998) (ดังตารางที่ 2.3)

ตารางที่ 2.3 การเปรียบเทียบสารสังเคราะห์ α -MSH, MC4R antagonists (SHU9119, HS131, HS014, HS024) และ MC4R agonist (MTII)

กรดอะมิโน	ตำแหน่งของกรดอะมิโน														
	1	2	3	4	5	6	7	8	9	10	11	12	13	14	15
α -MSH	Ser	Tyr	Ser	Met	Glu	His	Phe	Arg	Trp	Gly	Lys	Pro			Val
MTII				Nle	<u>Asp</u>	His	D-Phe	Arg	Trp	<u>Lys</u>					
SHU9119				Nle	<u>Asp</u>	His	D-Nal	Arg	Trp	<u>Lys</u>					
HS131					<u>Cys</u>	Gly	D-Nal	Arg	Trp	<u>Cys</u>					
HS014					<u>Cys</u>	Glu	His	D-Nal	Arg	Trp	Gly	<u>Cys</u>	Pro	pro	Lys Asp
HS024					<u>Cys</u>	Nle	Arg	His	D-Nal	Arg	Trp	Gly	<u>Cys</u>		

หมายเหตุ : Nle = Norleucine, D-Nal = b-(2-naphthyl)-D-alanine,

ตัวอักษรที่จีดเส้นใต้และเป็นตัวอน = กรดอะมิโนที่เป็น cyclic peptide

ที่มา : Kask et al. (1998)

จากการศึกษาของ Cerdá-Reverter et al. (2003) ในปลา goldfish มีการฉีด MC4R antagonist (HS024) เข้าทางสมอง cerebroventricular injection (ICV) ที่ระดับ 0.8, 1.6 และ 3.2 nmol พบว่า ในช่วงระยะเวลา 4 ชั่วโมงหลังจากการฉีดที่ระดับ 1.6 และ 3.2 nmol ปลา goldfish มีการกินได้ลดลงเพิ่มขึ้นเมื่อเปรียบเทียบกับปลา goldfish ที่ฉีดด้วย saline แต่การฉีด HS024 ในระดับต่างๆ ไม่มีผลแตกต่างอย่างมีนัยสำคัญ การศึกษาในปลา rainbow trout ที่ระดับการฉีด HS024 3.0 nmol มีระดับการกินมากที่สุด แต่ไม่มีผลแตกต่างจากการฉีดที่ระดับ 0.3 nmol และ 1.0 nmol และเมื่อฉีด SHU9119 ที่ระดับ 0.3, 1.0 และ 3.0 nmol ไม่มีผลต่อการเพิ่มการกิน ได้ เมื่อเปรียบเทียบกับกลุ่มควบคุม ซึ่งจากการที่ HS024 มีประสิทธิภาพต่อการเพิ่มการกินได้มากกว่า SHU9119 เพราะ HS024 มีความสามารถในการจับกับ MC4R ของปลา rainbow trout ได้สูง (high affinity) กว่า SHU9119 (Schjolden, Schioth, Larhammar, Winbreg, Larson, 2008) ซึ่งในการศึกษาบทบาทการทำงานของยีน MC4R ต่อการควบคุมการกินได้ของปลาด้วยการศึกษาน้ำอยู่ ดังนั้นจึงค่อนข้างมีข้อจำกัดในการหาระดับของการฉีด MC4R antagonist ที่จะฉีดเพื่อขับขึ้นการทำงานของยีน MC4R ในปลา ได้ ดังนั้นจึงได้ทำการรวมระดับของการฉีด MC4R antagonist ในสัตว์ชนิดอื่น ๆ เพื่อเป็นข้อมูลประกอบในการหาระดับที่เหมาะสมในการนำไปศึกษาทดลองในปลาสกิด (ดังแสดงในตารางที่ 2.4) และนอกจากนี้มีรายงานการศึกษาของผลของการขับขึ้นการทำงานของ MC4R ในระยะยาวในหนู โดยมีการฉีด HS014 ที่ระดับ 1 nmol เป็นระยะเวลา 16 วัน วันละ 2 ครั้ง พบว่าหนูที่ถูกฉีดด้วย HS014 มีการการกินได้ที่เพิ่มตัวต่อไปในวันที่ 1-6 และมีน้ำหนักตัวที่เพิ่มขึ้นในวันที่ 4-6 เมื่อฉีด HS014 หนูจะมีการกินได้ลดลง (Kask, Pahkla, Lrs, Rago, Wikberg and Schioth, 1999) และมีรายงานการศึกษาของ Jonsson, Skarphedinsson, Skuladottir, Watanobe and Schioth, (2002) ในหนู เมื่อฉีด HS024 ที่ระดับ 0.1 nmol ต่อชั่วโมง โดยฉีดทาง ICV พบว่าหลังจากการฉีดตลอดระยะเวลา 4 สัปดาห์ หนูที่ได้รับการฉีด HS024 มีการเพิ่มการกินได้และมีน้ำหนักตัวเพิ่มขึ้น

ตารางที่ 2.4 ผลของ MC4R antagonist ต่อการกินໄได้ในสัตว์

ชนิด	Antagonist	ระดับ (หน่วย / g BW)	วิธีการ	ระยะเวลา (หลังจาก การฉีด)	ผลการทดลอง	ที่มา
Goldfish	HS024	0.8 nmol	ICV	4 ชั่วโมง	ที่ระดับการฉีด 1.6 และ 3.2 nmol ปลามีระดับการกินมากกว่าในกลุ่ม	Cerda-Reverter et al. (2003)
		1.6 nmol			ควบคุม แต่ไม่มีความแตกต่างจากระดับ 0.8 nmol อย่างมีนัยสำคัญ	
		3.2 nmol				
Rainbow trout	HS024	0.3 nmol	ICV	1 ชั่วโมง	ที่ระดับการฉีด 3.0 nmol ปลามีระดับการกินมากที่สุด แต่การฉีด	Schjolden et al. (2008)
		1.0 nmol			HS024 ในระดับต่างๆ ไม่มีความแตกต่างจากอย่างมีนัยสำคัญ	
		3.0 nmol				
	SHU9119	0.3 nmol	ICV	1 ชั่วโมง	ไม่มีผลต่อการกินໄได้ เมื่อเปรียบเทียบกับกลุ่มควบคุม	
		1.0 nmol				
		3.0 nmol				

หมายเหตุ : BW =body weight, ICV = Intracerebroventricular injection (ฉีดเข้าในสมองส่วน cerebroventricular)

ตารางที่ 2.4 ผลของ MC4R antagonist ต่อการกินได้ในสัตว์ (ต่อ)

ชนิด	Antagonist	ระดับ (หน่วย/g BW)	วิธีการ	ระยะเวลา (หลังจากการฉีด)	ผลการทดลอง	ที่มา
Ring dove (<i>Columba palumbus</i>)	AgRP	1 nmol	ICV	10-12 ชั่วโมง	มีผลต่อการเพิ่มการกินได้	
	HS014	0.02 nmol	ICV	4 ชั่วโมง	ทุกระดับการฉีด HS014 มีผลต่อการเพิ่มการกินได้	
		0.2 nmol			เมื่อเปรียบเทียบกับกลุ่มควบคุม	
		2.0 nmol		8 ชั่วโมง	ที่ระดับการฉีด HS014 2.0 nmol มีผลต่อการเพิ่ม ระดับการกินได้	Strader et al. (2003)
หมู (Rat)	SHU9119	0.02 nmol	ICV	8-24 ชั่วโมง	ทุกระดับการฉีด HS014 มีผลต่อการเพิ่มการกินได้	
		0.2 nmol			เมื่อเปรียบเทียบกับกลุ่มควบคุม	
		2.0 nmol				
	SHU9119	10 pmol	PVN	2-24 ชั่วโมง	ที่ระดับการฉีด 50 pmol มีระดับการกินได้สูงกว่าที่	Giraudo,
		50 pmol			ระดับการฉีด 10 pmol และทั้งสองระดับมีผลต่อการ	Billington
					เพิ่มการกินได้สูงกว่าในกลุ่มควบคุมอย่างมีนัยสำคัญ	and Levine (1998)

หมายเหตุ : BW =body weight, ICV = Intracerebroventricular injection (ฉีดเข้าในสมองส่วน cerebroventricular), PVN = Paraventricular nucleus injection

(ฉีดเข้าในสมอง paraventricular)

ตารางที่ 2.4 ผลของ MC4R antagonist ต่อการกินไಡ้ในสัตว์ (ต่อ)

ชนิด	Antagonist	ระดับ (หน่วย/g BW)	วิธีการ	ระยะเวลา (หลังจากการฉีด)	ผลการทดลอง	ที่มา
หนู (Rat)	SHU9119	0.3 nmol	ICV	1-4 ชั่วโมง	ที่ระดับการฉีด 1.0 nmol มีผลต่อการเพิ่มการกินไಡ้	
		1.0 nmol		3-4 ชั่วโมง	ที่ระดับการฉีด 0.3 nmol มีผลต่อการเพิ่มการกินไಡ้	
		3.0 nmol				
		6 nmol				
	HS014	0.1 nmol	ICV	1-4 ชั่วโมง	ที่ระดับการฉีด 1.0 nmol มีผลต่อการเพิ่มการกินไಡ้ และมีการกินได้ลดลงเมื่อมีระดับการฉีดที่สูงขึ้น	Kask et al. (1998)
		0.33 nmol				
		1.0 nmol				
		3.3 nmol				
		10.0 nmol				
	HS024	0.1 nmol	ICV	2-4 ชั่วโมง	การฉีดที่ระดับ 1.0 nmol มีผลต่อการเพิ่มระดับการกินไಡ้	
		0.33 nmol				
		1.0 nmol				

หมายเหตุ : BW =body weight, ICV = Intracerebroventricular injection (ฉีดเข้าในสมองส่วน cerebroventricular)

ตารางที่ 2.4 ผลของ MC4R antagonist ต่อการกินไಡในสัตว์ (ต่อ)

ชนิด	Antagonist	ระดับ (หน่วย/ g BW)	วิธีการ	ระยะเวลา (หลังจากการฉีด)	ผลการทดลอง		ที่มา
หมู(Rat)	HS131	0.01 mg/kg	IP	4 ชั่วโมง	ไม่มีผลต่อการเพิ่มการกินไಡ		Schioth et al. (2003)
		0.1 mg/kg					
		1.0 mg/kg					
		0.01 mg/kg	SC	2 ชั่วโมง	ที่ระดับการฉีด 1.0 mg/kg มีผลต่อการเพิ่มการกินไಡ		
		0.1 mg/kg					
		1.0 mg/kg					
	การฉีดที่ระดับ 0.1, 0.4 และ 1.6 μg	0.025 μg	ICV	2 ชั่วโมง	การฉีดที่ระดับ 0.1, 0.4 และ 1.6 μg มีผลต่อการเพิ่มระดับการกินไಡ		
		0.1 μg					
		0.4 μg					
		1.6 μg					

หมายเหตุ : BW =body weight, IP = Intraperitoneal injection (ฉีดเข้าช่องท้อง), SC = Subcutaneous injection (ฉีดเข้าใต้ผิวนัง),

ICV = Intracerebroventricular injection (ฉีดเข้าในสมองส่วน cerebroventricular)

บทที่ 3

วิธีดำเนินการวิจัย

การศึกษาวิจัยครั้งนี้แบ่งออกเป็น 3 แผนการดำเนินงานดังนี้

แผนการดำเนินงานที่ 1 การโคลน cDNA เส้นสมบูรณ์ของยีน *TpMC4R* และการศึกษาการแสดงออกของ mRNA ของยีน *TpMC4R* ในระหว่างการพัฒนาการของตัวอ่อนและในอวัยวะต่าง ๆ ของปลาสลิด

แผนการดำเนินงานที่ 2 การศึกษาการแสดงออกของ mRNA ของยีน *TpMC4R* ในระหว่างมื้ออาหารของการกินอาหารปกติ และผลของการลดอาหารระยะสั้นต่อการแสดงออกของ mRNA ของยีน *TpMC4R* ในปลาสลิด

แผนการดำเนินงานที่ 3 การศึกษาผลของ MC4R antagonist ต่ออัตราการกินได้ของปลาสลิด และผลของ MC4R antagonist ต่อการแสดงออกของ mRNA ของยีน *TpMC4R* ในสมอง

3.1 ปลาสลิดที่ใช้ในการศึกษา

นำปลาสลิดมาจากฟาร์มในเขตจังหวัดนครราชสีมา มาพักเลี้ยงที่ฟาร์มประมงของมหาวิทยาลัยเทคโนโลยีราชภัฏยะลา จังหวัดยะลา ขนาด 5x10x1 ลูกบาศก์เมตร ทำการฝึกปลาสลิดให้กินอาหารสำเร็จรูปทางการค้า (โปรตีน 40 %, ไขมัน 6%) โดยให้กินอาหารวันละ 2 ครั้ง ที่เวลา 10.00 น. และ 16.00 น.

3.2 สถานที่ทำการทดลอง

อาคารเครื่องมือ 3 ศูนย์เครื่องมือวิทยาศาสตร์และเทคโนโลยี มหาวิทยาลัยเทคโนโลยีสุรนารี และฟาร์มประมงมหาวิทยาลัยเทคโนโลยีสุรนารี (มหาส.)

3.3 อุปกรณ์และสารเคมี

1. กรรไกรตัดกะโหลก
2. มีดผ่าตัด
3. คีมปลายแหลม (Forceps)

4. ไนโครปีเปตเตอร์ (Micropipette) ขนาด 1000, 200, 100, 10 ไนโครลิตร (μl)
5. ไนโครทิป (Microtip)
6. หลอดไนโครเซนทริฟิวจ์ขนาด 1.5 มิลลิลิตร (Microcentrifuge tube 1.5 ml)
7. หลอดสำหรับทำ PCR ขนาด 200 μl
8. ถาดหลุมสำหรับทำ Real time PCR 96 หลุม (Plate 96 well)
9. เครื่องผสมสาร (Vortex mixer)
10. เครื่องเซนทริฟิวจ์แบบควบคุมอุณหภูมิได้ (Refrigerated centrifuge)
11. อ่างควบคุมอุณหภูมิแบบแห้ง (Dry bath)
12. เครื่องวัดความชื้นของ RNA (Nanodrop)
13. ตู้เย็นอุณหภูมิ -80 องศาเซลเซียส ($^{\circ}\text{C}$)
14. ตู้เย็นอุณหภูมิ -20 $^{\circ}\text{C}$
15. เครื่องปฎิกริยาลูกโซ่ (Polymerase chain reaction: PCR)
16. เครื่องเรียบໄทน์ พีซีอาร์ (LightCycler® 480 Real-Time PCR System: Roche Applied Science)
17. เจลแชมเบอร์ (Gel chamber)
18. เครื่องกำนิดไฟฟ้า (Power supply)
19. เครื่องกำนิดแสงอัลตราไวโอเลต (UV transilluminator, Biorad)
20. กระดาษพาราฟิล์ม (Para film paper)
21. ตู้ควบคุมอุณหภูมิ (Incubator)
22. ตะเกียงแอลกอฮอล์ (Alcohol lamp)
23. ไม้จิมฟัน
24. แท่งแก้วสำหรับเกลี่ยเชื้อ (Spreader)
25. ตู้เดี่ยงเชื้อแบบเบเย่า (Incubator shaker)
26. จานเดี่ยงเชื้อ (Petridis)
27. หลอดทดลองสำหรับเดี่ยงเชื้อขนาด 3 ml
28. ลวดเชือก (Loop)
29. Measuring pipette
30. 2-phenoxyethanol
31. ชุดสารเคมีสำหรับสังเคราะห์ first strand cDNA (SMART™ RACE cDNA amplification kit, Clontech, Palo Alto, CA)

32. ชุดสารเคมี ImProm-II™ Reverse Transcription system kit (Promega, Madison, WI, USA)
33. ชุดสารเคมีสำหรับสังเคราะห์ First Strand cDNA Synthesis Kit (GE healthcare, Buckinghamshire, UK)
34. ชุดสารเคมี PCR LA Taq kit (Takara)
35. ชุดสารเคมี PCR EX Taq kit (Takara)
36. ชุดสารเคมี LightCycler® 480 SYBR Green I Master (Roche Applied Science, Indianapolis, IN)
37. ชุดสารเคมี PCR GoTaq® DNA polymerase (Promega)
38. ชุดสารเคมีทำให้ดีอีนเอ็มีความบริสุทธิ์ QIAquick Gel extraction Kit (Qiagen)
39. พลากวนิช pGEM® T-Easy vector system I (Promega)
40. เอนไซม์ DNase I
41. เอนไซม์ EcoR I
42. เอนไซม์ RNase
43. Trizol reagent
44. Isopropanol
45. Ethanol
46. Phenol
47. Chloroform
48. Sodium acetate
49. Ethylene diaminetetraacetic acid (EDTA)
50. Dimethyl sulfoxide (DMSO)

3.4 แผนการดำเนินงานที่ 1 การโคลน cDNA เส้นสมบูรณ์ของยีน *TpMC4R* และการศึกษา การแสดงออกของ mRNA ของยีน *TpMC4R* ในระหว่างการพัฒนาการของตัวอ่อน และในอวัยวะต่าง ๆ ของปลาสลิด

3.4.1 การโคลน cDNA ของยีน *TpMC4R* และยีน β -actin ด้วยวิธี Rapid Amplification

of cDNA Ends (RACE) amplification

การเก็บตัวอย่างสมองปลาสลิด

นำปลาสลิดที่มีสุขภาพดีที่มีน้ำหนักประมาณ 60 กรัม มาทำการเก็บสมอง โดยนำปลา สลิดไปแช่ใน 300 ppm 2-phenoxyethanol เพื่อทำการลับปลาสลิด หลังจากนั้นทำการเปิดกะโหลก ปลาและใช้คิมปลายแหลมดึงสมองออกมาจากโครงกระดูกใส่ลงในหลอดไนโตรเซนทริฟิวจ์ (microcentrifuge tube) ขนาด 1.5 ml นำตัวอย่างสมองไปแช่ -80°C ส่วนเก็บตัวอย่างตับปลาสลิดใช้ มีดผ่าตัดผ่าหน้าห้องปลา แล้วใช้คิมคิบตับให้หลอดและนำไปแช่ -80°C

การสกัด Total RNA

นำตัวอย่างเนื้อเยื่ออ่อนของปลาสลิดที่เก็บใน -80°C มาพักในถังน้ำแข็ง โดยตัวอย่าง เนื้อเยื่อต้องมีน้ำหนักประมาณ 50-100 มิลลิกรัม (mg) และใส่สาร Trizol 500-1000 μ l และทำการ บดตัวอย่างให้ละเอียด และตั้งไว้ที่อุณหภูมิห้อง 5 นาที หลังจากนั้นใส่ chloroform 1 ส่วนต่อ 5 ส่วน ของสารละลายในหลอด ทำการผสม (vortex) และนำไปปั่นเหวี่ยง (centrifuge) ด้วยความเร็วรอบ 12,500 rpm ที่อุณหภูมิ 4°C เป็นเวลา 5 นาที สารละลายจะแยกชั้น โดยส่วนของอาร์เอ็นเอจะอยู่ชั้น บน ทำการดูดสารส่วนบนขึ้นไปยังหลอดไนโตรเซนทริฟิวจ์หลอดใหม่ หลังจากนั้นทำการ ตกตะกอนอาร์เอ็นเอด้วย isopropanol โดยใส่สาร isopropanol เท่ากับสารละลายอาร์เอ็นเอที่ขึ้นมา ทำการ vortex สารละลาย และวางที่อุณหภูมิห้องเป็นเวลา 1 ชั่วโมง เมื่อครบเวลานำหลอดไปปั่น เหวี่ยงด้วยความเร็วรอบ 12,500 rpm ที่อุณหภูมิ 4°C เป็นเวลา 30 นาที จากนั้นดูดสารละลายออกทิ้ง เหลือไว้เฉพาะตะกอนของอาร์เอ็นเอ ต่อมาทำการล้างตะกอนด้วย 80% ethanol 2 เท่าของ สารละลายอาร์เอ็นเอ หลังจากนั้นปั่นเหวี่ยงด้วยความเร็วรอบ 12,500 rpm ที่อุณหภูมิ 4°C เป็นเวลา 5 นาที และทำการดูดสารละลายทิ้งอีกครั้ง และเปิดฝาหลอดวางไว้ที่อุณหภูมิห้องเป็นเวลา 10-15 นาที เพื่อให้ออกทานกระเทยออกไป หลังจากนั้นละลายตะกอนอาร์เอ็นเอในน้ำ DEPC 225 μ l ทำการ ผสมเบา ๆ เพื่อให้ตะกอนละลาย จากนั้นใส่ DNase I (5U/ μ l) 1 μ l และสาร RQ 1 DNase 10x buffer 25 μ l เพื่อกำจัดดีเอ็นเอให้เหลือไว้แต่อาร์เอ็นเอ นำหลอดไปตั้งในอ่างควบคุมอุณหภูมิแบบแห้ง โดยตั้งอุณหภูมิ 37°C เป็นเวลา 30 นาที และทำลายเอนไซม์ DNase I ด้วยอุณหภูมิ 70°C เป็นเวลา 5 นาที จากนั้นทำการล้างรีสุทธิ์โดยใส่ phenol ต่อสาร chloroform (1 ส่วนต่อ 1 ส่วนของสารละลายที่มี

อยู่) ทำการ vortex และนำไปปั่นเหวี่ยงด้วยความเร็วรอบ 12,500 rpm ที่อุณหภูมิ 4°C เป็นเวลา 5 นาที สารละลายจะแยกชั้นโดยส่วนของอาร์เอ็นเอจะอยู่ชั้นบน ทำการดูดสารส่วนบนขึ้ยไปยังหลอดไไม่ โครเซนทริฟิวจ์หลอดใหม่ หลังจากนั้นทำการตกรตะกอนอาร์เอ็นเออีกครั้งด้วย 3 M sodium acetate pH 5.2 ใส่ 1 ส่วนต่อ 10 ส่วนของสารละลายที่อยู่ในหลอด และสาร absolute ethanol โดยใส่ 3 เท่าของสารในหลอด และทำการ vortex สารละลาย นำหลอดไปตั้งไว้ที่อุณหภูมิ -80°C เป็นเวลา 1 ชั่วโมง หรือที่อุณหภูมิห้องเป็นเวลาประมาณ 16-18 ชั่วโมง เพื่อเป็นการตกรตะกอนอาร์เอ็นเอ เมื่อครบเวลานำหลอดไปทำการปั่นเหวี่ยงด้วยความเร็วรอบ 12,500 rpm ที่อุณหภูมิ 4°C เป็นเวลา 30 นาที จากนั้นดูดสารละลายออกทิ้งเหลือไว้ในพะตะกอนของอาร์เอ็นเอ และทำการล้างตะกอนด้วย 80% ethanol 2 เท่าของสารละลายอาร์เอ็นเอ หลังจากนั้นปั่นเหวี่ยงด้วยความเร็วรอบ 12,500 rpm ที่อุณหภูมิ 4°C เป็นเวลา 5 นาที ทำการดูดสารละลายที่อีกครั้ง และปิดฝาหลอดวางไว้ที่อุณหภูมิห้องเป็นเวลา 10-15 นาที เพื่อให้ออกทานอกระยะหอยไป จากนั้นละลายตะกอนอาร์เอ็นเอทั้งหมด (total RNA) ในน้ำ DEPC 30 μl และเก็บ total RNA ในตู้เย็น -80°C โดยทำการแบ่ง total RNA ออกเป็นส่วน ๆ เพื่อหลีกเลี่ยงการแซ่บเบี้งและละลายหาย ๆ ครั้ง

3.4.1.1 การโคเลน cDNA ของยีน *TpMC4R* ด้านปลาย 3' ด้วยเทคนิค 3'RACE

การสังเคราะห์ First strand cDNA ของยีน *TpMC4R* ด้านปลาย 3'

นำ total RNA ของสมองที่ได้ส่วนหนึ่งไปวัดความเข้มข้นของ RNA ที่ค่าการดูดกลืนแสง 260 นาโนเมตร (nm) หลังจากนั้นทำการสังเคราะห์ first strand cDNA จาก total RNA โดยใช้ SMART™ RACE cDNA amplification kit โดยมีการเตรียมสารละลายสำหรับสังเคราะห์ first strand cDNA 3' RACE ดังนี้ Total RNA ความเข้มข้น 1-5 μg/μl ใส่ 1-3 μl, 3'-CDS primer A ที่มีความเข้มข้น 12 μM ใส่ 1 μl, SMART II A Oligonucleotide ที่มีความเข้มข้น 12 μM ใส่ 1 μl และน้ำ Deionized เพื่อปรับปริมาตรให้สารละลายทั้งหมดเท่ากับ 5 μl ทำการผสมสารละลายในหลอดไไม่ โครเซนทริฟิวจ์ให้เข้ากันและทำการปั่นเหวี่ยงที่ความเร็วรอบ 5000 rpm ที่อุณหภูมิ 4°C เป็นเวลา 1 นาที หลังจากนั้นนำหลอดไปตั้งที่อุณหภูมิ 70°C เป็นเวลา 2 นาที และแซ่บลงในถังน้ำแข็งทันทีเป็นเวลา 2 นาที เมื่อครบเวลานำหลอดตั้งกล่าวมาใส่สารละลายผสม (premixture) 5 μl (premixture ประกอบด้วย 5x First-Strand buffer 2 μl, 20 mM DTT 1 μl, 10 mM dNTP Mix 1 μl และ MMLV Reverse Transcriptase 1 μl) ซึ่งสารละลายทั้งหมดเท่ากับ 10 μl หลังจากนั้นผสมสารละลายในหลอดให้เข้ากัน และทำการปั่นเหวี่ยงที่ความเร็วรอบ 5000 rpm ที่อุณหภูมิ 4°C เป็นเวลา 1 นาที และนำหลอดไปตั้งที่อุณหภูมิ 42°C เป็นเวลา 2 ชั่วโมง หลังจากนั้นใส่สาร Tricine-EDTA buffer 100 μl

และนำหลอดไปตั้งในอ่างควบคุมอุณหภูมิแบบแห้ง ที่อุณหภูมิ 72°C เป็นเวลา 7 นาที เพื่อหดปฎิกิริยา และเก็บตัวอย่าง cDNA ไว้ที่อุณหภูมิ -20°C

การออกแบบไพรเมอร์

ทำการรวบรวมข้อมูลของยีน *MC4R* ในสัตว์ชนิดต่าง ๆ โดยเฉพาะในปลาที่ได้มีการรายงานไว้ในฐานข้อมูลของ GenBank database (<http://www.ncbi.nlm.nih.gov/>) จากนั้นทำการเปรียบเทียบความตรงกัน (alignment) ของลำดับนิวคลีโอไทด์ของยีน *MC4R* (ดังภาพที่ 3.1) โดยใช้โปรแกรม EBI Tools Clustal W2 (<http://www.ebi.ac.uk/Tools/msa/clustalw2/>) และทำการออกแบบไพรเมอร์เพื่อนำมาใช้ในการโคลน cDNA ของยีน *TpMC4R* ด้านปลาย 3' (ดังตารางที่ 3.1)



Goldfish	---ATGAAACACCTCACATCACCATGGACCGCATATTACAGGAATCACAGGCCAGGGGGTTG-----	63	
Zebrafish	---ATGAAACACCTCACATCATGGACTGCATATTACATTCGAAACCACAGCCAAGGAGCTCG-----	63	
Karasu	---ATGAAACGCCACCGATCCCCCTGGGAGGGTGCAGGACTTCAGCAACGGGAGCAAACCCGG-----	61	
Flounder	---ATGAAACACGACAGAACATCCTGGTCTGAGCAAGGCTTCCACAACCTGGAGCAAACCGCG-----	60	
Saebass	---ATGAAACACCACAGAGGCTATGGATTGATCATGGTACCCATAACCGAGCAAACCTCGGGC-----	63	
Trout	ATGATGAATTCCACAGACCACCAAGGGTGTATCTGTGGCTATACCAAGGAACCTCAGCACTGCTGGACT	72	
Dogfish	---ATGAACTCCCTCGTTCATCACAGGCTGCCGGAGACCCCGCAGCTAGAAACACCAGCGTGGCG-----	63	
Human	---ATGGTGAACATCCACCCACCCTGGGATGCACACTTCTGCACCTCTGGAACCGCAGCAGTACAGCTG	69	
Chicken	---ATGAATTTCACCCAGCATCGTGGGACACTCCAGCCTCTCCATTCTGGAACACCAGAGCA---ACGGACTG	66	
	*** * * * *	* * *	
Goldfish	-----CCAGTGGAAAGCCTGATCAAGGTG-AAGAGAGGATCAACCTCTGGATGTTACGAGCAGCTA	123	
Zebrafish	-----CCGGTGGAAAGCCTCTCATGGTG-AAGAGGATCAACCTCTGGATGCTACGAGCAGTTG	123	
Karasu	-----AGACGGACTTCCAAACGAGGAG---AAGGAATCTGCTACGGGATGCTACGAGCAGATG	117	
Flounder	---TCGCCACTGAACGAGGACTTCAGCCCAGAC---AAGGACTCTGCCGGATGTTACGAGCAGCTG	126	
Saebass	ATTTGGCACTTAACAAAGACTATCAGCAGAGGAG---AAGGACTCTCCACAGGATGTTACGAGCAGCTG	132	
Trout	CTGGGAACCTCAACAAAGACTCAGAGGGCTGGTATCAAGGACTCTCACAGGATGTTACGAGCAGCTC	144	
Dogfish	-----AGATTGCCACGCGCAACGGCTCGCGCAG---TGACGGCTTCTCTGGGATGCTACGAGCAACTC	126	
Human	-----CACAGCAATGCCAGTGAAGTCCCTGGAAAAGGCTACTCTGATGGAGGGTGTACGAGCAACTT	132	
Chicken	-----CACAGGGGTGCCAGCAGGCCAGTCGAAGGGCCACTCTCGGGAGGCTGTATGAACAACCTC	129	
	Primer MC4R-F1	Primer MC4R-F2	* * * * * * * * *
	TCCTCCACGGAGGTCTTCCCTSAC	TCAGCCTSYTGAGAACATCCT	
Goldfish	CTCA TCCTCCACAGGGTCTTCCCTSAC ACTGGGA TCGTCAGTCTCTGGAGAACAT TTAGTGATTGCTGCT	195	
Zebrafish	CTGA TCCTCCACGGAGGTCTTCCCTSAC GCTCGGG TCGTCAGCTCTGGAGAACAT CCTGTGATTGCGACC	195	
Karasu	CTGA TCCTCCACGGAGGTCTTCCCTSAC TCTGGGA TCATCAGCCCTGCTGGAGAACAT CCTGGTGGTCGCCGT	189	
Flounder	CTGA TCCTCCACGGAGGTCTTCCCTSAC TCTGGGA TCGTCAGCCCTGCTGGAGAACAT CCTGGTGGTCGCTGCT	198	
Saebass	CTGA TTTCCCCAGGGTTTCCCTSAC TCTGGGA TCGTCAGCCCTGCTGGAGAACAT CCTGGTTGGTGTGCTGCT	204	
Trout	CTCA TCCTCACCGAGGTCTTCCCTSAC ACTGGGA TAGTCAGTTTATTAGAGAACAT CCTGGTGTGCTGCC	216	
Dogfish	TGGA TCCTCACCGAGGTCTTCCCTSAC GCTGGGA TCTTCAGCCCTTGGCAAAATAT TTTGGTATTGCACT 198		
Human	TTTG TCCTCCTGAGGTGTTGTGAC TCTGGG TCATCAGCTTGTGGAGAACAT TCTAGTGATTGTTGGCA	204	
Chicken	TTTG TATCCCCCTGAAGTGTGTTGTGAC TCTGGG TCATCAGCTTGTGGAGAACAT CCTGGTATTGTTGGCA	201	
	* * * * * * * * *	* * * * * * * * *	* * * * * * * * *
	Primer MC4R-F3		
	ATGTA CTT Y T T C A T C T G C A C G Y		
Goldfish	ATTATCAAGAACAAAGAACCTTCATTCTCC ATGTA CTT T T C A T C T G C A C G Y	267	
Zebrafish	ATCGTCAAAAACAAGAACCTACATTCCCT ATGTA CTT T T C A T C T G C A C G Y	267	
Karasu	ATAGTGAAGAACAAAGAACATCTCACTGG ATGTA CTT T T C A T C T G C A C G Y	261	
Flounder	ATAATCAAGAACAAAGAACCTCACTCG ATGTA CTT T T C A T C T G C A C G Y	270	
Saebass	ATCATAAAAAACAGAACCTCACTAAC ATGTA CTT T T C A T C T G C A C G Y	276	
Trout	ATCATCAAGAACAAAGAACCTCACT ATGTA CTT T T C A T C T G C A C G Y	288	
Dogfish	ATTGCTAAAACAAGAACCTG ATGTA CTT T T C A T C T G C A C G Y	270	
Human	ATAGCAAGAACAAAGAACATCTGATT ATGTA CTT T T C A T C T G C A C G Y	276	
Chicken	ATAGCAAGAACAAAGAACCTCACT ATGTA CTT T T C A T C T G C A C G Y	273	
	* * * * * * * * *	* * * * * * * * *	* * * * * * * * *
Goldfish	GTCAGTGTCTCAAATGGCTCCGAAACGGTAGTGTGATGGCACTCATCAGGGGCAACCTAACCTATCGCGAG	339	
Zebrafish	GTGAGTGTCTCAAATGCTCGGAAACAGTTGTGATGGCGCTCATCTGGAGGCAACCTGACCAACCGTGAG	339	
Karasu	GTGAGCGTCTCAAACGCCCTCGAGACGATGTCATAGGCGCATCAACAGCGGACCGCTGACCATCCCCCG	333	
Flounder	GTCAGCGTCTCAAACGCCCTGAGACCATGTCATCGCGCTCATCAATGGAGGCAACCTGACCATCCCCCG	342	
Saebass	GTCAGTGTCTCAAACGCCCTGAGACCATGTCATCGCGCTCATCAATGGAGGCAACCTGACCATCCCCCG	348	
Trout	GTCAGCGTCTCAAACGCCCTGAGACCATGTCATCGCGCTCATCAACAGCGGCAACCTGACCATCTCCGG	360	
Dogfish	GTTAGCGTGTCTCAAACGCCCTGAGACCATGTCATCGCGCTCATCAACAGCGGCAACCTGACCATCTCCGG	342	
Human	GTGAGCGTGTCTCAAACGCCCTGAGACCATGTCATCGCGCTCATCAACAGCGGCAACCTGACCATCTCCGG	345	
Chicken	GTGAGTGTATCTAATGGATCAGAACATTGTCATCACCGCTTCAAACAA---TATAGATACAGACGACAG	342	
	* * * * * * * * *	* * * * * * * * *	* * * * * * * * *

ภาพที่ 3.1 การ alignment ของลำดับนิวคลีโอไทด์ของยีน *MC4R* ในสัตว์มีกระดูกสันหลังชนิดต่าง ๆ และการออกแบบ ไฟรเมอร์สำหรับการโคลน cDNA ของยีน *TpMC4R* ด้านปลาย 3'

Goldfish	AGCATCATCAAGAACATGGACAACATTGACTCGATGATCTGCAGCTCACTGTTGCCCTCATTGGAGT	411
Zebrafish	AGCATCATTAAGAACATGGACAACGTGTTGACTCTATGATCTGCAGCTCTGTTGCCCTCATTGGAGT	411
Karasu	ACGCTGATCAAGAGCATGGACAACGTGTTGACTCCATGATCTGCAGCTCTTGCTGGCTCATCTGCAGC	405
Flounder	ACGTTGATTTAAAGCATGGACAACGTGTTGACTCTATGATCTGCAGCTCCCTGCTGGCTCATCTGCAGC	414
Saebass	CAGTTGATCAAAGCATGGACAATGTTGACTCTATGATCTGAGTTAGCATCCATCTGCAGC	420
Trout	TCGCTCATAAAGAGCATGGACAACGTGTTGACTCCATGATCTGAGTTAGCATCCATCTGTAGT	432
Dogfish	AATTAACTAAGAACATGGACAACGTGTTGACTCGATGATCTGCAGCTCTTCTGGCTTCAATTGAGC	414
Human	AGTTCAACAGTAAATGATAATGACTTGCATCGGTGATCTGAGCTCCCTGCTTGCATCAATTGAGC	417
Chicken	AGCTTACCCATAAACATGACAATGACTGATTTGAGTTCAGTCCCTGCTTGCATCAATTGAGC	414
	* * * * *	*
Goldfish	TTGTTGCCATAGCGGGGACCGCTACATCACGATCTTACGCCCTGCGTACCAACACATGACCCAA	483
Zebrafish	TTGTTGCCATCGCGGTGACCGCTACATCACAAATCTTACGCTTGGCTACCAACACATGACCCAG	483
Karasu	CTGCTGCCATGCCGCTGACCGCTACATCACCATCTTACGCCCTGCGTACCCACACATGTCACCCG	477
Flounder	CTGCTCGCTATCGCAGTCGACCGCTACATCACCATCTTACGCCCTGCGTACCCACACATGTCACCCG	486
Saebass	TTGCTGCCATCGCGCATAGACCGCTACATCACCATATTCTACCGCCTGCGTACCCACACATTGCA	492
Trout	CTCTTGGCCATGCCATAGACCGCTACATCACCATATTCTACCGCCTGCGTACCCATACATTGAC	504
Dogfish	TTGCTGCCATGCCATAGACCGGTACATCACCATATTCTACGCTCTGGCTACCCATACATTGAC	486
Human	CTGCTTCAATTGAGTGGACAGGTACTTACTATCTTATGCTCTCCAGTACCCATACATTGACAGT	489
Chicken	CTCTCTCAATGAGTGGACAGGTATTACTATCTTATGCCCTCCAGTACCCATACATTGACAGT	486
	* * * * *	*
Goldfish	CGGGGGGGGACCATCATCACCTGACATGGACCTTGTGACGGTCTCTGGCTGCTCTTATTGAGTAC	555
Zebrafish	CGGGGGGGGGGACCATCATCACCTGACATGGACCTTGTGACGGTCTCTGGCTGCTCTTATTGAGTAT	555
Karasu	CGGAGAGCTCGCTGGTACAGCAGCATGGAGCTGCTGACCCGCTGCTCTTATGCTAC	549
Flounder	CGCGGGCGATGCTGGTACATCACCGACATGGAGCTGCTGACATGGCTCTTATGCTAC	558
Saebass	CGGAGAGCAATGGGTACATCAGCAGCATGGACATGCTGACATTGTCGCCGATCTGTTATCATAC	564
Trout	AAAGGGCGGATGGCGTAAATGCGCTGACATGGTCGTTGTTGCTGGCATCGCTCTTATATCTAC	576
Dogfish	CGGAGGGCCCTGATGATTATGCCGCTGACGGGCTGCAAGGGATCTTCATCGTTTAT	558
Human	AAAGGGGGGGGATCATATAAGTTGATCTGGCAGGTTGACGGTTTCAAGGATTTCATATTAC	561
Chicken	AAAGCTGTAGGGGTACATCACATGACATCTGGGCTTGCACGTCTCAGGATTGTTCATCTTACT	558
	* * * * *	*
Goldfish	TCTGAGAGCACCACCCCTCATCTGCCTATCAGCATGTTCCACCATGCTGGCCTATGGCCTCGCT	627
Zebrafish	TCAGAAAGCACCACGTGCTCATCTGCCTCATCAGCATGTTCCACCATGCTGGCCTATGGCCTCACT	627
Karasu	TCGGAGAGCACCACCGTGCATCTGCCTCATCACCATGTTCCACCATGCTGGCCTATGGCCTCCC	621
Flounder	TCGGAGAGCACCACGGTGCATCTGCCTCATCACCATGTTCCACCATGCTGGCCTATGGGCTCG	630
Saebass	TCAGAGAGCACCACAGTGCATCTGCCTCATCACCATGTTCCACCATGCTGGCCTATGGGCTCG	636
Trout	TCTGAGAGCACCACGGTGCATCTGCCTCATCACCATGTTCCACCATGCTGGCCTATGGGCTCTC	648
Dogfish	TCCGAGAGCACCACGGTGCATCTGCCTCATCACCATGTTCCACCATGCTGGCCTATGGCCTCG	630
Human	TCAGATAGTAGTGTGTCATCATCTGCCTCATCACCATGTTCCACCATGCTGGCCTATGGCTCTC	633
Chicken	TCTGACACGAGCTTGTACATCTGCCTATCACGATGTTCTCACCATGCTATTGTCATGGCATCC	630
	* * * * *	*
Goldfish	TACGTCACATGTTCTCTAGCCCCGCTGCACATGAAGCGCATTCGCCCTCCCTGGCAACGGCCAT	699
Zebrafish	TACGTCACATGTTCTCTAGCCCCGCTGCACATGAACGGATCGCCCTTACCTGGAAACGGCCATA	699
Karasu	TACGTCACATGTTCTGCTGGCGCCCTGCACATGAAGGGATCGCCGATGCCGGCAACGGCCCAT	693
Flounder	TACGTCACATGTTCTGCTGGCGCCCTGCACATGAAGGGATCGCCGATGCCGGCAACGGCCCAT	702
Saebass	TACGTCACATGTTCTGCTGGCGCCCTGCACATGAAGGGATCGCCGATGCCGGCAACGGCCCAT	708
Trout	TACGTCACATGTTCTGCTGGCGCCCTGCACATGAAGGGATCGCCGATGCCGGCAACGGCCCAT	720
Dogfish	TACGTCACATGTTCTGCTGGCGCCCTGCACATGAAGGGATCGCCGATGCCGGCAACGGCCGT	702
Human	TATGTCACATGTTCTGATGGCCAGGCTTCACATTAAGGGATTGCTGCTCTCCGGCACTGGTGC	705
Chicken	TATGTCACATGTTCTGATGGCTGCAATGCAATCAAGAAGATAGCAGTCTCCAGGGACTGGCCCC	702
	* * * * *	*

ภาพที่ 3.1 การ alignment ของลำดับนิวคลีโอไทด์ของยีน *MC4R* ในสัตว์มีกระดูกสันหลังชนิดต่าง ๆ

และการอ่านแบบไฟรเมอร์สำหรับการโคลน cDNA ของยีน *TpMC4R* ด้านปลาย 3' (ต่อ)

ภาพที่ 3.1 การ alignment ของดีเอ็นวีกีโไอ/ไทยดีของยีน *MC4R* ในสัตว์มีกระดูกสันหลังชนิดต่างๆ และการออกแบบไฟรเมอร์สำหรับการโคลน cDNA ของยีน *TpMC4R* ด้านปลาย 3' (ต่อ)

ตารางที่ 3.1 ไพรเมอร์ที่ใช้ในการศึกษา

Primer	Sequence	PCR	Primer order
MC4R-F1	5'-TCTCCACGGAGGTSTTCCTSAC-3'	3'RACE	Sense
MC4R-F2	5'-TCAGCCTSYTGGAGAACATCCT-3'	3'RACE	Sense(nested)
MC4R-F3	5'-ATGTACTTYTTCATCTGCAGCY-3'	3'RACE	Sense(nested)
MC4R-R1	5'-GTGCAGGCGCGCCAGCAGGAACATG-3'	5'RACE	Antisense
MC4R-R2	5'-CCAGCGTGGCCCTGCGCAACGTCAC-3'	5'RACE	Antisense(nested)
MC4R-R3	5'-GGGGATGCTCAGCGTGCCTCCATTG-3'	5'RACE	Antisense(nested)
Actin-F	5'-ACTACCTCATCAAGATCCTG-3'	Actin 3'RACE	Sense
Actin-R	5'-TTGCTGATCCACATC TGCTG-3'	Actin 500 bp	Antisense
Actin-RT-F	5'-TGGCAATGAGAGGTTCCG-3'	Real-time RT-PCR	Sense
Actin-RT-R	5'-TGCTGTTGAGGTGGTTCG-3'	Real-time RT-PCR	Antisense
MC4R-RT-F	5'-GCATCCTCTTCATCATCTACTCGGA-3'	Real-time RT-PCR	Sense
MC4R-RT-R	5'-GCAGTAGGGGTTCCGGGGGCAGGTG-3'	Real-time RT-PCR	Antisense

Primary PCR และ Nested PCR

นำ primer ที่ได้ออกแบบในขั้นต้นตามตารางที่ 3.1 มาใช้ในการทำ PCR โดยในการทำ PCR รอบที่ 1 ใช้ primer forward MC4R-F1 คู่ primer reverse UPM-L การทำ PCR ในรอบที่ 2 ได้แบ่งการใช้ primer ออคเป็น 2 คู่ ได้แก่ คู่ที่ 1 (primer forward MC4R-F2 คู่ primer reverse NUP) คู่ที่ 2 (primer forward MC4R-F3 คู่ primer reverse NUP) ซึ่งมีการเตรียมปฏิกิริยาสำหรับทำ PCR โดยใช้ LA Taq kit (Takara) โดยให้มีปริมาณทั้งหมดเท่ากับ 10 μl ซึ่งประกอบไปด้วย 10x buffer LA Taq, 25 mM MgCl₂, 2.5 mM dNTP Mix, 10 μM primer forward, 10 μM primer reverse, 5 U/ μl LA Taq โดยใช้ดีเอ็นเอแม่แบบ (DNA template) ที่เป็น first strand cDNA 3' RACE จากสมองของปลาสลิด สำหรับการทำ PCR รอบที่ 1 และมีการใช้ผลผลิตดีเอ็นจาก การทำ PCR ในรอบที่ 1 (PCR product) มาทำการเจือจาง (dilute) ในอัตราส่วน 1: 50 เท่า ในการทำ PCR รอบที่ 2 โดยมีสภาวะการเพิ่มจำนวนของดีเอ็นเอในเครื่อง PCR (PCR condition) ดังนี้ 95°C เป็นเวลา 3 นาที จำนวน 1 รอบ ต่อมา 95°C เป็นเวลา 45 วินาที, 53°C เป็นเวลา 45 วินาที และ 72°C เป็นเวลา 90 วินาที ติดต่อ กันจำนวน 35 รอบ และเข้าสู่ 72°C เป็นเวลา 5 นาที จำนวน 1 รอบ หลังจากนั้นนำ PCR product ที่ได้ไปวิเคราะห์ขนาดดีเอ็นเอด้วย Agarose gel electrophoresis

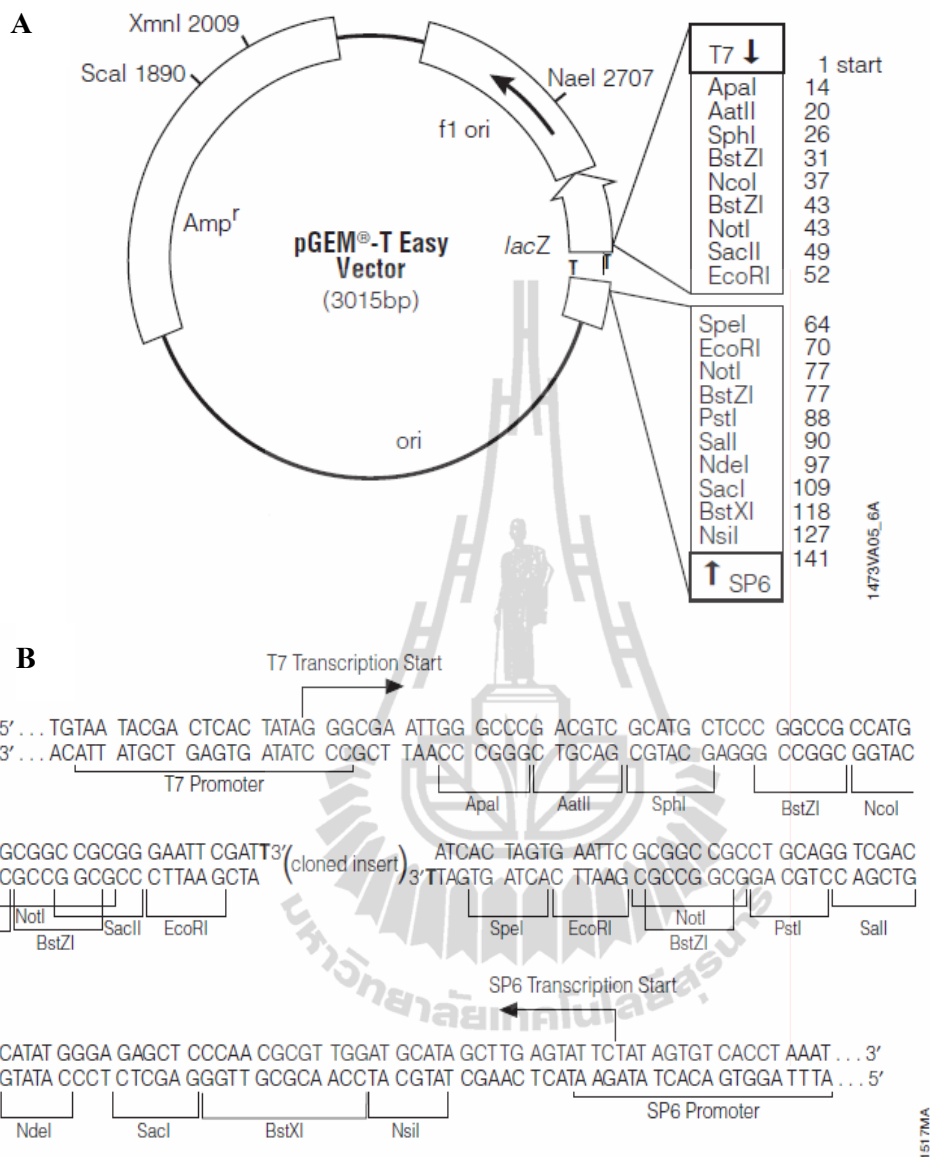
การวิเคราะห์ขนาดดีเอ็นเอด้วย Agarose gel electrophoresis และการทำชิ้นดีเอ็นเอในอุปกรณ์โรสเจลให้บริสุทธิ์

ทำการเตรียม agarose gel ตามความเข้มข้นที่ต้องการแล้วเทลงในถาดสำหรับเตรียมเจล โดยตั้งทึ้งไว้ให้เจลแข็งตัวอย่างต่อ 1 ชั่วโมงก่อนใช้ หลังจากนั้นเท 0.5X TBE buffer ลงในอ่างสำหรับ run gel (chamber) วางเจลที่แข็งตัวแล้วลงใน chamber และเท 0.5X TBE buffer ลงไปจนทั่วเม杰ล โดยมีระดับสูงกว่าเจลประมาณ 1-3 เซนติเมตร หลังจากนั้นนำดีเอ็นเอที่ได้จากการทำ PCR ผสมกับสีติดตาม (tracking dye หรือ loading dye) ให้มีปริมาตรเป็นอัตราส่วน 3:1 บนกระดาษพาราฟิล์มจากนั้นจึงหยดลงในหลุม (well) บนอุปกรณ์โรสเจล (agarose gel) ด้วยไม้ไผ่ปีปีกด์ โดยจะต้องมีการโหลด DNA maker ที่ well ที่ 1 ของเจลทุกครั้งในกรณีที่ต้องการทราบขนาดของ PCR product เมื่อโหลดตัวอย่างเสร็จแล้วจึงทำการต่อข้าไฟฟ้ากับเครื่องกำเนิดไฟ (power supply) โดยตั้งความต่างศักย์ไฟฟ้าให้คงที่ 100 โวลต์ ทึ้งไว้ประมาณ 30 นาที หรือ 1 ชั่วโมง หรือจนสีน้ำเงินของ bromophenol blue ลุกลามถึงขอบเจลอิกด้านหนึ่ง หลังจากนั้นปิดกระแสไฟฟ้า และตักออกโรสเจลออกจากภาชนะเพื่อตรวจสอบดีเอ็นเอบนอุปกรณ์โรสเจล โดยส่องด้วยแสงอัคตราวีโอลีด ภายใต้เครื่องกำเนิดแสงอัคตราวีโอลีด และบันทึกผลการทดลองด้วยการถ่ายภาพ หลังจากนั้นทำชิ้นดีเอ็นเอในอุปกรณ์โรสเจลให้บริสุทธิ์โดยในขั้นตอนนี้จะใช้ agarose gel ที่มีความเข้มข้นสูง เช่น

2% agarose gel เพื่อที่จะทำให้สามารถแยกขนาดของดีเอ็นเอได้ดีและชัดเจนยิ่งขึ้นและเมื่อทราบขนาดของดีเอ็นเอเป็นไปตามที่คาดการณ์แล้ว จึงทำการตัดเจลตรงบริเวณของดีเอ็นเอที่ต้องการ ใส่ลงในหลอดไม้โคเรชนทริฟิวจ์ เมื่อได้ชิ้นส่วนดีเอ็นเอที่มีขนาดใกล้เคียงกับที่ต้องการ ทำการแยกดีเอ็นเอจาก agarose gel ด้วย QIAquick Gel extraction Kit (Qiagen) ซึ่งนำหนักเจลที่อยู่ในหลอดไม้โคเรชนทริฟิวจ์ หลังจากนั้นใส่สาร buffer QG 3 เท่าของน้ำหนักเจล นำหลอดไปตั้งที่อ่างควบคุม อุณหภูมิแบบแห้ง ที่อุณหภูมิ 50°C เป็นเวลา 10 นาที โดยทำการเบร์ก (vortex) หลอดเป็นครั้งคราว หลังจากเจลคลายหมัดแล้ว สีของสารละลายควรเป็นสีเหลืองเหมือนเดิม (ถ้าสีของสารละลายเปลี่ยนเป็นสีเข้มหรือสีม่วงให้ใส่ 3M NaOAc pH 5.0 10 μl) หลังจากนั้นเตรียมว่าง column ใน collection tube และทำการขยี้ตัวอย่างที่ละลายหมัดแล้วไปใส่ใน column ที่เตรียมไว้ ทำการปั่น เหวี่ยงที่ความเร็วรอบ 6000 rpm ที่อุณหภูมิ 4°C เป็นเวลา 1 นาที แล้วทำการเทสารที่ตกลงมาอยู่ในส่วนของ collection tube ทิ้ง หลังจากเททิ้งใส่ column ลงใน collection tube เหมือนเดิม ต่อมาใส่สาร buffer QG 500 μl และนำไปปั่นเหวี่ยงที่ความเร็วรอบ 12,500 rpm ที่อุณหภูมิ 4°C เป็นเวลา 1 นาที ทำการเทสารที่ตกลงมาอยู่ในส่วนของ collection tube ทิ้ง หลังจากเททิ้งใส่ column ลงใน collection tube เหมือนเดิม แล้วใส่สาร buffer PE 750 μl ตั้งไว้ในน้ำแข็งเป็นเวลา 2 นาที และนำไปปั่นเหวี่ยงที่ความเร็วรอบ 12,500 rpm ที่อุณหภูมิ 4°C เป็นเวลา 1 นาที ทำการเทสารที่ตกลงมาอยู่ในส่วนของ collection tube ทิ้ง หลังจากเททิ้งทำการใส่ column ลงใน collection tube เหมือนเดิม และทำการปั่นเหวี่ยงอีกครั้งที่ความเร็วรอบ 12,500 rpm ที่อุณหภูมิ 4°C เป็นเวลา 1 นาที หลังจากนั้นทิ้ง collection tube และขี้ย column ใส่ลงในหลอดไม้โคเรชนทริฟิวจ์หลอดใหม่ ทำการปิดฝา column ไว้ประมาณ 3 นาที หลังจากนั้นใส่น้ำ DI 30 μl วางไว้ที่อุณหภูมิประมาณ 1 นาที และนำไปปั่นเหวี่ยงที่ความเร็วรอบ 12,500 rpm ที่อุณหภูมิ 4°C เป็นเวลา 1 นาที และนำดีเอ็นที่ได้ไปตรวจสอนผลการทำให้บริสุทธิ์ด้วย Agarose gel electrophoresis

การเชื่อมต่อชิ้นดีเอ็นเอเข้ากับพลาสมิดเวคเตอร์ pGEM-T Easy

การเชื่อมต่อดีเอ็นเอเข้ากับเวคเตอร์ มีปฏิกิริยาประกอบไปด้วย 50 ng/μl pGEM®-T Easy vector, 2X Rapid ligation buffer, 3 U/μl T4 DNA ligase และชิ้นส่วนดีเอ็นเอ (DNA fragment) โดยให้สารละลายทั้งหมดเท่ากับ 11 μl หลังจากนั้นผสมเบาๆ และนำไปปั่นเหวี่ยงให้สารตกลงมาที่ก้นหลอด จากนั้นนำหลอดไปตั้งในอ่างควบคุมอุณหภูมิแบบแห้ง ที่อุณหภูมิ 16°C เป็นเวลา 4 ชั่วโมง และนำหลอดไปตั้งในตู้ควบคุมอุณหภูมิ ที่อุณหภูมิ 4°C เป็นเวลา 16-18 ชั่วโมง



ภาพที่ 3.2 แผนก้าพพลาสมิคเวกเตอร์ pGEM®-T Easy (A) และลำดับนิวคลีโอไทด์และ Multi Cloning site ของพลาสมิคเวกเตอร์ pGEM®-T Easy (B) (Promega)

การสร้างคอมพีเกนท์เซลล์ (Competent cell)

นำเชื้อ *E. coli* JM109 (Promega) มา streak บน LB plate และนำไปปั่นเชื้อในตู้อุณหภูมิ 37°C เป็นเวลา 16-18 ชั่วโมง วันต่อมานำโคโลนีเดี่ยวมาเลี้ยงในอาหารเลี้ยงเชื้อ SOB ที่เตรียมอยู่ในหลอดเลี้ยงเชื้อ และนำหลอดไปวางในตู้เลี้ยงเชื้อแบบเบข่าย (shaker) ที่มีความเร็วรอบ 200 rpm เป็นเวลา 16-18 ชั่วโมง วันต่อมานำเชื้อแบคทีเรียจากหลอดทดลองมา 100 μl ลงเลี้ยงในอาหารเลี้ยงเชื้อ SOB ที่เตรียมอยู่ในขวดรูปชามพู่ 30 ml และนำขวดรูปชามพู่ไปวางในตู้เลี้ยงเชื้อแบบเบข่ายที่มีความเร็วรอบ 200 rpm เป็นเวลา 5-7 ชั่วโมง ซึ่งจะเป็นเวลาที่เซลล์แบคทีเรียเจริญเติบโตถึงระยะ log phase หลังจากนั้นนำเซลล์แบคทีเรียที่เลี้ยงเทใส่หลอดในโครเรนทริฟิวจ์ขนาด 50 ml และแช่ในน้ำแข็งเป็นเวลา 30 นาที เมื่อครบเวลานำหลอดไปปั่นให้วิ่งด้วยความเร็วรอบ 3000 rpm ที่อุณหภูมิ 4°C เป็นเวลา 15 นาที แล้วเทส่วนของอาหารเลี้ยงเชื้อทึ่งเหลือไว้เฉพาะส่วนของตะกอนแบคทีเรีย จากนั้นใส่สาร transformation buffer 1 ส่วนต่อ 3 ส่วนของอาหารเลี้ยงเชื้อ ทำการละลายตะกอนแบคทีเรียโดยการเขย่าหลอดในน้ำแข็งเป็นเวลา 10 นาที เมื่อครบเวลานำหลอดไปปั่นให้วิ่งด้วยความเร็วรอบ 3000 rpm ที่อุณหภูมิ 4°C เป็นเวลา 15 นาที แล้วเทส่วนของสารละลายทึ่งเหลือไว้เฉพาะส่วนของตะกอนแบคทีเรียและใส่สาร transformation buffer 1 ส่วนต่อ 12.5 ส่วนของอาหารเลี้ยงเชื้อ จากนั้นทำการละลายตะกอนแบคทีเรียโดยการเขย่าหลอดในน้ำแข็งเป็นเวลา 10 นาที เมื่อครบเวลาใส่สาร DMSO 168 μl เพื่อรักษาสภาพของเซลล์แบคทีเรียในระหว่างการเก็บรักษา โดยทำการหยดที่ละหยดและทำการเขย่าหลอดเวลาเป็นเวลา 10 นาที หลังจากนั้นทำการแบ่งออกเป็นส่วน ๆ ใส่หลอดในโครเรนทริฟิวจ์ขนาด 1.5 ml หลอดละ 100 μl เพื่อหลีกเลี่ยงการแข็งแข็งและการละลายหาย ๆ ครั้ง และเก็บ competent cell ในตู้เย็น -80°C (ในแต่ละขั้นตอนทำการความสะอาดในบริเวณโถะทดลองด้วย 80% alcohol หลังจากนั้นจุดไฟที่ตะเกียงแลกอ่องด์ โดยมีการปฏิบัติแบบป้องกันการปนเปื้อน (aseptic technique))

การเคลื่อนย้ายดีเอ็นเอที่เชื่อมต่อกับพลาสมิดเควตอเร็กซ์เชื้อเซลล์เจ้าบ้าน

นำ competent cell 100 μl ออกจากตู้เย็น -80°C วางในถังน้ำแข็ง และใส่ดีเอ็นเอที่มีการเชื่อมต่อกับพลาสมิดเควตอเร็กซ์ (recombinant DNA) ลงในหลอดที่มี competent cell และใช้มือเบข่าย (mix) หลอดเบา ๆ และนำหลอดไปตั้งในถังน้ำแข็งเป็นเวลา 30 นาที หลังจากนั้นนำหลอดไปตั้งในอ่างควบคุมอุณหภูมิแบบแห้งที่อุณหภูมิ 42°C เป็นเวลา 90 วินาที และเมื่อครบเวลา รีบนำหลอดไปวางในน้ำแข็งทันทีด้วย 3 นาที จากนั้นติ่มอาหารเลี้ยงเชื้อแบบเหลว SOC 900 μl ลงในหลอด และนำหลอดไปวางในตู้เลี้ยงเชื้อแบบเบข่ายที่มีความเร็วรอบ 200 rpm เป็นเวลา 1 ชั่วโมง โดยภายในตู้มีอุณหภูมิ 37°C หลังจากนั้นนำเซลล์ที่อยู่ในหลอดออกมาราว 500 μl ใส่ลงในจาน

อาหารเลี้ยงเชื้อแบบวุ้น 2XYT ที่เป็น selective media (ที่มี X-gal, IPTG และ ampicillin) แล้วทำการเกลี่ยเชื้อ (spread) ให้ทั่วพื้นที่ของอาหารเลี้ยงเชื้อ เพื่อทำการแยกโโคโลนีของเชื้อ *E. coli* ที่พลาสมิด มีชิ้นส่วนดีเอ็นเอ (insert) นำจานอาหารเลี้ยงเชื้อไปวางที่ตู้ควบคุมอุณหภูมิที่มีอุณหภูมิ 37°C เป็นเวลา 16-18 ชั่วโมง และจากการที่ spread เชื้อลงบน plate ที่มี amplicillin, IPTG และ X-gal จะทำให้สามารถคัดโคลนที่ต้องการได้ ซึ่งโโคโลนีของเซลล์แบคทีเรียที่ได้รับพลาสมิดที่ไม่มีชิ้นส่วนดีเอ็นเอที่ต้องการจะเป็นโโคโลนีสีฟ้า ส่วนโโคโลนีสีขาว นั่นแสดงว่าเซลล์แบคทีเรียได้รับพลาสมิดที่มีชิ้นส่วนดีเอ็นเอที่ต้องการ วันต่อมาทำการคัดเลือกโโคโลนีของเชื้อ *E. coli* ที่คาดการณ์ว่ามีพลาสมิดที่ไม่มีชิ้นส่วนดีเอ็นเอที่ต้องการ 1-2 โโคโลนี และเลือกโโคโลนีที่คาดการณ์ว่ามีพลาสมิดที่มีชิ้นส่วนดีเอ็นเอที่ต้องการมาทำเป็นplate ด้านบังได (master plate)

การวิเคราะห์ Recombinant DNA ด้วยวิธีการอย่างง่าย (Cracking)

ทำการปฏิบัติการแบบป้องกันการปนเปื้อน ซึ่งจะทำไก่ล่าไฟตลอด จนน้ำใช้ไม่จืดฟันที่ผ่านการนึ่งฆ่าเชื้อแล้ว (autoclave) นานไฟแบบผ่านไม่ร้อนมาก แล้วนำไม่จืดฟันไปเจียร์เชื้อใน master plate นำไปใส่ที่ก้นหลอดไข่ โครเรนทริฟิวจ์ หลังจากนั้นใส่สาร C. B. และสาร 10 mM EDTA ในอัตรา 1 ต่อ 1 ส่วนโดยให้มีปริมาณต่ำสุดเท่ากับ 15 μl และหยดสาร L. B. ลงบนฝาหลอดประมาณ 1 μl จากนั้นนำหลอดไป vortex และตั้งทิ้งไว้ที่อุณหภูมิห้อง 5 นาที เมื่อครบเวลานำหลอดไปปั่นเหวี่ยง (spin down) เพื่อให้สาร L. B. ตกลงมาที่ก้นหลอด หลังจากนั้นนำหลอดไป vortex และวางหลอดในน้ำแข็งเป็นเวลา 5 นาที เมื่อครบเวลานำหลอดไปปั่นเหวี่ยงที่ความเร็ว รอบ 12,500 rpm ที่อุณหภูมิ 4°C เป็นเวลา 5 นาที กายในหลอดจะมีส่วนของตะกอนเซลล์แบคทีเรีย และ recombinant DNA ที่อยู่ในส่วนของสารละลาย โดยนำสารละลายในหลอด 10 μl มาตรวจสอบผลด้วย Agarose gel electrophoresis

การสกัดพลาสมิดด้วยวิธี Alkaline lysis

เมื่อทราบว่าโโคโลนีของแบคทีเรียได้มีชิ้นส่วนของ recombinant DNA แล้ว จึงนำมาเลี้ยงเชื้อเพื่อบาധจำนวนแบคทีเรีย โดยนำอาหารเลี้ยงเชื้อแบบเหลว 2XYT 3 ml ใส่ลงในหลอดสำหรับเลี้ยงเชื้อ และใช้ loop นานไฟแบบผ่านไม่ร้อนมาก แล้วนำไปเจียร์เชื้อใน master plate และนำไปใส่ในหลอดที่มีอาหารเลี้ยงเชื้อออยู่ หลังจากนั้นนำหลอดเลี้ยงเชื้อไปวางในตู้เลี้ยงเชื้อแบบเบเย่า (shaker) ที่มีความเร็วรอบ 200 rpm เป็นเวลาขั้นต่ำ 16-18 ชั่วโมง โดยกายในตู้มีอุณหภูมิ 37°C เมื่อครบจำนวนชั่วโมงทำการเก็บเซลล์โดยแบ่งเซลล์เป็นสองส่วน ส่วนหนึ่งเก็บในส่วนของ glycerol stock และอีกส่วนเพื่อนำไปสกัดพลาสมิด การเก็บในส่วนของ glycerol stock โดยนำเซลล์

ที่อยู่ในอาหารเลี้ยงเชื้อ 500 μl ใส่ลงในหลอดไนโตรเซนทริฟิวจ์ หลังจากนั้นใส่สาร 30% glycerol 700 μl แล้วทำการ vortex และเก็บรักษาเซลล์ในตู้เย็น -80°C (โดยจะทำการทดลองแบบป้องกันการปนเปื้อน (aceptic technique) ซึ่งในการเลี้ยงเชื้อจะทำไกล์ไฟต์ลด) หลังจากนั้นนำเซลล์ที่อยู่ในอาหารเลี้ยงเชื้อในส่วนที่เหลือใส่ลงในหลอดไนโตรเซนทริฟิวจ์ และนำไปปั่นให้ขุ่นด้วยความเร็วรอบ 12,500 rpm ที่อุณหภูมิ 4°C เป็นเวลา 1 นาที แล้วเทส่วน浊 (supernatant) ที่ง จากนั้นใส่สาร solution I 200 μl แล้วนำไป vortex ให้ตะกอนละลายจะได้สารละลายสีเขียว ต่อมาใส่สาร solution II 200 μl ทำการผสม โดยการเอียงหลอดเบาๆ (invert) ไปมาประมาณ 5-10 ครั้ง จะได้สารละลายสีใส และหนืด และใส่สาร solution III 200 μl ทำการผสมโดยการเอียงหลอดเบาๆ (invert) ไปมาประมาณ 5-10 ครั้ง จะได้สารละลายสีใสและมีตะกอนขาวขุ่น จากนั้นนำไปปั่นให้ขุ่นด้วยความเร็วรอบ 12,500 rpm ที่อุณหภูมิ 4°C เป็นเวลา 5 นาที แล้วทำการขยี้ส่วนของ supernatant ไปยังหลอดไนโตรเซนทริฟิวจ์หลอดใหม่ และนำไปปั่นให้ขุ่นด้วยอีกรอบ 12,500 rpm ที่อุณหภูมิ 4°C เป็นเวลา 5 นาที แล้วทำการขยี้ส่วนของ supernatant ไปยังหลอดไนโตรเซนทริฟิวจ์หลอดใหม่ อีกรอบ หลังจากนั้นใส่ isopropanol 1 เท่าของสารละลายในหลอด และนำไป vortex 旺ตั้งในอุณหภูมิห้องเป็นเวลา 30 นาที เพื่อทำการตกตะกอนดีอีนเอ จากนั้นนำหลอดไปปั่นให้ขุ่นด้วยความเร็วรอบ 12,500 rpm ที่อุณหภูมิ 4°C เป็นเวลา 30 นาที ทำการคัดสารละลายออกทิ้งเหลือไว้ เนพาะตะกอนของดีอีนเอ และเปิดฝาหลอด covariance ไว้ที่อุณหภูมิห้องเป็นเวลา 10-15 นาที เพื่อให้ isopropanol ระเหยออกไป หลังจากนั้นละลายตะกอนดีอีนเอด้วย 1 X TE buffer ใส่ 1 ส่วนต่อ 2 ส่วนของสารละลายและตั้งทิ้งไว้ประมาณ 5 นาที โดยในระหว่างนี้ทำการผสม (mix) เบ้าๆ เพื่อให้ตะกอนละลาย จากนั้นใส่ RNase (10 mg/ml) 3 μl (ใส่ RNase 1 μl : สารละลายในหลอด 100 μl) และนำหลอดไปตั้งในอ่างควบคุมอุณหภูมิแบบแห้ง โดยตั้งอุณหภูมิ 37°C เป็นเวลา 30 นาที โดยในระหว่างนี้ทำการผสม (mix) เบ้าๆ ทุก 10 นาที เมื่อครบเวลานำหลอดมาตั้งที่อุณหภูมิห้องแล้วใส่ phenol และสาร chloroform ในอัตรา 0.5 ส่วนต่อ 0.5 ส่วนของสารละลายที่มีอยู่ในหลอด ทำการ vortex และนำไปปั่นให้ขุ่นด้วยความเร็วรอบ 10,000 rpm ที่อุณหภูมิ 4°C เป็นเวลา 5 นาที สารละลายจะแยกชั้น โดยส่วนของพลาสมิดีอีนเอจะอยู่ชั้นบนทำการคัดสารส่วนบนขึ้นไปยังหลอดไนโตรเซนทริฟิวจ์หลอดใหม่ หลังจากนั้นทำการตกตะกอนดีอีนเออีกรอบ 3 M sodium acetate pH 4.8 ใส่ 1 ส่วนต่อ 10 ส่วนของสารที่อยู่ในหลอด และสาร absolute ethanol โดยใส่ 3 เท่าของสารในหลอด ทำการ vortex สารละลาย และตั้งไว้ที่อุณหภูมิ -80°C เป็นเวลา 1 ชั่วโมงหรือ อุณหภูมิ -20°C ข้ามคืนหรือเป็นเวลาประมาณ 16-18 ชั่วโมง เพื่อเป็นการตกตะกอนดีอีนเอ เมื่อครบเวลาจึงทำการปั่นให้ขุ่นด้วยความเร็วรอบ 12,500 rpm ที่อุณหภูมิ 4°C เป็นเวลา 30 นาที จากนั้นคัดสารละลายออกทิ้งเหลือไว้ เนพาะตะกอนของดีอีนเอ ทำการล้างตะกอนด้วย 80% ethanol 1 ml

หลังจากนั้นปั่นให้วิ่งด้วยความเร็วรอบ 12,500 rpm ที่อุณหภูมิ 4°C เป็นเวลา 5 นาที ทำการคัดสารละลายน้ำที่อีกครึ่ง และเปิดฝาหลอดวางไว้ที่อุณหภูมิห้องเป็นเวลา 10-15 นาที เพื่อให้ออกเยื่อหุ้นออก ทำการละลายตะกอนดีอีนเอในน้ำ DI 30 μl นำดีอีนเอมาตรวจสอบผลด้วย Agarose gel electrophoresis และนำพลาสมิดีอีนเอส่วนหนึ่งไปวัดความเข้มข้นของ DNA ที่ค่าการคัดกรองแสง 260 นาโนเมตร (nm) โดยใช้เครื่องนาโนดรอป (nanodrop)

การตรวจสอบพลาสมิดีอีนเอด้วยการตัดของอินไซม์ตัดจำเพาะ

การตัดพลาสมิดีอีนเอด้วยอินไซม์ตัดจำเพาะ ซึ่งถ้าต้องการตัดพลาสมิดีอีนเอเพื่อวิเคราะห์ผลด้วย Agarose gel electrophoresis ให้ใช้ปริมาณน้อยที่สุด เพื่อให้ยอดใน well ของอะโรสเจลได้ทั้งหมด ซึ่งกรณีนี้ใช้ 10-20 μl ปฏิกิริยาประกอบด้วย 10X buffer RE[®] act, 4U/μl EcoR I enzyme, 1.5 μg Plasmid DNA และน้ำ DI 5 μl เพื่อปรับปรุงให้สารละลายเท่ากับ 10 μl หลังจากนั้นทำการผสมสาร (mix) ด้วยมือเบาๆ แล้ววางหลอดในอ่างควบคุมอุณหภูมิแบบแห้งที่อุณหภูมิ 37°C เป็นเวลา 2 ชั่วโมง เมื่อครบเวลานำหลอดไปปั่นให้วิ่งที่ความเร็วรอบ 5000 rpm อุณหภูมิ 4°C เป็นเวลา 1 นาที หลังจากนั้นนำดีอีนเอที่ตัดด้วยอินไซม์มาตรวจสอบผลด้วย Agarose gel electrophoresis หลังจากที่ทราบผลว่าพลาสมิดีอีนที่มีชื่อส่วนของ recombinant DNA แล้วจึงทำการส่งตัวอย่างวิเคราะห์ลำดับนิวคลีโอไทด์

การวิเคราะห์ลำดับนิวคลีโอไทด์

ทำการวิเคราะห์ลำดับนิวคลีโอไทด์ โดยทำการเบรียบทีบลำดับนิวคลีโอไทด์ และกรดอะมิโนของ cDNA ของยีน *TpMC4R* ด้านปลาย 3' กับข้อมูลลำดับนิวคลีโอไทด์และกรดอะมิโนของยีน *MC4R* ในสัตว์มีกระดูกสันหลังชนิดต่างๆ ที่ได้มีการรายงานไว้ในฐานข้อมูลของ GenBank database (<http://www.ncbi.nlm.nih.gov/>) โดยใช้โปรแกรม BlastN และ BlastX และทำการเบรียบทีบความตรงกัน (alignment) ของลำดับนิวคลีโอไทด์ และลำดับกรดอะมิโนของยีน *TpMC4R* โดยใช้โปรแกรม EBI Tools Clustal W2 (<http://www.ebi.ac.uk/Tools/msa/clustalw2/>)

3.4.1.2 การโคเลน cDNA ของยีน *TpMC4R* ด้านปลาย 5' ด้วยเทคนิค 5'RACE

การสังเคราะห์ First strand cDNA ของยีน *TpMC4R* ด้านปลาย 5'

นำ total RNA ของสมองไปวัดความเข้มข้นของ RNA ที่ค่าการคัดกรองแสง 260 นาโนเมตร (nm) หลังจากนั้นทำการสังเคราะห์ first strand cDNA จาก total RNA โดยใช้ SMART[™] RACE cDNA amplification kit โดยมีการเตรียมสารละลายน้ำสำหรับสังเคราะห์ first

strand cDNA 5' RACE ดังนี้ Total RNA ความเข้มข้น 1-5 μ g/ μ l ใส่ 1-3 μ l, 5'-CDS primer A ที่มีความเข้มข้น 12 μ M ใส่ 1 μ l, SMART II A Oligonucleotide ที่มีความเข้มข้น 12 μ M ใส่ 1 μ l และน้ำ Deionized เพื่อปรับปริมาตรให้สารละลายทั้งหมดเท่ากับ 5 μ l ทำการผสมสารละลายในหลอดไมโครเซนทริฟิวจ์ให้เข้ากันและทำการปั่นให้วายที่ความเร็วรอบ 5000 rpm ที่อุณหภูมิ 4°C เป็นเวลา 1 นาที หลังจากนั้นนำหลอดไปตั้งที่อุณหภูมิ 70°C เป็นเวลา 2 นาที และแช่ลงในถังน้ำแข็งทันทีเป็นเวลา 2 นาที เมื่อครบเวลานำหลอดไปปั่นให้วายที่ความเร็วรอบ 5000 rpm ที่อุณหภูมิ 4°C เป็นเวลา 1 นาที หลังจากนั้นนำหลอดดังกล่าวมาใส่สารละลายผสม (premixture) 5 μ l (premixture ประกอบไปด้วย 5x First-Strand buffer 2 μ l, 20 mM DTT 1 μ l, 10 mM dNTP Mix 1 μ l และ MMLV Reverse Transcriptase 1 μ l) ซึ่งสารละลายทั้งหมดเท่ากับ 10 μ l หลังจากนั้นทำการผสมสารละลายในหลอดให้เข้ากันโดยใช้ไมโครปีเพตต์และทำการปั่นให้วายที่ความเร็วรอบ 5000 rpm ที่อุณหภูมิ 4°C เป็นเวลา 1 นาที และนำหลอดไปตั้งที่อุณหภูมิ 42°C เป็นเวลา 2 ชั่วโมง หลังจากนั้นใส่สาร Tricine-EDTA buffer 100 μ l และนำหลอดไปตั้งในอ่างความคุมอุณหภูมิแบบแห้ง ที่อุณหภูมิ 72°C เป็นเวลา 7 นาที เพื่อหดปั๊กิริยา และเก็บตัวอย่าง cDNA ไว้ที่อุณหภูมิ -20°C

การออกแบบไพรเมอร์

เมื่อทราบลำดับนิวคลีโอไทด์ของ cDNA ของยีน *TpMC4R* ด้าน 3' RACE ดังนั้นจึงทำการออกแบบไพรเมอร์สำหรับโคลน cDNA ของยีน *TpMC4R* ด้าน 5' RACE (ดังภาพที่ 3.3 และตารางที่ 3.1)

TpMC4R 3'RACE	-----	
Goldfish	---ATGAAACACCTCACATCACCATGGACCGCATATTACCGAATCACAGCCAGGGGCTTG-----	63
Zebrafish	---ATGAAACACCTCACATCATCATGGACTGCATCATTCCGAAACCACAGCCAAGGAGCTCTG-----	63
Karasu	---ATGAAACGCCACCGATCCCCCTGGAGGGTCAGGACTTCAGCAACGGGAGCCAAACCCGG-----	61
Flounder	---ATGAAACAGACAGAACATCCTGGTCTGAGCCAAGGCTTCACAACGGAGCCAAACCGCG-----	60
Saebass	---ATGAAACACCACAGAGGCTCATGGATTGATCCATGGCTACCATAACGGAGCCAAACCTCGGGC-----	63
Trout	ATGATGAATTCCACAGACCACCAAGGGTTGATCTCTGGGTATACCAGGAACCTCAGCACTGTTGGACT	72
Dogfish	---ATGAACTCCCTGTTCATCACAGGCTGCCGGAGACCCGCAGCTAGAAACACAGCGTGGCG-----	63
Human	---ATGGTGAACCTCCCACCCACCGTGGGATGCACACTTCTCTGCACCTCTGGAACCGCAGCAGTTACAGACTG	69
Chicken	---ATGAAATTCCACCCAGCATCGTGGGACACTCCACGCTCTCCATTCTGGAACAGAGCA---ACGGACTG	66
TpMC4R 3'RACE	-----	
Goldfish	-----CCAGTGGGAAAGCCTGATCAAGGTG-AGAGAGGATCAACCTCTGGATGTTACGAGCAGCTA	123
Zebrafish	-----CCGGTGGGAAAGCCTCTCATGGT-CAGCTCTGGATGCTACGAGCAGTTG	123
Karasu	-----AGACGGACTTCCAACAGGAG---AAGGAATCGTCAACGGGATGCTACGAGCAGATG	117
Flounder	---TCGCCACTGAACGGAGACTTCAACGGCAGGAC---AAGGACTCTGCGCCGGATGTTACGAGCAGCTG	126
Saebass	ATTTGCCACTAACAAAGACTTACAGCAGAGGAG---AAGGACTCTCCACAGGATGCTATGAACAGCTG	132
Trout	CTGGGAACCCCAACAAAGACTCAGAGGGCTGGTATCAAGGACTCTCAACAGGATGTTACGAGCAGCTC	144
Dogfish	-----AGATTCCCAACGCCAACCGCTGCCAG---TGACGGCTCTCTGGATGCTACGAGCAACTC	126
Human	-----CACAGCAATGCCAGTGAGTCCTGGAAAAGGCTACTCTGATGAGGGTGTACGAGCAACTT	132
Chicken	-----CACAGGGTGCCAGGCCAGTGCAGGGCCACTCTCGGGAGGCTATGAACAACTC	129
TpMC4R 3'RACE	-----	
Goldfish	CTCATTCACAGAGGTCTCTCACACTCGGCTCGTCAGTCCTCTGGAGAACATTAGTAGTGATTGCTGCT	195
Zebrafish	CTGATTCACGGAGGTCTCTCACGCTGGCTGGTCAGCCTCTGGAGAACATCTTGATTGAGCC	195
Karasu	CTGATTCACGGAGGTCTCTGACTCTGGGAAATCATCAGCCTCTGGAGAACATCTGGTGGTCGGCCT	189
Flounder	CTGATTCACCGAGGTCTCTCACCTCTGGGATCTGGCAGCCTCTGGAGAACATCTGGTGGTCGGCCT	198
Saebass	CTGATTCACCCAGAGGTTTCTCCTACTCTGGGATCTGTCAGCCTCTGGAGAACATCTGGTGGTCGGCCT	204
Trout	CTCATCTCACCGAGGTCTCTCACACTGGGATAGTCAGTTATTAGAGAACATCTGGTGGTGATTGCTGCC	216
Dogfish	TGGATCTCGACGGAGGTCTCTCACGCTGGCATCTCAGCCTCTGGCAAATATTGGTCAATTGAGCT	198
Human	TTTGTCTCTCTGAGGTGTTGTGACTCTGGGTGTCATCAGCTCTGGAGAACATCTTAGTGATTGTTGGCA	204
Chicken	TTTGTATCCCTGAAGTCTTGTGACTCTGGCATCATCAGCTCTGGAAAACGTCTGGTCAATTGTTGGCA	201
TpMC4R 3'RACE	-----ATGTACTTTTCATCTGCAGCCTGGCGTCGCCGACATGCTG	42
Goldfish	ATTATCAAGAACAAAGAACCTTCATCTCCCATGACTCTCTTATCTGCAAGTTAGCTGAGACTGTTG	267
Zebrafish	ATCGTAAAAAACAGAACCTACATCTCCCATGACTCTCTCATCTGCAGCTGGCTGAGACTGTTA	267
Karasu	ATAGTGAAGAACAGAACATCTCCACTGCCCATGACTTTTCATCTGCAGCCTGGCGTGGCCGACATGCTC	261
Flounder	ATAATCAAGAACAAAGAACCTTCACTGCCGATGACTCTTCATCTGCAGCCTGGCGTCGCTGACATGCTC	270
Saebass	ATCATAAAAAACAGAACCTTCACTCACCTATGACTCTCTCATCTGCTAGCCCTCGCTGTTGCTGACATGCTC	276
Trout	ATCATCAAGAACATCTCACCTCCCATGACTTATCTCATCTGCTTGGCTGTTGGCAGACATGCTG	288
Dogfish	ATGGTCAAAACAAAGAACCTGACTGCCGATGTTTTCATCTGCAGCTGGCAGTGGCTGACATGCTG	270
Human	ATAGCCAAGAACAGAACATCTGCATTCCCCATGACTTTTCATCTGCAGCCTGGCTGCTGACATGCTG	276
Chicken	ATAGCCAAGAACAAAGAACCTCCATTGCCCATGACTCTTCATCTGCTAGCTGGCAGTGGCTGACATGCTA	273
***** * ***** * * * * * * * *		

ภาพที่ 3.3 การ alignment ของลำดับนิวคลีโอไทด์ของยีน *TpMC4R* ด้านปลาย 3' กับยีน *MC4R* ในสัตว์มีกระดูกสันหลังชนิดต่าง ๆ และการอ่านแบบไฟรเมอร์สำหรับการโคเลน cDNA ของยีน *TpMC4R* ด้านปลาย 5'

ภาพที่ 3.3 การ alignment ของลำดับนิวคลีโอไทด์ของเชิง *TpMC4R* ด้านปลาย 3' กับเชิง *MC4R* ในสัตว์มีกระดูกสันหลังชนิดต่าง ๆ และการอ่านแบบไฟรเมอร์สำหรับการโคเลน cDNA ของเชิง *TpMC4R* ด้านปลาย 5' (ต่อ)

TpMC4R 3'RACE	TCGGAGAGCACCGCTCATCTGCCATTACATGTTCTCACCATGCTGGTGCTATGGCGTCGCTC	402
Goldfish	TCTGAGAGCACCGCTCATCTGCCATTACATGCTGGCGTTATGGCTCGCTC	627
Zebrafish	TCAGAAAGCACCAACTGTCTCATCTGCCATCAGCATGTTCTCACCATGCTGGCGTCATGCCCTCACTC	627
Karasu	TCGGAGAGCACCCACCGTGCATCTGCCATCACCATGTTCTCACCATGCTGGTGCTATGCCCTCCCT	621
Flounder	TCGGAGAGCACCGCTCATCTGCCATCACCATGTTCTCACCATGCTGGTGCTATGGTCTCGCTG	630
Saebass	TCAGAGAGCACACAGTGCATCTGCCATCACCATGTTCTCACCATGCTGGTGCTATGCCCTCGCTG	636
Trout	TCTGAGAGCACACGGCTCATCTGCCATCACCATGTTCTCACCATGCTGGCGTCATGCCCTCTCTC	648
Dogfish	TCGGAGAGCACCGCAGTCATCATCTGCCATCACCATGTTCTCGCCATGCTGCCCTCGCTC	630
Human	TCAGATAGTAGTGTCTCATCTGCCATCACCATGTTCTCACCATGCTGGCTCTCATGCCCTCTCTC	633
Chicken	TCTGACAGACGGCTGTGCATCATCTGCCATTACAGCATGTTCTCACCATGCTATCTCGATGCCCT	630
***	*****	*****

	Primer MC4R-R1	
TpMC4R 3'RACE	TACGTGCA CATGGTCCCTGCTGGCGGCCGTGCAC ATGAAGCGGATCGCAGCGCTGCCGGCAACGCGCCCATC	474
Goldfish	TACGTCCACATGTTCTCTAGCCGGCTGCAATGAGCGCATTCGCCGCCCTCTGGCAACGGCCAT	699
Zebrafish	TACGTCCACATGTTCTCTAGCCGGCTGCAATGAAAGCATGCCGCCCTAACCTGGAAACGGCCGATA	699
Karasu	TACGTCCACATGTTCTCTAGCCGGCTGCAATGAGCGGATCGCCGGCATGCCGGCAACGGCCCATC	693
Flounder	TACGTGACATGTTCTCTGGCGCTGACACGAAAGCTATCGCGGCCGTGCCGGCAACGCGCCCATC	702
Saebass	TACGTCCACATGTTCTCTGGCCGGCTTGGCAATGAGCGCATTCGCCGCCCTGGCAACGGCCCATC	708
Trout	TACGTCCACATGTTCATGTCATGCCGCCCTGCAATTAAGAGGATTGGCTGTGCCGGAAACGGCCCATC	720
Dogfish	TACGTGACATGTTCATGTCATGCCGCCCTGCACTGAAAGGATTCGCCGGCATGCCGGCAACGGCGCGTC	702
Human	TATGTCCACATGTTCTGTAGGCCAGGCTTCATTAAGAGGATTGCTGTCTCCCGCACTGGTGCATC	705
Chicken	TATGTTCACATGTTCATGTCATGCCGCCCTGCAATCAAGAAGATAGCGCTTCAGGAGACTGGCCCATC	702
***	*****	*****

TpMC4R 3'RACE	CAGCAGCGGCCAACATGAAGGGGCCATTACCCCTCACCATCTGCTGGGTGTCGTGTTGTGCTGGGC 546
Goldfish	TGGCAGGCGCAAATATGAAAGGGGCCATCACTATCACTATCCTGCTGGAGTATTCGTGTTGTGCTGGGC 771
Zebrafish	TGGCAGGCGCAAATATGAAAGGGGCCATTACCAATTACTATCACTATCCTGCTGGAGTATTCGTGTTGTGCTGGGC 771
Karasu	CACCAGAGGCCAACATGAAGGGGCCATTACCCCTCACCATCTGCTGGAGTATTCGTGTTGTGCTGGGC 765
Flounder	CTTCAGCGGCCAACATGAAGGGGCCATTACCCCTCACCATCTGCTGGAGTATTCGTGTTGTGCTGGGC 774
Saebass	CATCAGCGGCCAACATGAAGGGGCCATTACCCCTCACCATCTGCTGGAGTATTCGTGTTGTGCTGGGC 780
Trout	CGCCAGCGTGCACATGAAGGGGCCATTACCCCTCACCATCTGCTGGAGTATTCGTGTTGTGCTGGGC 792
Dogfish	CGCCAAGGCGCAAATGAAAGGGGCCATTACCCCTCACCATCTGCTGGAGTATTCGTGTTGTGCTGGGC 774
Human	CGCCAAGGTGCCAACATGAAGGGAGCCATTACCTTGACCATCTGCTGGAGTATTCGTGTTGTGCTGGGC 777
Chicken	CGCCAAGGGGCCAACATGAAAGGGGCCATTACCTGACCATCTGCTGGAGTATTCGTGTTGTGCTGGGC 774

ภาพที่ 3.3 การ alignment ของลำดับนิวคลีโอไทด์ของยีน *TpMC4R* ด้านปลาย 3' กับยีน *MC4R* ในสัตว์มีกระดูกสันหลังชนิดต่าง ๆ และการอ่านแบบไพรเมอร์สำหรับการโคลน cDNA ของยีน *TpMC4R* ด้านปลาย 5' (ต่อ)

TpMC4R 3'RACE	GAGATCGGGAAAACCTTCAGGAGTTTCTGCTG---CTCGCAGCCTCTCTGTGCGCTTGAGTTGTGTT	759
Goldfish	GAGATGAGGAAAACCTTCAGGAGATCTGCTGCTGGTATGGACTGGCGTCTGTGTGATGA-----	981
Zebrafish	GAAATGAGGAAGACCTCAAGGAGATCTGCTGCTGGTATGGACTTGACATCTGTGTGATAA-----	981
Karasu	GAGATGAGAAAACCTCAAGGAGATCTGCTGCTG-----CTCCAAATGCTGGTGTGATGTGA-----	969
Flounder	GAAATGAGAAAACCTCAAAGAGATTCTGCTG-----CTCTCACGCTCTGTGCGTGTGA-----	978
Saebass	GAGATGAGAAAACCTCAAAGAGATTCTGCTG-----CTCACACGCTCTGTGCGTGTGA-----	984
Trout	GAGATGAGGAAGACCTTAAGGAAATCTCTGCTGCTG---ACAGTCGCCAACCTGTGCG-----1005	
Dogfish	GAAATGCGGAAGACCTCAAAGAAATAATCTGCTGCTG---ACAGTCGCCGGGCTGTGACCTG-----	981
Human	GAACCTGAGAAAACATTCAAAGAAATTATGCTGCTG---ATCCCCTGGAGGCCTTTGACTG-----	984
Chicken	GAGCTCAGGAAAACATTCAAAGAAATTATGCTGCTG---GTAACTTGAGAGGGCTTGATTTA-----	981
*** * * *** * * *** * * *** * *		
TpMC4R 3'RACE	TTGAGTAATTAAACCCGCGGTACACTGTACTATTAAAGTGAACAGGGAGTTCACTG 831	
Goldfish	-----	981
Zebrafish	-----	981
Karasu	-----	969
Flounder	-----	978
Saebass	-----	984
Trout	-----AGCTG---CCAGGGAAATATTGA---	1020
Dogfish	-----ACAAGTGAATATTAA---	996
Human	-----TCTAGCAGATATTAA---	999
Chicken	-----CCTGGCAAATATTAG---	996
TpMC4R 3'RACE	CTCATCACTGTGGACAGATGTGGTTCTGTTGCTCCCTTGCTGGCTGTAACAGGGACTTAATGATGTAGGCG	903
Goldfish	-----	
Zebrafish	-----	
Karagu	-----	
Flounder	-----	
Saebass	-----	
Trout	-----	
Dogfish	-----	
Human	-----	
Chicken	-----	
TpMC4R 3'RACE	CCTGCCTCGGTTGTAAAGACGTAGCTTGTGATCACCGTGATCACAGAGCATCACCGTGGAGACGAAC	975
Goldfish	-----	
Zebrafish	-----	
Karagu	-----	
Flounder	-----	
Saebass	-----	
Trout	-----	
Dogfish	-----	
Human	-----	
Chicken	-----	

ภาพที่ 3.3 การ alignment ของลำดับนิวคลีโอไทด์ของยีน *TpMC4R* ด้านปลาย 3' กับยีน *MC4R* ในสัตว์มีกระดูกสันหลังชนิดต่าง ๆ และการอ่านแบบไพรเมอร์สำหรับการโคเลน cDNA ของยีน *TpMC4R* ด้านปลาย 5' (ต่อ)

TpMC4R 3'RACE GCAGCTTTGTTGTTCAAGCTTGAAATGCAACTTAAGTAAATGTCGCCAGTAAAAAAAAA 1047

Goldfish -----
Zebrafish -----
Karagu -----
Flounder -----
Saebass -----
Trout -----
Dogfish -----
Human -----
Chicken -----

TpMC4R 3'RACE AAAAAAAA 1060

Goldfish -----
Zebrafish -----
Karagu -----
Flounder -----
Saebass -----
Trout -----
Dogfish -----
Human -----
Chicken -----

ภาพที่ 3.3 การ alignment ของลำดับนิวคลีโอไทด์ของยีน *TpMC4R* ด้านปลาย 3' กับยีน *MC4R* ใน

สัตว์มีกระดูกสันหลังชนิดต่าง ๆ และการออกแบบไฟรเมอร์สำหรับการโคลน cDNA

ของยีน *TpMC4R* ด้านปลาย 5' (ต่อ)

Primary PCR และ Nested PCR

นำ primer ที่ได้ออกแบบในขั้นต้นตามตารางที่ 3.1 มาใช้ในการทำ PCR โดยในการทำ PCR รอบที่ 1 ใช้ primer forward UPM-L คู่ primer reverse MC4R-R1 การทำ PCR ในรอบที่ 2 ใช้ primer forward UPM-S คู่ primer reverse MC4R-R2 การท่า PCR ในรอบที่ 3 ใช้ primer forward NUP คู่ primer reverse MC4R-R3 ซึ่งมีการเตรียมปฏิกริยาสำหรับทำ PCR โดยใช้ EX Taq kit (Takara) โดยให้มีปริมาณทั้งหมดเท่ากัน 10 μl ซึ่งประกอบไปด้วย 10x buffer EX Taq (with MgCl₂), 2.5 mM dNTP Mix, 10 μM primer forward, 10 μM primer reverse, 5 U/μl EX Taq โดยใช้ดีเอ็นเอแม่แบบ (DNA template) ที่เป็น first strand cDNA 5' RACE จากสมองของปลาสลิด สำหรับการทำ PCR รอบที่ 1 ต่อมาในการทำ PCR รอบที่ 2 มีการใช้ผลผลิตดีเอ็นเอจากการทำ PCR ในรอบที่ 1 (PCR product) มาทำการเจือจาง (dilute) ในอัตราส่วน 1 : 50 เท่า เพื่อนำมาเป็น DNA template สำหรับการทำ PCR รอบที่ 2 หลังจากนั้นมีการใช้ผลผลิตดีเอ็นเอจากการทำ PCR รอบที่ 2 มาทำการเจือจางในอัตราส่วน 1 : 50 เท่า เพื่อใช้เป็น DNA template ในการทำ PCR รอบที่ 3 โดยมีสภาวะการเพิ่มจำนวนของดีเอ็นเอในเครื่อง PCR (PCR condition) ดังนี้ 95°C เป็นเวลา 3นาที จำนวน 1 รอบ ต่อมา 95°C เป็นเวลา 45 วินาที, 60°C เป็นเวลา 30 วินาที และ 72°C เป็นเวลา 45 วินาที ติดต่อ กัน จำนวน 40 รอบ และเข้าสู่ 72°C เป็นเวลา 5 นาที จำนวน 1 รอบ หลังจากนั้นนำ PCR product ที่ได้ไปวิเคราะห์ขนาดดีเอ็นเอด้วย Agarose gel electrophoresis ต่อจากนั้นมีขั้นตอนเช่นเดียวกันกับการโคลน cDNA ของยีน *TpMC4R* ด้านปลาย 3'

การวิเคราะห์ลำดับนิวคลีโอไฮด์

หลังจากนั้นนำลำดับนิวคลีโอไฮด์ของ cDNA ของยีน *TpMC4R* ด้านปลาย 3' และ ด้านปลาย 5' มาต่อ กัน หลังจากนั้นทำการวิเคราะห์ลำดับนิวคลีโอไฮด์ และลำดับกรดอะมิโน โดยทำการเปรียบเทียบลำดับนิวคลีโอไฮด์ และลำดับกรดอะมิโนของ cDNA ของยีน *TpMC4R* กับข้อมูลลำดับนิวคลีโอไฮด์ และลำดับกรดอะมิโนของยีน *MC4R* ในสัดวิมิตรคลูสัน หลังนิดต่าง ๆ โดยเฉพาะในปลาชนิดต่าง ๆ ที่ได้มีการรายงานไว้ในฐานข้อมูลของ GenBank database (<http://www.ncbi.nlm.nih.gov/>) โดยใช้โปรแกรม BlastN และ BlastX และทำการ alignment ลำดับนิวคลีโอไฮด์ และลำดับกรดอะมิโนของยีน *MC4R* โดยใช้โปรแกรม EBI Tools Clustal W2 (<http://www.ebi.ac.uk/Tools/msa/clustalw2/>) เพื่อทำการเปรียบเทียบความคล้ายคลึงกัน (homology) ของลำดับกรดอะมิโนของยีน *MC4R* ระหว่างปลาสลิด, คน, ไก่ และปลาชนิดต่าง ๆ หลังจากนั้นทำการศึกษาคุณลักษณะ (characterization) ของลำดับกรดอะมิโนของยีน *TpMC4R* ซึ่งจะทำการทำงานอย่างต่อเนื่อง seven transmembrane (TM) domain โดยใช้โปรแกรม Split 4.0 server

(<http://split.pmsft.hr/split/4/>) และทำการศึกษาความสัมพันธ์ทางวิถีและการของยีน *TpMC4R* โดยการสร้าง phylogenetic tree ตามวิธีการของ Neighbor-joining method (Saito and Nei, 1987) โดยใช้โปรแกรม PHYLIP version 3.66 (<http://evolution.genetics.washington.edu/phylip.html>) ที่กำหนดค่า Bootstrep เท่ากับ 1000

3.4.1.3 การโคลน cDNA ของยีน β -actin ในปลาสลิด

การสังเคราะห์ first strand cDNA ของยีน β -actin ในปลาสลิด

นำ total RNA ของสมองที่ได้ส่วนหนึ่งไปวัดความเข้มข้นของ RNA ที่ค่าการดูดกลืนแสง 260 นาโนเมตร (nm) หลังจากนั้นทำการสังเคราะห์ first strand cDNA จาก total RNA โดยใช้ SMART™ RACE cDNA amplification kit โดยมีการเตรียมสารละลายสำหรับสังเคราะห์ first strand cDNA 3' RACE ดังนี้ total RNA ความเข้มข้น 1-5 $\mu\text{g}/\mu\text{l}$ ใส่ 1-3 μl , 3'-CDS primer A ที่มีความเข้มข้น 12 μM ใส่ 1 μl , SMART II A Oligonucleotide ที่มีความเข้มข้น 12 μM ใส่ 1 μl และน้ำ DI เพื่อปรับปริมาณให้สารละลายทั้งหมดเท่ากับ 5 μl ทำการผสมสารละลายในหลอดไมโครเซนทริฟิวจ์ให้เข้ากันและทำการปั่นเหวี่ยงที่ความเร็วรอบ 5000 rpm ที่อุณหภูมิ 4°C เป็นเวลา 1 นาที หลังจากนั้นนำหลอดไปตั้งที่อุณหภูมิ 70°C เป็นเวลา 2 นาที และแชร์ลงในถังน้ำแข็งทันทีเป็นเวลา 2 นาที เมื่อครบเวลานำหลอดไปปั่นเหวี่ยงที่ความเร็วรอบ 5000 rpm ที่อุณหภูมิ 4°C เป็นเวลา 1 นาที หลังจากนั้นนำหลอดดึงกล่าวมาใส่สารละลายผสม (premixture) 5 μl (premixture ประกอบด้วย 5x First-Strand buffer 2 μl , 20 mM DTT 1 μl , 10 mM dNTP Mix 1 μl และ MMLV Reverse Transcriptase 1 μl) ซึ่งสารละลายทั้งหมดเท่ากับ 10 μl หลังจากนั้นผสมสารละลายในหลอดให้เข้ากันโดยใช้ไมโครปีเพตต์และทำการปั่นเหวี่ยงที่ความเร็วรอบ 5000 rpm ที่อุณหภูมิ 4°C เป็นเวลา 1 นาที และนำหลอดไปตั้งที่อุณหภูมิ 42°C เป็นเวลา 2 ชั่วโมง หลังจากนั้นใส่สาร Tricine-EDTA buffer 100 μl และนำหลอดไปตั้งในอ่างควบคุมอุณหภูมิแบบแห้ง ที่อุณหภูมิ 72°C เป็นเวลา 7 นาที เพื่อหยุดปฏิกิริยา และเก็บตัวอย่าง cDNA ไว้ที่อุณหภูมิ -20°C

การออกแบบไพรเมอร์

ทำการรวบรวมข้อมูลของยีน β -actin ในปลาชนิดต่าง ๆ ที่ได้มีการรายงานไว้ในฐานข้อมูลของ GenBank database (<http://www.ncbi.nlm.nih.gov/>) จากนั้นทำการ alignment ลำดับนิวคลีโอไทด์ของยีน β -actin (ดังภาพที่ 3.4) โดยใช้โปรแกรม EBI Tools Clustal W2 และทำการออกแบบไพรเมอร์เพื่อนำมาใช้ในการโคลน cDNA ของยีน β -actin ของปลาสลิด (ดังตารางที่ 3.1)

Flounder	ATGGAAGATGAAATGCCGCACTGGTTGTGACAACGGATCCGTATGCAAAGCGGATTGCCGAGA 71
Grouper	ATGGAAGATGAAATGCCGCACTGGTTGTGACAACGGATCCGTATGCAAAGCGGATTGCCGAGA 71
Saebass	ATGGAAGATGAAATGCCGCACTGGTTGTGACAACGGATCCGTATGCAAAGCGGATTGCCGAGA 71
Tilapia	ATGGAAGATGAAATGCCGCACTGGTTGTGACAACGGATCCGTATGCAAAGCGGATTGCCGAGA 71
Sillago	ATGGAAGATGAAATGCCGCACTGGTTGTGACAACGGATCCGTATGCAAAGCGGATTGCCGAGA 71
Perch	ATGGATGACGAAATGCCGCGCTCGTTGTGACAACGGATCCGTATGCAAAGCTGGCTTGAGGAGA 71
	***** * *****
Flounder	CGACGCCCTCGTGTCTTCCCTCATGGTGCAGGGCAGGATCAGGGAGTGATGGTGGGTATGG 142
Grouper	CGACGCCCTCGTGTCTTCCCTCATCGTCGGTGCAGGGCAGGATCAGGGAGTGATGGTGGGTATGG 142
Saebass	CGACGCCCTCGTGTCTTCCCTCATCGTCGGTGCAGGGCAGGATCAGGGAGTGATGGTGGGTATGG 142
Tilapia	CGACGCCCTCGTGTCTTCCCTCATCGTCGGTGCAGGGCAGGATCAGGGAGTGATGGTGGGTATGG 142
Sillago	CGACGCCCTCGTGTCTTCCCTCATCGTCGGTGCAGGGCAGGATCAGGGAGTGATGGTGGGTATGG 142
Perch	TGATGCTCGCGTGTGTTCCCTCATGGTGGACGTCCAAGACATCAGGGTGATGGTGGGTATGG 142
	*** * ***
Flounder	GCCAGAAGGACAGCTACGTAGGTGATGAAGCCCAGAGCAAGAGGGGTATCCTGACCCATC 213
Grouper	GCCAGAAGGACAGCTACGTGGTGTGATGAAGCCCAGAGCAAGAGGGGTATCCTGACCCATC 213
Saebass	GCCAGAAGGACAGCTACGTGGTGTGATGAAGCCCAGAGCAAGAGGGGTATCCTGACCCATC 213
Tilapia	GTCAGAAAAGACAGCTACGTGGTGTGATGAGGCCAGAGCAAGAGGGGTATCCTGACCCATC 213
Sillago	GCCAGAAGAAGACAGCTACGTGGTGTGATGAAGCCCAGAGCAAGAGGGGTATCCTGACCCATC 213
Perch	GCCAGAAGAAGATAGCTATGGTGTGAGGACAGAGCAAAGGGGTATCCTGACCCATC 213
	***** * ***
Flounder	GAGCACGGTATTGTGACCAACTGGGATGACATGGAGAAGATCTGGCATCACACCTTCTACAACGAGCTGAG 284
Grouper	GAGCACGGTATTGTGACCAACTGGGATGACATGGAGAAGATCTGGCATCACACCTTCTACAACGAGCTGAG 284
Saebass	GAGCACGGTATTGTGACCAACTGGGATGACATGGAGAAGATCTGGCATCACACCTTCTACAACGAGCTGAG 284
Tilapia	GAGCACGGTATTGTGACCAACTGGGATGACATGGAGAAGATCTGGCATCACACCTTCTACAACGAGCTGAG 284
Sillago	GAGCACGGTATTGTGACCAACTGGGATGACATGGAGAAGATCTGGCATCACACCTTCTACAACGAGCTGAG 284
Perch	GAGCATGGTATCGTACCAACTGGGACATGGAGAAGATCTGGCATCACACCTTCTACAACGAGCTGAG 284
	***** * ***
Flounder	AGTCGCCCTCAGGGGACACCTGTCCTGTCACAGAGGCCCTGAACCCCTAAAGCCAACAGGGAGAAGA 355
Grouper	AGTGCCCTCTGGAGGACCCCTGTCCTGTCACAGAGGCCCTGAACCCCTAAAGCCAACAGGGAGAAGA 355
Saebass	AGTGCCCTCTGGAGGACCCCTGTCCTGTCACAGAGGCCCTGAACCCCTAAAGCCAACAGGGAGAAGA 355
Tilapia	AGTGCCCTCTGGAGGACCCCTGTCCTGTCACAGAGGCCCTGAACCCCTAAAGCCAACAGGGAGAAGA 355
Sillago	AGTGCCCTCTGGAGGACCCCTGTCCTGTCACAGAGGCCCTGAACCCCTAAAGCCAACAGGGAGAAGA 355
Perch	AGTGCGCCGAGGAGCACCCCTGTCCTGTCACAGAGGCCCTGAACCCCAAGCCAACAGGGAAAAGA 355
	***** * ***
Flounder	TGACCCAGATCATGTTGAGACCTTCAACACCCCCGGCATGTACGTTGCCATCAAGGTGTGTCCTG 426
Grouper	TGACCCAGATCATGTTGAGACCTTCAACACCCCCGGCATGTACGTTGCCATCCAGGCTGTGTCCTG 426
Saebass	TGACCCAGATCATGTTGAGACCTTCAACACCCCCGGCATGTACGTTGCCATCCAGGCTGTGTCCTG 426
Tilapia	TGACCCAGATCATGTTGAGACCTTCAACACCCCCGGCATGTACGTTGCCATCCAGGCTGTGTCCTG 426
Sillago	TGACCCAGATCATGTTGAGACCTTCAACACCCCCGGCATGTACGTTGCCATCCAGGCTGTGTCCTG 426
Perch	TGACCCAGATCATGTTGAGACCTTCAACACCCCCGGCATGTACGTTGCCATCCAGGCTGTGTCCTG 426
	***** * ***
Flounder	TACGCCCTGGTCGTAACACTGGTATCGTCATGGACTCCGGTATGGTGTGACCCACACAGTCCCCATCTA 497
Grouper	TATGCCCTGGTCGTAACACTGGTATGGTATCGTCATGGACTCCGGTATGGTGTGACCCACACAGTCCCCATCTA 497
Saebass	TATGCCCTGGTCGTAACACTGGTATGGTATCGTCATGGACTCCGGTATGGTGTGACCCACACAGTCCCCATCTA 497
Tilapia	TACGCCCTGGTCGTAACACTGGTATGGTATCGTCATGGACTCCGGTATGGTGTGACCCACACAGTCCCCATCTA 497
Sillago	TATGCCCTGGTCGTAACACTGGTATGGTATCGTCATGGACTCCGGTATGGTGTGACCCACACAGTCCCCATCTA 497
Perch	TATGCCCTGGTCGTAACACTGGTATGGTATCGTCATGGACTCCGGTATGGTGTGACCCACACAGTCCCCATCTA 497
	***** * ***

ภาพที่ 3.4 การ alignment ของลำดับนิวคลีโอไทด์ของยีน β -actin ของปลาชนิดต่าง ๆ และการออกแบบไฟรเมอร์สำหรับการโคลน cDNA ของยีน β -actin ของปลาสกิด

	Primer Actin-F	
Flounder	CGAGGGCTACGCCCTGCCAACGCCATCTGCGTCTGGACTTGGCGGCCGACCTCACAG	<u>ACTACCTCA</u> 568
Grouper	CGAGGGCTATGCCCTGCCAACGCCATCTGCGTCTGGACTTGGCGGCCGACCTCACAG	<u>ACTACCTCA</u> 568
Saebass	TGAAGGCTACGCCCTGCCAACGCCATCTGCGTCTGGACTTGGCGGCCGACCTCACAG	<u>ACTACCTCA</u> 568
Tilapia	CGAGGGTATGCCCTGCCAACGCCATCTGCGTCTGGACTTGGCGGCCGACCTCACAG	<u>ACTACCTCA</u> 568
Sillago	CGAGGGCTACGCCCTGCCAACGCCATCTGCGTCTGGACTTGGCGGCCGACCTCACAG	<u>ACTACCTCA</u> 568
Perch	TGAGGGCTATGCCCTGCCAACGCCATCTGCGTCTGGACTTGGCGGCCGACCTCACAG	<u>ACTACCTCA</u> 568

	Primer Actin-R	
Flounder	TGAAGATCCTG ACAGAGCGTGGTACTCTTCACCACAGCGAGAGGAAATCGTGCCTGACATTAAAG	639
Grouper	TGAAGATCCTG ACAGAGCGTGGTACTCTTCACCACAGCGAGAGGAAATCGTGCCTGACATCAAG	639
Saebass	TGAAGATCCTG ACAGAACGTGGTACTCTTCACCACAGCGAGAGGAAATCGTGCCTGACATCAAG	639
Tilapia	TGAAGATCCTG ACAGAGCGTGGTACTCTTCACCACAGCGAGAGGAAATCGTGCCTGACATCAAA	639
Sillago	TGAAGATCCTG ACAGAGCGTGGTACTCTTCACCACAGCGAGAGGAAATCGTGCCTGACATCAAG	639
Perch	TGAAGATCCTG ACAGAGCGTGGTACTCTTCACCACAGCGAGAGGAAATCGTGCCTGACATCAAG	639

Flounder	GAGAAGCTGTGCTACGTCGCCCTGGACTTCGAGCAGGAGATGGGCACTGCTGCCTCCCTCCCTGGGA	710
Grouper	GAGAAGCTGTGCTACGTCGCCCTGGACTTCGAGCAGGAGATGGGCACTGCTGCCTCCCTCCCTGGGA	710
Saebass	GAGAAACTGTGCTATGTCGCCCTGGACTTCGAGCAGGAAATGGGCACTGCTGCCTCCCTCCCTGGGA	710
Tilapia	GAGAAGCTGTGCTACGTCGCCCTGGACTTCGAGCAGGAGATGGGCACTGCTGCCTCCCTCCCTGGGA	710
Sillago	GAGAAGCTGTGCTACGTCGCCCTGGACTTCGAGCAGGAGATGGGCACTGCTGCCTCCCTCCCTGGGA	710
Perch	GAGAAGCTGTGCTATGTCGCCCTGGACTTCGAGCAGGAGATGGGCACTGCTGCCTCCCTCCCTGGGA	710

Flounder	GAAGAGCTATGAGCTGCCCTGACGGACAGGTACCATCGGAATCGGAATGAGAGGTTCCGTTGTCAGAGGCC	781
Grouper	GAAGAGCTACGAGCTGCCCTGACGGACAGGTACCATCGGAATGAGAGGTTCCGTTGCCCAGAGGCC	781
Saebass	GAAGAGCTACGAGCTGCCCTGACGGACAGGTACCATCGGAATGAGAGGTTCCGTTGCCCAGAGGCC	781
Tilapia	GAAGAGTTACGAGCTGCCCTGACGGACAGGTACCATGGGAATGAGAGGTTCCGTTGCCCAGAGGCC	781
Sillago	GAAGAGCTACGAGCTGCCCTGACGGACAGGTACCATCGGAATGAGAGGTTCCGTTGCCCAGAGGCC	781
Perch	GAAGAGCTACGAGCTGCCCTGACGGACAGGTACCATCGGAATGAGAGGTTCCGTTGCCCAGAGGCC	781

Flounder	TCTTCCAGCCTCTCTCGGTATGGAGTCTGTGGAATCCACGAGACCACCTAACACAGCATCATGAAG	852
Grouper	TCTTCCAGCCTCTCTCTCGGTATGGAGTCTGTGGAATCCACGAGACCACCTAACACAGCATCATGAAG	852
Saebass	TTTCCAGCCTCTCTCTCGGTATGGGAATCTCGGAATCCACGAGACCACCTAACACAGCATCATGAAG	852
Tilapia	TCTTCCAGCCTCTCTCTCGGTATGGGAATCTCGGAATCCACGAGACCACCTAACACAGCATCATGAAG	852
Sillago	TCTTCCAGCCTCTCTCTCGGTATGGGAATCTCGGAATCCACGAGACCACCTAACACAGCATCATGAAG	852
Perch	TCTTCCAGCCTCTCTCTCGGTATGGGAATCTCGGAATCCACGAGACCACCTAACACAGCATCATGAAG	852

Flounder	TGTGACGTCGACATCGTAAGGATCTGTACGCCAACACTGTGCTGTGAGGATACCCATGTACCCGG	923
Grouper	TGCGACGTCGACATCGTAAGGACCTGTACGCCAACACCGTCTGTGAGGATACCCATGTACCCGG	923
Saebass	TGCGACGTTGACATCGTAAGGACCTGTATGCCAACACTGTGCTGTGAGGATACCCATGTACCCGG	923
Tilapia	TGCGACGTCGACATCGTAAGGACCTGTACGCCAACACCGTCTGTGAGGATACCCATGTACCCGG	923
Sillago	TGCGACGTCGACATCGTAAGGACCTGTACGCCAACACCGTCTGTGAGGATACCCATGTACCCGG	923
Perch	TGTGATGTCGACATCGTAAGGACCTGTACGCCAACACCGTCTGTGAGGATACCCATGTACCCGG	923

Flounder	CATCGCCGACAGGATGCGAGAAGGAGATCACGCCCTGGCCCCATCCACCATGAAGATCAAGATCATGCC	994
Grouper	CATCGCTGACAGGATGCGAGAAGGAGATCACGCCCTGGCCCCATCCACCATGAAGATCAAGATCATGCC	994
Saebass	CATCGCCGACAGGATGCGAGAAGGAGATCACGCCCTGGCCCCATCCACCATGAAGATCAAGATCATGCC	994
Tilapia	CCATCGTGACAGGATGCGAGAAGGAGATCACGCCCTGGCCCCATCCACCATGAAGATCAAGATCATGCC	994
Sillago	CATCGCCGACAGGATGCGAGAAGGAGATCACGCCCTGGCCCCATCCACCATGAAGATCAAGATCATGCC	994
Perch	CATTGCCGACAGGATGCGAGAAGGAGATCACGCCCTGGCCCCATCCACCATGAAGATCAAGATCATGCC	994

ภาพที่ 3.4 การ alignment ของลำดับนิวคลีโอไทด์ของยีน β -actin ของปลาชนิดต่าง ๆ และการออกแบบไพรเมอร์สำหรับการโคณ cDNA ของยีน β -actin ของปลาสกิด (ต่อ)

	Primer Actin-R
Flounder	CACCTGAGCGTAAATACTCTGTCTGGATCGGAGGCTCATCTGGCTCCCTGTCCACCTTC <u>CAGCAGATG</u> 1065
Grouper	CACCAGAGCGTAAATACTCTGTCTGGATTGGAGGCTCATCTGGCTCCCTGTCCACCTTC <u>CAGCAGATG</u> 1065
Saebass	CACCTGAGCGTAAATACTCTGTCTGGATCGGAGGCTCATCTGGCTCCCTGTCCACCTTC <u>CAGCAGATG</u> 1065
Tilapia	CACCTGAGCGTAAATACTCTGTCTGGATCGGAGGCTCATCTGGCTCCCTGTCCACCTTC <u>CAGCAGATG</u> 1065
Sillago	CACCTGAGCGTAAATACTCTGTCTGGATCGGAGGCTCATCTGGCTCCCTGTCCACCTTC <u>CAGCAGATG</u> 1065
Perch	CACCAAGCGTAAATACTCTGTCTGGATCGGAGGCTCATCTGGCTCCCTGTCCACCTTC <u>CAGCAGATG</u> 1065
***** *****	
	Primer Actin-R
Flounder	< <u>TGGATCAGCAA</u> GCAGGGAGTACGATGAGTCGGGCCCTCCATCGTCCACCGCAAATGCTTCTAA 1128
Grouper	<u>TGGATCAGCAA</u> GCAGGGAGTACGATGAGTCGGGCCCTCCATCGTCCACCGCAAATGCTTCTAA 1128
Saebass	<u>TGGATCAGCAA</u> GCAGGGAGTACGATGAGTCGGGCCCTCCATCGTCCACCGCAAATGCTTCTAA 1128
Tilapia	<u>TGGATCAGCAA</u> GCAGGGAGTACGATGAGTCGGGCCCTCCATCGTCCACCGCAAATGCTTCTAA 1128
Sillago	<u>TGGATCAGCAA</u> GCAGGGAGTACGATGAGTCGGGCCCTCCATCGTCCACCGCAAATGCTTCTAA 1128
Perch	<u>TGGATCAGCAA</u> GCAGGGAGTACGATGAGTCGGGCCCTCCATCGTCCACCGCAAATGCTTCTAA 1128
***** *****	

ภาพที่ 3.4 การ alignment ของลำดับนิวคลีโอไทด์ของยีน β -actin ของปลาชนิดต่าง ๆ และการออกแบบไพรเมอร์สำหรับการโคลน cDNA ของยีน β -actin ของปลาสลิด (ต่อ)



มหาวิทยาลัยเทคโนโลยีสุรินทร์

Primery PCR และ Nested PCR

นำ primer ที่ได้ออกแบบในขั้นต้นตามตารางที่ 3.1 มาใช้ในการทำ PCR โดยในการทำ PCR รอบที่ 1 ใช้ primer forward Actin-F คู่กับ primer reverse UPM-L การทำ PCR ในรอบที่ 2 ได้แบ่งการใช้ primer ออกรีปเป็น 2 คู่ ได้แก่ คู่ที่ 1 (primer forward Actin-F คู่กับ primer reverse NUP) คู่ที่ 2 (primer forward Actin-F คู่กับ primer reverse Actin-R) ซึ่งมีการเตรียมปฏิกิริยาสำหรับทำ PCR โดยใช้ EX Taq kit (Takara) โดยให้มีปริมาณทั้งหมดเท่ากัน 10 μ l ซึ่งประกอบไปด้วย 10x buffer EX Taq (with MgCl₂), 2.5 mM dNTP Mix, 10 μ M primer forward, 10 μ M primer reverse, 5 U/ μ l EX Taq โดยใช้ดีเจ็นเอ็มแม่แบบ (DNA template) ที่เป็น first strand cDNA 3' RACE จากตัวของปลาสลิดสำหรับการทำ PCR รอบที่ 1 และมีการใช้ผลลัพธ์ดีเจ็นเอ็มจากการทำ PCR ในรอบที่ 1 (PCR product) มาทำการเจือจาง (dilute) ในอัตราส่วน 1 : 50 เท่า ในการทำ PCR รอบที่ 2 โดยมีสภาวะการเพิ่มจำนวนของดีเจ็นเอ็มในเครื่อง PCR (PCR condition) ดังนี้ 95°C เป็นเวลา 3 นาที จำนวน 1 รอบ ต่อมา 95°C เป็นเวลา 45 วินาที, 55°C เป็นเวลา 30 วินาที และ 72°C เป็นเวลา 45 วินาที ติดต่อกันจำนวน 40 รอบ และเข้าสู่ 72°C เป็นเวลา 5 นาที จำนวน 1 รอบ หลังจากนั้นนำ PCR product ที่ได้ไปวิเคราะห์ขนาดดีเจ็นเอ็มด้วย Agarose gel electrophoresis ต่อจากนั้นมีขั้นตอนเช่นเดียวกันกับการโคลน cDNA ของขีน *TpMC4R* ด้านปลาย 3'

การวิเคราะห์ลำดับนิวคลีโอไทด์

ทำการวิเคราะห์ลำดับนิวคลีโอไทด์ และลำดับกรดอะมิโน โดยทำการเปรียบเทียบลำดับนิวคลีโอไทด์ และลำดับกรดอะมิโนของ cDNA ของยีน β -actin ของปลาสลิดกับข้อมูลลำดับนิวคลีโอไทด์ และลำดับกรดอะมิโนของยีน β -actin ในปลาชนิดต่าง ๆ ที่ได้มีการรายงานไว้ในฐานข้อมูลของ GenBank database (<http://www.ncbi.nlm.nih.gov/>) โดยใช้โปรแกรม BlastN และ BlastX และทำการ alignment ลำดับนิวคลีโอไทด์ และลำดับกรดอะมิโนของยีน β -actin โดยใช้โปรแกรม EBI Tools Clustal W2 (<http://www.ebi.ac.uk/Tools/msa/clustalw2/>) เพื่อทำการเปรียบเทียบความคล้ายคลึงกัน (homology) ของลำดับกรดอะมิโนของ β -actin ระหว่างปลาสลิดและปลาชนิดต่าง ๆ

3.4.2 การวิเคราะห์การแสดงของ mRNA ของยีน *TpMC4R* ในระหว่างการพัฒนาการของตัวอ่อนระยะต่าง ๆ ของปลาสลิด โดยใช้เทคนิค Reverse transcription PCR (RT-PCR)

3.4.2.1 การเตรียมพ่อแม่พันธุ์ และการเก็บตัวอย่างของตัวอ่อนปลาสลิด

นำปลาสลิดที่มีสุขภาพดีและมีความสมบูรณ์พันธุ์จากที่พักเลี้ยงในบ่อปูนซีเมนต์ มาเลี้ยงในบ่อปูนขนาด $2 \times 2.5 \times 0.8$ ลูกบาศก์ เช่นติเมตร ที่มีพื้นน้ำเช่นผักน้ำที่ผ่านการทำความสะอาดแล้วโดยไว้ในบ่อ โดยเตรียมไว้สำหรับให้ปลาสลิดผสมพันธุ์และก่อ怀อด ซึ่งมีอัตราการปล่อยคือ ปลาสลิดเพศผู้ 2 ตัว ต่อ ปลาสลิดเพศเมีย 4 ตัว สำหรับการผสมพันธุ์จะทำการฉีดฮอร์โมนสมรรถะทาง Suprefact และ Motiliun M ครั้งบริเวณโคนรีบหลังของปลาสลิด โดยปลาสลิดเพศผู้ฉีด 1 เจ็ม มีความเข้มข้นของ Suprefact $10 \mu\text{g}/\text{kg}$ และ Motiliun M $5 \mu\text{g}/\text{kg}$ หลังจากการฉีดฮอร์โมนปล่อยปลาสลิดลงบ่อเพาะพันธุ์ ส่วนปลาสลิดเพศเมียฉีด 2 เจ็ม โดยเจ็มที่ 1 มีความเข้มข้นของ Suprefact $10 \mu\text{g}/\text{kg}$ และ Motiliun M $10 \mu\text{g}/\text{kg}$ หลังจากการฉีดเจ็มที่ 1 แล้ว 12 ชั่วโมง จึงทำการฉีดเจ็มที่ 2 ซึ่งมีความเข้มข้นของ Suprefact $20 \mu\text{g}/\text{kg}$ และ Motiliun M $10 \mu\text{g}/\text{kg}$ หลังจากการฉีดเจ็มที่ 2 จึงทำการปล่อยปลาสลิดลงในบ่อเพาะพันธุ์ที่มีปลาสลิดเพศผู้อยู่ หลังจากการปล่อยให้ปลาผสมพันธุ์กันประมาณ 14 ชั่วโมง ปลาจะเริ่มก่อ怀อด หลังจากนั้นจึงทำการเก็บตัวอ่อนตัวอ่อนของปลาที่ได้มีการวางไข่แล้ว 5, 7, 11, 15, 21, 24 และ 48 ชั่วโมง (hours post spawning : hps) และทำการเก็บตัวอย่างรังไข่จากแม่พันธุ์ปลาสลิดที่มีความสมบูรณ์พันธุ์ ซึ่งก็คือไข่ปลาที่ไม่ได้รับการปฏิสนธิ (unfertilized egg) หลังจากนั้นนำตัวอ่อนตัวอ่อนของปลาสลิดไปสกัด total RNA และนำไปวัดความเข้มข้นเพื่อนำไปสังเคราะห์ first stand cDNA

3.4.2.2 การสังเคราะห์ First stand cDNA ของยีน *TpMC4R* ของตัวอ่อนปลาสลิดในระยะต่าง ๆ

นำ total RNA ของตัวอ่อนปลาสลิดในระหว่างการพัฒนาการระยะต่าง ๆ ไปวัดความเข้มข้นของ RNA ที่ค่าการดูดกลืนแสง 260 นาโนเมตร (nm) หลังจากนั้นทำการสังเคราะห์ first strand cDNA จาก total RNA โดยใช้ ImProm-II™ Reverse Transcription system kit ซึ่งมีการเตรียมสารละลายสำหรับปฏิกริยาในปริมาณ $10 \mu\text{l}$ ซึ่งประกอบด้วย total RNA ความเข้มข้น $0.25 \mu\text{g}/\mu\text{l}$, primer Oligo (dT) ความเข้มข้น $0.5 \mu\text{g}/\text{reaction}$ และใช้ DEPC water ในการปรับปริมาณ หลังจากนั้นทำการผสมเบาๆ และนำไปตั้งที่อ่างควบคุมอุณหภูมิแบบแห้งที่อุณหภูมิ 70°C เป็นเวลา 5 นาที เมื่อครบเวลาทำการขยับหลอดไปตั้งในน้ำแข็งทันทีเป็นเวลา 5 นาที และนำไปปั่นให้วิ่งที่ความเร็วรอบ 5000 rpm ที่อุณหภูมิ 4°C เป็นเวลา 1 นาที ในระหว่างรอเวลาจึงทำการเตรียม

สารละลายผสม (master mix) ซึ่งประกอบด้วย ImProm-II™ 5X reaction buffer, 25 mM MgCl₂, 10 mM dNTP, 40 U/μl RNase inhibitor, 1 U/μl ImProm-II™ Reverse Transcriptase และน้ำ DI ปรับปริมาตรสารละลายทั้งหมดให้เท่ากัน 15 μl ทำการผสมสารละลายในหลอดไมโครเซนทริฟิวจ์ให้เข้ากันและทำการปั่นเหวี่ยงที่ความเร็วรอบ 5000 rpm ที่อุณหภูมิ 4°C เป็นเวลา 1 นาที หลังจากนั้นดูดสาร master mix ด้วยไมโครปีเพตต์มา 15 μl ใส่ลงในหลอดที่ได้เตรียม total RNA ไว้ทำการผสมสารละลายในหลอดไมโครเซนทริฟิวจ์ให้เข้ากัน หลังจากนั้นเข้าสู่กระบวนการ anneal โดยนำหลอดไปตั้งตู้ควบคุมอุณหภูมิ ที่มีอุณหภูมิ 25°C เป็นเวลา 10 นาที ต่อจากนั้นเข้าสู่กระบวนการ Extend โดยนำหลอดไปตั้งในอ่างควบคุมอุณหภูมิแบบแห้งที่มีอุณหภูมิ 42°C เป็นเวลา 1 ชั่วโมง 30 นาที หลังจากนั้นเข้าสู่กระบวนการ Inactivation โดยนำหลอดไปตั้งในอ่างควบคุมอุณหภูมิแบบแห้งที่มีอุณหภูมิ 72°C เป็นเวลา 15 นาที เพื่อหยุดปฏิกิริยาและเก็บตัวอย่าง cDNA ไว้ที่อุณหภูมิ -20°C

3.4.2.3 การวิเคราะห์การแสดงออกของ mRNA ของ *TpMC4R* ด้วยวิธีการ Reverse

transcription PCR (RT-PCR)

การออกแบบไพรเมอร์

ทำการออกแบบไพรเมอร์สำหรับ MC4R และ β-actin โดยมีการใช้ชุดมุมล้ำดับนิวคลีโอไทด์ของ cDNA เส้นสมบูรณ์ ขึ้น *TpMC4R* และชุดมุมล้ำดับนิวคลีโอไทด์ของ cDNA ขึ้น β-actin ด้านปลาย 3' จากการศึกษาในข้างต้น (ดังภาพที่ 3.5 และ 3.6)

1 GCAACGAAGGAGGCATAATGAACACCACAGATCCCAGTGGATTAAGCCCGGGCTACCACAAACCGAAGCCAACCACAGCCACG 83
 84 CTGCCCACTAACAGGACCTCCCTCTGAGGAGAAGGACTCGTCTGCAGGGTGTACGGCAGCTGCTGATCTCCACTGAGTT 167
 168 TTCCCTCACTCTGGCATCGTCAGCCTGCTGGAGAACATCCTGGTTGCGCATAGTGGAAAAACAAGAACCTCCACTCTCC 251
 252 ATGTACTTTTCATCTGTAGCCTGGCGGTCGCCGACATGCTGGTAGCGTCTCAAATGCCCTGAGACCATTGTCATCGAGCTC 335
 336 ATCAATGGAGGCACGCTGAGCATCCCCATCACACTCATCAAGAGCATGGACAAACGTGTTGACTCATGAGCTCTG 419
 420 CTGGCCTCCATCTGCAGCTTGCTGGCTATCGCTGTGGACCGCTACATACCACCTTCTACCGCCTGCGTTACCAACATCGTG 503

Primer MC4R-RT-F 

504 ACCTTGCAGGGCACGCTGGCATCAGCACCATCTGGACGTGCTGCACGGTGTCCG**GATCCTCTTACATCTACTCGAG** 587
 588 AGCACACGGTGCATCTGCCTATTACATGTTCTCACCATGCTGGTGTGCATGGCGCCTACAGTGCACATGTTCTG 671
 672 CTGGCGCGCTGCACATGAAGCGATCGCAGCGCTGCCGGCAACGCCCATCCAGCAGCGGCCAACATGAAGGGCGCATC 755

 Primer MC4R-RT-R

756 ACCCTCACCATCCCTGCTGGGTGTTCTGTGGCTGGCGCTTCTCCACCTCATCCTGATGAT**ACCTGCCCGG** 839

Primer MC4R-RT-R 

840 **AACCCCTACTGC**ACCTGCTTCATGTCCCACCTCAACATGTACCTGATCCTCATCATGTGCAACTCCATCATGATCCCACATC 923
 924 TACGCCCTTCGAGCCAGGAGATGCCGAAAACCTCAAGGAGTTTCTGTGCTGCTGCAGCCCTCCTGTGCGTCTGAGTTGT 1007
 1008 GTTTGAGTAATTAAACCCGCGGGTCACACTGTACTATTAAAGTGAACCTGGTCAACAGGGAGTTTCAGAACTCTCATC 1091
 1092 GTGGACAGATGTGGTTCTGTGTGCTCCCTGCTGGCTGAAAACCTTAATGATGTAGGCGCCTGCCCTGGGTTTGAAAG 1175
 1176 ACCTAGTTGTGATCACCGTGTATCACAGAGCATCACCGTGGAGACCGAACCGCAGCTTTGTTCAAGTGAAGCTTGTGAA 1259
 1260 ATGCAACTTAAGTAAATGTCGCCAGTAAAAAAAAAAAAAA 1311

**ภาพที่ 3.5 การออกแบบไพร์เมอร์จากลำดับนิวคลีโอไฮด์ของ cDNA เส้นสมบูรณ์ขึ้น *TpMC4R* ซึ่ง
ลำดับนิวคลีโอไฮด์ที่เป็นตัวอักษรหนาและขีดเส้นใต้คือ ไพรเมอร์ที่มีชิ้นส่วนขนาด
289 bp**

```

1      ACTACCTCATCAAGATCCTGACAGAGCGTGGCTACTCTTCACCACAGCCGAGAGGAAATCGCGTGACATCAAGGAGA  84
85     AGCTGTGCTACGTCGCCCTGGACTTCGAGCAGGAGATGGGACTGCAGCCTCCTCTCTGGAGAAGAGCTATGAGCTGC  168
169     CCGACGGACAGTCATCACCAI TGCTTAATGAGAGTTCCGTTGCCAGAGGCCCTCTCCAGCCTCTTGGTATGGAGT  252
253     CCTGCGGAATCCA TGAGACCCACCTACAATAGTATATGAAGTGGCACGTTGACATCCGTAAGGACCTGTACGCCAACACCGTGC  336
337     TGTCTGGTGGTACCAACATGTACCCCGCATGCCGACAGGATGCGAGAAGGAGATCACAGCCCTGGCCCCATCCACCATGAAGA  420
421     TCAAGATCATTGCCAACCTGAGCGTAAATACTCTGCTGGATTGGAGGCTCATCTGGCCTCCCTGTCCACCTTCCAGCAGA  504
505     TGTTGGATCAGCAAGCAGGAGTACGATGAGTCGGCCCTCCATTGTCACCGCAAATGCTCTAAACGGACTGTTCCCTCTCCC  588
589     TTCTCCCCAACCAACACCCAAACACTTCAGCTGTCAACGACCAACACATTTATCATACACACTCGGGCAGAGCCTA  672
673     GATGACCAACTCATGGCATGGCTTCAGTTATTTGGCGCTTACTGAGGATTTAAAAAAACTGGAACGATGAAGGATACAGT  756
756     AATGTTTTGGCTAGGTATAAGATTCTGACCTGGGGTCTTAAACATTGTTGAGTATGCTGTATGTAATTATGTGTTGGTTTTGTA  840
841     GAGTCATTCCAATGTTTACTGCAATTGTCAGACACATGATTCCAATGTTAACCTGCTTGTATGCTGTATGTAATTATGTGTTGGTTTTGTA  924
924     CTGTGAAGGCTCCCACTGGTTGGCGCATACTTAAACATTGTTGAGTATGCTGTATGTAATTATGTGTTGGTTTTGTA  1008
1009    CTTTCAGCCTTAAAAATCTGGCTCTGTTAAATTTTTTTTGTTATGCAAAACCCAATTGTGACCTCTCCCTCCCCCT  1092
1093    GTTCAACCTGGGCAGTGGGGAAAAGGGGTCTCAAGTGAAGGGTAAACAAGGGGTGCCAGACCGGTGGGCCAACCTGTACAC  1176
1177    TGAATGAAACAATCCCAATAAGTCACATGTGTTCCAATAAAAAAAAAAAAAAAAAAAAAAAAAAAAAAA  1224

```

**ภาพที่ 3.6 การออกแบบไพร์เมอร์จากลำดับนิวคลีโอไทด์ของ cDNA ขีน β -actin ด้านปลาย 3', ซึ่ง
ลำดับนิวคลีโอไทด์ที่เป็นตัวอักษรหนาและปิดเส้นได้คือไพรเมอร์ที่มีชีนดีอีนขนาด 95 bp**



Reverse transcription PCR (RT-PCR)

ในการศึกษาครั้งนี้ใช้ β -actin เป็นขึ้นอ้างอิง (internal reference) เพื่อเป็นตัวมาตรฐานในการวิเคราะห์เปลี่ยนเทียบการแสดงออกของยีน *TpMC4R* ในตัวอ่อนระยะต่างๆ ของปลาสลิด จากนั้นทำ PCR โดยใช้ไพรเมอร์ที่ได้ออกแบบในขั้นตอนตามตารางที่ 3.1 มาใช้ในการทำ RT-PCR ซึ่งใช้ไพรเมอร์ 2 คู่ คือ MC4R-RT-F คู่ MC4R-RT-R สำหรับยีน *MC4R* และ Actin-RT-F คู่ Actin-RT-R สำหรับยีน β -actin ทำการเตรียมสารละลายผสมสำหรับการทำ PCR ประกอบด้วย 5X GoTaq[®] Flexi Buffer, 25 mM MgCl₂, 1 mM dNTP Mix, 10 μ M primer forward, 10 μ M primer reverse, 5 U/ μ l GoTaq[®] DNA polymerase, DNA template เป็น cDNA ตัวอ่อนระยะต่างๆ ของปลาสลิด และน้ำ DI เพื่อบรรบปริมาณสารละลายทั้งหมดทั้งหมด 10 μ l โดยมีสภาวะการเพิ่มจำนวนของดีเอ็นเอในครื่อง PCR (PCR condition) ดังนี้ 95°C เป็นเวลา 3 นาที จำนวน 1 รอบ ต่อมา 95°C เป็นเวลา 20 วินาที, 60°C เป็นเวลา 20 วินาที และ 72°C เป็นเวลา 20 วินาที ติดต่อกันจำนวน 40 รอบ และเข้าสู่ 72°C เป็นเวลา 3 นาที จำนวน 1 รอบ หลังจากนั้นนำ PCR product ที่ได้ไปตรวจสอบขนาดดีเอ็นเอด้วย Agarose gel electrophoresis

3.4.3 การวิเคราะห์ระดับการแสดงออกของ mRNA ของยีน *TpMC4R* ในอวัยวะต่างๆ

ของปลาสลิด ด้วยวิธี Real time reverse transcription PCR (Real time RT-PCR)

3.4.3.1 การเก็บตัวอย่างเนื้อเยื่อต่างๆ

นำปลาสลิดที่มีสุขภาพดีจากที่พักเลี้ยงในบ่อปูนซีเมนต์ โดยเป็นปลาสลิดที่ได้เติบโต ซึ่งมีน้ำหนักประมาณ 60 กรัม จำนวน 4 ตัว มาทำการวางแผนเดียว 300 ppm 2-Phenoxy ethanol และทำการเก็บเนื้อเยื่อของอวัยวะ ได้แก่ สมอง 4 ส่วน (สมองส่วน telencephalon, ส่วน mesencephalon, ส่วน metencephalon และส่วน diencephalon รวมถึง pituitary gland), เหงือก (gill), ตับ (liver), ไตส่วนบน (head kidney), ไตส่วนล่าง (trunk kidney), กระเพาะอาหาร (stomach), ลำไส้ (intestine), น้ำม (spleen), กล้ามเนื้อ (muscle), รังไข่ (ovary) และอณฑะ (testis) จากนั้นนำไปสกัด total RNA และนำไปวัดความเข้มข้นเพื่อนำไปสังเคราะห์ first stand cDNA

3.4.3.2 การสังเคราะห์ First stand cDNA ของยีน *TpMC4R* ในอวัยวะต่างๆ

นำ total RNA ของอวัยวะต่างๆ ในปลาสลิดที่ได้ส่วนหนึ่งไปวัดความเข้มข้นของ RNA ที่ค่าการคูณก้อนแสง 260 นาโนเมตร (nm) หลังจากนั้นทำการสังเคราะห์ first strand cDNA จาก total RNA โดยใช้ First Strand cDNA Synthesis Kit (GE healthcare) ซึ่งมีการเตรียมสารละลายสำหรับปฏิกิริยาในปริมาตร 10 μ l ซึ่งประกอบด้วย total RNA ให้มีความเข้มข้น 1-5 μ g/ μ l

และใช้ DEPC water ในการปรับปริมาตร ผสมเบาๆ หลังจากนั้นนำไปตั้งท่อร่องคุณอุณหภูมิแบบแห้งที่อุณหภูมิ 65°C เป็นเวลา 10 นาที หลังจากนั้นนำหลอดไปตั้งในน้ำแข็งเป็นเวลา 5 นาที และนำไปปั่นให้เข้ากันและทำการปั่นแห้งที่ความเร็วรอบ 5000 rpm ที่อุณหภูมิ 4°C เป็นเวลา 1 นาที ในระหว่างรอเวลาจึงทำการเตรียมสารละลายน้ำ (master mix) ที่มีปริมาตร 7 μl ซึ่งประกอบด้วย 5X Bulk 1st cDNA reaction mix, 200 mM DTT และ 0.5 μg/3 μl Oligo d (T) ทำการผสมสารละลายน้ำหลอดไม่โคล เช่นทริฟิวจ์ให้เข้ากันและทำการปั่นแห้งที่ความเร็วรอบ 5000 rpm ที่อุณหภูมิ 4°C เป็นเวลา 1 นาที หลังจากนั้นดูดสาร total RNA ที่มีความเข้มข้น 1-5 μg/μl ที่เตรียมไว้มา 8 μl ใส่ลงในหลอดไม่โคล เช่นทริฟิวจ์หลอดใหม่ และดูดสาร master mix ด้วยไม่โคลปีปเดตต์มา 7 μl ใส่ลงในหลอดด้วยเช่นกัน ทำการผสมสารละลายน้ำหลอดไม่โคลเช่นทริฟิวจ์ให้เข้ากัน หลังจากนั้นนำหลอดไปตั้งที่อุณหภูมิ 37°C เป็นเวลา 1.5 ชั่วโมง และเก็บตัวอย่าง cDNA ไว้ที่อุณหภูมิ -20°C

3.4.3.3 Real time reverse transcription PCR (Real time RT-PCR)

ในการศึกษาครั้งนี้ใช้ β -actin เป็นยีนอ้างอิง (internal reference) เพื่อเป็นตัวมาตรฐานในการวิเคราะห์เบริญเทียบการแสดงออกของ mRNA ของยีน *TpMC4R* ในอวัยวะต่างๆ ซึ่งมีการเตรียมดีเอ็นเอมาตรฐาน โดยใช้พลาสมิดที่มีชิ้นส่วนดีเอ็นเอ *TpMC4R* ด้านปลาย 3' (p3-TpMC4R) และพลาสมิดที่มีชิ้นส่วนดีเอ็นเอ β -actin ด้านปลาย 3' ของปลาสลิด (p-Actin) ที่ทราบความเข้มข้นที่แน่นอน ในการทำ real time RT-PCR มีการใช้ไฟเรเมอร์ 2 คู่ คือ MC4R-RT-F คู่ MC4R-RT-R สำหรับยีน *MC4R* และ Actin-RT-F คู่ Actin-RT-R สำหรับยีน β -actin (ดังตารางที่ 3.1) ซึ่งมีการใช้สารละลายน้ำ LightCycler® 480 SYBR Green I Master (Roche Applied Science, Indianapolis, IN) โดยทำการเตรียมสารละลายน้ำสำหรับการทำ real time RT-PCR ประกอบด้วย 2X LightCycler® 480 SYBR Green I Master, 5 μM primer forward, 5 μM primer reverse (สำหรับปฏิกิริยาของ *MC4R* ความเข้มข้นสุดท้ายของ primer เท่ากับ 0.1 μM และสำหรับปฏิกิริยาของ actin ความเข้มข้นสุดท้ายของ primer เท่ากับ 0.15 μM), DNA template 1 μl และน้ำ DI เพื่อปรับปริมาตรสารละลายน้ำทั้งหมดเท่ากับ 10 μl โดยมีสภาวะการเพิ่มจำนวนของดีเอ็นเอ (PCR condition) ได้แก่ predenature คือ 95°C เป็นเวลา 10 นาที จำนวน 1 รอบ ต่อมาเข้าสู่กระบวนการ amplification คือ 95°C เป็นเวลา 15 วินาที, 60°C เป็นเวลา 15 วินาที และ 72°C เป็นเวลา 20 วินาที ติดต่อกันจำนวน 50 รอบ และเข้าสู่กระบวนการ melting คือ 95°C เป็นเวลา 5 วินาที, 60°C เป็นเวลา 10 วินาที และ 95°C เป็นเวลา 0 วินาที จำนวน 1 รอบ และขั้นสุดท้าย cool คือ 40°C เป็นเวลา 30 นาที จำนวน 1 รอบ หลังจากนั้นทำการบันทึกข้อมูลเพื่อนำไปวิเคราะห์การแสดงออกของยีน *TpMC4R* ในอวัยวะต่างๆ โดยทำการวิเคราะห์ Melting curve ของ PCR products ซึ่งคำนวณ melting temperature (Tm) มาจำแนก specific

PCR และ non-specific PCR product ออกจากกัน เพื่อยืนยันว่าเป็น product ที่ต้องการ (ดังแสดงในภาคผนวก) หลังจากนั้นทำการเบรี่ยมเทียบค่า Cycle threshold method (CT method) ซึ่งค่า CT คือจำนวน cycle ที่แสดงฟลูออเรสเซนต์ส่องผ่านที่ค่าเริ่มต้น (threshold value) ซึ่งสามารถทราบการแสดงออกของ mRNA ของยีน *TpMC4R* ในอวัยวะต่าง ๆ ได้จากการคำนวณ copy ของดีเอ็นเอมาตรฐานจากการสร้างกราฟมาตรฐาน (External standard) โดยใช้ดีเอ็นเอมาตรฐานที่ได้จากการเตรียม p3-TpMC4R และ p-Actin ซึ่งจะสามารถทำให้ทราบจำนวน copy ของทั้ง mRNA ของยีน *TpMC4R* และ mRNA ของยีน β -actin ได้ หลังจากนั้นทำการแปลงข้อมูลให้อยู่ในรูป log 10 และทำการ Normalization ซึ่งเป็นการเทียบ target template กับ reference gene ในระบบ ซึ่งจะเรียกว่าเป็น Internal control โดยทั่วไปจะใช้ housekeeping gene ที่มีมากและสม่ำเสมอ

$$\text{Normalized mRNA ของยีน } TpMC4R/\text{mRNA ของยีน } \beta\text{-actin} = \frac{\log 10 \text{ mRNA ของยีน } TpMC4R}{\log 10 \text{ mRNA ของยีน } \beta\text{-actin}}$$

หลังจากนั้นนำ PCR product ที่ได้ไปตรวจสอบขนาดดีเอ็นเอด้วย Agarose gel electrophoresis เพื่อเป็นการยืนยันขนาดของดีเอ็นเอที่ได้จากการทำ real time RT-PCR

3.4.3.4 การวิเคราะห์ข้อมูลในทางสถิติ

นำข้อมูลที่ได้จากการวิเคราะห์ในหัวข้อ มาทำการวิเคราะห์สถิติโดยใช้โปรแกรม SPSS version 10 (SPSS Inc., Chicago, IL) ซึ่งวิเคราะห์ค่าความแปรปรวนของข้อมูลแบบ one way ANOVA และวิเคราะห์ความแตกต่างระหว่างกลุ่มด้วยวิธี Duncan's multiple range test และมีค่าแตกต่างกันทางสถิติที่ระดับนัยสำคัญ $P < 0.05$ ($P < 0.05$)

3.5 แผนการดำเนินงานที่ 2 การศึกษาระดับการแสดงออกของ mRNA ของยีน *TpMC4R* ในระหว่างมื้ออาหารของการกินอาหารปกติ และผลของการอุดอาหารระยะสั้นต่อการแสดงออกของ mRNA ของยีน *TpMC4R*

3.5.1 การศึกษาระดับการแสดงออกของ mRNA ของยีน *TpMC4R* ในระหว่างมื้ออาหาร (Daily feeding) ของการกินอาหารปกติ

3.5.1.1 การเตรียมปลาสติดสำหรับทดลอง

นำปลาสติดที่มีสุขภาพที่ดีจากที่พักเลี้ยงในบ่อปูนซีเมนต์ ซึ่งปลาสติดมีน้ำหนักประมาณ 60-65 กรัม ทำการสุ่มน้ำหนักและขยับปลาสติดลงตู้สำหรับเลี้ยงปลาที่มีขนาด 60x30x45 ลูกบาศก์เซนติเมตร ตู้ละ 10 ตัว จำนวน 21 ตู้ โดยในการเลี้ยงปลา มีการให้ออกซิเจนตลอดเวลาควบคุมอุณหภูมิให้อยู่ในช่วง 28°C-29°C และมีการควบคุมช่วงแสง 12 ชั่วโมง และช่วงมื้อ 12 ชั่วโมง (โดยช่วงแสงระหว่าง 8.00-20.00 น.) การให้อาหารปลาสติดให้วันละสองมื้อ โดยมื้อเช้าจะให้เวลา 10.00 น. และมื้อเย็นให้เวลา 16.00 น. ซึ่งในการให้อาหารและการกินอาหารของปลา สติดในแต่ละมื้อใช้เวลาประมาณ 30 นาที อาหารที่ให้ปลาสติดเป็นอาหารสำเร็จรูป (มีโปรตีนประมาณ 40%, ไขมัน 6%) ทำการเลี้ยงในตู้ปลาประมาณ 1 เดือน เพื่อให้ปลาสติดปรับสภาพให้เข้ากับช่วงแสงและการกินอาหารสำเร็จรูป

3.5.1.2 การเก็บตัวอย่างสมองของปลาสติด และการศึกษาระดับการแสดงออกของ mRNA ของยีน *TpMC4R* ในระหว่างมื้ออาหาร (Daily feeding) ของการกินอาหารปกติ

เนื่องจากปลาสติดถูกฝึกให้กินอาหารวันละ 2 มื้อ คือในมื้อเช้าเวลา 10.00 น. และมื้อเย็นเวลา 16.00 น. ดังนั้นจึงทำการศึกษาปริมาณการแสดงออกของ mRNA ของยีน *TpMC4R* ในระหว่างมื้ออาหารของปลาสติด โดยเก็บตัวอย่างสมองของปลาสติดก่อนอาหารมื้อเช้า 1 ชั่วโมง (9.00 น.) หลังมื้ออาหาร 1 ชั่วโมง (11.00 น.), หลังมื้ออาหาร 3 ชั่วโมง (13.00 น.) และก่อนอาหารมื้อเย็น 1 ชั่วโมง (15.00 น.) ซึ่งนำปลาสติดจากตู้ปลาที่เตรียมไว้จำนวน 5 ตัวต่อการเก็บหนึ่งช่วงเวลา มาทำการวางยาสลบด้วย 300 ppm 2-Phenoxy ethanol และทำการเก็บเนื้อเยื่อสมอง 4 ส่วน ประกอบด้วยสมองส่วน telencephalon, ส่วน mesencephalon, ส่วน metencephalon และส่วน diencephalon หลังจากนั้นนำไปปั๊ก total RNA วัดความเข้มข้นเพื่อนำไปสังเคราะห์ first stand cDNA โดยใช้ ImProm-II™ Reverse Transcription system kit และนำไปหาปริมาณการแสดงออกของ mRNA ของยีน *TpMC4R* ด้วยเทคนิค real time RT-PCR เช่นเดียวกับการศึกษาระดับการแสดงออกของ mRNA ของยีน *TpMC4R* ในอวัยวะต่าง ๆ ของปลาสติด

3.5.2 การศึกษาระดับการแสดงออกของ mRNA ของยีน *TpMC4R* ในสภาวะการอดอาหาร (Fasting period)

ทำการศึกษาระดับการแสดงออกของ mRNA ของยีน *TpMC4R* ในสภาวะการอดอาหารของปลาสลิด โดยเก็บตัวอย่างหลังจากมีการอดอาหาร 6, 12, 18 และ 24 ชั่วโมง ซึ่งนำไปสู่การลดลงของ mRNA ของยีน *TpMC4R* ประมาณ 20% หลังจากอดอาหาร 24 ชั่วโมง แสดงถึงความสำคัญของยีนนี้ในกระบวนการควบคุมการอดอาหารของปลาสลิด

3.6 แผนการดำเนินงานที่ 3 การศึกษาผลของ MC4R antagonist ต่ออัตราการกินได้ของปลาสลิด และผลของ MC4R antagonist ต่อการแสดงออกของ mRNA ของยีน *TpMC4R*

3.6.1 การศึกษาผลของ MC4R antagonist ต่ออัตราการกินได้ของปลาสลิด

3.6.1.1 การเตรียมปลาสลิดสำหรับทดลอง

นำปลาสลิดที่มีสุขภาพดีจากที่พักเลี้ยงในบ่อปูนซีเมนต์ ซึ่งปลาสลิดมีน้ำหนักประมาณ 80-90 กรัม ทำการสุ่มสมูรูปและข้ายปลาสลิดลงตู้สำหรับเลี้ยงปลาที่มีขนาด 60x30x45 ลูกบาศก์เซนติเมตร ตู้ละ 7 ตัว โดยในการเลี้ยงปลา มีการให้ออกซิเจนตลอดเวลาควบคุมอุณหภูมิให้อยู่ในช่วง 28°C-29°C และมีการควบคุมช่วงแสง 12 ชั่วโมง มีค่า 12 ชั่วโมง (โดยช่วงแสงระหว่าง 8.00-20.00 น.) การให้อาหารปลาสลิดให้วันละสองเม็ด โดยเมื่อเข้าจะให้เวลา 10.00 น. และเมื่อยืนให้เวลา 16.00 น. ซึ่งในการให้อาหารและการกินอาหารของปลาสลิดในแต่ละเม็ดใช้เวลาประมาณ 30 นาที อาหารที่ให้ปลาสลิดเป็นอาหารสำเร็จรูป (มีโปรตีนประมาณ 40%, ไขมัน 6%) ทำการเลี้ยงในตู้ปลาประมาณ 1 เดือน เพื่อให้ปลาสลิดปรับสภาพให้เข้ากับช่วงแสงและการกินอาหารสำเร็จรูป

3.6.1.2 การฉีด MC4R antagonist (HS024)

จากการรวมเอกสารรายงานการวิจัยในข้างต้นมีการศึกษาบทบาทการทำหน้าที่ของยีน *MC4R* ต่อการกินได้ในสัตว์ โดยการฉีด MC4R antagonist เข้าในสมอง cerebroventricular (ICV) ซึ่งในการศึกษาการวิจัยในครั้งนี้มีข้อจำกัดในเรื่องของอุปกรณ์และความชำนาญในการฉีดสมองของปลา โดยไม่ทำให้ปลาสลิดมีการเสียชีวิต ดังนั้นผู้ทำการวิจัยจึงใช้วิธีการฉีด MC4R antagonist (HS024) เข้าบริเวณโคน枢紐หลังของปลาสลิด โดยอาศัยหลักการการออกฤทธิ์เช่นเดียวกับการฉีด ICV แต่ใช้วิธีการฉีดที่ปลอดภัยกว่า

กับการฉีดหรือโอมนพสมรระหว่าง Suprefact และ Motiliun M ซึ่งจะทำการฉีด MC4R antagonist (HS024) ในระดับต่าง ๆ ตามกลุ่มการทดลองที่จัดไว้ (โดย HS024 ละลายในน้ำเกลือ 0.9% ที่ความเข้มข้น 5 nmol/ μ l)

3.6.1.3 การศึกษาผลของการฉีด MC4R antagonist (HS024) ต่ออัตราการกินได้ของปลาสลิด

การศึกษาผลของการฉีด MC4R antagonist ต่ออัตราการกินได้ของปลาสลิดจะต้องมีการศึกษาถึงระดับการฉีด MC4R antagonist ที่มีผลต่อการเพิ่มการกินได้ของปลาสลิดเสียก่อน ซึ่งในการหาระดับของ MC4R antagonist (HS024) โดยทำการฉีด HS024 เข้ากล้ามเนื้อบริเวณโคนครีบหลังของปลาสลิดในระดับต่าง ๆ ตามกลุ่มการทดลองที่จัดไว้ โดยในการทดลองหาระดับของ HS024 ในแต่ละครั้งจะมีปลาสลิดในกลุ่มควบคุมที่ไม่มีการฉีดสาร (uninjection) และปลาสลิดที่มีการฉีด 0.9% saline ซึ่งจากการทดสอบสามารถสรุปได้ดังนี้ มีการทดสอบปลาสลิดที่มีการฉีด HS024 ที่ระดับ 0.1, 0.5, 1, 5, 10, 25, 50 และ 100 μ g/kg พบร่วงปลาสลิดที่มีการฉีด HS024 1 μ g/kg มีผลการกินได้มากกว่าการฉีด HS024 ที่ระดับอื่น ๆ และมีการกินได้ที่เพิ่มขึ้นหลังจากเวลาที่มีการฉีดเพิ่มขึ้นด้วยในกลุ่มปลาสลิดที่มีการฉีด HS024 ที่ระดับ 0.1, 0.5, 10, 25, 50 และ 100 μ g/kg มีผลการกินได้ที่น้อยกว่าปลาสลิดที่มีการฉีด 0.9% saline และปลาสลิดในกลุ่มควบคุม ปลาสลิดที่มีการฉีด HS024 ที่ระดับ 0.1 μ g/kg มีการกินได้ที่ต่ำที่สุด เมื่อเปรียบเทียบกับปลาสลิดในกลุ่มการทดลองอื่น ๆ และปลาสลิดที่มีการฉีด HS024 ที่ระดับ 5 μ g/kg มีการกินได้ที่ไม่แตกต่างจากปลาสลิดที่มีการฉีด 0.9% saline และปลาสลิดในกลุ่มควบคุม ดังนั้นจึงทำให้ทราบว่าการฉีด HS024 ในระดับที่สูงกินไปจะมีผลทำให้ปลาสลิดมีการกินได้ที่น้อยลง ดังนั้นผู้วิจัยจึงตัดสินใจเลือกระดับการฉีด MC4R antagonist คือ 1 μ g/kg และ 3 μ g/kg เพื่อศึกษาบทบาทการทำหน้าที่ของ MC4R ต่ออัตราการกินได้ของปลาสลิดโดยมีการแบ่งกลุ่มการทดลองดังนี้

Treatment ที่ 1 ปลาสลิดที่ไม่ได้รับการฉีดน้ำเกลือ และ HS024

Treatment ที่ 2 ฉีด HS024 ที่ระดับ 0 μ g/kg-fish (ฉีดน้ำเกลือ 0.9%)

Treatment ที่ 3 ฉีด HS024 ที่ระดับ 1 μ g/kg-fish

Treatment ที่ 4 ฉีด HS024 ที่ระดับ 3 μ g/kg-fish

การทดลองนี้มีปัจจัยที่เกี่ยวข้องกับการทดลองเพียง 1 ปัจจัย คือ ระดับการใช้ MC4R antagonist (HS024) ซึ่งมีทั้งหมด 4 ระดับ โดยแต่ละระดับการฉีด HS024 ใช้หน่วยทดลอง 9 ชิ้น ทำการสุ่มปลาลงในตู้ปลาขนาด 60x30x45 ลูกบาศก์เซนติเมตร ตู้ละ 7 ตัว มีการวางแผนการทดลองแบบสุ่มสมบูรณ์ (Completely Randomized Design, CRD) และทำการเก็บข้อมูลการกินได้ของปลาสลิด

การกินได้ = น้ำหนักอาหารเริ่มต้น – น้ำหนักอาหารที่เหลือ

3.6.1.4 การวิเคราะห์ข้อมูลในทางสถิติ

ทำการวิเคราะห์ข้อมูลในทางสถิติโดยใช้โปรแกรม SPSS version 10 ซึ่งวิเคราะห์ค่าความแปรปรวนของข้อมูลแบบ one way ANOVA และวิเคราะห์ความแตกต่างระหว่างกลุ่มด้วยวิธี Duncan's multiple range test และมีค่าแตกต่างกันทางสถิติที่ระดับนัยสำคัญ $P < 0.05$ ($P < 0.05$)

3.6.2 การศึกษาผลของการใช้ MC4R antagonist ต่อการแสดงออกของ mRNA ของยีน *TpMC4R*

3.6.2.1 การศึกษาผลของการฉีด MC4R antagonist (HS024) ต่อการแสดงออก mRNA ของยีน *TpMC4R*

ทำการศึกษาผลของการฉีด MC4R antagonist (HS024) ดังนี้

Treatment ที่ 1 ปลาสลิดที่ไม่ได้รับการฉีดน้ำเกลือ และ HS024

Treatment ที่ 2 ฉีด HS024 ที่ระดับ 0 $\mu\text{g}/\text{kg-fish}$ (ฉีดน้ำเกลือ 0.9%)

Treatment ที่ 3 ฉีด HS024 ที่ระดับ 1 $\mu\text{g}/\text{kg-fish}$

Treatment ที่ 4 ฉีด HS024 ที่ระดับ 3 $\mu\text{g}/\text{kg-fish}$

การทดลองนี้มีปัจจัยที่เกี่ยวข้องกับการทดลองเพียง 1 ปัจจัย คือ ระดับการใช้ MC4R antagonist (HS024) ซึ่งมีทั้งหมด 4 ระดับ โดยแต่ละระดับการฉีด HS024 ใช้น้ำยาทดลอง 6 ข้า ทำการสูมปลาลงในถุงปลาขนาด 30x60x45 ลูกบาศก์เซนติเมตร ถุงละ 10 ตัว การให้อาหารปลาสลิดให้วันละสองมื้อ โดยมีช่วงเวลา 10.00 น. และมีเย็นให้เวลา 16.00 น. ซึ่งในการให้อาหารและการกินอาหารของปลาสลิดในแต่ละมื้อใช้เวลาประมาณ 30 นาที อาหารที่ให้ปลาสลิดเป็นอาหารสำเร็จรูป (มีโปรตีนประมาณ 40%, ไขมัน 6%) ทำการเลี้ยงในถุงปลาประมาณ 1 เดือน เพื่อให้ปลาสลิดปรับสภาพให้เข้ากับช่วงแสงและการกินอาหารสำเร็จรูป

การฉีด MC4R antagonist (HS024)

ทำการฉีด HS024 บริเวณโคนครีบหลังของปลาสลิด ในระดับต่าง ๆ ตามกลุ่ม การทดลองที่จัดไว้ (โดย HS024 ละลายในน้ำเกลือ 0.9% ที่ความเข้มข้น 5 nmol/ μl) หลังจากการฉีด HS024 เป็นเวลา 4, 8 และ 12 ชั่วโมง ทำการเก็บสมองของปลาสลิดในแต่ละช่วงเวลาเนื่องจากสมองเป็นบริเวณที่มีการแสดงออกของยีน *TpMC4R* หากที่สุด นำปลาสลิดจากถุงปลาที่เตรียมไว้จำนวน 6 ตัว ต่อการเก็บตัวอย่างสมองหนึ่งช่วงเวลา มาทำการวางยาสลบด้วย 300 ppm 2-Phenoxy ethanol และทำการเก็บเนื้อเยื่อสมอง หลังจากนั้นนำไปสกัด total RNA วัดความเข้มข้นเพื่อนำไปสังเคราะห์

first stand cDNA โดยใช้ ImProm-II™ Reverse Transcription system kit และนำไปหาปริมาณการแสดงออกของ mRNA ของยีน *TpMC4R* ด้วยเทคนิค real time RT-PCR เช่นเดียวกับการหาปริมาณการแสดงออกของยีน *TpMC4R* ในอวัยวะต่าง ๆ

3.6.2.2 การศึกษาผลของการแช่ (incubate) สมองในสาร MC4R antagonist (HS024)

ในระดับต่าง ๆ ต่อการแสดงออกของ mRNA ของยีน *TpMC4R*

โดยทดลองระดับความเข้มข้นของ MC4R antagonist (HS024) ดังนี้

Treatment ที่ 1 สมองปลาสลิดที่แช่ใน buffer (Holtfreter's solution)

Treatment ที่ 2 สมองปลาสลิดที่แช่ใน HS024 ที่มีความเข้มข้น 0.1 nmol

Treatment ที่ 3 สมองปลาสลิดที่แช่ใน HS024 ที่มีความเข้มข้น 1 nmol

Treatment ที่ 4 สมองปลาสลิดที่แช่ใน HS024 ที่มีความเข้มข้น 10 nmol

(หมายเหตุ : ระดับความเข้มข้นของ HS024 ถูกจัดไว้จาก Holtfreter's solution buffer)

การทดลองนี้มีปัจจัยที่เกี่ยวข้องกับการทดลองเพียง 1 ปัจจัย คือ ระดับความเข้มข้นของสารละลายที่แช่สมองปลาสลิดมีทั้งหมด 4 ระดับ โดยแต่ละระดับความเข้มข้นของสารละลายใช้หน่วยทดลอง 6 ชั่วโมง ทำการสุ่มปลาลงในตู้ปลาขนาด 30x60x45 ลูกบาศก์เซนติเมตร ตู้ละ 10 ตัว การให้อาหารปลาสลิดให้วันละสองเม็ด โดยมีอัตราจะให้เวลา 10.00 น. และเมื่อเย็นให้เวลา 16.00 น. ซึ่งในการให้อาหารและการกินอาหารของปลาสลิดในแต่ละเม็ดใช้เวลาประมาณ 30 นาที อาหารที่ให้ปลาสลิดเป็นอาหารสำเร็จรูป (มีโปรตีนประมาณ 40%, ไขมัน 6%) ทำการเลี้ยงในตู้ปลาประมาณ 1 เดือน เพื่อให้ปลาสลิดปรับสภาพให้เข้ากับช่วงแสงและการกินอาหารสำเร็จรูป

การเก็บตัวอย่างสมอง

นำปลาสลิดจากตู้ปลาที่เตรียมไว้จำนวน 6 ตัว ต่อการเก็บหนึ่งช่วงเวลา มาทำการวางแผนด้วย 300 ppm 2-Phenoxy ethanol และทำการเก็บเนื้อเยื่อสมอง หลังจากนั้นนำสมองปลาสลิดไปแช่ในสารละลาย Holtfreter's solution และ HS024 ที่ระดับความเข้มข้นต่าง ๆ โดยมีระยะเวลาในการแช่ คือ 2 และ 4 ชั่วโมง เมื่อครบตามช่วงเวลาจึงทำการเก็บสมองของปลาสลิดในแต่ละช่วงเวลา หลังจากนั้นนำไปสักด้วย total RNA วัดความเข้มข้นเพื่อนำไปสังเคราะห์ first stand cDNA โดยใช้ ImProm-II™ Reverse Transcription system kit และนำไปหาปริมาณการแสดงออกของ mRNA ของยีน *TpMC4R* ด้วยเทคนิค real time RT-PCR เช่นเดียวกับการหาปริมาณการแสดงออกของยีน *TpMC4R* ในอวัยวะต่าง ๆ

บทที่ 4

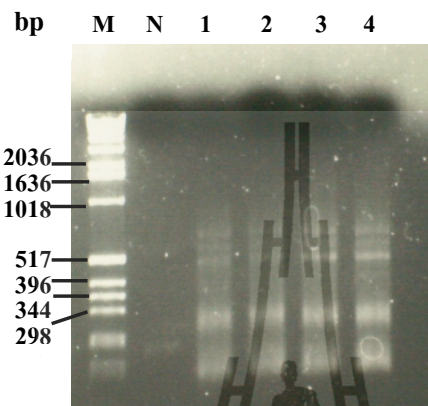
ผลการศึกษา

4.1 แผนการดำเนินงานที่ 1 การโคเลน cDNA เส้นสมบูรณ์ของยีน *TpMC4R* และการศึกษา การแสดงออกของ mRNA ของยีน *TpMC4R* ในระหว่างการพัฒนาการของตัวอ่อน และในอวัยวะต่าง ๆ ของปลาสอดิค

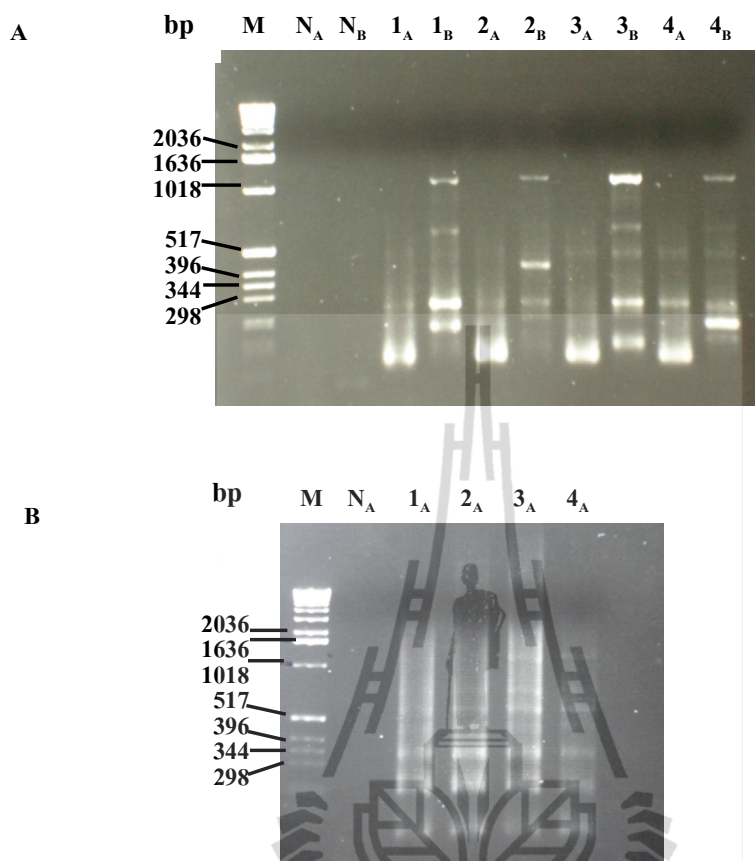
4.1.1 การโคเลน cDNA เส้นสมบูรณ์ ของยีน *TpMC4R* ด้วยวิธี Rapid Amplification of cDNA Ends (RACE) amplification

การโคเลน cDNA ของยีน *TpMC4R* ด้านปลาย 3' จากสมองของปลาสอดิค โดยใช้วิธี nested PCR ในการทำ primary PCR ใช้ primer forward MC4R-F1 คู่กับ primer reverse UPM-L ใน การเพิ่มจำนวนดีเอ็นเอ (amplification) มีขนาดประมาณ 1211 bp ซึ่งยังไม่สามารถเห็นหรือจำแนก ได้ว่าเป็นชิ้นส่วนของดีเอ็นเอที่ต้องการหรือไม่ (ดังภาพที่ 4.1) ดังนั้นจึงทำ second PCR โดยใช้ ผลผลิตดีเอ็นเอจากการทำ primary PCR (PCR product) มาทำการเจือจาง (dilute) ในอัตราส่วน 1 : 50 เท่า ซึ่งในการทำ second PCR มีการแบ่งเป็น 2 ชุด ซึ่งมีใช้ primer 2 คู่ คือ primer forward MC4R-F2 คู่กับ primer reverse NUP มีขนาดประมาณ 1181 bp และ primer forward MC4R-F3 คู่ กับ primer reverse NUP มีขนาดประมาณ 1116 bp ใน การเพิ่มจำนวนดีเอ็นเอ (amplification) พบร่วม ผลของการทำ PCR โดยใช้ primer forward MC4R-F3 คู่กับ primer reverse NUP มีชิ้นส่วนของดี เอ็นเอปรากฏซึ่งมีขนาดใกล้เคียงกับชิ้นดีเอ็นเอที่คาดการณ์ไว้ซึ่งมีขนาดประมาณ 1116 bp ส่วน ผลของการทำ PCR โดยใช้ primer forward MC4R-F2 คู่กับ primer reverse NUP นั้นไม่พบชิ้นส่วน ดีเอ็นเอที่ต้องการ (ดังภาพที่ 4.2A) ดังนั้นจึงทำ PCR โดยใช้ primer forward MC4R-F2 คู่กับ primer reverse NUP ใหม่อีกครั้ง พบร่วมชิ้นส่วนของดีเอ็นเอปรากฏซึ่งมีขนาดประมาณ 1181 bp แต่ ลักษณะของชิ้นส่วนดีเอ็นเอมีลักษณะจะ (ดังภาพที่ 4.2B) ซึ่งอาจเกิดจากความสามารถของ primer forward MC4R-F2 ในการจับกับดีเอ็นเอแบบ (template) และอุณหภูมิ annealing อาจไม่เหมาะสม เนื่องจาก primer forward MC4R-F2 มีค่า Tm เท่ากับ 61°C แต่ในการทำ PCR มีการใช้อุณหภูมิ annealing 55°C ดังนั้นจึงอาจทำให้ความสามารถในการทำงานของ primer forward MC4R-F2 ลดลง หลังจากนั้นนำ PCR product จากการทำ second PCR ของการใช้ primer ทั้งสองคู่มาทำการ ตรวจสอบผลด้วย Agarose gel electrophoresis โดยใช้ 1.5% agarose gel โดยทำการขึ้นด้วย เอทิเดียมไบร์ไมด์ และนำไปส่องด้วยแสงอัตราไฟโอลูเตอร์ภายในเดสก์แล็บ และ

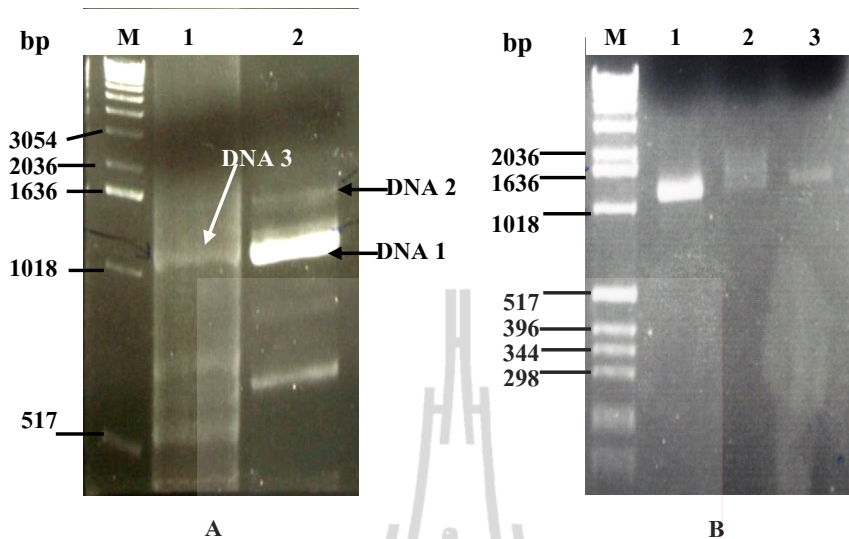
ทำการตัดเจลบิวเวนที่คาดการณ์ว่าเป็นชิ้นส่วนคืออีนเอของ cDNA ของยีน *TpMC4R* ทั้งหมด 3 ชิ้น (ดังภาพที่ 4.3A) หลังจากนั้นทำคีอีนเอให้บริสุทธิ์จากการโross gel ดังแสดงในภาพที่ 4.3B



ภาพที่ 4.1 ผลของ Primary PCR ของการโคลน cDNA ของยีน *TpMC4R* ด้านปลาย 3' ด้วยวิธี RACE หมายเหตุ : M = DNA marker, N= negative control, 1 และ 2 = cDNA ที่ได้จากสมองปลาสลิดตัวที่ 1, 3 และ 4 = cDNA ที่ได้จากสมองปลาสลิดตัวที่ 2



ภาพที่ 4.2 ผลของ Second PCR ของการโคลน cDNA ของยีน *TpMC4R* ด้านปลาย 3' ด้วยวิธี RACE หมายเหตุ : M = DNA marker, A = ทำ PCR โดยใช้ primer forward MC4R-F2 คู่กับ primer reverse NUP (N_A = negative control, 1_A = dilute 1 : 50 เท่าของ PCR product 1 จาก 1st round, 2_A = dilute 1 : 50 เท่าของ PCR product 2 จาก 1st round, 3_A = dilute 1 : 50 เท่าของ PCR product 3 จาก 1st round, 4_A = dilute 1 : 50 เท่าของ PCR product 4 จาก 1st round) และ B = ทำ PCR โดยใช้ primer forward MC4R-F3 คู่กับ primer reverse NUP (N_B = negative control, 1_B = dilute 1 : 50 เท่าของ PCR product 1 จาก 1st round, 2_B = dilute 1 : 50 เท่าของ PCR product 2 จาก 1st round, 3_B = dilute 1 : 50 เท่าของ PCR product 3 จาก 1st round, 4_B = dilute 1 : 50 เท่าของ PCR product 4 จาก 1st round)



ภาพที่ 4.3 ผลการแยกขนาดและการทำให้บริสุทธิ์ของ cDNA ของ second PCR

ภาพ A ผลการแยกขนาดของดีเอ็นเอด้วยอิเล็กโทรฟอริซิสเจลเพื่อทำการตัดเจล

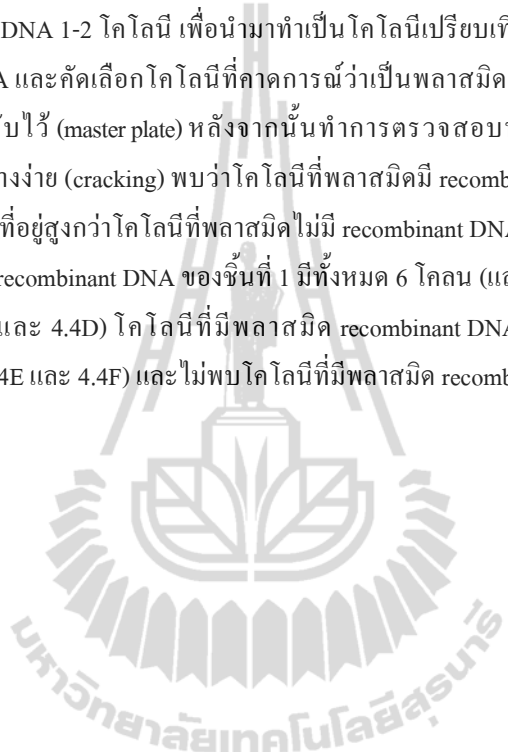
หมายเหตุ : M = DNA marker, หมายเลข 1 = ดีเอ็นเอจาก PCR product 3_A และ 4_A , หมายเลข 2 = ดีเอ็นเอ

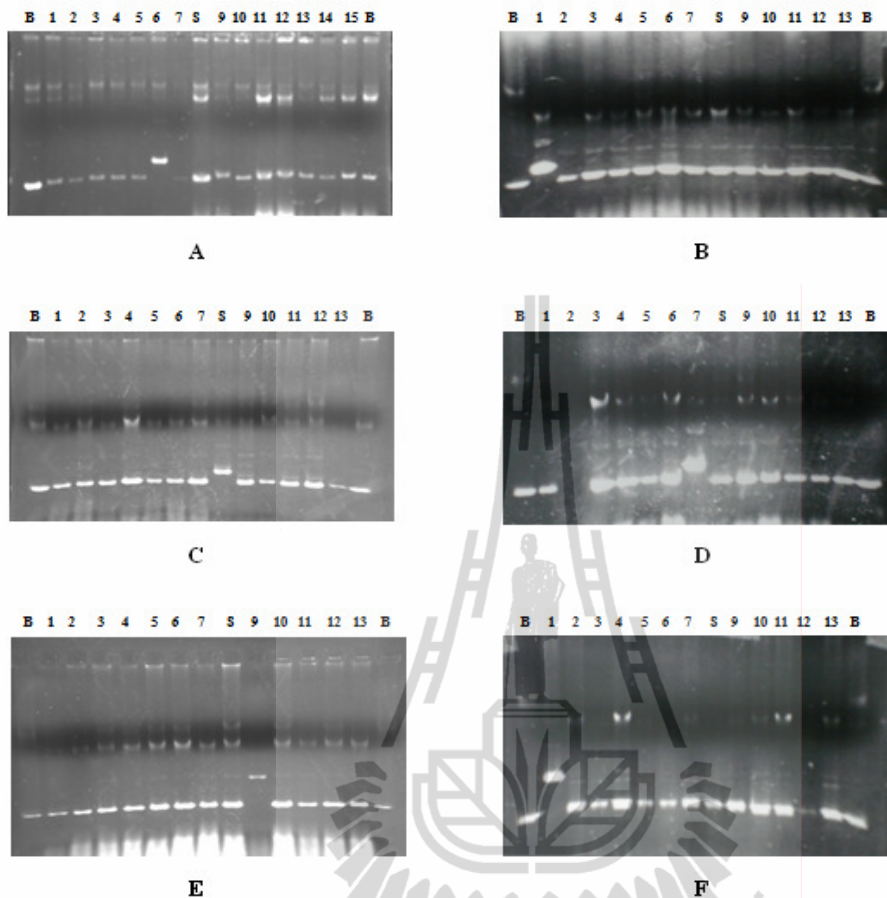
จาก PCR product 3_B

ภาพ B ผลการทำให้ดีเอ็นเอมีความบริสุทธิ์

หมายเหตุ : M = DNA marker, หมายเลข 1 = ดีเอ็นเอชิ้นส่วนที่ 1 (DNA 1), หมายเลข 2 = ดีเอ็นเอชิ้น
ส่วนที่ 2 (DNA 2), หมายเลข 3 = ดีเอ็นเอชิ้นส่วนที่ 3 (DNA 3)

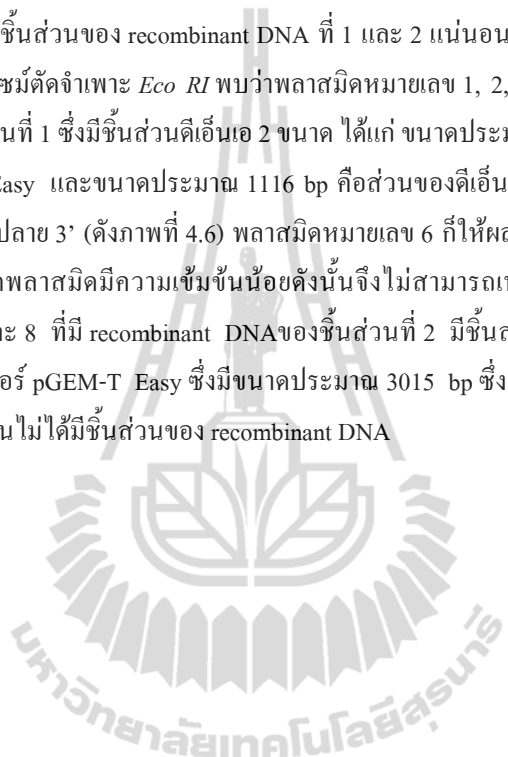
หลังจากนั้นนำชิ้นส่วนดีเอ็นเอที่ถูกทำให้บริสุทธิ์แล้ว มาเชื่อมต่อ (ligation) เข้ากับเวคเตอร์ pGEM-T easy ซึ่งเรียกว่า รีคอมบินантดีเอ็นเอ (recombinant DNA) จากนั้นเคลื่อนย้าย recombinant DNA เข้าสู่ *E. coli* ที่มีคุณสมบัติเป็น competent cell หลังจากนั้นเลี้ยงเชื้อบนอาหารเลี้ยงเชื้อแบบ selective media ซึ่งจะทำให้สามารถคัดโคลนีที่ต้องการได้ ซึ่งโคลนีของเซลล์แบคทีเรียที่ได้รับพลาสมิดที่ไม่มี recombinant DNA จะเป็นโคลนีสีฟ้า ส่วนโคลนีสีขาวแสดงว่าเซลล์แบคทีเรียที่ได้รับพลาสมิดที่มี recombinant DNA และทำการคัดเลือกโคลนีของเชื้อ *E. coli* ที่คาดการณ์ว่ามีพลาสมิดที่ไม่มี recombinant DNA 1-2 โคลนี เพื่อนำมาทำเป็นโคลนีเพรีบูตเทียบกับโคลนีที่พลาสมิดมี recombinant DNA และคัดเลือกโคลนีที่คาดการณ์ว่าเป็นพลาสมิดที่มี recombinant DNA มาทำเป็น plate ต้นฉบับไว (master plate) หลังจากนั้นทำการตรวจสอบหาพลาสมิดที่มี recombinant DNA ด้วยวิธีอย่างจ่าย (cracking) พบว่าโคลนีที่พลาสมิดมี recombinant DNA จะมีชิ้นส่วนของพลาสมิดดีเอ็นเอที่อยู่สูงกว่าโคลนีที่พลาสมิดไม่มี recombinant DNA (ดังภาพที่ 4.4) ซึ่งพบว่าโคลนีที่มีพลาสมิด recombinant DNA ของชิ้นที่ 1 มีทั้งหมด 6 โคลน (แสดงผลบางส่วน) (ดังภาพที่ 4.4A, 4.4B, 4.4C และ 4.4D) โคลนีที่มีพลาสมิด recombinant DNA ของชิ้นที่ 2 มีทั้งหมด 2 โคลน (ดังภาพที่ 4.4E และ 4.4F) และไม่พบโคลนีที่มีพลาสมิด recombinant DNA ของชิ้นที่ 3

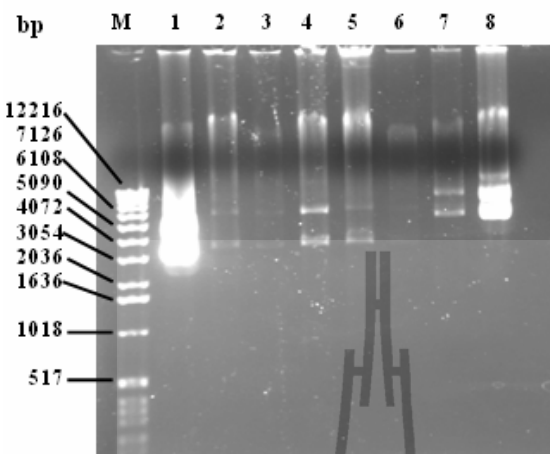




ภาพที่ 4.4 การตรวจสอบโคโลนีที่มีพลาสมิด recombinant DNA ด้วยวิธีอ่ายง่าย (cracking)
ภาพ A, B, C และ D กือ การตรวจสอบโคโลนีที่มีพลาสมิด recombinant DNA ชั้นที่ 1
ภาพ E และ F กือ การตรวจสอบโคโลนีที่มีพลาสมิด recombinant DNA ของชั้นที่ 2
หมายเหตุ : B = โคโลนีสีฟ้า (blue colony), หมายเลข 1 ถึง 15 = โคโลนีสีขาว (white colony)

หลังจากนั้นนำโคลนีของ *E. coli* ที่มีพลาสมิด recombinant DNA ของชิ้นส่วนที่ 1 และ 2 ไปทำการเลี้ยงในอาหารเลี้ยงเชื้อ 2XYT ที่ผสมยาปฏิชีวนะ ampicillin เพื่อเป็นการเพิ่มจำนวนของ *E. coli* ที่มีพลาสมิด recombinant DNA จากนั้นจึงนำไปสักด้วย Agarose gel electrophoresis ซึ่งพบว่าพลาสมิดที่สักดามาได้มีทั้งในส่วนที่เป็นลักษณะสายเป็นเส้น (linear DNA) เป็นชิ้นส่วนเดียวที่อยู่ด้านบน ส่วนชิ้นส่วนเดียวที่อยู่ล่างลงมาเป็นลักษณะเป็นวง (supercoiled DNA) (ดังภาพที่ 4.5) หลังจากนี้เพื่อเป็นการตรวจสอบพลาสมิดอีกครั้งว่าพลาสมิดมีชิ้นส่วนของ recombinant DNA ที่ 1 และ 2 แน่นอนหรือไม่ โดยการตัดพลาสมิดเดียวที่อยู่ด้านบนด้วย Enzyme ตัดจำเพาะ Eco RI พบร่วมกับพลาสมิดหมายเลข 1, 2, 3, 4 และ 5 ที่มี recombinant DNA ของชิ้นส่วนที่ 1 ซึ่งมีชิ้นส่วนเดียวที่ 2 ขนาด ได้แก่ ขนาดประมาณ 3015 bp กือ ส่วนของเวกเตอร์ pGEM-T Easy และขนาดประมาณ 1116 bp กือส่วนของเดียวที่คาดการณ์ว่า น่าจะเป็น ยีน TpMC4R ด้านปลาย 3' (ดังภาพที่ 4.6) พลาสมิดหมายเลข 6 ที่ให้ผลเช่นเดียวกัน แต่เนื่องจากในขั้นตอนการสักดพลาสมิดมีความเข้มข้นน้อยดังนั้นจึงไม่สามารถเห็นผลได้ชัดเจน ส่วนพลาสมิดหมายเลข 7 และ 8 ที่มี recombinant DNA ของชิ้นส่วนที่ 2 มีชิ้นส่วนเดียวที่อยู่เพียงขนาดเดียวกือ ส่วนของเวกเตอร์ pGEM-T Easy ซึ่งมีขนาดประมาณ 3015 bp ซึ่งอาจเป็นไปได้ว่า พลาสมิดหมายเลข 7 และ 8 นั้น ไม่ได้มีชิ้นส่วนของ recombinant DNA





ภาพที่ 4.5 พลาสมิดคีอีนอที่มีชิ้นส่วนของ cDNA ของยีน *TpMC4R* ด้านปลาย 3' ที่มีการเชื่อมต่อเวกเตอร์ หมายเหตุ : M = DNA marker, หมายเลข 1 ถึง 6 = พลาสมิดที่มีชิ้นส่วนของ recombinant DNA ที่ 1 และหมายเลข 7 และ 8 = พลาสมิดที่มีชิ้นส่วนของ recombinant DNA ที่ 2



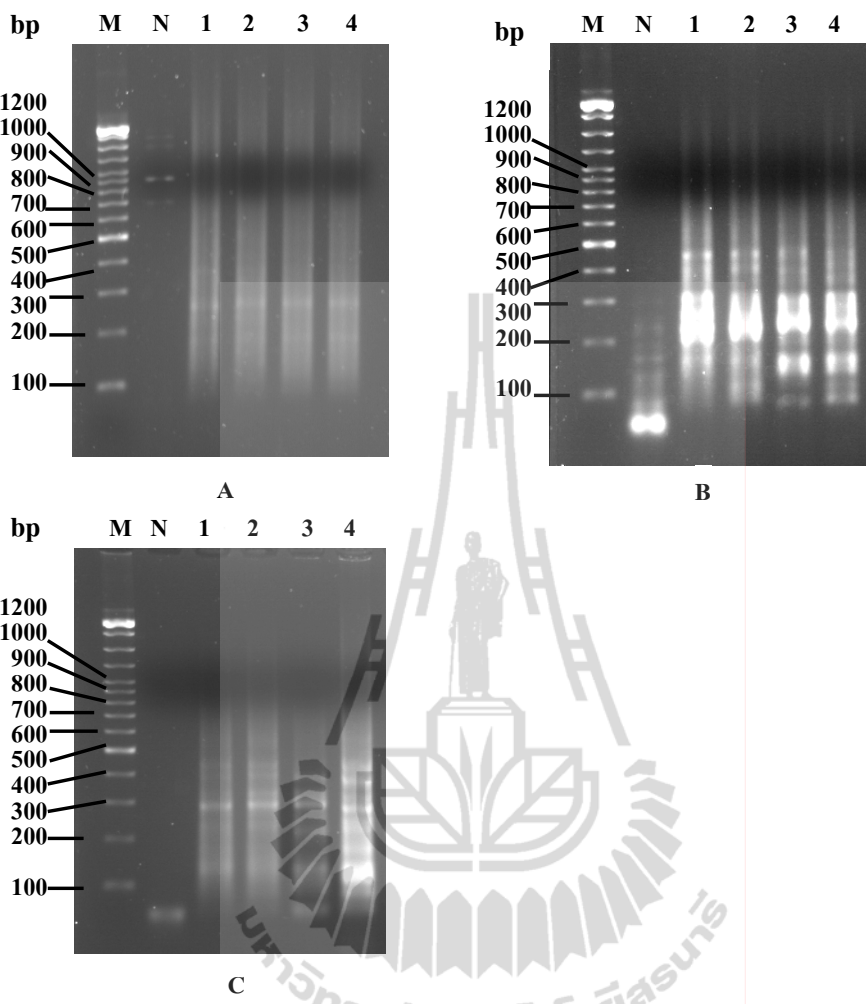
ภาพที่ 4.6 การตรวจสอบการเชื่อมต่อของพลาสมิดที่มี cDNA ของยีน *TpMC4R* โดยการตัดพลาสมิด ด้วยอีนไซม์ตัดจำพวก *Eco RI*
หมายเหตุ : M = DNA marker, หมายเลข 1 ถึง 6 = พลาสมิดที่มีชิ้นส่วนของ recombinant DNA ที่ 1 และหมายเลข 7 และ 8 = พลาสมิดที่มีชิ้นส่วนของ recombinant DNA ที่ 2

เมื่อทำการวัดความเข้มข้นของพลาสมิดแล้ว จึงทำการส่งตัวอย่างเพื่อวิเคราะห์ลำดับนิวคลีโอไทด์ทั้งหมด ซึ่งพบว่ามีเพียงพลาสมิด 3 ตัวอย่างเท่านั้นที่มีชิ้นส่วนของ recombinant DNA ที่สมบูรณ์ ส่วนในพลาสมิดที่ 3, 5 และ 6 นั้นไม่สามารถทราบผลที่แน่นอนเนื่องจากไม่สามารถวิเคราะห์ผลได้ซึ่งอาจหมายถึงว่าตัวอย่างพลาสมิดดังกล่าวอาจมีการปนเปื้อนหรือมีความบริสุทธิ์น้อยมากจนไม่สามารถวิเคราะห์นิวคลีโอไทด์ได้ พลาสมิดที่ 7 และ 8 เป็นพลาสมิดที่มีชิ้นส่วนของขีนอื่น ๆ หลังจากนั้นจึงทำการเบรียบเทียบลำดับนิวคลีโอไทด์ของพลาสมิดในแต่ละโคลนโดยขั้นแรกเบรียบทียะระหว่างนิวคลีโอไทด์ที่มีการอ่านจากด้าน T7 promotor ไปยังด้าน SP6 promotor และด้าน SP6 promotor ไปยังด้าน T7 promotor โดยด้านนี้จะต้องมีการทำเป็น complementary ก่อนหลังจากนั้นจึงเบรียบทียานความเหมือน (homology) ระหว่างทั้งสองด้าน เมื่อเบรียบทียบในแต่ละโคลนแล้ว จึงนำลำดับนิวคลีโอไทด์และทำการแปลงลำดับนิวคลีโอไทด์ไปเป็นลำดับกรดอะมิโน (ดังภาพที่ 4.7) และเมื่อสามารถสรุปลำดับนิวคลีโอไทด์และลำดับกรดอะมิโน จึงทำการเบรียบเทียบลำดับนิวคลีโอไทด์และกรดอะมิโนของยีน MC4R ปลาและสัตว์มีกระดูกสันหลังชนิดต่าง ๆ เพื่อเป็นการยืนยันว่าลำดับนิวคลีโอไทด์และการกรดอะมิโนเป็นยีน *TpMC4R* ด้านปลาย 3'



ภาพที่ 4.7 ผลการแปลงลำดับนิวคลีโอไทด์ไปเป็นลำดับกรดอะมิโนของ cDNA ของยีน *TpMC4R*
ด้านปลาย 3'

ในการโคลน cDNA ของยีน *TpMC4R* ด้านปลาย 5' จากสมองของปลาสกิด ต้องมีการออกแบบไพรเมอร์จากลำดับนิวคลีโอไทด์ cDNA ของยีน *TpMC4R* ด้านปลาย 3' หลังจากนั้นจึงทำการโคลน cDNA ของยีน *TpMC4R* ด้านปลาย 5' จาก first strand cDNA 5' RACE ด้วยเทคนิค nested PCR ในการทำ primary PCR ใช้ primer forward UPM-L คู่กับ primer reverse MC4R-R1 ใน การเพิ่มจำนวนคีอีนเอ (amplification) มีขนาดประมาณ 718 bp ซึ่งยังไม่สามารถจำแนกได้ว่าเป็นชิ้นส่วนของคีอีนเอที่ต้องการหรือไม่เนื่องจากคีอีนเอมีลักษณะเสมาร์ (smear) (ดังภาพที่ 4.8A) ดังนั้นจึงทำ second PCR โดยใช้ PCR product จากการทำ primary PCR มาทำการ dilute ใน อัตราส่วน 1 : 50 เท่า และใช้ primer forward UPM-S คู่กับ primer reverse MC4R-R2 มีขนาดประมาณ 557 bp ซึ่งยังไม่สามารถเห็นหรือจำแนกได้ว่าเป็นชิ้นส่วนของคีอีนเอที่ต้องการหรือไม่ (ดังภาพที่ 4.8B) ดังนั้นจึงทำ third PCR โดยใช้ PCR product จากการทำ second PCR มาทำการ dilute ในอัตราส่วน 1 : 50 เท่า และใช้ primer forward NUP คู่กับ primer reverse MC4R-R3 มีขนาดประมาณ 394 bp หลังจากการทำ PCR พบร้า PCR product มีชิ้นส่วนคีอีนเอที่เกิดคีอีนเอที่คาดการณ์ไว้ 2 ชิ้นส่วน ซึ่งมีขนาดประมาณ 400 bp และ 450 bp (ดังภาพที่ 4.8C) ดังนั้นจึงนำ PCR product มาโหลดลงในหลุมเจล (well) หลังจากนั้นทำการแยกขนาดของคีอีนเอตามที่คาดการณ์ไว้ด้วย Agarose gel electrophoresis โดยใช้ 2% agarose gel ทำการตรวจสอดคล้องด้วย Agarose gel electrophoresis โดยต่อตัวข้อเสียงอัลตราไวโอลูตภายในเครื่องสำอางค์เพื่อแสดงอัลตราไวโอลูต หลังจากที่ตรวจดูขนาดของคีอีนเอแล้วจึงทำการตัดเจลบริเวณที่คาดการณ์ไว้เป็นชิ้นส่วนคีอีนเอของ cDNA ของยีน *TpMC4R* ทั้งหมด 2 ชิ้น (ดังภาพที่ 4.9A) หลังจากนั้นทำคีอีนเอให้บริสุทธิ์จากกระบวนการกรองเจล ดังแสดงในภาพที่ 4.9B



ภาพที่ 4.8 การโคลน cDNA ของยีน *TpMC4R* ด้านปลาย 5' ด้วยวิธี RACE

ภาพ A ผลของ Primary PCR ของการโคลน cDNA ของยีน *TpMC4R* ด้านปลาย 5' โดยใช้ primer forward UPM-L คู่กับ primer reverse MC4R-R1

หมายเหตุ : M = DNA marker, N= negative control, 1 และ 2 = cDNA ที่ได้จากสมองปลา สลิดตัวที่ 1, 3 และ 4 = cDNA ที่ได้จากสมองปลาสลิดตัวที่ 2

ภาพ B ผลของ Second PCR ของการโคลน cDNA ของยีน *TpMC4R* ด้านปลาย 5' โดยใช้ primer UPM-S คู่กับ primer MC4R-R2

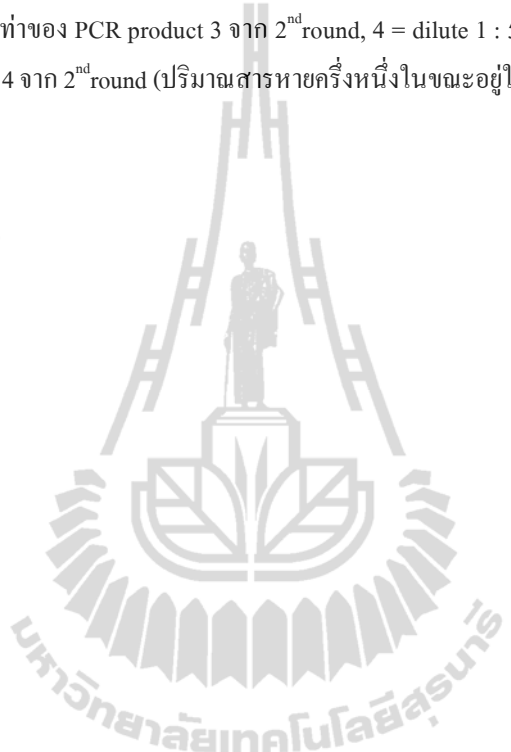
หมายเหตุ : M = DNA marker, N = negative control, 1 = dilute 1 : 50 เท่าของ PCR product 1 จาก 1st round, 2 = dilute 1 : 50 เท่าของ PCR product 2 จาก 1st round, 3 =

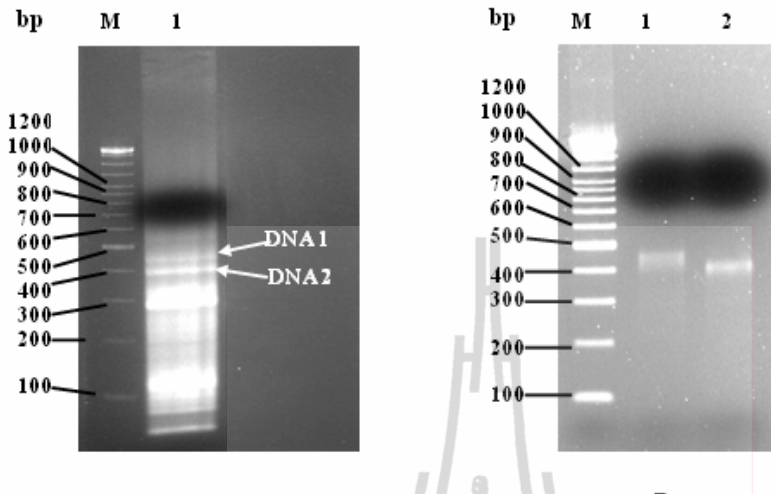
dilute 1 : 50 เท่าของ PCR product 3 จาก 1st round, 4 = dilute 1 :50 เท่าของ
PCR product 4 จาก 1st round

ภาพ C ผล Third PCR ของการโคเลน cDNA ของยีน *TpMC4R* ด้านปลาย 5', โดยใช้
primer NUP คู่กับ primer MC4R-R3

หมายเหตุ : M = DNA marker, N = negative control, 1 = dilute 1 : 50 เท่าของ PCR product

1 จาก 2nd round, 2 = dilute 1 : 50 เท่าของ PCR product 2 จาก 2nd round, 3 = dilute
1 : 50 เท่าของ PCR product 3 จาก 2nd round, 4 = dilute 1 : 50 เท่าของ PCR
product 4 จาก 2nd round (ปริมาณสารหายครึ่งหนึ่งในขณะอยู่ในเครื่อง PCR)





ภาพที่ 4.9 ผลการแยกขนาดและการทำให้บริสุทธิ์ของ cDNA ของ Third PCR

ภาพ A ผลการแยกขนาดของดีเอ็นเอด้วยอิเล็กโทรฟอริซิสเจลเพื่อทำการตัดเจล

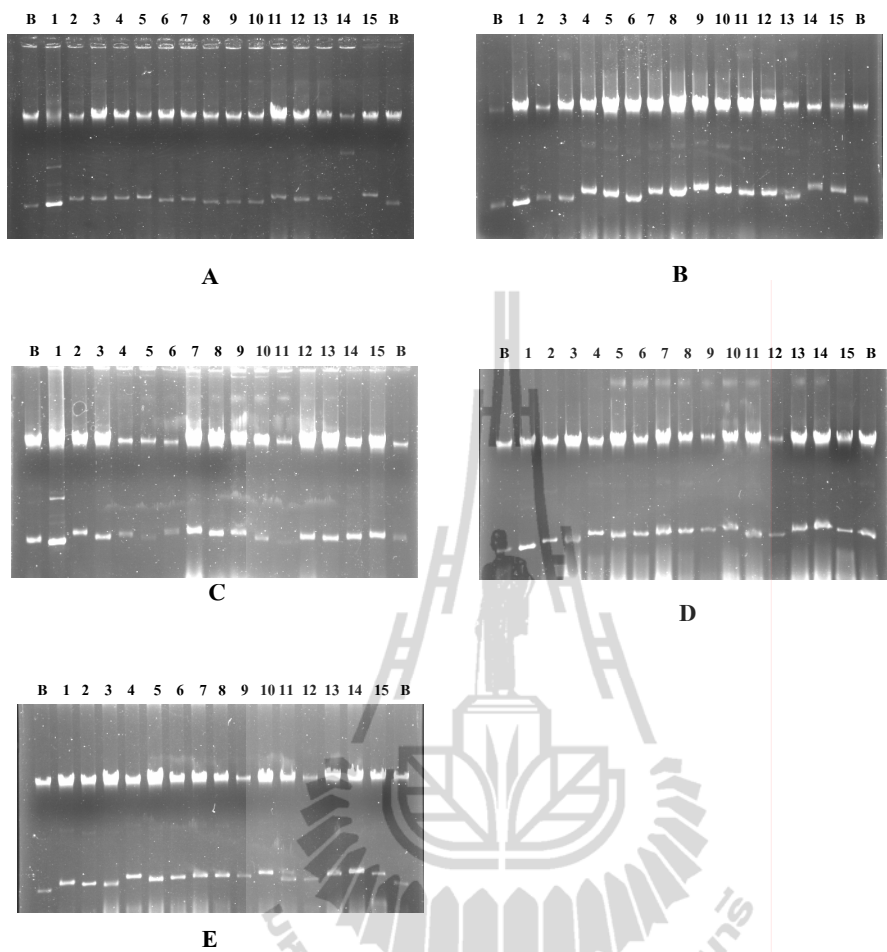
หมายเหตุ : M = DNA marker, หมายเลข 1 = ดีเอ็นเอจาก PCR product 1 และ 2 จาก Third PCR

ภาพ B ผลการทำให้ดีเอ็นเอมีความบริสุทธิ์

หมายเหตุ : M = DNA marker, หมายเลข 1 = ดีเอ็นเอชิ้นส่วนที่ 1 (DNA 1), หมายเลข 2 = ดีเอ็นเอชิ้นชิ้นส่วนที่ 2 (DNA 2)

หลังจากนั้นนำชิ้นส่วนดีเอ็นเอที่ถูกทำให้บริสุทธิ์แล้ว มาเชื่อมต่อ (ligation) เข้ากับเวคเตอร์ pGEM-T easy ซึ่งจะได้ recombinant DNA 2 ชิ้น จากนั้นเคลื่อนย้าย recombinant DNA เข้าสู่ *E. coli* ที่มีคุณสมบัติเป็น competent cell และเลี้ยงเชื้อบนอาหารเลี้ยงเชื้อแบบ selective media หลังจากนั้นทำการคัดโคลoni ที่มีพลาสมิดที่มีชิ้นส่วนของ recombinant DNA ต้องการได้ คัดเลือกโคลoni สีฟ้า ซึ่งคาดการณ์ว่ามีพลาสมิดที่ไม่มี recombinant DNA 1-2 โคลoni เพื่อนำมาทำเป็นโคลoni เปรียบเทียบ กับโคลoni สีขาวซึ่งคาดการณ์ว่ามีพลาสมิดที่มี recombinant DNA และทำการคัดเลือกโคลoni สีขาวที่คาดการณ์ว่ามีพลาสมิดที่มี recombinant DNA มาทำเป็น master plate หลังจากนั้นทำการตรวจสอบ พลาสมิดที่มี recombinant DNA ด้วยวิธีอ่ายจ่าย (cracking) พบว่าโคลoni ที่พลาสมิดมี recombinant DNA จะมีชิ้นส่วนของพลาสมิดดีเอ็นเอที่อยู่สูงกว่าโคลoni ที่พลาสมิดไม่มี recombinant DNA (ดังภาพที่ 4.10) จากการตรวจสอบพลาสมิดที่มี recombinant DNA พบว่าโคลoni ที่มีพลาสมิด recombinant DNA ของชิ้นที่ 1 มีทั้งหมด 19 โคลน (ดังภาพที่ 4.10A และ 4.10B) และโคลoni ที่มีพลาสมิด recombinant DNA ของชิ้นที่ 2 มีทั้งหมด 27 โคลน (ดังภาพที่ 4.10C, 4.10D และ 4.10E)





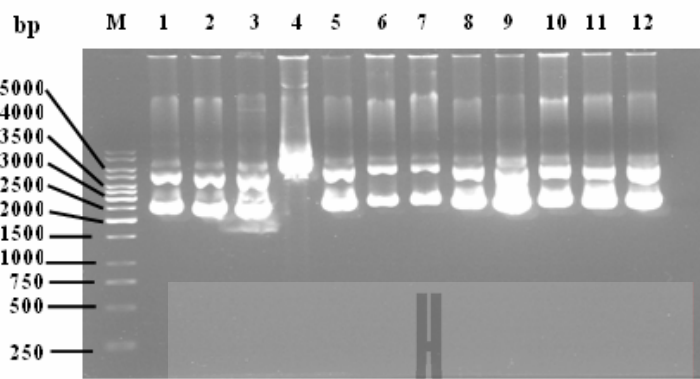
ภาพที่ 4.10 การตรวจสอบโคโลนีที่มีพลาสมิด recombinant DNA ของยีน *TpMC4R* ด้านปลาย 5'
ด้วยวิธีอ่ายง่าย (cracking)

ภาพ A และ B คือ การตรวจสอบ โคโลนีที่มีพลาสมิด recombinant DNA ของชิ้นที่ 1

ภาพ C, D และ E คือ การตรวจสอบ โคโลนีที่มีพลาสมิด recombinant DNA ของชิ้นที่ 2
หมายเหตุ : B = โคโลนีสีฟ้า (blue colony), หมายเลข 1 ถึง 15 = โคโลนีสีขาว (white colony)

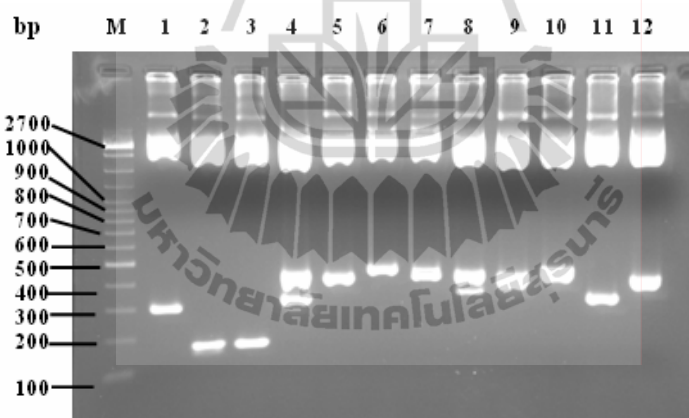
หลังจากนั้นทำการสุ่มโคโลนี *E. coli* ที่มีพลาสมิด recombinant DNA ของชิ้นส่วนที่ 1 จำนวน 7 โคโลน และสุ่มโคโลนที่มีพลาสมิด recombinant DNA ของชิ้นส่วนที่ 2 จำนวน 5 โคโลน ไปทำการเลี้ยงในอาหารเลี้ยงเชื้อ 2XYT ที่มี ampicillin เพื่อเป็นการเพิ่มจำนวนของ *E. coli* ที่มีพลาสมิด recombinant DNA จากนั้นจึงนำไปสกัดพลาสมิดและทำการตรวจสอบผลด้วย Agarose gel electrophoresis ซึ่งพบว่าพลาสมิดที่สกัดมาได้มีทั้งในส่วนที่เป็นลักษณะคลายเป็นเส้น (linear DNA) เป็นชิ้นส่วนเดิมๆที่อยู่ด้านบน ส่วนชิ้นส่วนเดิมๆที่อยู่ด้านล่างมาเป็นลักษณะเดียวกัน (supercoiled DNA) (ดังภาพที่ 4.11) หลังจากนั้นเพื่อเป็นการตรวจสอบพลาสมิดอีกครั้งว่าพลาสมิดมีชิ้นส่วนของ recombinant DNA ที่ 1 และ 2 แน่นอนหรือไม่ โดยการตัดพลาสมิดที่เดินด้วยเอนไซม์ตัดจำเพาะ *E.co RI* พบว่าพลาสมิดหมายเลข 1, 4, 5, 6 และ 7 ที่มี recombinant DNA ของชิ้นส่วนที่ 1 ซึ่งมีชิ้นส่วนเดิมๆ 2 ขนาด ได้แก่ ขนาดประมาณ 3015 bp กือส่วนของเวคเตอร์ pGEM-T Easy และขนาดประมาณ 300-450 bp กือ ส่วนของเดิมๆที่คาดการณ์ว่าจะเป็นยีน *TpMC4R* ด้าน 5'RACE ส่วนพลาสมิดมีชิ้นส่วนของ recombinant DNA ที่ 2 ก็ให้ผลเท่านเดียวกัน (ดังภาพที่ 4.12) ดังนั้นจึงทำการส่งตัวอย่างพลาสมิดที่มี recombinant DNA ที่ 1 ได้แก่ หมายเลข 1, 4, 5, 6 และ 7 และตัวอย่างพลาสมิดที่มี recombinant DNA ที่ 2 ได้แก่ หมายเลข 8, 9, 10, 11 และ 12 เพื่อทำการวิเคราะห์ดำเนินนิวเคลียสีโอไทย





ภาพที่ 4.11 พลาสมิดดีเอ็นเอที่มีชิ้นส่วนของ cDNA ของยีน *TpMC4R* ด้านปลาย 5' ที่มีการเชื่อมต่อ
เวกเตอร์

หมายเหตุ : M = DNA marker, หมายเลข 1 ถึง 7 = พลาสมิดที่มี recombinant DNA ของชิ้นที่ 1 และ^{ชิ้นที่ 2}
หมายเลข 8 ถึง 12 = พลาสมิดที่มี recombinant DNA ชิ้นที่ 2



ภาพที่ 4.12 การตรวจสอบการเชื่อมต่อของพลาสมิดที่มี cDNA ของยีน *TpMC4R* ด้านปลาย 5' โดย
การตัดพลาสมิดด้วยอีนไซม์ตัดจำเพาะ *Eco RI*

หมายเหตุ : M = DNA marker, หมายเลข 1 ถึง 7 = พลาสมิดที่มี recombinant DNA ของชิ้นที่ 1 และ^{ชิ้นที่ 2}
หมายเลข 8 ถึง 12 = พลาสมิดที่มี recombinant DNA ชิ้นที่ 2

หลังจากวิเคราะห์ลำดับนิวคลีโอไทด์พบว่าพลาสมิดเกือบทั้งหมดมีชิ้นส่วนของ cDNA ของยีน *TpMC4R* ด้านปลาย 5' ยกเว้นตัวอย่างพลาสมิดหมายเลข 1 ไม่สามารถทราบผลการวิเคราะห์ลำดับนิวคลีโอไทด์ได้ เนื่องจากอาจมีการปนเปื้อนหรือมีความบริสุทธิ์น้อยมากจนไม่สามารถวิเคราะห์นิวคลีโอไทด์ได้ หลังจากนั้นจึงทำการเปรียบเทียบลำดับนิวคลีโอไทด์ของพลาสมิดในแต่ละโคلون โดยขั้นแรกเปรียบเทียบระหว่างนิวคลีโอไทด์ที่มีการอ่านจากด้าน T7 promotor ไปยังด้าน SP6 promotor และด้าน SP6 promotor ไปยังด้าน T7 promotor โดยด้านนี้จะต้องมีการทำเป็น complementary ก่อน หลังจากนั้นจึงเปรียบเทียบความเหมือน (homology) ระหว่างทั้งสองด้าน เมื่อเปรียบเทียบในแต่ละโคلونแล้ว จึงนำลำดับนิวคลีโอไทด์ของ cDNA ของยีน *TpMC4R* ด้านปลาย 5' หลังจากนั้นนำลำดับนิวคลีโอไทด์ของ cDNA ของยีน *TpMC4R* ด้านปลาย 3' ที่มีความยาวเท่ากับ 1060 bp มาซ้อมต่อเข้ากับ cDNA ของยีน *TpMC4R* ด้านปลาย 5' ที่มีความยาว 363 bp ดังนั้น cDNA ของยีน *TpMC4R* เส้นสมบูรณ์จึงมีความยาวเท่ากับ 1311 bp (ดังภาพที่ 4.13)

4.1.2 การศึกษาคุณลักษณะและโครงสร้างของ cDNA เส้นสมบูรณ์ของยีน *TpMC4R*

การศึกษาลำดับนิวคลีโอไทด์ของ cDNA ของยีน *TpMC4R* เส้นสมบูรณ์ในปลาสลิดพบว่ามีความยาวเท่ากับ 1311 bp ประกอบไปด้วยส่วนของ open reading frame (ORF) 984 bp ซึ่งเมื่อทำการแปลรหัสเป็นกรดอะมิโนจะมีจำนวนกรดอะมิโนเท่ากับ 327 residues และนอกเหนือไปด้วยในส่วนของ 5' untranslated region (UTR) มีนิวคลีโอไทด์เท่ากับ 17 bp และส่วนของ 3' UTR มีนิวคลีโอไทด์เท่ากับ 310 bp (ดังภาพที่ 4.13) เมื่อทำการเปรียบเทียบความคล้ายคลึงกัน (homology) ของลำดับกรดอะมิโน MC4R ระหว่างปลาสลิด, .cn, ไก่ และปลาชนิดต่าง ๆ ซึ่งพบว่าลำดับกรดอะมิโน *TpMC4R* มีความคล้ายคลึงกับลำดับกรดอะมิโน MC4R ของปลา Barfin flounder (*Verasper moseri*) 90%, ปลา European seabass (*Dicentrarchus labrax*) 90%, ปลา Fugu rubripes (*Takifugu rubripes*) 89%, ปลา Rainbow trout (*Oncorhynchus mykiss*) 80%, ปลา Goldfish (*Carassius auratus*) 76%, ปลา Zebrafish (*Danio rerio*) 77%, ปลา Spiny dogfish (*Squalus acanthias*) 71%, ปลา European river lamprey (*Lampetra fluviatilis*) 61%, ไก่ (*Gallus gallus*) 66% และ คน (*Homo sapiens*) 67% ซึ่งมีความคล้ายคลึงกันของลำดับกรดอะมิโนอยู่ในระดับที่สูงดังแสดงในตารางที่ 4.1 (ซึ่ง MC4R ของปลาสลิดจะใช้คำว่า *TpMC4R*) หลังจากนั้นทำการศึกษาคุณลักษณะ (characterization) ของลำดับกรดอะมิโน *TpMC4R* ซึ่งทำการทำกราฟสำหรับการหาตำแหน่ง transmembrane (TM) domain โดยใช้โปรแกรม Split 4.0 server (<http://split.pmsft.hr/split/4/>) ดังแสดงในภาพที่ 4.13 และ 4.14 และแสดงการเปรียบเทียบระดับความคล้ายคลึงกันของลำดับกรดอะมิโนที่มีอยู่ใน

แต่ละ TM กับปลากระดูกรึซึ่งชนิดต่าง ๆ ในไก่ และคน ดังแสดงในตารางที่ 4.1 เมื่อพิจารณาโครงสร้างของกรดอะมิโนในส่วนของ ORF พบร่วมกับกรดอะมิโนของ TpMC4R มีส่วนของ extracellular loop (ECL) จำนวน 3 loop และ intracellular loop (ICL) จำนวน 3 loop โดย ECL ที่ 1 มีกรดอะมิโน 30 residues มีตำแหน่งอยู่ที่กรดอะมิโนตัวที่ 97-126 ซึ่ง ECL ที่ 1 จะมี N-linked glycosylation site อยู่และเป็น ECL ที่ยาวที่สุดเมื่อเปรียบเทียบกับ ECL ที่ 2 และ 3 ซึ่ง ECL ที่ 2 มีกรดอะมิโน 5 residues มีตำแหน่งอยู่ที่ 188-192 และ ECL ที่ 3 มีกรดอะมิโน 4 residues มีตำแหน่งอยู่ที่ 275-278 ส่วนของ ICL ที่ 1 มีกรดอะมิโน 4 residues มีตำแหน่งอยู่ที่ 188-192 ส่วน ICL ที่ 2 มีกรดอะมิโน 13 residues มีตำแหน่งอยู่ที่ 154-166 และในส่วน ICL ที่ 3 เป็นส่วนที่ยาวที่สุดเมื่อเปรียบเทียบกับ ICL ที่ 1 และ ICL ที่ 2 ซึ่ง ICL ที่ 3 มีจำนวนกรดอะมิโนเท่ากับ 23 residues โดยอยู่ตรงตำแหน่งที่ 222-244 ลำดับกรดอะมิโนที่อยู่ในส่วนของ N-terminal extracellular domain ของยีน MC4R ในสัตว์มีกระดูกสันหลังแต่ละชนิดมีความเหมือนกันอยู่ในระดับต่ำ แต่ยีน MC4R ในสัตว์มีกระดูกสันหลังส่วนใหญ่จะมี N-linked glycosylation site อยู่ในตำแหน่งที่ 2 และ 15 เหมือนกัน โปรตีนของ TpMC4R มี cysteine 15 residues อยู่ในตำแหน่งที่ 40, 84, 131, 139, 177, 178, 197, 258, 272, 278, 280, 294, 319, 320 และ 326 แต่มี cysteine เพียง 10 residues ได้แก่ ตำแหน่งที่ 84, 131, 178, 197, 258, 272, 278, 280, 319 และ 326 ที่โปรตีนของยีน MC4R ในปลากระดูกแข็งชนิดต่าง ๆ ไก่ และคน มีความเหมือนกัน (ดังภาพที่ 4.14) นอกจากนี้โปรตีน TpMC4R ขึ้นพบร่วม protein kinase C of phosphorylation site อยู่ใน ICL ที่ 2 ตรงตำแหน่งที่ 163 และพบอยู่ในส่วนของ C-terminal domain ตรงตำแหน่งที่ 313 และโปรตีน TpMC4R มี PMY motif, DRY motif และ DPIIY (NPXXY) motif ในตำแหน่งเดียวกันกับ motif ดังกล่าวของโปรตีนยีน MC4R ในปลากระดูกแข็งชนิดต่าง ๆ ไก่ และคน (ดังภาพที่ 4.14)

1	GCAACCAAGGAGGATAATGAACACCACAGATCCAGTGGATTAAAGCCCGGGCTACCAACCAAGCCAACCCAGCAGCAGC	83
1	M N T D P S G L S P G Y H N R S Q T T A T	22
84	CTGCCCACTAACAGGACCTCCCCTCTGAGGAGAAGGACTCGCTCTCAGGGTGTTACGCCAGCTGCTGATCTCACTGAGGTT	167
23	L P T N K D L P S E E K D S S A G C Y G Q L L I S T E V	50
	TM1	
168	TCCTCACTCTGGGATGTCAGCTGCTGGAGAACATCCGGTGTGGCTGCCATAGTGAAAAAACAGAACCTCACTCC	251
51	F L T L G I V S L L E N I L V V A A I V K N K N L H S P	78
	TM2	
252	ATGACTTTCTCATCTGAGCTGGCGTGCGGACATGCTGGTGACGCGCTCAATGCCCTGAGACCATGTCATGAGCTC	335
79	M Y F F I C S L A V A D M L V S V S N A S E T I V I E L	106
	TM3	
336	ATCAATGGAGGCACCTGAGCATCCCCATCACACTCATCAAGAGCATGGACAACGTGTCGACTCATGATCTGAGCTCTG	419
107	I N G G T L S I P I T L I K S M D N V F D S M I C S S L	134
	TM3	
420	CTGCCCTCATCTGGAGCTCTGGCATCGCTGTGACCGCTACATCACCATCTCTACGGCGCTCGCTAACACATGTC	503
135	L A S I C S L L A I A V D R Y I T I F Y A L R Y H N I V	162
	TM4	
504	ACGTGGCAGGGCACCGCTGGTCACTAGCACCCTGGACGIGCTGACCGGTGCGGCACTCTCTCATCATCTACTCGGAG	587
163	T L R R A T L V I S T I W T C C T V S G I L F I I Y S E	190
	TM4	
588	AGCACCAAGGTGCTCATCGCTCATACCATGCTGGTGTGCTCATGGGTGCTCTAGTGACATGTTCTG	671
191	S T T V L I C L I T M F F T M L V L M A S L Y V H M F L	218
	TM5	
672	CTGGCGGCCATGAAAGGATGCGAGCGCTGCCGGCACCCGCCATCCAGCAGCCGCCAACATGAAGGGGCCATC	755
219	L A R L H M K R I A A L P G N A P I Q Q R A N M K G A I	246
	TM6	
756	ACCCCTACCATCTCTGGGTGTTGTGGCTGGCGCGCTCTCCACCTCATCTGATGATCACCTGCCCGG	839
246	T L T I L L G V F V V C W A P F F L H L I L M I T C P R	274
	TM6	
840	AACCCCTACTGGACCTGCTCATGTCACCTCAAATGTAACCTGATCCATCATGTCGAACCTCATCATGATCCCATATC	923
275	N P Y C T C F M S H F N M Y L I L I M C N S I I D P I I	302
	TM7	
924	TACCCCTTCGAGCCAGGAGATCCGGAAACCTTCAAGAGTTTCTCTGCTGCGCCCTCCCTGTCGCTGAGTTGT	1007
303	X A F R S Q E M R K T F K E F F C C S Q P L L C V *	327
1008	GTTTGAGTAATTAAACCCGGGTACACTGACTATTAAAGTAAACCTGGTAAACAGGGAGTTCAAGAACCTCATACT	1091
1092	GTGACAGAATGGTCTGTTGCTCCCTGCGCTGAAACCTCTAATGATGAGTGGCGCCCTGGGTTTGTAAG	1175
1176	ACGTAGCTTGTGATCACCGTATCACAGAGGATACCCGGAGAGCAACCAGCTTGTGTCAGTGAAGCTTGTGAA	1259
1260	ATGAACTTAAGTAATGTCGCCAGTAAAAAAAAAAAAAAA	1311

ภาพที่ 4.13 ลำดับนิวคลีโอไทด์และลำดับกรดอะมิโนของ TpMC4R

หมายเหตุ : กล่องสีเทา = Transmembrane (TM) domain โดยโปรแกรม Split 4.0 sever

(<http://split.pmsft.hr/split/4/>)

กล่องสีเขียว = N-linked glycosylation site

กล่องสีขาว = Protein kinase C of phosphorylation site

ตัวอักษรหนาและขีดเส้นใต้ = PMY motif, DRY motif และ DPPIY (NPXXY) motif

ตารางที่ 4.1 เปรียบเทียบความคล้ายคลึงกันของลำดับกรดอะมิโนที่สมบูรณ์ และ Transmembrane (TM) domain ระหว่าง TpMC4R และ MC4R ของปลากระดูกแข็งชนิดต่าง ๆ ไก่ และ คน

Vertebrate species	Full-length	Transmembrane (TM) domain							References
		TM1	TM2	TM3	TM4	TM5	TM6	TM7	
Flounder	90	95	71	86	80	95	100	73	Kobayashi et al. (2008)
Seabass	90	91	100	100	85	100	96	91	Sanchez et al. (2009)
Fugu	89	95	76	62	80	100	92	87	Klovins et al. (2004)
Trout	80	95	71	65	61	95	88	83	Haitina et al. (2004)
Goldfish	76	92	71	62	57	90	88	83	Cerda-Reverter et al. (2003)
Zebrafish	77	96	71	62	57	90	88	83	Ringholm et al. (2002)
Dogfish	71	87	76	62	57	85	85	83	Ringholm et al. (2003)
Lamprey	61	71	71	66	38	95	92	63	Haitina et al. (2007)
Chicken	66	69	71	75	61	80	84	79	Takeuchi and Takahashi (1998)
Human	67	70	90	88	66	86	80	79	Tan et al. (2009)

TpMC4R	-M NPFDP -SGLS-PGYH- NRS OTTATLPTNKDLPSE-EKDSSAG-CYGQQLISTEVFLTLGIVSLLLENILVVAIIVKKNKLHS	▼	TM1			77
Flounder	-MNTEH--PGLS-QGFH--NWSQTA--SPLNEDFSAQ-DKDSSAG-CYEQLLISTEVFLTLGIVSLLLENILVVAIIVKKNKLHS					75
Seabass	-MNTEA--HGLI-HGYH-NRSQTGILPLNKDLSAE-EKDSSTG-CYEQLLISTEVFLTLGIVSLLLENILVVAIIVKKNKLHS					77
Fugu	-MNATDP--PGRV-QDFS-NGSQTP----ETDFPNE-EKESSTG-CYEQLLISTEVFLTLGIVSLLLENILVVAIIVKKNKLHS					72
Trout	MMNSTDH--OGLISVGYTRNLSTAGTLGTLNKDSECVGKIKDSTS-CYEQLLISTEVFLTLGIVSLLLENILVIAAIIVKKNKLHS					81
Goldfish	-MNTSHH--HGPH-HSYR-NHSQGA---LPVGKPDQGERGSTG-CYEQLLISTEVFLTLGIVSLLLENILVIAAIIVKKNKLHS					74
Zebrafish	-MNTSHH--HGLH-HSFR-NHSQGA---LPVGKPSHGDGRGASG-CYEQLLISTEVFLTLGIVSLLLENILVIAAIIVKKNKLHS					74
Dogfish	-MNNSFH--HRLPETPQLRNHSVAR----FASANGSRSDGFSSG-CYEQLWISTEVFLTLGIFSLLANILVIAAIIVKKNKLHS					75
Lamprey	-MTFSAGGGVVVNNHHGANHQGG---GNHSGHGNATGGGHGRPCEQLPIEVFLLGIVSLLLENILVITAILKKNKLHS					78
Chicken	-MNFTQH--RGTLQPLHFWNQCS-NR---LHRGASEPSAKHSGGGCYEQLFVSPFVFTLGLIISLLLENVLVIVAIAKKNKLHS					76
Human	-MWNSTH--RGMHTSLHLWNRRSSYR---RHSNASESLGKGYSIDGCGYEQLFPEVFVFTLGVISLLLENILVIVAIARAKKNKLHS					77
	*	*	*	*	*	*****
	▼	TM2		▼	TM3	▼
TpMC4R	PMYFFICSLAVADMLVSVSNASSETIVIELLINGGTLISIPTLIKSMNDNFDSMICSSLASICSLLAIAVDRYITIFYALRYHNI					161
Flounder	PMYFFICSLAVADMLVSVSNASSETIVIALINGGNLTIPVTLIKSMNDVFDMSMICSSLASICSLLAIAVDRYITIFYALRYHNI					159
Seabass	PMYFFICSLAVADMLVSVSNASSETIVIALINGGNLTIPVTLIKSMNDVFDMSMICSSLASICSLLAIAVDRYITIFYALRYHNI					161
Fugu	PMYFFICSLAVADMLVSVSNASSETIVIALINGGNLTIPVQLIKSMNDVFDMSMICSSLASICSLLAIAVDRYITIFYALRYHNI					156
Trout	PMYFFICSLAVADMLVSVSNASSETIVIALINGGNLTISGTLIKSMNDVFDMSMICSSLASICSLLAIAVDRYITIFYALRYHNI					165
Goldfish	PMYFFICSLAVADMLVSVSNASSETVVMALITGGNLITYRESIIKNDMDNIFDSMICSSLASICSLLAIAVDRYITIFYALRYHNI					158
Zebrafish	PMYFFICSLAVADLVLVSVSNASSETVVMALITGGNLITYRESIIKNDMDNIFDSMICSSLASICSLLAIAVDRYITIFYALRYHNI					158
Dogfish	PMYFFICSLAVADMLVSVSNASSETVVIAMLSRHLTAPENLNIKNDMDNIFDSMICSSLASICSLLAIAVDRYITIFYALRYHNI					159
Lamprey	PMYFFICSLAVADMLVSVSNASSETVVIAMLSRHLTAPENLNIKNDMDNIFDSMICSSLASICSLLAIAVDRYITIFYALRYHNI					162
Chicken	PMYFFICSLAVADMLVSVSNASSETVVIAMLSRHLTAPENLNIKNDMDNIFDSMICSSLASICSLLAIAVDRYITIFYALRYHNI					159
Human	PMYFFICSLAVADMLVSVSNASSETVVIAMLSRHLTAPENLNIKNDMDNIFDSMICSSLASICSLLAIAVDRYITIFYALRYHNI					160
	*****	*****	*****	*****	*****	*****
	▼	TM4		▼	TM5	▼
TpMC4R	V TLR RATLVISTIWTCTTCSVGLIIFIYSESTTVLCLITMFMTMLVLMASLYVHMFLLARLHMKRIAALPGNAPIQRANMKG					245
Flounder	V TLR RAMLVITSIWTCTTCSVGLIIFIYSESTTVLCLITMFMTMLVLMASLYVHMFLLARLHMKRIAALPGNAPIQRANMKG					243
Seabass	G TLR RAMLVITSIWTCTTCSVGLIIFIYSESTTVLCLITMFMTMLVLMASLYVHMFLLARLHMKRIAALPGNAPIQRANMKG					245
Fugu	V TLR RASLVIISIWTCTTCSVGLIIFIYSESTTVLCLITMFMTMLVLMASLYVHMFLLARLHMKRIAALPGNAPIQRANMKG					240
Trout	V TVR RAMAVIACIWSCCVASVGLIIFIYSESTTVLCLITMFMTMLVLMASLYVHMFLLARLHMKRIAALPGNVPVIRQRANMKG					249
Goldfish	M TQRRAGT IITCIWTLCTVSGVLFIIVYSESTTVLCLISMFFTMALMASLYVHMFLLARLHMKRIAALPGNPIVQAAMMKG					242
Zebrafish	M TQRRAGT IITCIWTLCTVSGVLFIIVYSESTTVLCLISMFFTMALMASLYVHMFLLARLHMKRIAALPGNPIVQAAMMKG					242
Dogfish	V TVTRALMITIAIAWIACACTGSGLIIFIYSESTAVI I CLITMFAMALMASLYVHMFLLARLHMKRIAALPGNPIVQAAMMKG					243
Lamprey	M TVTRRAASIIGAIWGTCTLGVIFIVYSDSTAVI I CLITMFAMALMASLYVHMFLLARLHMKRIAALPASGIIQHKTSMRGA					246
Chicken	M TVTRRVGVIITCIIWAACTVSGLIFIYSDSSVVIICLISMFFTMILVLMASLYVHMFLLARLHMKRIAALPASGIIQHKTSMRGA					243
Human	MTVTRRVGVIITCIIWAACTVSGLIFIYSDSSVVIICLISMFFTMILVLMASLYVHMFLLARLHMKRIAALPASGIIQHKTSMRGA					244
	*****	*****	*****	*****	*****	*****
	▼	TM6		▼	TM7	▼
TpMC4R	I TLTILLGVFVVCWAPFFLHLIMITCPRNPyC TFCFMShFNMYLILIMCNSIID PIIYAFRSQEMRKFKEIFCC--SQPLLCV					327
Flounder	I TLTILLGVFVVCWAPFFLHLIMITCPRNPyC TFCFMShFNMYLILIMCNSVID PIIYAFRSQEMRKFKEIFCC--SHALLCV					325
Seabass	I TLTILLGVFVVCWAPFFLHLIMITCPRNPyC TFCFMShFNMYLILIMCNSVID PIIYAFRSQEMRKFKEIFCC--SHALLCV					327
Fugu	I TLTILLGVFVVCWAPFFLHLIMITCPKNPyC TFCFMShFNMYLILIMCNSVID PIIYAFRSQEMRKFKEIFCC--SQLVCM					322
Trout	I TLTILLGVFVVCWAPFFLHLIMISCPRNPyC ACFMShFNMYLILIMCNSVID PIIYAFRSQEMRKFKEIFCWY-SLPNLCV					332
Goldfish	I TITILLGVFVVCWAPFFLHLIMISCPRNPyC ICFMShFNMYLILIMCNSVID PIIYAFRSQEMRKFKEICCCWYGLASLCV					326
Zebrafish	I TITILLGVFVVCWAPFFLHLIMISCPRNPyC IFFMShFNMYLILIMCNSVID PIIYAFRSQEMRKFKEICCCWYGLASLCV					326
Dogfish	I TLTILLGVFVVCWAPFFLHLIMISCPQNPyC VCFCFMShFNMYLILIMCNSVID PIIYAFRSQEMRKFKEIIICCY-SLPGLCD					326
Lamprey	I LTLLIGGVFVVCWAPFFLHLILIVSCPNSPSPYCVCYMSHFNLYLVLI MLSSVID PIIYAFRSHEMRHTFKEIVCCY-SGSLYCA					329
Chicken	I LTLLIGGVFVVCWAPFFLHLILIVSCPNSPSPYCVCYMSHFNLYLVLI MLSSVID PIIYAFRSQELRKTFKEIIICCY-NLRLGLCD					326
Human	LTLLIGGVFVVCWAPFFLHLILIVSCPNSPSPYCVCYMSHFNLYLVLI MLSSVID PIIYAFRSQELRKTFKEIIICCY-PLGGLCD					327
	*****	*****	*****	*****	*****	*****
TpMC4R	----- 327					
Flounder	----- 325					
Seabass	----- 327					
Fugu	----- 322					
Trout	CELPKY 339					
Goldfish	----- 326					
Zebrafish	----- 326					
Dogfish	LTSEY-- 331					
Lamprey	LPATWKY 336					
Chicken	LPGKY-- 331					
Human	LSSRY-- 332					

ภาพที่ 4.14 การเปรียบเทียบลำดับกรดอะมิโนระหว่าง TpMC4R และMC4R ของปลากระดูกแข็ง

ชนิดต่าง ๆ ไก่ และคน

หมายเหตุ : การจัดเรียงเพื่อเปรียบเทียบลำดับกรดอะมิโนใช้โปรแกรม Clustal W2 software

คอกขัน = ลำดับกรดอะมิโนของยีน MC4R ของปลากระดูกแข็งชนิดต่าง ๆ ไก่ และคน

มีความเหมือนกัน

หัวสูญเสีย = ความเหมือนกันของตำแหน่ง cysteine residues ในปลากระดูกแข็งชนิดต่าง ๆ ไก่ และคน

หัวสูกครีทีวา = ความเหมือนกันของตำแหน่ง cysteine residues ในสัตว์บางชนิด

กล่องสีเทา = Transmembrane (TM) domain โดยโปรแกรม Split 4.0 sever

(<http://split.pmsft.hr/split/4/>)

กล่องสีดำ = N-linked glycosylation site

กล่องสีเขียว = Protein kinase C of phosphorylation site

ตัวอักษรหนาและขีดเส้นใต้ = PMY motif, DRY motif และDPIHY (NPXXY) motif

ที่มา : Flounder (Kobayashi et al., 2008), Seabass (Sanchez et al., 2009), Fugu (Klovins et al., 2004),

Trout (Haitina et al., 2004), Goldfish (Cerda-Reverter et al., 2003), Zebrafish (Ringholm et

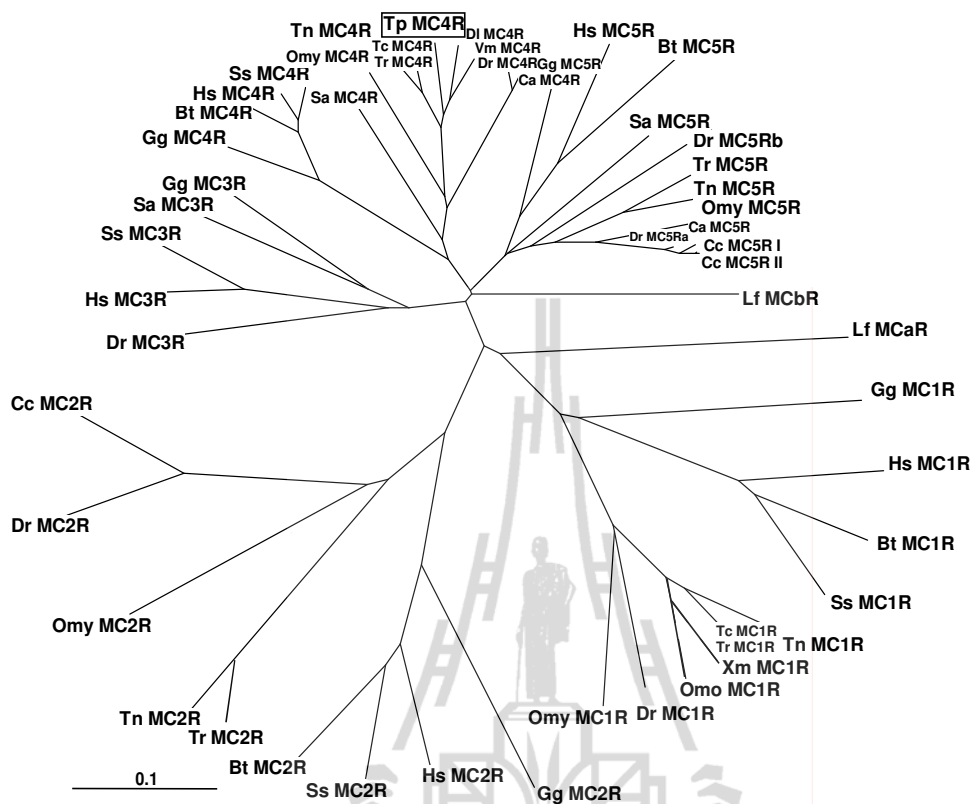
al., 2002), Dogfish (Ringholm et al., 2003), Lamprey (Haitina et al., 2007), Chicken (Takeuchi

and Takahashi, 1998) และ Human (Tan et al., 2009)

4.1.3 การศึกษาความสัมพันธ์ทางวิวัฒนาการของยีน *MC4R* ของปลาสลิดและสัตว์มีกระดูก

สันหลังชนิดอื่น ๆ

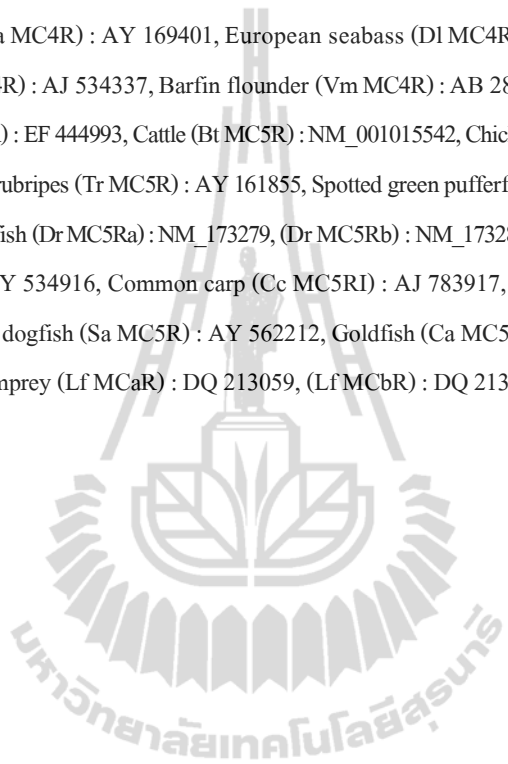
ผลการศึกษาความสัมพันธ์ทางวิวัฒนาการของยีน *TpMC4R* โดยการสร้าง phylogenetic tree ซึ่งทำการเปรียบเทียบระหว่างกรดอะมิโนของ *TpMC4R* กับกรดอะมิโนของ melanocortin receptor (MCR) ทั้ง 5 subtype ของสัตว์มีกระดูกสันหลังชนิดต่าง ๆ พบว่าความสัมพันธ์ทางวิวัฒนาการของกรดอะมิโน MCR ถูกแบ่งออกเป็น 5 กลุ่มดังนี้ กลุ่มที่ 1 เป็นกลุ่มของลำดับกรดอะมิโนของสิ่งมีชีวิตต่าง ๆ ที่ถูกจัดอยู่ในกลุ่มเดียวกับ Melanocortin 1 receptor (MC1R) กลุ่มที่ 2 เป็นกลุ่มของลำดับกรดอะมิโนของสิ่งมีชีวิตต่าง ๆ ที่ถูกจัดอยู่ในกลุ่มเดียวกับ Melanocortin 2 receptor (MC2R) กลุ่มที่ 3 ถูกจัดอยู่ในกลุ่ม Melanocortin 3 receptor (MC3R) กลุ่มที่ 4 ถูกจัดอยู่ในกลุ่ม Melanocortin 4 receptor (MC4R) และกลุ่มที่ 5 ถูกจัดอยู่ในกลุ่ม Melanocortin 5 receptor (MC5R) ซึ่งกรดอะมิโนของ *TpMC4R* ถูกจัดอยู่ในกลุ่มที่ 4 ซึ่งเป็นการยืนยันว่า *TpMC4R* มีความสัมพันธ์ทางวิวัฒนาการอยู่ในกลุ่มของยีน MC4R ร่วมกับ MC4R ของสัตว์ชนิดต่าง ๆ (ดังภาพที่ 4.15) และผลการศึกษาความสัมพันธ์ทางวิวัฒนาการของยีน MC4R ระหว่างกรดอะมิโนของ *TpMC4R* ของปลาสลิดกับกรดอะมิโนของ MC4R ของสัตว์มีกระดูกสันหลังชนิดต่าง ๆ พบว่า *TpMC4R* มีวิวัฒนาการใกล้เคียงกับกรดอะมิโนของปลาโดยสังเกตเห็นจาก *TpMC4R* อยู่บนเส้นหรือแนนเดียวกันกับ MC4R ของปลากระดูกแข็งชนิดอื่น ๆ และนอกจากนี้ *TpMC4R* ยังมีวิวัฒนาการใกล้เคียงกับสัตว์ปีกมากที่สุดเมื่อเปรียบเทียบกับสัตว์มีกระดูกสันหลังชนิดอื่น ๆ (ดังภาพที่ 4.16)

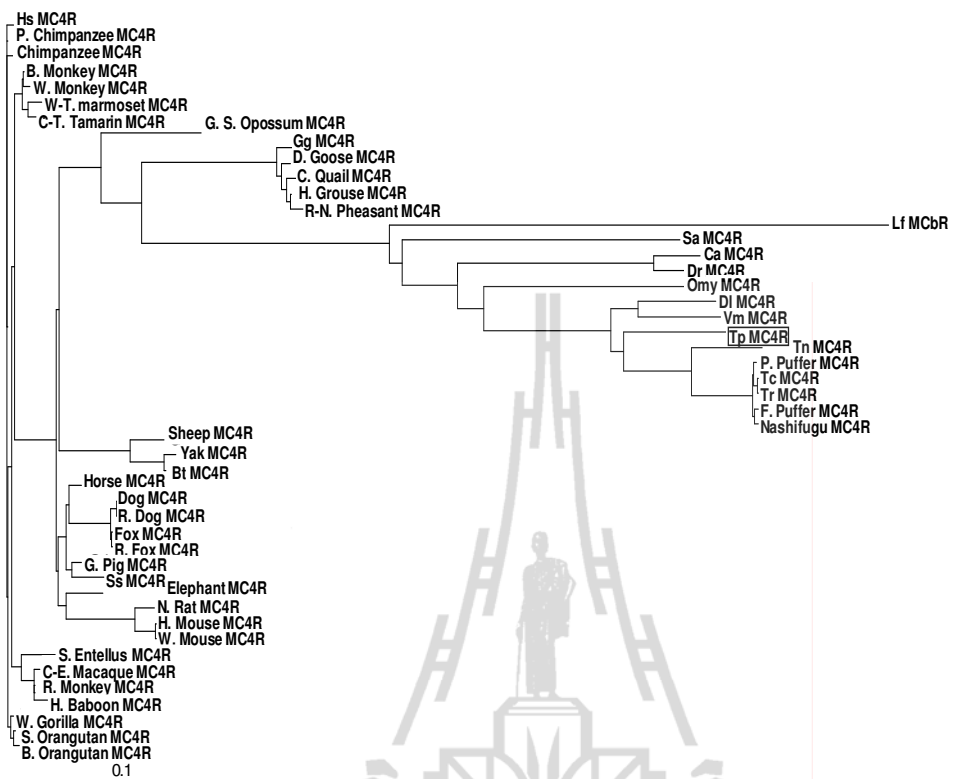


ภาพที่ 4.15 Phylogenetic tree ของโปรตีน melanocortin receptor ทั้ง 5 subtypes ของปลาสกิด และสัตว์มีกระดูกสันหลังชนิดอื่น ๆ โดยการสร้าง phylogenetic tree ตามวิธีการของ Neighbor-joining method (Saito and Nei, 1987)

หมายเหตุ : กรณีของ MCR ทั้ง 5 subtype ของสัตว์มีกระดูกสันหลังชนิดต่าง ๆ ที่ได้รายงานไว้ใน Genbank database ดังนี้ MC1Rs : Human (Hs MC1R) : AF 153431, Cattle (Bt MC1R) : AF 445641, Pig (Ss MC1R) : EU 604026, Chicken (Gg MC1R) : NM_001031462, Fugu rubripes (Tr MC1R) : AY 161854, Spotted green pufferfish (Tn MC1R) : AY 332238, Zebrafish (Dr MC1R) : AY 161847, Karasu (Tc MC1R) : AB 437784, Southern platyfish (Xm MC1R) : DQ 866828, Moszambique tilapia (Omo MC1R) : AJ 871147, Rainbow trout (Omy MC1R) : NM_001195178, MC2Rs : Human (Hs MC2R) : AY 225229, Cattle (Bt MC2R) : NM_174109, Chicken (Gg MC2R) : NM_001031515, Fugu rubripes (Tr MC2R) : AY 225229, Spotted green pufferfish (Tn MC2R) : AY 332239, Zebrafish (Dr MC2R) : AY 161848, Rainbow trout (Omy MC2R) : EU 119870, Common carp (Cc MC2R) : AJ

605725, MC3Rs : Human (Hs MC3R) : AY 227893, Pig (Ss MC3R) : FJ 185221, Chicken (Gg MC3R) : AB 017137, Zebrafish (Dr MC3R) : AY 161849, Spiny dogfish (Sa MC3R) : AY 560605, MC4Rs : Human (Hs MC4R) : EF 080880, Cattle (Bt MC4R) : NM_174110, Pig (Ss MC4R) : AB 021664, Chicken (Gg MC4R) : AY 545057, Fugu rubripes (Tr MC4R) : AY 161856, Spotted green pufferfish (Tn MC4R) : AY 332240, Zebrafish (Dr MC4R) : AY 161850, Karasu (Tc MC4R) : AB 073675, Rainbow trout (Omy MC4R) : AY 534915, Spiny dogfish (Sa MC4R) : AY 169401, European seabass (Dl MC4R) : FM 253127, Goldfish (Ca MC4R) : AJ 534337, Barfin flounder (Vm MC4R) : AB 287975, MC5Rs : Human (Hs MC5R) : EF 444993, Cattle (Bt MC5R) : NM_001015542, Chicken (Gg MC5R) : AB 012868, Fugu rubripes (Tr MC5R) : AY 161855, Spotted green pufferfish (Tn MC5R) : AY 332241, Zebrafish (Dr MC5Ra) : NM_173279, (Dr MC5Rb) : NM_173280, Rainbow trout (Omy MC5R) : AY 534916, Common carp (Cc MC5RI) : AJ 783917, (Cc MC5RII) : AJ 783918, Spiny dogfish (Sa MC5R) : AY 562212, Goldfish (Ca MC5R) : AJ 576322, European river lamprey (Lf MCaR) : DQ 213059, (Lf MCbR) : DQ 213060.



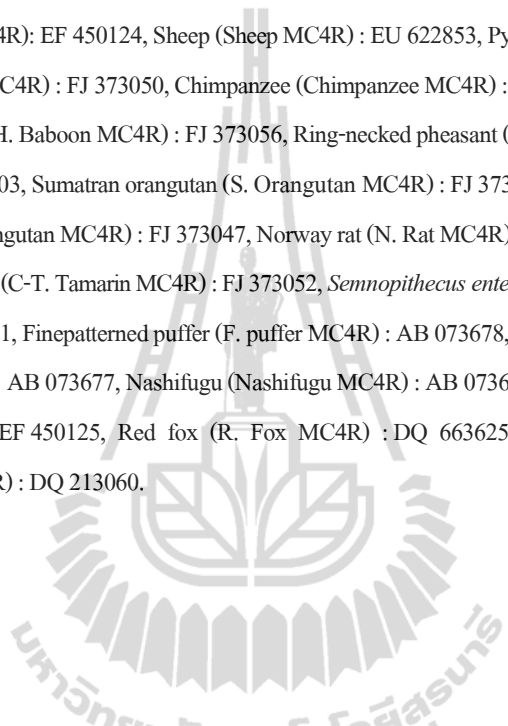


ภาพที่ 4.16 Phylogenetic tree ของโปรตีน melanocortin 4 receptor ของปลาสัตว์และสัตว์มีกระดูกสันหลังชนิดอื่น ๆ โดยการสร้าง phylogenetic tree ตามวิธีการของ Neighbor-joining method (Saita to and Nei, 1987)

หมายเหตุ : กรดอะมิโนของ MC4R ของสัตว์มีกระดูกสันหลังชนิดต่าง ๆ ที่ได้รับงานไว้ดังนี้

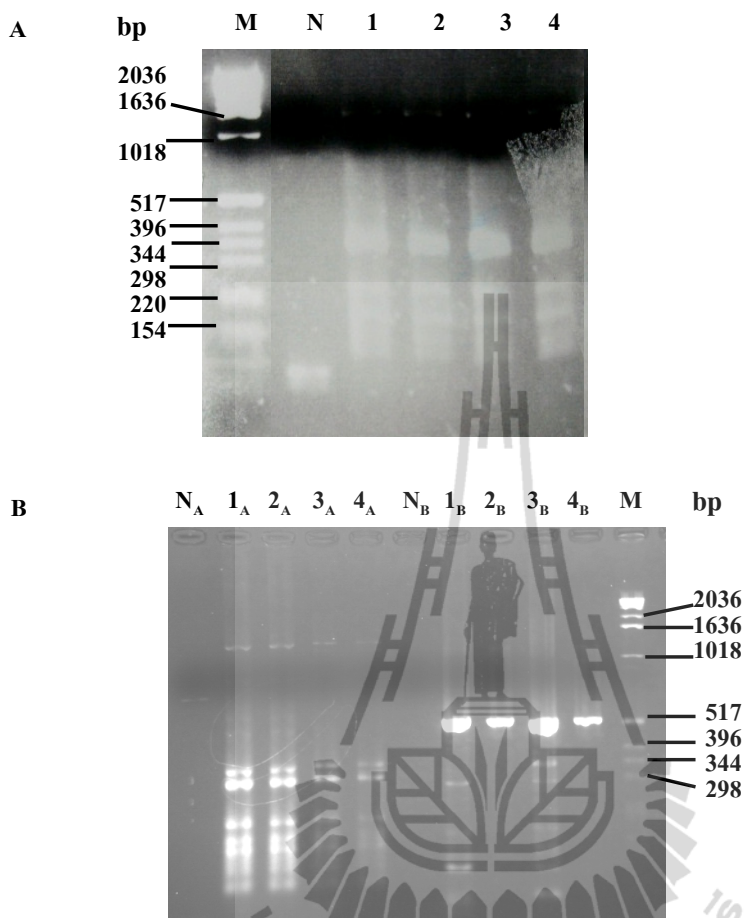
Human (Hs MC4R) : EF 080880, Cattle (Bt MC4R) : NM_174110, Pig (Ss MC4R) : AB 021664, Chicken (Gg MC4R) : AY 545057, Fugu rubripes (Tr MC4R) : AY 161856, Spotted green pufferfish (Tn MC4R) : AY 332240, Zebrafish (Dr MC4R) : AY 161850, Karas (Tc MC4R) : AB 073675, Rainbow trout (Omy MC4R) : AY 534915, Spiny dogfish (Sa MC4R) : AY 169401, European seabass (DI MC4R) : FM 253127, Goldfish (Ca MC4R) : AJ 534337, Barfin flounder (Vm MC4R) : AB 287975, Black howler monkey (B. Monkey MC4R) : FJ 373049, Domestic goose (D. Goose MC4R) : DQ 482582, White-bellied spider monkey (W. Monkey MC4R) : FJ 373048, Hazel grouse (H. Grouse MC4R) : EU 817502, Domestic yak (Yak MC4R) : HM 051376, White-tufted-ear marmoset (W.T.

Marmoset MC4R) : FJ 373053, Dog (Dog MC4R) : DQ 084210, Domestic guinea pig (G. Pig MC4R) : EF 384234, Common quail (C. Quail MC4R) : GU 165835, Asiatic elephant (Elephant MC4R) : DQ 684863, Horse (Horse MC4R) : XM_001489656, Western Gorilla (W. Gorilla MC4R) : FJ 373054, Crab-eating macaque (C-E. Macaque MC4R) : FJ 373055, Gray shorttailed opossum (G. S. Opossum MC4R) : EF 384264.1, House mouse (H. Mouse MC4R) : AY 684818, Western wild mouse (W. Mouse MC4R) : AY 684821, Raccoon dog (R. dog MC4R) : EF 450124, Sheep (Sheep MC4R) : EU 622853, Pygmy chimpanzee (P. Chimpanzee MC4R) : FJ 373050, Chimpanzee (Chimpanzee MC4R) : FJ 373057, Hamadryas baboon (H. Baboon MC4R) : FJ 373056, Ring-necked pheasant (R-N. Pheasant MC4R) : EU 817503, Sumatran orangutan (S. Orangutan MC4R) : FJ 373047, Bornean orangutan (B. Orangutan MC4R) : FJ 373047, Norway rat (N. Rat MC4R) : NM_013099, Cotton-top tamarin (C-T. Tamarin MC4R) : FJ 373052, *Semnopithecus entellus* (S. entellus MC4R) : FJ 373051, Finepatterned puffer (F. puffer MC4R) : AB 073678, Purple puffer (P. puffer MC4R) : AB 073677, Nashifugu (Nashifugu MC4R) : AB 073676, Arctic fox (A. Fox MC4R) : EF 450125, Red fox (R. Fox MC4R) : DQ 663625, European river lamprey (Lf MCbR) : DQ 213060.



4.1.4 การโคลน cDNA ของยีน β -actin ในปลาสลิด

ในการโคลน cDNA ของยีน β -actin จากสมองของปลาสลิด มีการโคลนทั้งในแบบวิธี 3' RACE และแบบวิธี PCR โดยการใช้ gene specific primer ซึ่งจะต้องมีการรวมข้อมูลลำดับนิวคลีโอไทด์ของยีน β -actin ในปลาชนิดต่าง ๆ มา alignment เพื่อออกแบบไพรเมอร์สำหรับการทำ PCR ใน การโคลน cDNA ของยีน β -actin ด้วยวิธี 3' RACE ซึ่ง primary PCR มีการใช้ primer forward Actin-F คู่กับ primer reverse UPM-L ใน การเพิ่มจำนวนดีเอ็นเอ (amplification) มีขนาดประมาณ 1265 bp ซึ่งยังไม่สามารถเห็นหรือจำแนกได้ชัดเจน (ดังภาพที่ 4.17A) ต่อมานำ PCR product จาก primary PCR มาทำการ dilute ในอัตราส่วน 1 : 50 เท่า เพื่อเป็น DNA template ใน การทำ second PCR โดยมีการใช้ primer forward Actin-F คู่กับ primer reverse NUP มีขนาดประมาณ 1245 bp (ดังภาพที่ 4.17B) และสำหรับการโคลน cDNA ของยีน β -actin ด้วยวิธี PCR โดยการใช้ gene specific primer (GSP) คือ primer forward Actin-F คู่กับ primer reverse Actin-R มีขนาดประมาณ 518 bp (ดังภาพที่ 4.17B) หลังจากนั้นนำ PCR product จากการทำ second PCR ของทั้ง 2 วิธี มาทำการแยกขนาดของดีเอ็นเอตามที่คาดการณ์ไว้ด้วย Agarose gel electrophoresis และทำการตัดเจลบริเวณที่คาดการณ์ว่าเป็นชิ้นส่วนดีเอ็นเอของยีน β -actin ทั้งหมด 3 ชิ้น (ดังภาพที่ 4.18A) หลังจากนั้นทำดีเอ็นเอให้บริสุทธิ์จากกระบวนการโรสเจล พบว่าชิ้นส่วนดีเอ็นเอที่ 1 ที่มีขนาดประมาณ 1000 bp มีลักษณะคล้ายชิ้นส่วนที่ 2 ที่มีขนาดประมาณ 1000 bp และชิ้นส่วนดีเอ็นเอที่ 3 ที่มีขนาดประมาณ 500 bp ใน การเชื่อมต่อเข้ากับเวคเตอร์ท่านั้น



ภาพที่ 4.17 ผลของ PCR ของการโคลน cDNA ของยีน β -actin

ภาพ A ผลของ Primary PCR ของการโคลน cDNA ของยีน β -actin ด้วยวิธี 3' RACE

หมายเหตุ : M = DNA marker, N= negative control, 1 และ 2 = cDNA จากสมองปลาสกิด

ตัวที่ 1, 3 และ 4 = cDNA ที่ได้จากสมองปลาสกิดตัวที่ 2

ภาพที่ B ผลการโคลน cDNA ของยีน β -actin

หมายเหตุ : M = DNA marker

A = ผลของ Second PCR ของการโคลน cDNA ของยีน β -actin ด้วยวิธี 3'

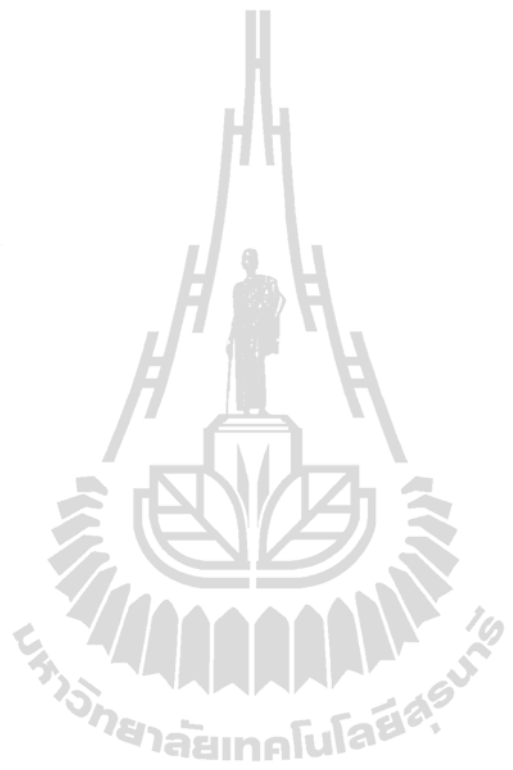
RACE (N_A= negative control, 1_A = dilute 1 : 50 เท่า ของ PCR product 1

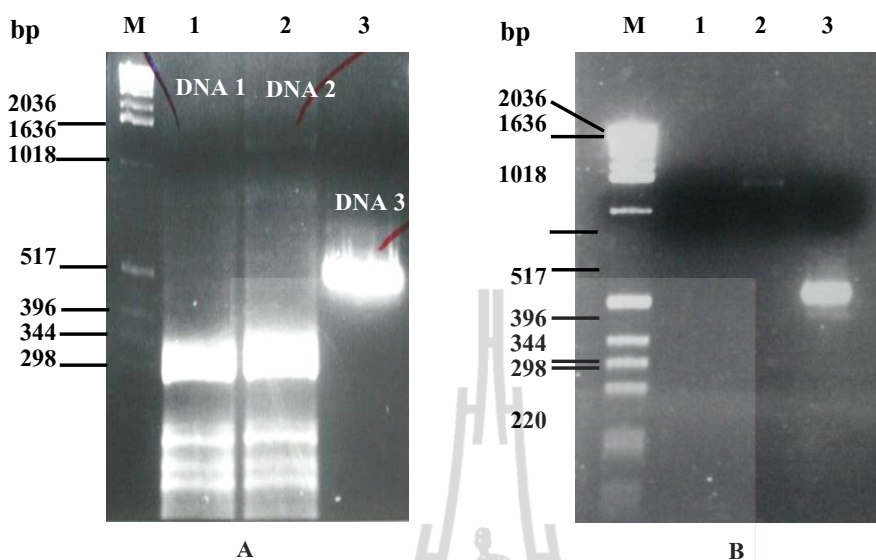
จาก 1st round, 2_A = dilute 1 : 50 เท่า ของ PCR product 2 จาก 1st round,

3_A = dilute 1 : 50 เท่า ของ PCR product 3 จาก 1st round, 4_A = dilute 1 : 50

เท่า ของ PCR product 4 จาก 1st round)

B = ผลการโคเลน cDNA ของยีน β -actin ด้วยวิธี PCR โดยใช้ gene specific primer (N_B = negative control, 1_B และ 2_B = cDNA ที่ได้จากสมองปลาสกิดตัวที่ 1, 3_B และ 4_B = cDNA ที่ได้จากสมองปลาสกิดตัวที่ 2)





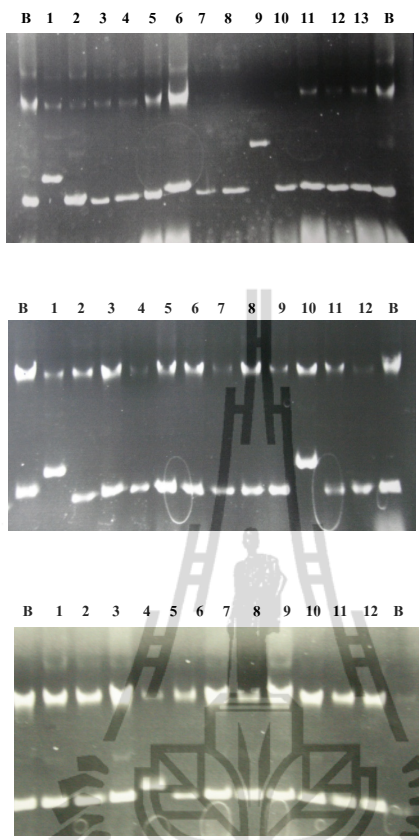
ภาพที่ 4.18 ผลการแยกขนาดและการทำให้บริสุทธิ์ของ cDNA ของ second PCR

ภาพ A ผลการแยกขนาดของดีเอ็นเอด้วยอิเล็กโทรforeซิสเจลเพื่อทำการตัดเจล

หมายเหตุ : M = DNA marker, หมายเลข 1 = ดีเอ็นเอจาก PCR product 1_A และ 2_A , หมายเลข 2 = ดีเอ็นเอจาก PCR product 3_A และ 4_A , หมายเลข 3 = ดีเอ็นเอจาก PCR product 1_B และ 2_B
ภาพ B ผลการทำให้ดีเอ็นเอมีความบริสุทธิ์

หมายเหตุ : M = DNA marker, หมายเลข 1 = ดีเอ็นเอชิ้นส่วนที่ 1 (DNA 1), หมายเลข 2 = ดีเอ็นเอชิ้นส่วนที่ 2 (DNA 2), หมายเลข 3 = ดีเอ็นเอชิ้นส่วนที่ 3 (DNA 3)

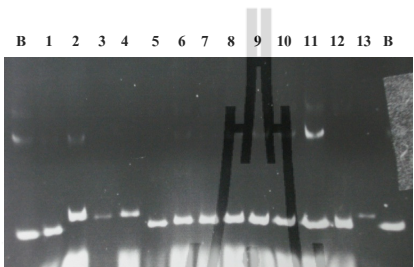
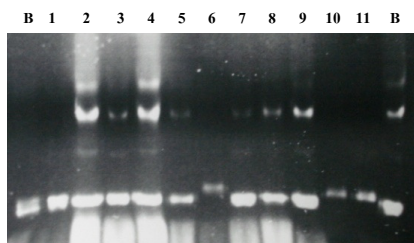
หลังจากนั้นนำชิ้นส่วนดีเอ็นเอที่ถูกทำให้บริสุทธิ์มาเชื่อมต่อ (ligation) เข้ากับเวคเตอร์ pGEM-T easy และทำการเคลื่อนย้าย recombinant DNA เข้าสู่ *E. coli* ที่มีคุณสมบัติเป็น competent cell ด้วยวิธี heat shock หลังจากนั้นนำเชื้อ *E. coli* ดังกล่าวมาเลี้ยงเชื้อบนอาหารเลี้ยงเชื้อแบบ selective media ซึ่งจะทำให้สามารถคัดโคลนนี้ที่ต้องการได้ ทำการเลือกโคลนนี้สืบทอดที่คาดการณ์ว่า มีพลาสมิดที่มี recombinant DNA และทำการคัดเลือกโคลนนี้ที่คาดการณ์ว่ามีพลาสมิดที่ไม่มี recombinant DNA 1-2 โคลนนี้ เพื่อนำมาเป็นโคลนนี้เปรียบเทียบกับโคลนนี้ที่พลาสมิดมี recombinant DNA และคัดเลือกโคลนนี้ที่คาดการณ์ว่าเป็นพลาสมิดที่มี recombinant DNA มาทำเป็น master plate หลังจากนั้นทำการตรวจสอบพลาสมิดที่มี recombinant DNA ด้วยวิธีอย่างง่าย (cracking) พบว่าโคลนนี้ที่พลาสมิดมี recombinant DNA จะมีชิ้นส่วนของพลาสมิดดีเอ็นเอที่อยู่สูงกว่าโคลนนี้ที่พลาสมิดไม่มี recombinant DNA (ดังภาพที่ 4.19 และ 4.20) จากการตรวจสอบหาพลาสมิดที่มี recombinant DNA พบว่าโคลนนี้ที่มีพลาสมิด recombinant DNA ของชิ้นที่ 2 ขนาดประมาณ 1000 bp มีทั้งหมด 6 โคลน (ดังภาพที่ 4.19) โคลนนี้ที่มีพลาสมิด recombinant DNA ของชิ้นที่ 3 ขนาดประมาณ 500 bp มีทั้งหมด 11 โคลน (ดังภาพที่ 4.20) หลังจากนั้นคัดเลือกโคลนนี้ที่มีพลาสมิดดีเอ็นเอดังกล่าวมาทำการเลี้ยงเชื้อและนำไปสักพลาสมิด แล้วทำการตรวจสอบผลด้วย Agarose gel electrophoresis และบันทึกผลการทดลองด้วยการถ่ายภาพ (ดังภาพที่ 4.21) หลังจากนั้นทำการตรวจสอบพลาสมิดอีกครั้ง โดยการตัดพลาสมิดดีเอ็นเอด้วยเอนไซม์ตัดขาพะ *Eco RI* พบว่าพลาสมิดหมายเลข 1, 3, 6 มี recombinant DNA ที่ 2 ซึ่งมีขนาดประมาณ 1000 bp กือส่วนของดีเอ็นเอที่คาดการณ์ว่าจะเป็นยีน β -actin ด้าน 3'RACE และมีส่วนดีเอ็นเอขนาดประมาณ 3015 bp กือส่วนของเวคเตอร์ pGEM-T Easy (ดังภาพที่ 4.22A) และพลาสมิดดีเอ็นเอที่มีชิ้นส่วนที่ 3 ขนาดประมาณ 500 bp ซึ่งเป็นชิ้นส่วนของ cDNA ของยีน β -actin จากการใช้ gene specific primer (GSP) ได้แก่ พลาสมิดหมายเลข 1, 3, 5 และ 9 (ดังภาพที่ 4.22B)



ภาพที่ 4.19 การตรวจสอบโคโลนีที่มีพลาสมิด recombinant DNA ของยีน β -actin ด้านปลาย 3', ด้วย

วิธีอย่างง่าย (cracking)

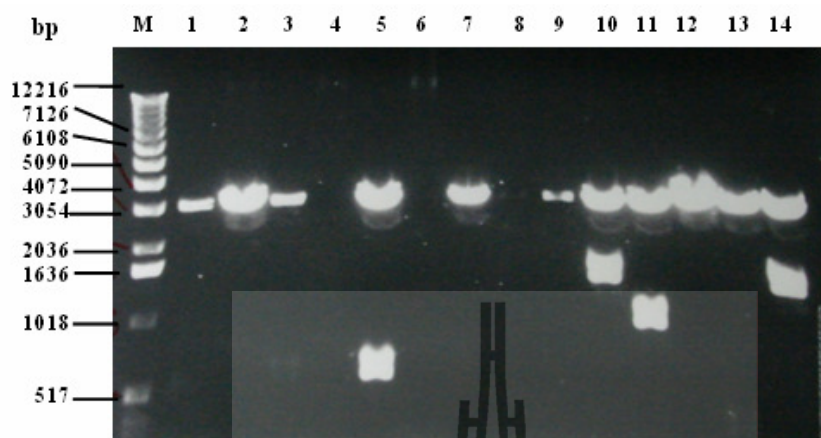
หมายเหตุ : B = โคโลนีสีฟ้า (blue colony), หมายเลข 1 ถึง 13 = โคโลนีสีขาว (white colony)



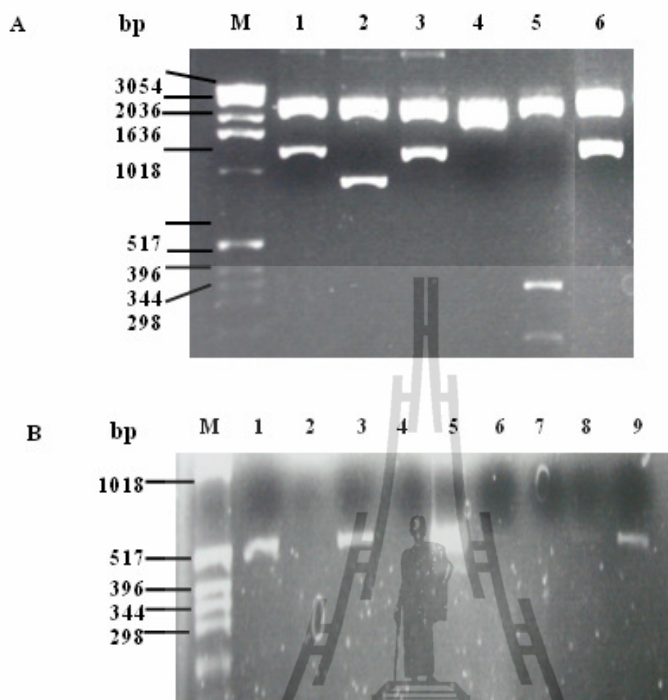
ภาพที่ 4.20 การตรวจสอบโโคโลนีที่มีพลาสมิด recombinant DNA ของยีน β -actin ที่มีขนาดประมาณ

500 bp จากการใช้ gene specific primer (GSP) ด้วยวิธีอ่ายง่าย (cracking)

หมายเหตุ : B = โโคโลนีสีฟ้า (blue colony), หมายเลข 1 ถึง 13 = โโคโลนีสีขาว (white colony)



ภาพที่ 4.21 พลาสมิดดีเอ็นเอที่มีชิ้นส่วนของ cDNA ของยีน β -actin จากการใช้ gene specific primer (GSP) และชิ้นส่วนของ cDNA ของยีน β -actin ด้านปลาย 3' ที่มีการเข้ามต่อเวลาครึ่งชั่วโมงต่อเวลาครึ่งชั่วโมง : M = DNA marker, หมายเลข 1 ถึง 9 = พลาสมิดที่มีชิ้นส่วนของ recombinant DNA ของยีน β -actin จากการใช้ gene specific primer (GSP) และหมายเลข 10 ถึง 14 = พลาสมิดที่มีชิ้นส่วนของ recombinant DNA DNA ของยีน β -actin ด้านปลาย 3'



ภาพที่ 4.22 การตรวจสอบการเชื่อมต่อของพลาสมิดที่มีชิ้นส่วนของ cDNA ของยีน β -actin โดยการตัดพลาสมิดด้วยอีนไซม์ตัดจำเพาะ *Eco RI*

ภาพ A ผลการตัดพลาสมิดดีอีนของยีน β -actin ด้านปลาย 3'

หมายเหตุ : M = DNA marker, หมายเลข 1 ถึง 6 = พลาสมิดที่มีชิ้นส่วนของ recombinant

DNA ของ cDNA ของยีน β -actin ด้านปลาย 3'

ภาพ B ผลการตัดพลาสมิดดีอีนของยีน β -actin จากการใช้ gene specific primer (GSP)

หมายเหตุ : M = DNA marker, หมายเลข 1 ถึง 9 = พลาสมิดที่มีชิ้นส่วนของ recombinant

DNA ของ cDNA ของยีน β -actin จากการใช้ gene specific primer (GSP)

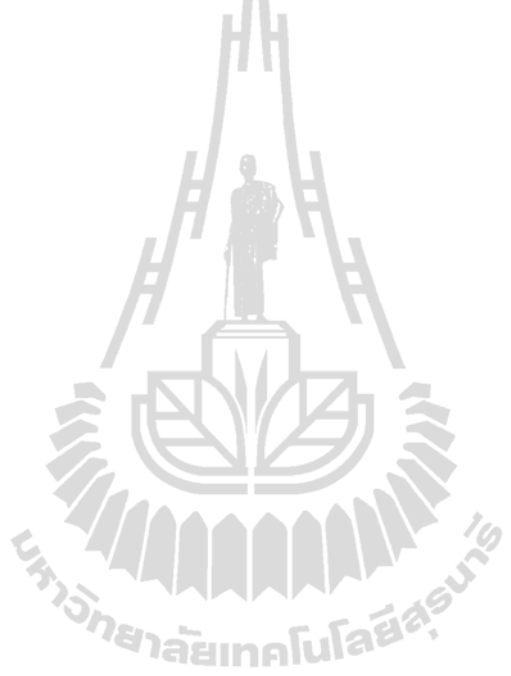
เมื่อทำการวัดความเข้มข้นของพลาสมิดแล้วจึงทำการส่งตัวอย่างวิเคราะห์ลำดับนิวคลีโอไทด์ โดยพลาสมิดดีเอ็นเอของยีน β -actin ด้านปลาย 3' จะส่งตัวอย่างพลาสมิดหมายเลข 1, 3 และ 6 ส่วนพลาสมิดดีเอ็นเอยีน β -actin จากการใช้ gene specific primer (GSP) ทำการส่งตัวอย่าง พลาสมิดหมายเลข 1, 3 และ 5 พนว่าพลาสมิดดังกล่าวมีชิ้นส่วนของดีเอ็นเอยีน β -actin ซึ่งต้องทำการเปรียบเทียบลำดับนิวคลีโอไทด์ของพลาสมิดในแต่ละโคลน โดยขั้นแรกเปรียบเทียบระหว่างนิวคลีโอไทด์ที่มีการอ่านจากด้าน T7 promotor ไปยังด้าน SP6 promotor และด้าน SP6 promotor ไปยังด้าน T7 promotor โดยด้านนี้จะต้องมีการทำเป็น complementary ก่อน หลังจากนั้น จึงเปรียบเทียบความเหมือน (homology) ระหว่างทั้งสองด้าน เมื่อเปรียบเทียบในแต่ละโคลนแล้ว จึงนำลำดับนิวคลีโอไทด์ของพลาสมิดที่มีขนาดดีเอ็นเอของยีน β -actin ด้านปลาย 3' ในแต่ละโคลนมาเปรียบเทียบกัน หลังจากนั้นทำการสรุปลำดับนิวคลีโอไทด์และทำการแปลงลำดับนิวคลีโอไทด์ไปเป็นลำดับกรดอะมิโน (ดังภาพที่ 4.23) ในการวิเคราะห์ลำดับนิวคลีโอไทด์ของพลาสมิดดีเอ็นเอของ cDNA ของยีน β -actin จากการใช้ gene specific primer (GSP) ที่ทำการวิเคราะห์เห็นเดียวกัน จากนั้นทำการสรุปลำดับนิวคลีโอไทด์และทำการแปลงลำดับนิวคลีโอไทด์ไปเป็นลำดับกรดอะมิโน (ดังภาพที่ 4.24) หลังจากนั้นทำการเปรียบเทียบลำดับกรดอะมิโนของยีน β -actin ที่เป็นส่วนที่ได้จากการโคลน cDNA ของยีน β -actin ด้านปลาย 3' ด้วยวิธี RACE และส่วนที่ได้จากการโคลนด้วยวิธี PCR โดยใช้ gene specific primer ในปลาสกิด (Tp actin 3'RACE และ Tp actin GSP ตามลำดับ) กับลำดับกรดอะมิโนของยีน β -actin ของปลาชนิดอื่น ๆ (ดังภาพที่ 4.25)

	10	20	30	40	50	60
ACTACCTCATCAAGATCCTGACAGAGCGTGGCTACTCTTCACCACAGCCGAGAGGG						
Y L I K I L T E R G Y S F T T T A E R E						
70 80 90 100 110 120						
AAATCGTGCCTGACATCAAGGAGAACGCTGTGCTACGTGCCCTGGACTCGAGCAGGAGA						
I V R D I K E K L C Y V A L D F E Q E M						
130 140 150 160 170 180						
TGGGCACTGCAGCCTCCTCTCTGGAGAACGAGCTATGAGCTGCCCGACGGACAGG						
G T A A S S S S L E K S Y E L P D G Q V						
190 200 210 220 230 240						
TCATCACCATGGTAATGAGAGGTTCCGTTGCCAGAGGCCCTCTCCAGCCTCCTCC						
I T I G N E R F R C P E A L F Q P S F L						
250 260 270 280 290 300						
TTGGTATGGAGTCCTGCGGAATCCATGAGACCACCTACAATAGTATCATGAAGTGCGACG						
G M E S C G I H E T T Y N S I M K C D V						
310 320 330 340 350 360						
TTGACATCCGTAAGGACCTGTACGCCAACACCGTGCTGTCTGGTGGTACCACTGTACC						
D I R K D L Y A N T V L S G G T T M Y P						
370 380 390 400 410 420						
CCGGCATGCCGACAGGATGCAGAACAGGAGATCACAGCCCTGGCCCCATCCACCATGAAGA						
G I A D R M Q K E I T A L A P S T M K I						
430 440 450 460 470 480						
TCAAGATCATTGCCAACCTGAGCGTAAATACTCTGTCTGGATTGGAGGCTCCATCCTGG						
K I I A P P E R K Y S V W I G G S I L A						
490 500 510 520 530 540						
CCTCCCTGTCCACCTCCAGCAGATGTGGATCAGCAAGCAGGAGTACGATGAGTCCGGCC						
S L S T F Q Q M W I S K Q E Y D E S G P						
550 560 570 580 590 600						
CCTCCATTGTCCACCGCAAATGCTTCTAAACGGACTGTTCTCTCCCTCCCCAAC						
S I V H R K C F *						
610 620 630 640 650 660						
AAACACCCAACAATTCACTGCAGCTCTGTGCAACGACCACAAACACATTATCATACACACTCGG						
670 680 690 700 710 720						
GCGCAGAGCCTAGATGACCAACTCATTGGCATGGCTTCAGTTATTTGGCGCTTGACTC						
730 740 750 760 770 780						
AGGATTTAAAAAACTGGAACGATGAAGGATACAGTAATGTTTGGTAGGTATAAAAG						
790 800 810 820 830 840						
CACCTTAAGATTCTGCACCTGGGTCTTAAAAAAATGTACATTTTTTTTTTTTT						
850 860 870 880 890 900						
GAGTCATTCCAAATGTTGTTACTGCATTGTCAGACACATGATTCAAATGTTAACTG						
910 920 930 940 950 960						
CATTGTTAGACACGTATTGCCTCTGTGAAGGCTCCCAGTGGTGGCGCATACTTAAA						
970 980 990 1000 1010 1020						
CATTGTTAGTATCGTTGTATGAAATTATGTTGGGTTTTGTACTTCAGCCTTA						

ภาพที่ 4.23 ผลการแปลงลำดับนิวคลีโอไทด์เป็นกรดอะมิโนของ cDNA ของยีน β -actin ด้านปลาย 3'
ในปลาสกิดด้วยวิธี RACE (Tp actin 3'RACE)

1030 1040 1050 1060 1070 1080
AAAATCTGGTCCTGTTAATTTTTTGTGTTATGCAAAACCCATTGTGACCT
1090 1100 1110 1120 1130 1140
CTCCTCCCCCTGTTCAACCTGGGGCAGTGGGGAAAAGGGGTCTCAAAGTGAAGGGGTAA
1150 1160 1170 1180 1190 1200
CAAGGGGTGCCAGACCGGTGGGGCCAACCTGTACACTGAATGAAACAATCCAATAAAGT
1210 1220 1230 1240 1250
GCACATGTGTTCCGAATAAAAAAAAAAAAAAA

ภาพที่ 4.23 ผลการเปล่งลำดับนิวคลีโอไทด์เป็นกรดอะมิโนของ cDNA ของยีน β -actin ด้านปลาย 3'
ในปลาสลิดดี้บีช RACE (Tp actin 3'RACE) (ต่อ)



10	20	30	40	50	60
ACTACCTCATCAAGATCCTGACAGAGCGTGGCTACTCTTCACCACAGCCGAGAGGG					
Y L I K I L T E R G Y S F T T T A E R E					
70 80 90 100 110 120					
AAATCGTGCCTGACATCAAGGAGAACGCTGTGCTACGTCGCCCTGGACTTCGAGCAGGAGA					
I V R D I K E K L C Y V A L D F E Q E M					
130 140 150 160 170 180					
TGGGCACTGCAGCCTCCTCTCTGGAGAACGAGCTATGAGCTGCCCGACGGACAGG					
G T A A S S S S L E K S Y E L P D G Q V					
190 200 210 220 230 240					
TCATCACCATGGTAATGAGAGGTTCCGTTGCCAGAGGCCCTCTCCAGCCTCCCTCC					
I T I G N E R F R C P E A L F Q P S F L					
250 260 270 280 290 300					
TTGGTATGGAGTCCTGCGGAATCCATGAGACCA CCTACAATAGTATCATGAAGTGC GACG					
G M E S C G I H E T T Y N S I M K C D V					
310 320 330 340 350 360					
TTGACATCCGTAAGGACCTGTACGCCAACACCGTGCTGTCGGTGGTACCA CCTGTACC					
D I R K D L Y A N T V L S G G T T M Y P					
370 380 390 400 410 420					
CCGGCATGCCGACAGGATGCAGAAGGAGATCACAGCCCTGGCCCCATCCACCATGAAGA					
G I A D R M Q K E I T A L A P S T M K I					
430 440 450 460 470 480					
TCAAGATCATTGCCACCTGAGCGTAAATACTCTGTCTGGATTGGAGGCTCCATCCTGG					
K I I A P P E R K Y S V W I G G S I L A					
490 500 510 520					
CCTCCCTGTCCACCTCCAGCAGATGTGGATCAGCAA					
S L S T F Q Q M W I S K					

ภาพที่ 4.24 ผลการการแปลงลำดับนิวคลีโอไทด์ไปเป็นลำดับกรดอะมิโนของ cDNA ของยีน β -actin ในปลาสกิดด้วยวิธี PCR โดยใช้ gene specific primer (Tp actin GSP)

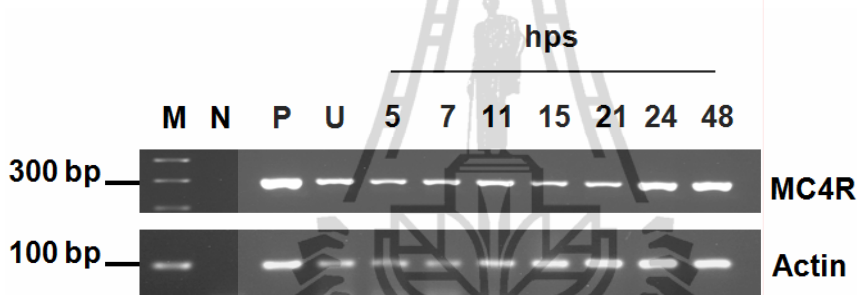
Saebass	MEDEIAALVVVDNGSGMCKAGFAGDDAPRAVFPSIVGRPRHQGVMVGMQKDSYVGDEAQSKRGILTLNYPIEHGI	75
Croaker	MEDEIAALVVVDNGSGMCKAGFAGDDAPRAVFPSIVGRPRHQGVMVGMQKDSYVGDEAQSKRGILTLKYPIEHGI	75
Grouper	MEDEIAALVVVDNGSGMCKAGFAGDDAPRAVFPSIVGRPRHQGVMVGMQKDSYVGDEAQSKRGILTLKYPIEHGI	75
Sculpin	MEDEIAALVVVDNGSGMCKAGFAGDDAPRAVFPSIVGRPRHQGVMVGMQKDSYVGDEAQSKRGILTLKYPIEHGI	75
Flounder	MEDEIAALVVVDNGSGMCKAGFAGDDAPRAVFPSIVGRPRHQGVMVGMQKDSYVGDEAQSKRGILTLKYPIEHGI	75
Tilapia	MEDEIAALVVVDNGSGMCKAGFAGDDAPRAVFPSIVGRPRHQGVMVGMQKDSYVGDEAQSKRGILTLKYPIEHGI	75
Sillago	MEDEIAALVVVDNGSGMCKAGFAGDDAPRAVFPSIVGRPRHQGVMVGMQKDSYVGDEAQSKRGILTLKYPIEHGI	75
Perch	MDDEIAALVVVDNGSGMCKAGFAGDDAPRAVFPSIVGRPRHQGVMVGMQKDSYVGDEAQSKRGILTLKYPIEHGI	75
Tpactin 3'RACE	-----	
Tpactin GSP	-----	
 Saebass	 VTNWDDMEKIWHHTFYNELRVAPEEHPVLLTEAPLNPKANREKMTQIMFETFNTPAMYVAIQAVLSLYASGRTTG	150
Croaker	VTNWDDMEKIWHHTFYNELRVAPEEHPVLLTEAPLNPKANREKMTQIMFETFNTPAMYVAIQAVLSLYASGRTTG	150
Grouper	VTNWDDMEKIWHHTFYNELRVAPEEHPVLLTEAPLNPKANREKMTQIMFETFNTPAMYVAIQAVLSLYASGRTTG	150
Sculpin	VTNWDDMEKIWHHTFYNELRVAPEEHPVLLTEAPLNPKANREKMTQIMFETFNTPAMYVAIQAVLSLYASGRTTG	150
Flounder	VTNWDDMEKIWHHTFYNELRVAPEEHPVLLTEAPLNPKANREKMTQIMFETFNTPAMYVAIQAVLSLYASGRTTG	150
Tilapia	VTNWDDMEKIWHHTFYNELRVAPEEHPVLLTEAPLNPKANREKMTQIMFETFNTPAMYVAIQAVLSLYASGRTTG	150
Sillago	VTNWDDMEKIWHHTFYNELRVAPEEHPVLLTEAPLNPKANREKMTQIMFETFNTPAMYVAIQAVLSLYASGRTTG	150
Perch	VTNWDDMEKIWHHTFYNELRVAPEEHPVLLTEAPLNPKANREKMTQIMFETFNTPAMYVAIQAVLSLYASGRTTG	150
Tpactin 3'RACE	-----	
Tpactin GSP	-----	
 Saebass	 IVMDSGDGVTHTPPIYEGYALPHAILRLDLAGRDLTDYLMKILTERGSFTTAEREIWRDIKEKLKYVALDFEQ	225
Croaker	IVMDSGDGVTHTPPIYEGYALPHAILRLDLAGRDLTDYLMKILTERGSFTTAEREIWRDIKEKLKYVALDFEQ	225
Grouper	IVMDSGDGVTHTPPIYEGYALPHAILRLDLAGRDLTDYLMKILTERGSFTTAEREIWRDIKEKLKYVALDFEQ	225
Sculpin	IVMDSGDGVTHTPPIYEGYALPHAILRLDLAGRDLTDYLMKILTERGSFTTAEREIWRDIKEKLKYVALDFEQ	225
Flounder	IVMDSGDGVTHTPPIYEGYALPHAILRLDLAGRDLTDYLMKILTERGSFTTAEREIWRDIKEKLKYVALDFEQ	225
Tilapia	IVMDSGDGVTHTPPIYEGYALPHAILRLDLAGRDLTDYLMKILTERGSFTTAEREIWRDIKEKLKYVALDFEQ	225
Sillago	IVMDSGDGVTHTPPIYEGYALPHAILRLDLAGRDLTDYLMKILTERGSFTTAEREIWRDIKEKLKYVALDFEQ	225
Perch	IVMDSGDGVTHTPPIYEGYALPHAILRLDLAGRDLTDYLMKILTERGSFTTAEREIWRDIKEKLKYVALDFEQ	225
Tpactin 3'RACE	-----	
Tpactin GSP	-----	
* * * * *		
Saebass	EMGTAASSSSLEKSYELPDGQVITIGNERFRCPEALFQPSFLGMXSCGIHETTYNSIMKCDVDIRKDLYANTVLS	300
Croaker	EMGTAASSSSLEKSYELPDGQVITIGNERFRCPEALFQPSFLGMESCGIHETTYNSIMKCDVDIRKDLYANTVLS	300
Grouper	EMGTAASSSSLEKSYELPDGQVITIGNERFRCPEALFQPSFLGMESCGIHETTYNSIMKCDVDIRKDLYANTVLS	300
Sculpin	EMGTAASSSSLEKSYELPDGQVITIGNERFRCPEALFQPSFLGMESCGIHETTYNSIMKCDVDIRKDLYANTVLS	300
Flounder	EMGTAASSSSLEKSYELPDGQVITIGNERFRCPEALFQPSFLGMESCGIHETTYNSIMKCDVDIRKDLYANTVLS	300
Tilapia	EMGTAASSSSLEKSYELPDGQVITIGNERFRCPEALFQPSFLGMESCGIHETTYNSIMKCDVDIRKDLYANTVLS	300
Sillago	EMGTAASSSSLEKSYELPDGQVITIGNERFRCPEALFQPSFLGMESCGIHETTYNSIMKCDVDIRKDLYANTVLS	300
Perch	EMGTAASSSSLEKSYELPDGQVITIGNERFRCPEALFQPSFLGMESCGIHETTYNSIMKCDVDIRKDLYANTVLS	300
Tpactin 3'RACE	EMGTAASSSSLEKSYELPDGQVITIGNERFRCPEALFQPSFLGMESCGIHETTYNSIMKCDVDIRKDLYANTVLS	113
Tpactin GSP	EMGTAASSSSLEKSYELPDGQVITIGNERFRCPEALFQPSFLGMESCGIHETTYNSIMKCDVDIRKDLYANTVLS	113
* * * * *		
Saebass	GGTTMYPGIADRMQEITEALAPSTMKIIAPPBKYSVWIGGSILASLSTFQQMWISKQEYDESGPSIVHRKCF	375
Croaker	GGTTMYPGIADRMQEITEALAPSTMKIIAPPBKYSVWIGGSILASLSTFQQMWISKQEYDESGPSIVHRKCF	375
Grouper	GGTTMYPGIADRMQEITEALAPSTMKIIAPPBKYSVWIGGSILASLSTFQQMWISKQEYDESGPSIVHRKCF	375
Sculpin	GGTTMYPGIADRMQEITEALAPSTMKIIAPPBKYSVWIGGSILASLSTFQQMWISKQEYDESGPSIVHRKCF	375
Flounder	GGTTMYPGIADRMQEITEALAPSTMKIIAPPBKYSVWIGGSILASLSTFQQMWISKQEYDESGPSIVHRKCF	375
Tilapia	GGTTMYPGIADRMQEITEALAPSTMKIIAPPBKYSVWIGGSILASLSTFQQMWISKQEYDESGPSIVHRKCF	375
Sillago	GGTTMYPGIADRMQEITEALAPSTMKIIAPPBKYSVWIGGSILASLSTFQQMWISKQEYDESGPSIVHRKCF	375
Perch	GGTTMYPGIADRMQEITEALAPSTMKIIAPPBKYSVWIGGSILASLSTFQQMWISKQEYDESGPSIVHRKCF	375
Tpactin 3'RACE	GGTTMYPGIADRMQEITEALAPSTMKIIAPPBKYSVWIGGSILASLSTFQQMWISKQEYDESGPSIVHRKCF	188
Tpactin GSP	GGTTMYPGIADRMQEITEALAPSTMKIIAPPBKYSVWIGGSILASLSTFQQMWISK-----	172
* * * * *		

ภาพที่ 4.25 ผลการเปรียบเทียบลำดับกรดอะมิโนของ cDNA ของยีน β -actin ของปลาชนิดต่าง ๆ

4.1.5 การศึกษาการแสดงของ mRNA *TpMC4R* ในระหว่างการพัฒนาการที่ระยะต่าง ๆ

ของตัวอ่อนปลาสลิด โดยใช้เทคนิค Reverse transcription PCR (RT-PCR)

การศึกษาการแสดงของ mRNA ของยีน *TpMC4R* ในตัวอ่อนระยะต่าง ๆ ของปลาสลิดโดยใช้เทคนิค RT-PCR ซึ่งจะมีการใช้ยีน β -actin เป็นตัวทดสอบคุณภาพของ cDNA ที่ถูกสังเคราะห์มาจาก total RNA ของไข่ที่ไม่ได้รับการปฏิสนธิ (unfertilized egg) และการพัฒนาการของตัวอ่อนปลาสลิดในระยะ 5, 7, 11, 15, 21, 24 และ 48 ชั่วโมงหลังจากการวางไข่ (hours post spawning: hps) และการศึกษาการแสดงออกของ mRNA ของยีน *TpMC4R* จะมีการใช้ primer MC4R และ β -actin ที่มีความเฉพาะเจาะจง ซึ่งจะมีขนาดของ PCR product เท่ากับ 289 bp และ 95 bp ตามลำดับ พบว่า mRNA ของยีน *TpMC4R* มีการแสดงออกในทุกระยะของการพัฒนาการของตัวอ่อนในปลาสลิด รวมไปถึงไข่ที่ไม่ได้รับการปฏิสนธิด้วย (ดูภาพที่ 4.26)



ภาพที่ 4.26 การแสดงออกของ mRNA ของยีน *TpMC4R* ในระหว่างการพัฒนาการของตัวอ่อนที่ระยะต่าง ๆ ของปลาสลิดโดยใช้เทคนิค RT-PCR

หมายเหตุ : M = DNA marker

N = Negative control ซึ่งใช้น้ำกําลັນที่ปราศจากอิオン (distilled water)

P = Positive control ซึ่งใช้ปลาสเม็ดดีอีนของยีน *TpMC4R* และ β -actin ของปลาสลิด

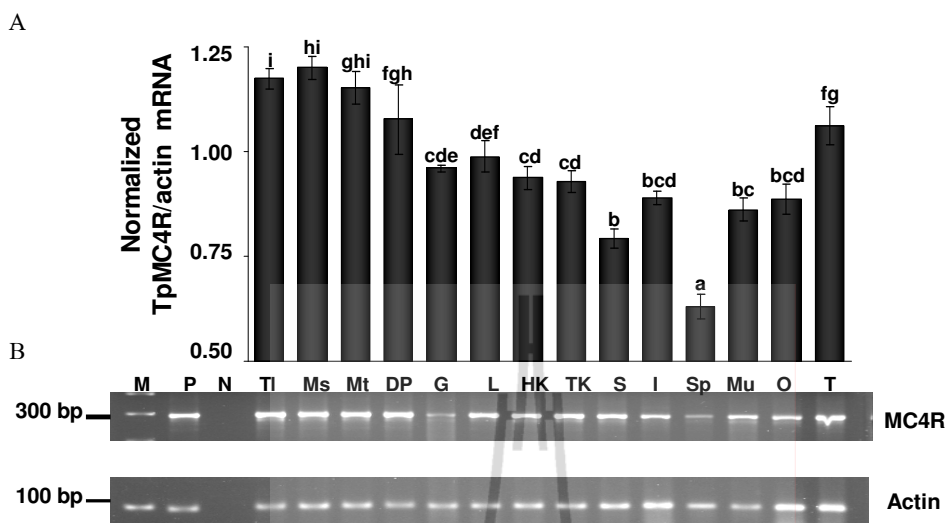
U = ไข่ที่ไม่ได้รับการปฏิสนธิ (unfertilized egg)

5, 7, 11, 15, 21, 24 และ 48 hours post spawning (hps) = ตัวอ่อนในระยะ 5, 7, 11, 15, 21, 24 และ 48 ชั่วโมงหลังจากการวางไข่

4.1.6 การศึกษาการแสดงของ mRNA ของยีน *TpMC4R* ในอวัยวะต่าง ๆ โดยใช้เทคนิค

Real time reverse transcription PCR (Real time RT-PCR)

การศึกษาระดับการแสดงของ mRNA ของยีน *TpMC4R* ในอวัยวะต่าง ๆ ของปลาสลิดทึ้งในเชิงปริมาณและคุณภาพ โดยใช้เทคนิค Real time RT-PCR ซึ่งมีการใช้ยีน β -actin เป็นยีนอ้างอิง (internal reference) เพื่อเป็นตัวมาตรฐานในการวิเคราะห์เปรียบเทียบการแสดงออกของยีน *MC4R* ในอวัยวะต่างๆ จากการศึกษาระดับการแสดงของ mRNA ของยีน *TpMC4R* พบว่า *TpMC4R* มีการแสดงออกในสมองทุกส่วนและในทุกอวัยวะของปลาสลิด ซึ่งอวัยวะที่มีการแสดงออกมากที่สุดคือ ในสมองทุกส่วน ได้แก่ สมองส่วน telencephalon, สมองส่วน mesencephalon, สมองส่วน metencephalon และสมองส่วน diencephalon รวมไปถึง pituitary gland และในอัณฑะ (testis) อวัยวะที่มีการแสดงออกของ mRNA ของยีน *TpMC4R* อยู่ในระดับปานกลาง คือ เหงือก (gill), ตับ (liver), ไตส่วนลำต่าง (trunk kidney), ลำไส้ (intestine), กล้ามเนื้อ (muscle) และ รังไข่ (ovary) อวัยวะที่มีการแสดงออกของ mRNA ของยีน *TpMC4R* อยู่ในระดับต่ำ คือ กระเพาะอาหาร (stomach) และอวัยวะที่มีการแสดงออกของ mRNA ของยีน *TpMC4R* อยู่ในระดับต่ำที่สุด คือ ม้าม (spleen) (ดั้งภาพที่ 4.27A และ 4.27B)



ภาพที่ 4.27 การแสดงออกของ mRNA ของยีน *TpMC4R* โดยใช้เทคนิค Real time RT-PCR ในสมอง ส่วนต่าง ๆ ได้แก่ สมองส่วน telencephalon (TI), สมองส่วน mesencephalon (Ms), สมองส่วน metencephalon (Mt), สมองส่วน diencephalon & pituitary (DP), อวัยวะต่าง ๆ ได้แก่ gill (G), liver (L), head kidney (HK), trunk kidney (TK), stomach (S), intestine (I), spleen (Sp), muscle (Mu), ovary (O) และ testis (T) ของปลาสกิด

ภาพ A ผลของ Real-Time RT PCR ซึ่งวัดระดับการแสดงออกของ mRNA *MC4R* จากการวิเคราะห์ร่วมกับ mRNA ของยีน β -actin เพื่อเป็นตัวมาตรฐานในการวิเคราะห์เปรียบเทียบการแสดงออกของยีน *MC4R* ในอวัยวะต่าง ๆ หลังจากนั้นทำการแปลงข้อมูลให้อยู่ในรูป log 10

หมายเหตุ : ค่าแสดงในรูป means \pm SE (จำนวนตัวอย่าง 4 ตัวอย่าง) และวิเคราะห์ค่าความแปรปรวนของข้อมูลแบบ one way ANOVA ตามด้วยการวิเคราะห์ความแตกต่างระหว่างอวัยวะด้วยวิธี Duncan's multiple range test ตัวอักษรที่เดียวกันแสดงความแตกต่างกันทางสถิติที่ระดับนัยสำคัญ $P<0.05$

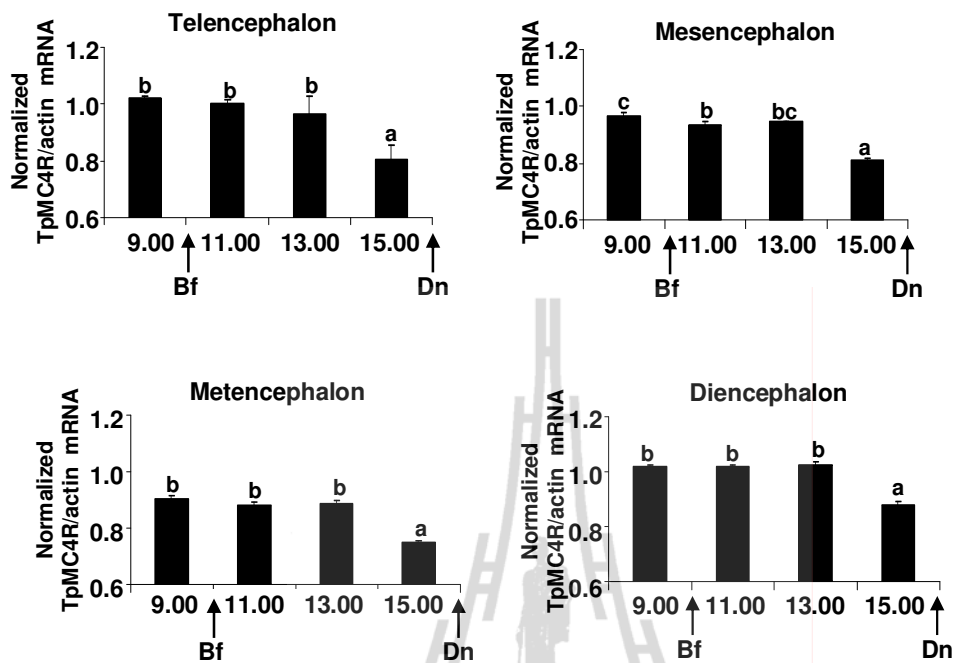
ภาพ B ผลการตรวจสอบ PCR products ด้วยเทคนิค agarose gel electrophoresis

หมายเหตุ : M = DNA marker, N = Negative control ซึ่งใช้น้ำกลันที่ปราศจากอิオン (distilled water), P = Positive control ซึ่งใช้พลาสติกดีเจเนอเรชัน p3-TpMC4R และ pActin ของปลาสกิด

4.2 แผนการดำเนินงานที่ 2 การศึกษาการแสดงออกของ mRNA ของ *TpMC4R* ในระหว่างมื้อาหารของการกินอาหารปกติ และผลของการลดอาหารระยะสั้นต่อการแสดงออกของ mRNA ของ *TpMC4R*

4.2.1 การศึกษาการแสดงออกของ mRNA ของยีน *TpMC4R* ในระหว่างมื้อาหารของการกินอาหารปกติ (daily feeding)

โดยปกติปลาสกิดกินอาหารในมื้อี้ช้าเวลา 10.00 น. และมื้อเย็นเวลา 16.00 น. ดังนั้นจึงทำการศึกษาปริมาณการแสดงออกของ mRNA ของยีน *TpMC4R* ในระหว่างมื้อาหารของปลาสกิดด้วยเทคนิค Real-time RT PCR ซึ่งจะทำการเก็บตัวอย่างสมองในแต่ละส่วน ได้แก่ สมองส่วน Telencephalon, สมองส่วน Mesencephalon, สมองส่วน Metencephalon และสมองส่วน Diencephalon ที่เวลา ก่อนอาหารมื้อี้ช้า 1 ชั่วโมง (9.00 น.), หลังมื้อาหาร 1 ชั่วโมง (11.00 น.), หลังมื้อาหาร 3 ชั่วโมง (13.00 น.) และก่อนอาหารมื้อเย็น 1 ชั่วโมง (15.00 น.) การหาระดับการแสดงออกของ mRNA ของยีน *TpMC4R* โดยจะวิเคราะห์ร่วมกับ mRNA ของยีน β -actin ซึ่งเป็นตัวมาตรฐานในการวิเคราะห์เปรียบเทียบการแสดงออกของยีน *TpMC4R* ในสมองแต่ละส่วนและในแต่ละช่วงเวลา จากการศึกษาพบว่าการแสดงออกของ mRNA ของยีน *TpMC4R* ในสมองแต่ละส่วนมีลักษณะการแสดงออกไปในทิศทางเดียวกัน โดยการแสดงออกของ mRNA ของยีน *TpMC4R* ที่เวลา ก่อนอาหารเช้า 1 ชั่วโมง มีระดับการแสดงออกที่ไม่แตกต่างจาก 1 ชั่วโมง และ 3 ชั่วโมง หลังอาหารเช้า และที่ 5 ชั่วโมง หลังอาหารเช้าหรือ 1 ชั่วโมง ก่อนอาหารเย็นมีระดับการแสดงออกของ mRNA ของยีน *TpMC4R* ลดลงอย่างมีนัยสำคัญทางสถิติ ($P < 0.05$) (ดังภาพที่ 4.28)



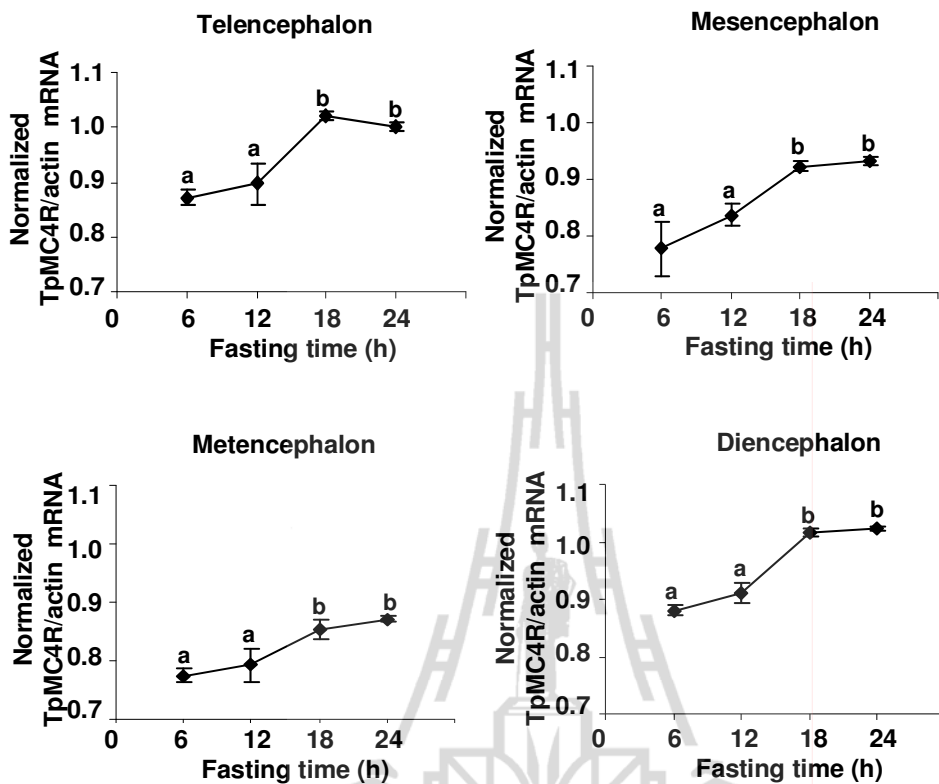
ภาพที่ 4.28 ระดับการแสดงออกของ mRNA ของยีน *TpMC4R* ด้วยเทคนิค Real-Time RT-PCR ในระหว่างมื้ออาหาร (daily feeding) โดยปกติปลาสลิดกินอาหารในมื้อเช้าเวลา 10.00 น. (breakfast : Bf) และมื้อเย็นเวลา 16.00 น. (dinner : Dn) การศึกษาในครั้งนี้ทำการเปรียบเทียบระดับการแสดงออกของ mRNA ของยีน *TpMC4R* ของสมองในแต่ละส่วน ได้แก่ สมองส่วน Telencephalon, สมองส่วน Mesencephalon, สมองส่วน Metencephalon และ สมองส่วน Diencephalon โดยใช้ mRNA ของยีน β -actin เป็น internal standard ปริมาณของ mRNA ของยีน *TpMC4R* และ β -actin วิเคราะห์โดยเปรียบเทียบค่า Cp กับกราฟมาตรฐานค่า Cp ของพลาสมิดยีน *TpMC4R* (p3-TpMC4R) และพลาสมิดของยีน β -actin (pActin) ที่ทราบความเข้มข้น การคำนวณทำโดยการแปลงข้อมูลให้อยู่ในรูป log 10

หมายเหตุ : ค่าแสดงในรูป means \pm SE (จำนวนตัวอย่าง 5 ตัวอย่าง) และวิเคราะห์ค่าความแปรปรวนของข้อมูลแบบ one way ANOVA ตามด้วยการวิเคราะห์ความแตกต่างระหว่างช่วงเวลา ด้วยวิธี Duncan's multiple range test ตัวอักษรที่แตกต่างแสดงความแตกต่างกันทางสถิติที่ระดับนัยสำคัญ $P < 0.05$

4.2.2 การศึกษาผลของการอดอาหาร (fasting period) ระยะสั้นต่อการแสดงออกของ mRNA

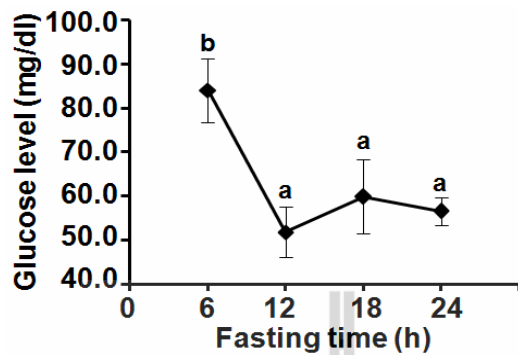
ของยีน *TpMC4R*

ทำการศึกษาปริมาณการแสดงออกของ mRNA ของยีน *TpMC4R* ในสภาวะการอดอาหารระยะสั้นของปลาสลิด ด้วยเทคนิค Real-time RT PCR ซึ่งจะทำการเก็บตัวอย่างสมองในแต่ละส่วน ได้แก่ สมองส่วน Telencephalon, สมองส่วน Mesencephalon, สมองส่วน Metencephalon และสมองส่วน Diencephalon ซึ่งจะทำการเก็บตัวอย่างหลังจากการกินอาหารที่ 6, 12, 18 และ 24 ชั่วโมง (การอดอาหาร 6, 12, 18 และ 24 ชั่วโมง) พบร่วมกันว่าการแสดงออกของ mRNA ของยีน *TpMC4R* ในสมองแต่ละส่วนมีรูปแบบการแสดงออกไปในทิศทางเดียวกัน โดยที่เวลาการอดอาหาร 6 ชั่วโมง มีระดับการแสดงออกของ mRNA ของยีน *TpMC4R* อยู่ในระดับต่ำและมีการแสดงออกของ mRNA ของยีน *TpMC4R* เพิ่มขึ้น เมื่อระยะเวลาของการอดอาหารเพิ่มขึ้น แต่อย่างไรก็ตามผลของการแสดงออกของ mRNA ของยีน *TpMC4R* ของช่วงเวลาการอดอาหารที่ 6 และ 12 ชั่วโมง ไม่มีผลแตกต่างกันในทางสถิติ และที่เวลาการอดอาหาร 18 ชั่วโมงมีระดับการแสดงออกของ mRNA ของยีน *TpMC4R* สูงขึ้นอย่างมีนัยสำคัญทางสถิติ ($P<0.05$) แต่ระดับการแสดงออกไม่มีผลแตกต่างในทางสถิติจากชั่วโมงการอดอาหารที่ 24 ชั่วโมง (ดังภาพที่ 4.29) และพบว่าปลาสลิดที่มีการอดอาหารเป็นระยะเวลา 6 ชั่วโมง มีระดับกลูโคสในเลือดสูง และเมื่อระยะเวลาการอดอาหารเพิ่มมากขึ้นก็จะมีผลทำให้ระดับกลูโคสในเลือดลดลงอย่างมีนัยสำคัญทางสถิติ ($P<0.05$) (ดังภาพที่ 4.30)



ภาพที่ 4.29 ระดับการแสดงออกของ mRNA ของยีน *TpMC4R* ด้วยเทคนิค Real-Time RT-PCR ในสภาวะการอดอาหารระยะสั้น (short fasting period) การศึกษาในครั้งนี้ทำการเปรียบเทียบระดับการแสดงออกของ mRNA ของยีน *TpMC4R* ของสมองในแต่ละส่วน ได้แก่ สมองส่วน Telencephalon, สมองส่วน Mesencephalon, สมองส่วน Metencephalon และ สมองส่วน Diencephalon โดยใช้ mRNA ของยีน β -actin เป็น internal standard ปริมาณของ mRNA ของยีน *TpMC4R* และ β -actin วิเคราะห์โดยเปรียบเทียบค่า Cp กับ กราฟมาตราฐานค่า Cp ของพลาสมิด *TpMC4R* (p3-*TpMC4R*) และพลาสมิด β -actin (pActin) ที่ทราบความเข้มข้น การคำนวณทำโดยการแปลงข้อมูลให้อยู่ในรูป log 10

หมายเหตุ : ค่าแสดงในรูป means \pm SE (จำนวนตัวอย่าง 5 ตัวอย่าง) และวิเคราะห์ค่าความแปรปรวนของข้อมูลแบบ one way ANOVA ตามด้วยการวิเคราะห์ความแตกต่างระหว่างระยะเวลาของการอดอาหารด้วยวิธี Duncan's multiple range test ตัวอักษรที่แตกต่างแสดงความแตกต่างกันทางสถิติที่ระดับนัยสำคัญ $P < 0.05$



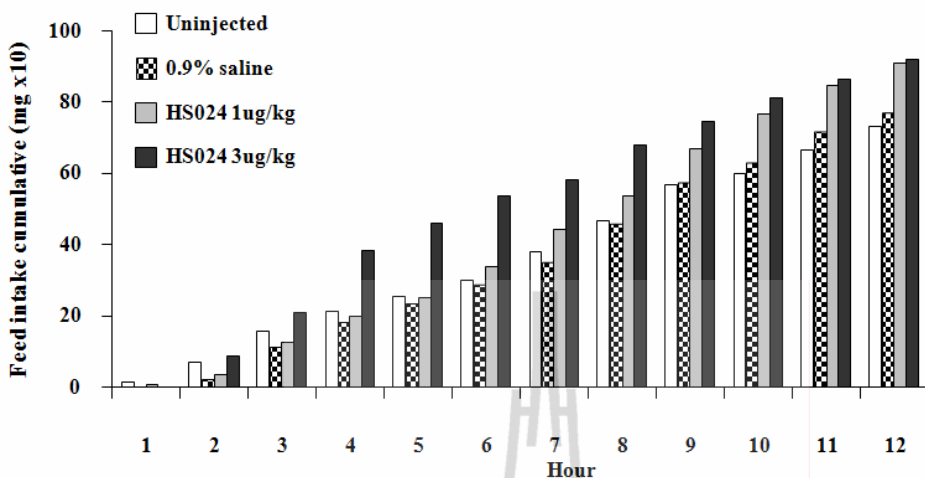
ภาพที่ 4.30 ระดับกลูโคสในเลือดของปลาสลิดที่มีการอดอาหารในระยะสั้น (short fasting period)
 หมายเหตุ : ค่าแสดงในรูป means \pm SE (จำนวนตัวอย่าง 7ตัวอย่าง) และวิเคราะห์ความแปรปรวน
 ของข้อมูลแบบ one way ANOVA ตามค่าวิเคราะห์ความแตกต่างระหว่างระยะเวลา
 ของการอดอาหาร ด้วยวิธี Duncan's multiple range test ตัวอักษรที่แตกต่างแสดงความ
 แตกต่างกันทางสถิติที่ระดับนัยสำคัญ $P < 0.05$

4.3 แผนการดำเนินงานที่ 3 การศึกษาผลของ MC4R antagonist ต่ออัตราการกินได้ของ

ปลาสลิด และการแสดงออกของ mRNA ของ *TpMC4R* ในสมองของปลาสลิด

4.3.1. การศึกษาผลของ MC4R antagonist ต่ออัตราการกินได้ของปลาสลิด

จากการทดสอบระดับการฉีด MC4R antagonist (HS024) ที่มีผลต่อการเพิ่มการกินได้ของปลาสลิด พบว่าปลาสลิดที่มีการฉีด HS024 1 $\mu\text{g}/\text{kg}$ มีผลการกินได้มากกว่าการฉีด HS024 ที่ระดับอื่น ๆ และมีการกินได้ที่เพิ่มขึ้นหลังจากเวลาที่มีการฉีดเพิ่มขึ้น ในกลุ่มปลาสลิดที่มีการฉีด HS024 ที่ระดับ 0.1 $\mu\text{g}/\text{kg}$, 0.5 $\mu\text{g}/\text{kg}$, 10 $\mu\text{g}/\text{kg}$, 25 $\mu\text{g}/\text{kg}$, 50 $\mu\text{g}/\text{kg}$ และ 100 $\mu\text{g}/\text{kg}$ มีผลการกินได้ที่น้อยกว่าปลาสลิดที่มีการฉีด 0.9% saline และปลาสลิดในกลุ่มควบคุม ส่วนปลาสลิดที่มีการฉีด HS024 0.1 $\mu\text{g}/\text{kg}$ มีการกินได้ที่ต่ำที่สุด เมื่อเปรียบเทียบกับปลาสลิดในกลุ่มการทดลองอื่น ๆ และปลาสลิดที่มีการฉีด HS024 5 $\mu\text{g}/\text{kg}$ มีการกินได้ที่ไม่แตกต่างจากปลาสลิดที่มีการฉีด 0.9% saline และปลาสลิดในกลุ่มควบคุม ดังนั้นจึงทำให้ทราบว่าการฉีด HS024 ในระดับที่สูงเกินไปจะมีผลทำให้ปลาสลิดมีการกินได้ที่น้อยลง (ไม่มีการแสดงผล) ดังนั้นผู้วิจัยจึงตัดสินใจเลือกระดับการฉีด MC4R antagonist (HS024) คือ 1 $\mu\text{g}/\text{kg}$ และ 3 $\mu\text{g}/\text{kg}$ เพื่อศึกษาบทบาทการทำหน้าที่ของ MC4R ต่ออัตราการกินได้ของปลาสลิด โดยมีการแบ่งกลุ่มการทดลองทั้งหมด 4 กลุ่มการทดลอง คือ ปลาสลิด มีการฉีด HS024 1 $\mu\text{g}/\text{kg}$ และ 3 $\mu\text{g}/\text{kg}$ กลุ่มปลาสลิดที่มีการฉีด 0.9% saline และปลาสลิดในกลุ่มควบคุม ซึ่งจากการทดลองพบว่าปลาสลิดที่มีการฉีด HS024 3 $\mu\text{g}/\text{kg}$ มีการกินได้ที่เพิ่มขึ้นตั้งแต่ในชั่วโมงที่ 3 เมื่อเปรียบเทียบกับปลาสลิดในกลุ่มการทดลองอื่น ๆ และปลาสลิดที่มีการฉีด HS024 1 $\mu\text{g}/\text{kg}$ มีการกินได้ที่เพิ่มขึ้นตั้งแต่ในชั่วโมงที่ 6 เมื่อเปรียบเทียบกับปลาสลิดกลุ่มที่มีการฉีด 0.9% saline และปลาสลิดในกลุ่มควบคุม แต่ไม่มีผลแตกต่างอย่างมีนัยสำคัญทางสถิติ (ดังภาพที่ 4.31)



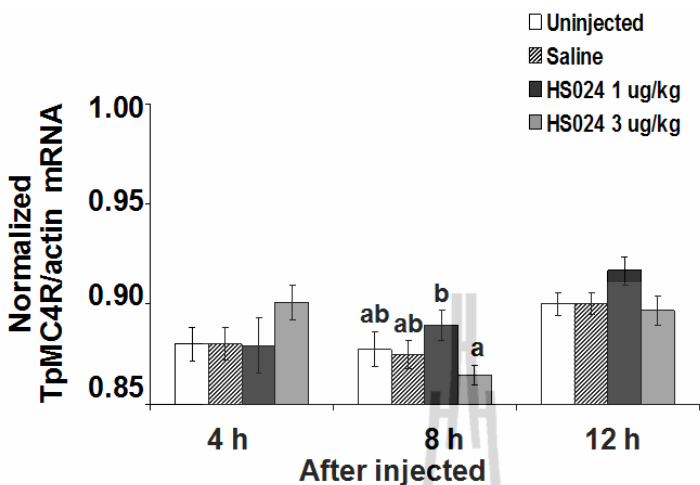
ภาพที่ 4.31 ผลของ MC4R antagonist (HS024) ต่อการกินได้ของปลาสลิด โดยทำการฉีด HS024 ที่ความเข้มข้น 1 $\mu\text{g}/\text{kg}$, 3 $\mu\text{g}/\text{kg}$ ซึ่งเปรียบเทียบการฉีด 0.9% saline และกลุ่มปลาสลิดที่ไม่ได้รับการฉีด HS024 (uninjected)

จากการศึกษาผลของการฉีด HS024 เข้ากล้ามเนื้อของปลาสลิด พบว่าการฉีด HS024 มีแนวโน้มต่อการเพิ่มการกินได้ในปลาสลิด ซึ่ง HS024 มีผลในการกระตุ้นการกินได้ตั้งแต่ในชั่วโมงที่ 3 และ 6 หลังจากการฉีด HS024 แต่ไม่มีผลแตกต่างอย่างมีนัยสำคัญทางสถิติ ซึ่งจากการทดลองดังกล่าว HS024 มีผลต่อการกินได้ที่ไม่ชัดเจน ซึ่งในทั้งนี้อาจเกิดได้จาก 2 สาเหตุ คือ 1. HS024 ไม่สามารถจับกับ MC4R ในปลาสลิดได้ จึงมีผลทำให้ HS024 ไม่มีผลต่อการเพิ่มการกินได้ในปลาสลิด และ 2. จากการฉีด HS024 เข้าไปในกล้ามเนื้อของปลาสลิด มีผลทำให้ HS024 ไปจับกับ MC4R ที่อยู่ในอวัยวะต่าง ๆ จึงอาจมีผลทำให้เกิดผลข้างเคียงต่อระบบการทำงานต่างๆ ภายในร่างกายปลาสลิด ซึ่งอาจส่งผลต่อการกินได้ จึงมีผลทำให้การฉีด HS024 มีผลต่อการกินได้ที่ไม่ชัดเจน ดังนั้นจึงนำไปสู่การศึกษาต่อไป คือการศึกษาผลของการใช้ HS024 ต่อการแสดงออกของ mRNA ของยีน *TpMC4R* ในสมองของปลาสลิด โดยมีการตั้งสมมุติฐานว่า ถ้า HS024 สามารถจับกับ MC4R ในปลาสลิดได้ ก็น่าจะมีผลต่อการเปลี่ยนแปลงระดับการแสดงออกของ mRNA ของยีน *TpMC4R* ในสมองของปลาสลิด

4.3.2 การศึกษาผลของ MC4R antagonist ต่อการแสดงออกของ mRNA ของยีน *TpMC4R*

4.3.2.1 การศึกษาผลของการฉีด MC4R antagonist (HS024) ต่อการแสดงออกของ mRNA ของยีน *TpMC4R*

การศึกษาผลของการใช้ MC4R antagonist (HS024) ต่อการแสดงออกของ mRNA ของยีน *TpMC4R* ในสมอง โดยทำการแบ่งกลุ่มการทดลองทั้งหมด 4 กลุ่มการทดลอง คือ ปลาสลิดในกลุ่มควบคุม (uninjected) กลุ่มปลาสลิดที่มีการฉีด 0.9% saline ปลาสลิดที่มีการฉีด HS024 1 $\mu\text{g}/\text{kg}$ และ 3 $\mu\text{g}/\text{kg}$ เข้ากล้ามเนื้อ และทำการเก็บตัวอย่างสมองของปลาสลิดที่ 4, 8 และ 12 ชั่วโมงหลังจากการฉีด หลังจากนั้นนำไปสกัด total RNA และสังเคราะห์เป็น first stand cDNA และทำการศึกษาปริมาณการแสดงออกของ mRNA ของยีน *TpMC4R* ด้วยเทคนิค Real-time RT PCR ซึ่งจากการศึกษาพบว่าหลังจากการฉีด 4 ชั่วโมง ปลาสลิดที่มีการฉีด HS024 3 $\mu\text{g}/\text{kg}$ มีการแสดงออกของ mRNA ของยีน *TpMC4R* สูงที่สุดเมื่อเปรียบเทียบกับการแสดงออกของ mRNA ของยีน *TpMC4R* ของปลาสลิดในกลุ่มการทดลองอื่น ๆ แต่ไม่มีความแตกต่างอย่างมีนัยสำคัญทางสถิติ หลังจากการฉีด HS024 ในชั่วโมงที่ 8 พบร่วมปลาสลิดที่มีการฉีด HS024 1 $\mu\text{g}/\text{kg}$ มีการแสดงออกของ mRNA ของยีน *TpMC4R* สูงกว่าการแสดงออกของ mRNA ของยีน *TpMC4R* ของปลาสลิดที่มีการฉีด HS024 3 $\mu\text{g}/\text{kg}$ แต่ไม่มีความแตกต่างจากการแสดงออกของ mRNA ของยีน *TpMC4R* ในปลาสลิดกลุ่มควบคุม และปลาสลิดที่มีการฉีดด้วย 0.9% saline อย่างมีนัยสำคัญทางสถิติ และหลังจากการฉีด HS024 ในชั่วโมงที่ 12 พบร่วมไม่มีความแตกต่างของการแสดงออก mRNA ของยีน *TpMC4R* ของปลาสลิดในกลุ่มการทดลองต่าง ๆ ซึ่งจากการศึกษาการฉีด HS024 เข้ากล้ามเนื้อที่ระดับต่าง ๆ ไม่มีผลแตกต่างกันอย่างมีนัยสำคัญทางสถิติ ต่อระดับการแสดงออกของ mRNA ของยีน *TpMC4R* ซึ่งจะเห็นได้ว่าผลการศึกษามิสามารถตอบข้อสมมุติฐานได้ ดังนั้นจึงนำไปสู่การศึกษาต่อไป คือ การศึกษาผลของการฉีดสมองปลาสลิดในสาร MC4R antagonist ในระดับต่าง ๆ ต่อการแสดงออกของ mRNA ของยีน *TpMC4R*



ภาพที่ 4.32 ผลของ HS024 ต่อระดับการแสดงออกของ mRNA ของยีน *TpMC4R* ตัวอย่างที่ใช้เป็นสมองของปลาสลิดในกลุ่มควบคุม (uninjected) กลุ่มปลาสลิดที่มีการฉีด 0.9% saline และกลุ่มปลาสลิดที่มีการฉีด HS024 1 $\mu\text{g}/\text{kg}$ และ 3 $\mu\text{g}/\text{kg}$ โดยทำการศึกษาผลของการแสดงออกของ mRNA ของยีน *TpMC4R* หลังจากมีการฉีด antagonist HS024 ที่ 4, 8 และ 12 ชั่วโมง ซึ่งมีการใช้เทคนิค Real-Time RT-PCR โดยใช้ mRNA ของยีน $\beta\text{-actin}$ เป็น internal standard ปริมาณของ mRNA ของ *TpMC4R* และ $\beta\text{-actin}$ วิเคราะห์โดยเปรียบเทียบค่า C_p กับกราฟมาตรฐานค่า C_p ของปลาสมิดยีน *TpMC4R* (p3-TpMC4R) และปลาสมิดของยีน $\beta\text{-actin}$ (pActin) ที่ทราบความเข้มข้น การคำนวณทำโดยการแปลงข้อมูลให้อยู่ในรูป \log_{10}

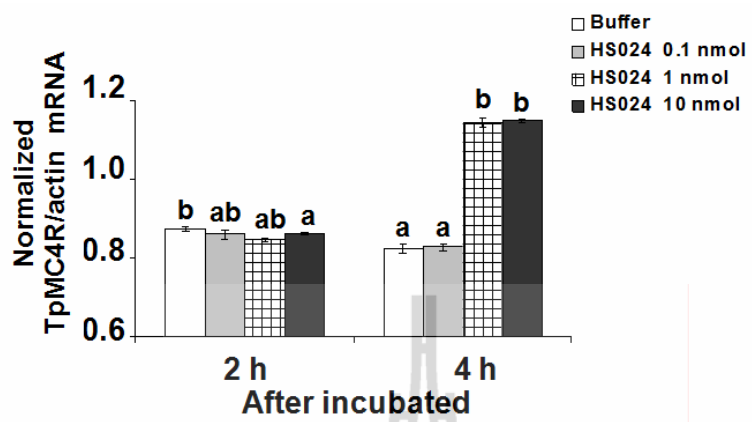
หมายเหตุ : ค่าแสดงในรูป means \pm SE (จำนวนตัวอย่าง 6 ตัวอย่าง) และวิเคราะห์ความแปรปรวน ของข้อมูลแบบ one way ANOVA ตามด้วยการวิเคราะห์ความแตกต่างระหว่างระยะเวลาด้วยวิธี Duncan's multiple range test ตัวอักษรที่แตกต่างแสดงความแตกต่างกันทางสถิติที่ระดับนัยสำคัญ $P < 0.05$



4.3.2.2 การศึกษาผลของการแช่ (incubate) สมอง ในสาร MC4R antagonist (HS024)

ในระดับต่าง ๆ ต่อการแสดงออกของ mRNA ของยีน *TpMC4R*

การศึกษาผลของการแช่สมองปลาสลิดในสาร MC4R antagonist (HS024) ในระดับต่าง ๆ ต่อการแสดงออกของ mRNA ของยีน *TpMC4R* โดยทำการแบ่งกลุ่มการทดลองทั้งหมด 4 กลุ่มการทดลอง ได้แก่ สมองปลาสลิดที่แช่ใน buffer (Holtfreter's solution), สมองปลาสลิดที่แช่ใน HS024 ที่มีความเข้มข้น 0.1 nmol, สมองปลาสลิดที่แช่ใน HS024 ที่มีความเข้มข้น 1 nmol และ สมองปลาสลิดที่แช่ใน HS024 ที่มีความเข้มข้น 10 nmol และทำการจับเวลาในการแช่ที่ 2 และ 4 ชั่วโมง หลังจากนั้นนำไปสกัด total RNA และสังเคราะห์เป็น first stand cDNA และทำการศึกษาปริมาณการแสดงออกของ mRNA ของยีน *TpMC4R* ด้วยเทคนิค Real-time RT PCR ซึ่งจาก การศึกษาจากผลการศึกษาพบว่าหลังจากการแช่สมอง 2 h ไม่มีความแตกต่างกันต่อระดับการแสดงออกของ mRNA ของยีน *TpMC4R* และสมองของปลาสลิดที่แช่ใน HS024 ที่มีความเข้มข้น 1 nmol และ 10 nmol เป็นเวลา 4 ชั่วโมงมีการแสดงออกของ mRNA ของยีน *TpMC4R* สูงกว่าการแสดงออก mRNA ของยีน *TpMC4R* ของสมองปลาสลิดที่แช่ใน buffer และสมองที่แช่ใน HS024 ความเข้มข้น 0.1 nmol อย่างมีนัยสำคัญทางสถิติ (ดังภาพที่ 4.33) ซึ่งก็แสดงให้เห็นว่า HS024 สามารถจับกับ MC4R ในปลาสลิดได้ดังนั้นผลของ MC4R antagonist (HS024) ต่อการกินได้ของปลาสลิดอาจเกิดจาก HS024 ไปจับกับ MC4R ในอวัยวะอื่น ๆ ของร่างกายของปลาสลิด จึงมีผลทำให้เกิดผลข้างเคียงต่อการกินได้ ซึ่งทำให้การนឹด HS024 เข้ากล้ามเนื้อมีผลต่อการกินได้ในปลาสลิดที่ไม่ชัดเจน



ภาพที่ 4.33 ผลของการแข่งขันของปลาสติกในสาร MC4R antagonist (HS024) ในระดับต่าง ๆ ต่อการแสดงออกของ mRNA ของยีน *TpMC4R* โดยทำการศึกษาผลของการแสดงออกของ mRNA ของยีน *TpMC4R* สมองปลาสติกที่แข่งใน buffer (Holtfreter's solution), HS024 ที่มีความเข้มข้น 0.1 nmol, 1 nmol และ 10 nmol เป็นเวลาที่ 2 และ 4 ชั่วโมง ซึ่งมีการใช้เทคนิค Real-Time RT-PCR โดยใช้ mRNA ของยีน β -actin เป็น internal standard ปริมาณของ mRNA ของ *TpMC4R* และ β -actin วิเคราะห์โดยเปรียบเทียบค่า Cp กับ กราฟมาตรฐานค่า Cp ของพลาสมิดยีน *TpMC4R* ($\text{p}3\text{-TpMC4R}$) และพลาสมิดยีน β -actin (pActin) ที่ทราบความเข้มข้น การคำนวณทำโดยการแปลงข้อมูลให้อยู่ในรูป \log_{10}

หมายเหตุ : ค่าแสดงในรูป $\text{means} \pm \text{SE}$ (จำนวนตัวอย่าง 6 ตัวอย่าง) และวิเคราะห์ค่าความแปรปรวน ของข้อมูลแบบ one way ANOVA ตามด้วยการวิเคราะห์ความแตกต่างระหว่างระยะเวลาการแข่งขันในสารละลายน้ำด้วยวิธี Duncan's multiple range test ด้วยอักษรที่แตกต่างแสดงความแตกต่างกันทางสถิติที่ระดับนัยสำคัญ $P < 0.05$

บทที่ 5

การอภิปรายผล

5.1 การโคลน cDNA เส้นสมบูรณ์ของยีน *TpMC4R* และการศึกษาการแสดงออกของ mRNA ของยีน *TpMC4R* ในระหว่างการพัฒนาการของตัวอ่อนและในวัยรุ่นๆ ของปลาสลิด

5.1.1 การศึกษาคุณลักษณะและโครงสร้าง cDNA เส้นสมบูรณ์ของยีน *TpMC4R*

จากการศึกษาลำดับนิวคลีโอไทป์ของ cDNA เส้นสมบูรณ์ของยีน *TpMC4R* มีความยาวเท่ากับ 1311 bp ประกอบไปด้วยส่วนของ open reading frame (ORF) 984 bp ซึ่งเมื่อทำการแปลงเป็นกรดอะมิโนจะมีจำนวนกรดอะมิโนเท่ากับ 327 residues และนอกจากนี้ยังประกอบไปด้วยในส่วนของ 5' untranslated region (UTR) มีนิวคลีโอไทป์เท่ากับ 17 bp และส่วนของ 3' UTR มีนิวคลีโอไทป์เท่ากับ 310 bp เมื่อทำการเปรียบเทียบความคล้ายคลึงกันของลำดับกรดอะมิโนของยีน *MC4R* ระหว่างปลาสลิด, คน, ไก่ และปลาชนิดต่างๆ ซึ่งพบว่าลำดับกรดอะมิโน *TpMC4R* ของปลาสลิดมีความคล้ายคลึงกับลำดับกรดอะมิโน *MC4R* อุ่นในช่วง 61-90% จากการศึกษาลักษณะโครงสร้างของยีน *TpMC4R* ในปลาสลิด โดยทำการเปรียบเทียบกับลักษณะโครงสร้างของยีน *MC4R* ในสัตว์มีกระดูกสันหลังชนิดต่างๆ ที่ได้มีการรายงานมาแล้วพบว่า *TpMC4R* มีลำดับกรดอะมิโนในบริเวณ TM คล้ายคลึงกับลำดับกรดอะมิโนในบริเวณ TM ของ *MC4R* ของสัตว์มีกระดูกสันหลังที่ทำการเปรียบเทียบในระดับ 61-100% โดยตำแหน่งของ TM จะมีความสำคัญต่อการจับและการทำปฏิกิริยาของ *MC4R* (Lagerstrom et al., 2003; Oosterom et al., 1999) และจากการเปรียบเทียบลักษณะโครงสร้างของกรดอะมิโนของ *TpMC4R* และยีน *MC4R* ในสัตว์มีกระดูกสันหลังชนิดต่างๆ พบร่วมในบริเวณ N-terminal domain และ ECL ในแต่ละตำแหน่งมีลำดับกรดอะมิโนที่มีความคล้ายคลึงกันอยู่ในระดับต่ำ เมื่อทำการพิจารณาพบว่าบริเวณ N-terminal domain ไม่มีความสำคัญต่อการจับและการทำปฏิกิริยาของ MCR กับ MSH (Srinivasan et al., 2004) นอกจากนี้โปรตีน *TpMC4R* ประกอบด้วย 15 cysteine residues ซึ่งจำนวนและตำแหน่งมีความเหมือนกับปลา fugu ปลา seabass และปลา brafin flounder ตัวในคน ไก่ ปลา goldfish ปลา zebrafish ปลา rainbow trout ปลา dogfish และปลา lamprey มี cysteine บางตัวเท่านั้นที่อยู่ในตำแหน่งเดียวกัน (Cerdá-Reverter et al., 2003; Haitina et al., 2004; Haitina et al., 2007; Klovins et al., 2004; Kobayashi et al., 2008; Ringholm et al., 2002; Sanchez et al., 2009; Takeuchi and Takahashi, 1998) ซึ่ง cysteine

residues มีความสำคัญต่อโครงสร้างที่ดูดภูมิในการสร้างพันธะไดซัลไฟฟ์ (disulphide bond) เพื่อเข้ามายังระหว่าง ECL ในแต่ละตำแหน่ง (Tarnow et al., 2003) DRY motif สามารถพบใน GPCRs ของสัตว์มีกระดูกสันหลังชนิดต่าง ๆ ซึ่ง DRY motif มีความสำคัญต่อการรักษาสภาพร่างของ MCR เมื่อออยู่ในสภาพที่ไม่สามารถจับ ligand ได้ (Schioth et al., 2005) ตำแหน่งของ N-glycosylation และตำแหน่ง phosphorylation ของโปรตีน TpMC4R และโปรตีน MC4R ของสัตว์มีกระดูกสันหลัง ส่วนใหญ่อยู่ในตำแหน่งเดียวกัน ซึ่งตำแหน่ง phosphorylation ที่อยู่ในบริเวณ ICL ที่ 2 จะมีความสำคัญต่อการกำหนดการจับของ G-protein ซึ่งมีความเกี่ยวข้องต่อการควบคุมระดับของปฏิกิริยา (Shinyama et al., 2003) นอกจากนี้ตำแหน่ง PMY motif, DPIIY (NPXXY) motif และตำแหน่งของ phosphorylation ที่อยู่ในบริเวณ C-terminal intracellular ของโปรตีน TpMC4R และโปรตีน MC4R ของสัตว์มีกระดูกสันหลังชนิดต่าง ๆ ก็อยู่ในตำแหน่งเดียวกัน จากการพิจารณาถึงโครงสร้างความคล้ายคลึงกันของลำดับนิวคลีโอไทด์ และลำดับกรดอะมิโนของ TpMC4R ในช่วงด้านมีความสอดคล้องกันกับการศึกษาความสัมพันธ์ทางวิวัฒนาการ โดยการสร้าง Phylogenetic tree ทำให้สามารถสรุปได้ว่า TpMC4R อยู่ในกลุ่มเดียวกันกับ MC4R ของสัตว์มีกระดูกสันหลังชนิดต่าง ๆ และ TpMC4R มีค่าความสัมพันธ์ทางวิวัฒนาการใกล้เคียงกับปลากระดูกแข็งมากที่สุด

จากการศึกษาลำดับกรดอะมิโนของ TpMC4R พบว่าโปรตีน TpMC4R ประกอบไปด้วยกรดอะมิโนในตำแหน่งต่าง ๆ ที่ได้มีการรายงานว่าตำแหน่งของกรดอะมิโนดังกล่าวมีความสำคัญต่อการจับของ ligand (Haitina et al., 2004; Klovins et al., 2004; Lagerstrom et al., 2003; Lee et al., 2001; Oosterom et al., 1999; Yang et al., 2000) โดยโปรตีน MC4R ในคนประกอบไปด้วยกรดอะมิโน Glu¹⁰⁰, Asp¹²², Asp¹²⁶, Met²⁰⁰, Trp²⁵⁸, Phe²⁶¹ และ His²⁶⁴ ซึ่งกรดอะมิโนเหล่านี้มีความสำคัญต่อการทำปฏิกิริยาร่วมกับ α -MSH (Adan et al., 2000; Lagerstrom et al., 2003; Lee et al., 2001; Yang et al., 2000) ซึ่งกรดอะมิโน Glu¹⁰⁰, Asp¹²⁶, Ser¹²⁷, Ala¹⁹², Phe²⁶⁷ และ Tyr¹⁸⁷ มีความสามารถในการกระตุ้นให้ MC4R สามารถจับกับ α -MSH (Lagerstrom et al., 2003; Yang et al., 2000) จากผลการศึกษาพบว่าโปรตีน TpMC4R ประกอบไปด้วย Glu¹⁰⁰, Asp¹²³, Asp¹²⁷, Ser¹²⁸, Try¹⁸⁸, Met²⁰¹, Trp²⁵⁹, Phe²⁶² และ His²⁶⁵ ซึ่งมีกรดอะมิโนที่เหมือนกันแต่ตำแหน่งของกรดอะมิโนจะไม่ตรงกัน เช่นเดียวกับโปรตีน MC4R ของปลา *brafin flounder*, ปลา *sae bass*, ปลา *fugu*, ปลา *rainbow trout*, ปลา *goldfish*, ปลา *zebra fish* และ ปลา *spiny dogfish* (Kobayashi et al., 2008; Sanchez et al., 2009; Klovins et al., 2004; Haitina et al., 2004; Cerda-Reverter et al., 2003; Ringholm et al., 2002; Ringholm et al., 2003) นอกจากนี้กรดอะมิโน Ala¹⁹² และ Phe²⁶⁷ ของโปรตีน MC4R ของสัตว์เลี้ยงลูกด้วยนมจะถูกแทนที่ด้วยกรดอะมิโน Thr และ Leu ตามลำดับ ซึ่งจะมีผลทำให้ตำแหน่งของกรดอะมิโน

ดังกล่าวมีความตรงกันกับการคุณโนของโปรตีน *TpMC4R* และโปรตีน *MC4R* ของปลากระดูกแข็ง โปรตีน *MC4R* ในคนจะมีการคุณโน *Tyr²⁶⁸* ซึ่งมีผลทำให้ความสามารถในการจับของ *MC4R* กับ γ -MSH อ่อนในระดับต่ำ (Adan et al., 2000) โปรตีน *MC4R* ของปลาจะมีการคุณโน *Met* ในตำแหน่งที่ 268 ซึ่งมีผลให้ *MC4R* มีความสามารถในการจับกับ γ -MSH (Haitina et al., 2004; Klovins et al., 2004) โปรตีน *TpMC4R* ในปลาสลิดมีการคุณโน *Met* ในตำแหน่งที่ 268 เช่นเดียวกันจึงทำให้ *TpMC4R* มีความสามารถในการจับกับ γ -MSH เช่นเดียวกัน ซึ่งเห็นได้ว่าโปรตีน *TpMC4R* มีการคุณโนหลายตำแหน่งที่เป็นลักษณะสำคัญต่อการทำหน้าที่ของยีน *MC4R* โดย *TpMC4R* ที่จะมีความสามารถในการจับกับ MSH เช่นเดียวกับยีน *MC4R* ของปลากระดูกแข็ง

5.1.2 การศึกษาการแสดงออกของ mRNA ของยีน *TpMC4R* ระหว่างการพัฒนาการในระยะต่าง ๆ ของตัวอ่อนปลาสลิด

การศึกษาการแสดงออกของ mRNA ของยีน *TpMC4R* ของการพัฒนาการตัวอ่อนในระยะต่าง ๆ ของปลาสลิด ได้แก่ “ไข่ที่ไม่ได้รับการปฏิสนธิ” (unfertilized egg) และตัวอ่อนในระยะ 5, 7, 11, 15, 21, 24 และ 48 ชั่วโมงหลังจากได้ที่มีการวางไข่ (hours post spawning: hps) ซึ่งการพัฒนาการของตัวอ่อนในระยะ 5 ชั่วโมง คืออยู่ในระยะ mid blastula ตัวอ่อนในระยะ 7 ชั่วโมง คืออยู่ในระยะ gastrula ตัวอ่อนในระยะ 11-15 ชั่วโมง คือในระยะที่ตัวอ่อนมีการแบ่งตัวเป็นส่วน (body segment) และอยู่ในช่วงที่มีการสร้างเม็ดสี (pigmentation) ตัวอ่อนในระยะ 21 ชั่วโมง คืออยู่ในระยะการฟักปีนตัว (hatching stage) ตัวอ่อนในระยะ 24 ชั่วโมง คือระยะที่ตัวมีการสร้างเม็ดสี และตัวอ่อนในระยะ 48 ชั่วโมง คือระยะที่ตัวอ่อนปลาสลิดจะได้รับอาหารเป็นครั้งแรก (first feeding) ซึ่งจากการสังเกตการณ์การพัฒนาการตัวอ่อนของปลาสลิดจะมีการคุณชื่นจุ่งไย่แดง (yolk sack) จนเกือบหมดและปากของตัวอ่อนมีการเปิด ดังนั้นจึงเรียกระยะนี้ว่า first feeding ซึ่งจาก การศึกษาพบว่ายีน *TpMC4R* การแสดงออกในทุกระยะของการพัฒนาการของตัวอ่อน รวมไปถึงไย่ที่ไม่ได้รับการปฏิสนธิที่มีการแสดงออกของยีน *TpMC4R* ด้วยเช่นกัน ซึ่งแสดงให้เห็นว่ายีน *TpMC4R* นั้นเป็นยีน maternal ที่มีการถ่ายทอดจากแม่สู่ลูก

5.1.3 การศึกษาการแสดงของ mRNA ของยีน *TpMC4R* ในอวัยวะต่าง ๆ

การแสดงของยีน *MC4R* ในเนื้อเยื่อมีความหลากหลายไปตามชนิดของตัววัตถุกระดูกสันหลัง ในสัตว์เลี้ยงลูกด้วยนมยีน *MC4R* จะมีการแสดงออกที่บริเวณสมองเป็นหลัก ซึ่งยีน *MC4R* มีหน้าที่สำคัญในการควบคุมระบบประสาทส่วนกลาง และจากผลการศึกษาของ Haitina et al (2007) ในปลา lamprey ที่มีการแสดงออกของยีน *MC4R* ที่บริเวณระบบประสาทส่วนกลางด้วยเช่นกัน ซึ่ง

จากการศึกษาการแสดงของยีน *TpMC4R* ในอวัยวะต่าง ๆ โดยใช้เทคนิค Real time RT-PCR พบว่า mRNA ของยีน *TpMC4R* มีการแสดงออกในสมองทุกส่วน ได้แก่ สมองส่วน telencephalon, สมองส่วน mesencephalon, สมองส่วน metencephalon และสมองส่วน diencephalon รวมไปถึง pituitary gland ซึ่งการแสดงออกของยีน *MC4R* ในสมองมีความหลากหลายขึ้นอยู่กับชนิดของปลา ตัวอย่างเช่น ปลา *brafin flounder* และปลา *zebrafish* (Kobayashi et al., 2008; Ringholm et al., 2002) และนอกจากนี้มีการศึกษาการแสดงออกของยีน *MC4R* ของสมองแต่ละส่วนที่แตกต่างกันใน ปลา *goldfish* ปลา *rainbow trout* ปลา *fugu* และปลา *seabass* (Cerda-Reverter et al., 2003; Haitina et al., 2004; Klovins et al., 2004; Sanchez et al., 2009) ซึ่งจากการศึกษาพบว่า mRNA ของยีน *TpMC4R* มี การแสดงออกใน สมองส่วน telencephalon, สมองส่วน diencephalon และสมองส่วน mesencephalon ซึ่งให้ผลสอดคล้องกับการแสดงออกของยีน *MC4R* ในปลา *goldfish* ปลา *rainbow trout* และปลา *fugu* (Cerda-Reverter et al., 2003; Haitina et al., 2004; Klovins et al., 2004) แต่การแสดงออกของ mRNA ของยีน *MC4R* ในสมองส่วน metencephalon และ pituitary gland มีผลที่ขัดแย้งกัน ซึ่ง แสดงให้เห็นว่าการแสดงออกของยีน *MC4R* ในสมองแต่ละส่วนมีความแตกต่างกันตามชนิดของ ปลากระดูกแข็ง

จากการศึกษาการแสดงออกของ mRNA ของยีน *TpMC4R* ในอวัยวะต่าง ๆ พบว่า mRNA ของยีน *TpMC4R* มีการแสดงออกในทุกอวัยวะของปลาสัตว์ ซึ่งจากการรวมรวมเอกสาร พบว่าปลาแต่ละชนิดมีการแสดงออกของยีน *MC4R* ที่อวัยวะแตกต่างกัน (ดังแสดงในตารางที่ 5.1) ซึ่งในการศึกษานี้มีการนำปลาสัตว์ที่ได้เติมที่มาทำการศึกษาการแสดงออกของ mRNA ของยีน *TpMC4R* ในอวัยวะต่าง ๆ จึงมีผลทำให้ mRNA ของยีน *TpMC4R* มีการแสดงออกในทุกอวัยวะของ ปลาสัตว์ และมีระดับการแสดงออกแตกต่างกันไป อย่างไรก็ตามการแสดงออกของยีน *MC4R* ใน ปลา *zebrafish* ที่ได้เติมวัสดุกลับไว้หลังการแสดงออกของยีน *MC4R* ที่ขัดแย้งกัน สำหรับการศึกษาการ แสดงออกของยีน *MC4R* ในอวัยวะต่าง ๆ ของปลา *rainbow trout* ปลา *fugu* ปลา *seabass* ปลา *goldfish* และปลา *lamprey* (Cerda-Reverter et al., 2003; Haitina et al., 2004; Haitina et al., 2007; Klovins et al., 2004; Scnchez et al., 2009) ไม่มีการบ่งชี้ว่าปลาที่นำมาศึกษามีการเจริญเติบโตอยู่ที่ ระยะใด ดังนั้นจึงมีหลักฐานไม่เพียงพอต่อการสรุปว่าความหลากหลายของการแสดงออกของ *MC4R* ในอวัยวะต่าง ๆ ของปลาเกิดจากปลาที่นำมาศึกษามีการเจริญเติบโตที่ระยะแตกต่างกัน อย่างไร ก็ตามถึงแม่ลำดับนิวคลีโอ ไทด์และลำดับกรดอะมิโนของยีน *TpMC4R* มีความคล้ายคลึงกันและมี วิวัฒนาการใกล้เคียงกันกับยีน *MC4R* ของไก่ (Takeuchi and Takahashi, 1998) และปลาชนิดต่าง ๆ แต่ จะมีการแสดงออกของยีน *MC4R* ที่แตกต่างกันในอวัยวะต่าง ๆ ซึ่งจากความหลากหลายของการ

แสดงออกของยีน *MC4R* ในอวัยวะต่าง ๆ จะบ่งบอกถึงคุณลักษณะของความหลอกหลอนของการทำหน้าที่ทางกายภาพตามการแสดงออกของยีน *MC4R* ในอวัยวะที่แตกต่างกันไป

5.2 การศึกษาการแสดงออกของ mRNA ของ *TpMC4R* ในระหว่างมื้ออาหาร (daily feeding) ของการกินอาหารปกติ และผลของการอดอาหาร (fasting period) ระยะสั้น ต่อการแสดงออกของ mRNA ของ *TpMC4R*

จากการศึกษาระดับการแสดงออกของ mRNA ของยีน *TpMC4R* ในระหว่างมื้ออาหารของสมองแต่ละส่วน ได้แก่ สมองส่วน Telencephalon, สมองส่วน Mesencephalon, สมองส่วน Metencephalon และสมองส่วน Diencephalon ซึ่งพบว่าในสมองแต่ละส่วนมีลักษณะการแสดงออกของ mRNA ของยีน *TpMC4R* ไปในทิศทางเดียวกัน โดยมีระดับการแสดงออกของ mRNA ของยีน *TpMC4R* จะลดลงเมื่อเที่วเวลา 1 ชั่วโมง ก่อนอาหารเย็น (15.00 น.) ซึ่งโดยปกติปลาสลิดกินอาหารในมื้อเช้าเวลา 10.00 น. และมื้อเย็นเวลา 16.00 น. ซึ่งจะเห็นได้ว่าการแสดงออกของ mRNA ของยีน *TpMC4R* มีการเปลี่ยนแปลงในรอบวัน ซึ่งการศึกษาเกี่ยวกับการแสดงออกของ mRNA ของยีน *MC4R* ในช่วงเวลารอบของการกินต่อวันยังมีการศึกษาอยู่น้อย แต่อย่างไรก็ตามในปัจจุบันได้มีรายงานการศึกษารูปแบบของการแสดงออกของยีน neuropeptide ในสมองส่วน hypothalamus ได้แก่ ยีน *AgRP*, *Cocaine-and amphetamine-regulated transcript (CART)*, *Leptin receptor (LR)*, *Melanin concentrating hormone (MCH)*, *Neuropeptide Y (NPY)*, *Orexin* และ *POMC* ซึ่งเป็นยีนที่มีความเกี่ยวข้องกับการควบคุมวงจรหรือระบบที่เกิดขึ้นเป็นช่วง ๆ ช่วงละ 24 ชั่วโมง (circadian rhythm) และมีความเกี่ยวข้องกับสภาวะของการได้รับอาหาร (Saper, Lu, Chou, and Gooley, 2005; Stutz, Staszkiewicz and Ptitsyn, 2007) ซึ่งยีน *MC4R* มีการแสดงออกในสมองส่วน hypothalamus เป็นหลัก ดังนั้นยีน *TpMC4R* น่าจะมีความสัมพันธ์กับวงรอบของการกินอาหารในช่วงวันของปลา (circadian rhythm)

นอกจากนี้ลักษณะของการแสดงออกของ mRNA ของยีน *MC4R* ยังมีความสัมพันธ์กับสภาวะของอาหาร ในการศึกษาครั้งนี้มีการศึกษาปริมาณการแสดงออกของ mRNA ของยีน *TpMC4R* ในสภาวะการอดอาหาร 6, 12, 18 และ 24 ชั่วโมง ของสมองในแต่ละส่วน ได้แก่ สมองส่วน Telencephalon, สมองส่วน Mesencephalon, สมองส่วน Metencephalon และสมองส่วน Diencephalon ซึ่งพบว่าการแสดงออกของ mRNA ของยีน *TpMC4R* ในสมองแต่ละส่วนมีลักษณะการแสดงออกไปในทิศทางเดียวกัน และที่เวลาการอดอาหาร 6 ชั่วโมงมีระดับการแสดงออกของ mRNA ของยีน *TpMC4R* อยู่ในระดับต่ำ ซึ่งเป็นช่วงเวลาอาหารเย็น (16.00 น.) ซึ่งจะเห็นได้ว่ามีผลสอดคล้องกับระดับการแสดงออกของยีน *TpMC4R* ที่ลดลงในช่วงเวลา 1 ชั่วโมง ก่อนอาหารเย็น (15.00 น.) และมี

การแสดงออกของ mRNA ของยีน *TpMC4R* เพิ่มขึ้น เมื่อระยะเวลาของการอดอาหารเพิ่มขึ้น ซึ่งมีผลสอดคล้องกับผลงานการศึกษาของ Higgins et al. (2010) ที่ได้มีการศึกษาผลการแสดงออกของยีน *MC4R* ในไก่ที่อยู่ในสภาวะการอดอาหาร ซึ่งพบว่ามีการแสดงออกของ mRNA ของยีน *MC4R* เพิ่มขึ้นเมื่อมีช่วงเวลาการอดอาหารที่เพิ่มขึ้นถึง 48 ชั่วโมง ในปลา *brafin flounder* ในสภาวะการอดอาหารไม่มีผลต่อการแสดงออกของ mRNA ของยีน *MC4R* ในสมอง แต่มีผลต่อการเพิ่มการแสดงออกของ mRNA ของยีน *MC4R* ในตับ (Kobayashi et al., 2008) โดยทั่วไปปลาจะมีช่วงเวลาของการอดอาหารตามธรรมชาติ เช่น ในช่วงฤดูการผสมพันธุ์ การอพยพข้ามถิ่น และในช่วงฤดูหนาว เมื่อปลาเมียการอดอาหารก็จะมีผลต่อการตอบสนองต่อการเปลี่ยนแปลงของ เมتابอลิซึม โดยลักษณะของการตอบสนองต่อการเปลี่ยนแปลงเมتابอลิซึมจะขึ้นอยู่กับชนิดของปลา จากการศึกษาผลการอดอาหารในปลาสลิด พบว่าปลาสลิดที่มีการอดอาหารเป็นระยะเวลานานจะมีระดับของกลูโคสในเลือดลดลงซึ่งชี้ให้เห็นว่าจากการที่ปลาสลิดมีการอดอาหารเป็นระยะเวลานานจะมีผลต่อการเปลี่ยนแปลงเมتابอลิซึมในร่างกายของปลาสลิด สมองเป็นอวัยวะที่มีการใช้กลูโคสมากที่สุด ซึ่งในระหว่างการอดอาหารอาจมีผลในทางตรงหรือทางอ้อมต่อการทำงานของร่างกายปลาต่อกระบวนการสร้างไกโภเจน การสังเคราะห์กลูโคส และการสร้างไขมัน นอกจากนี้สภาวะการอดอาหารที่มีผลต่อการแสดงออกของยีน *MC4R* อาจมีผลเช่น同โยงต่อการแสดงออกของยีนหล่ายยีน ซึ่งเมื่อพิจารณาถึงการรักษาสมดุลของพลังงานและการอพยพอาหารนั้นจะถูกควบคุม โดยการทำางร่วมกันระหว่างยีน *leptin* และการส่งสัญญาณของ *melanocortin* (Bertile and Raclot, 2006) ซึ่ง *leptin* จะถูกผลิตมาจาก *adipose tissue* เป็นหลัก ซึ่งมีหน้าที่ในการรักษาสมดุลของพลังงาน ซึ่งมีผลต่อการควบคุมการแสดงออกของยีน เช่น ยีน *POMC* ในระบบประสาท (Schartz et al., 1997) และยีน *MC4R* (Dridi et al., 2005)

5.3 การศึกษาผลของ MC4R antagonist ต่ออัตราการกินได้ของปลาสลิด และการแสดงออกของ mRNA ของยีน *TpMC4R*

5.3.1 การศึกษาผลของ MC4R antagonist (HS024) ต่ออัตราการกินได้ของปลาสลิด

จากการทดสอบระดับการฉีด MC4R antagonist ที่มีผลต่อการเพิ่มการกินได้ของปลาสลิด พบร่วมกับปลาสลิดที่มีการฉีด HS024 1 $\mu\text{g}/\text{kg}$ มีผลการกินได้มากกว่าการฉีด HS024 ที่ระดับอื่น ๆ และมีการกินได้ที่เพิ่มขึ้นหลังจากเวลาที่มีการฉีดเพิ่มขึ้น ในกลุ่มปลาสลิดที่มีการฉีด HS024 ที่ระดับ 0.1 $\mu\text{g}/\text{kg}$, 0.5 $\mu\text{g}/\text{kg}$, 10 $\mu\text{g}/\text{kg}$, 25 $\mu\text{g}/\text{kg}$, 50 $\mu\text{g}/\text{kg}$ และ 100 $\mu\text{g}/\text{kg}$ มีผลการกินได้ที่น้อยกว่าปลาสลิดที่มีการฉีด 0.9% saline และปลาสลิดในกลุ่มควบคุม ดังนั้นจึงทำให้ทราบว่าการฉีด MC4R antagonist ในระดับที่สูงเกินไปจะมีผลทำให้ปลาสลิดมีการกินได้ลดลงที่น้อยลง เช่นเดียวกับการ

นีด MC4R antagonist (HS014 และ SH9119) เข้าในสมองของหนู พบร่วมกับการเพิ่มระดับ (dose) การพิจารณาผลทำให้หนูมีการกินลดลง (Kash et al., 1998) ปลาสลิดที่มีการฉีด HS024 0.1 $\mu\text{g}/\text{kg}$ มีการกินได้ที่ต่ำที่สุด เมื่อเปรียบเทียบกับปลาสลิดในกลุ่มการทดลองอื่น ๆ และปลาสลิดที่มีการฉีด HS024 5 $\mu\text{g}/\text{kg}$ มีการกินได้ที่ไม่แตกต่างจากปลาสลิดที่มีการฉีด 0.9% saline และปลาสลิดในกลุ่มควบคุม และจากการศึกษาบทบาทการทำหน้าที่ของ MC4R ต่ออัตราการกินได้ของปลาสลิด โดยการฉีด HS024 1 $\mu\text{g}/\text{kg}$ และ 3 $\mu\text{g}/\text{kg}$ เข้าโคนครึบหลังของปลาสลิด พบร่วมกับปลาสลิดที่มีการฉีด HS024 3 $\mu\text{g}/\text{kg}$ มีการกินได้ที่เพิ่มขึ้นตั้งแต่ในชั่วโมงที่ 3 เมื่อเปรียบเทียบกับปลาสลิดในกลุ่มการทดลองอื่น ๆ และปลาสลิดที่มีการฉีด HS024 1 $\mu\text{g}/\text{kg}$ มีการกินได้ที่เพิ่มขึ้นตั้งแต่ในชั่วโมงที่ 6 ถึงแม้ว่าจะไม่พบความแตกต่างอย่างมีนัยสำคัญทางสถิติ แต่จะเห็นได้ว่าปลาสลิดที่มีการฉีด HS024 มีแนวโน้มต่อการเพิ่มการกินได้ ซึ่ง HS024 มีผลในการกระตุ้นการกินได้ตั้งแต่ในชั่วโมงที่ 3 และ 4 หลังจากการฉีด MC4R antagonist เช่นเดียวกับรายงานการทดลองของ Cerdá-Reverter et al. (2003) ในปลา goldfish ที่มีการฉีด MC4R antagonist (HS024) เข้าทางสมอง ที่ระดับ 1.6 nmol และ 3.2 nmol มีการกินได้ที่เพิ่มขึ้นหลังจากการฉีด 4 ชั่วโมง นอกจากนี้ในหนูที่มีการฉีด MC4R antagonist (HS014, HS024 และ SH9119) เข้าทางสมอง ทำให้หนูมีการกินได้ที่เพิ่มขึ้นหลังจากการฉีด 3 และ 4 ชั่วโมง (Kash et al., 1998) และในนก ring dove ที่มีการฉีด MC4R antagonist (HS014) เข้าทางสมอง ทำให้นก ring dove มีผลต่อการเพิ่มการกินได้หลังจากการฉีด 4 ชั่วโมง (Strader et al., 2003) ซึ่งจากการศึกษา HS024 ไม่มีผลแตกต่างอย่างมีนัยสำคัญทางสถิติต่อการกินได้ของปลาสลิด เช่นเดียวกับรายงานการวิจัยของ Schioth et al. (2003) ในหนูที่มีการฉีด MC4R antagonist (HS131) เข้าในช่องห้อง พบร่วมกับการเพิ่มการกินได้ นอกจากนี้ในหนูที่มีการฉีด MC4R antagonist เข้าได้ผ่านหังที่ระดับ 1 mg/kg จะมีผลต่อการเพิ่มการกินได้หลังจากการฉีด 2 ชั่วโมง และมีผลการกินได้ที่ลดลงเมื่อมีระยะเวลาหลังจากการฉีดเพิ่มขึ้น ซึ่งจากการทดลองดังกล่าว HS024 มีผลต่อการกินได้ที่ไม่ชัดเจน ซึ่งในทั้งนี้อาจเกิดได้จาก 2 สาเหตุ คือ 1) HS024 ไม่สามารถจับกับ MC4R ในปลาสลิดได้ จึงมีผลทำให้ HS024 ไม่มีผลต่อการเพิ่มการกินได้ในปลาสลิด และ 2) จากการฉีด HS024 เข้าไปในกล้ามเนื้อของปลาสลิด มีผลทำให้ HS024 ไปจับกับ MC4R ที่อยู่ในอวัยวะต่าง ๆ จึงอาจมีผลทำให้เกิดผลข้างเคียงต่อระบบการทำงานต่างๆ ภายในร่างกายปลาสลิด ซึ่งอาจส่งผลต่อการกินได้ จึงมีผลทำให้การฉีด HS024 มีผลต่อการกินได้ที่ไม่ชัดเจน ดังนั้นจึงนำไปสู่การศึกษาต่อไป คือการศึกษาผลของการใช้ HS024 ต่อการแสดงออกของ mRNA ของยีน *TpMC4R* ในสมองของปลาสลิด โดยมีการตั้งสมมุติฐานว่า ถ้า HS024 สามารถจับกับ MC4R ในปลาสลิดได้ ก็น่าจะมีผลต่อการเปลี่ยนแปลงระดับการแสดงออกของ mRNA ของยีน *TpMC4R* ในสมองของปลาสลิด

5.3.2 การศึกษาผลของ MC4R antagonist (HS024) ต่อการแสดงออกของ mRNA ของยีน *TpMC4R*

จากการศึกษาผลของการใช้ MC4R antagonist (HS024) ต่อการแสดงออกของ mRNA ของยีน *TpMC4R* ในสมอง โดยวิธีการฉีด HS024 เข้ากล้ามเนื้อ พบร่วงหลังจากการฉีด HS024 4 ชั่วโมง ปลาสลิดที่มีการฉีด HS024 3 µg/kg มีการแสดงออกของ mRNA ของยีน *TpMC4R* สูงที่สุด หลังจากการฉีด HS024 ในชั่วโมงที่ 8 พบร่วงปลาสลิดที่มีการฉีด HS024 1 µg/kg มีการแสดงออกของ mRNA ของยีน *TpMC4R* สูงกว่าการแสดงออกของ mRNA ของยีน *TpMC4R* ของปลาสลิดที่มีการฉีด HS024 3 µg/kg แต่ไม่มีความแตกต่างอย่างมีนัยสำคัญทางสถิติ เมื่อเปรียบเทียบกับการแสดงออกของปลาสลิดในกลุ่มควบคุม และกลุ่มปลาสลิดที่มีการฉีด 0.9% saline และจากการศึกษาระดับของการใช้ HS024 ต่อการแสดงออกของ mRNA ของยีน *TpMC4R* ในสมอง โดยวิธีการฉีด สมองในสาร HS024 ที่ระดับต่าง ๆ พบร่วงสมองของปลาสลิดที่ฉีดใน HS024 ที่มีความเข้มข้น 1 nmol และ 10 nmol เป็นเวลา 4 ชั่วโมงมีการแสดงออกของ mRNA ของยีน *TpMC4R* สูงกว่าการแสดงออก mRNA ของยีน *TpMC4R* ของสมองปลาสลิดที่ฉีดใน buffer และสมองที่ฉีดใน HS024 ความเข้มข้น 0.1 nmol ซึ่งแสดงให้เห็นว่า HS024 สามารถจับกับ MC4R ในปลาสลิดได้ดังนั้นผลของ MC4R antagonist (HS024) ต่อการคินได้ของปลาสลิด อาจเกิดจาก HS024 ไปจับกับ MC4R ในอวัยวะอื่น ๆ ของร่างกายของปลาสลิด จึงมีผลทำให้เกิดผลข้างเคียงต่อการคินได้ซึ่งทำให้การฉีด HS024 เข้ากล้ามเนื้อมีผลต่อการคินได้ในปลาสลิดที่ไม่ชักเจน

บทที่ 6

สรุปและข้อเสนอแนะ

6.1 สรุป

1. จากการศึกษาลำดับนิวคลีโอไทบีของ cDNA เส้นสมมูลรูน์ของยีน *TpMC4R* ในปลาสลิดมีความยาวเท่ากับ 1311 bp ประกอบไปด้วย ORF 984 bp กรดอะมิโนเท่ากับ 327 residues, 5' UTR มีนิวคลีโอไทบีเท่ากับ 17 bp และ 3' UTR เท่ากับ 310 bp ลำดับกรดอะมิโนของ *TpMC4R* มีความคล้ายคลึงกับลำดับกรดอะมิโนของ MC4R ในสัตว์มีกระดูกสันหลังชนิดต่าง ๆ อยู่ในช่วง 61-90% และมีลำดับกรดอะมิโนในบริเวณ TM ของ *TpMC4R* คล้ายคลึงกับลำดับกรดอะมิโนในบริเวณ TM ของ MC4R ในสัตว์มีกระดูกสันหลังอยู่ในระดับ 61-100% จากการศึกษาลักษณะโครงสร้างของยีน *TpMC4R* ในปลาสลิด พบร่วมโปรตีน *TpMC4R* มีกรดอะมิโนหลายตำแหน่งที่เป็นลักษณะสำคัญต่อการทำหน้าที่ของยีน *MC4R* ดังนั้นโปรตีน *TpMC4R* ก็จะมีความสามารถในการจับกับ MSH เช่นเดียวกับ MC4R ในปลา มีกระดูกแข็ง เมื่อศึกษาความสัมพันธ์ทางวิวัฒนาการโดยการสร้าง Phylogenetic tree พบร่วมยีน *TpMC4R* มีความสัมพันธ์ทางวิวัฒนาการกับยีน *MC4R* ในสัตว์มีกระดูกสันหลังชนิดต่าง ๆ และยีน *TpMC4R* มีค่าความสัมพันธ์ทางวิวัฒนาการใกล้เคียงกับปลากระดูกแข็งมากที่สุด

ยีน *TpMC4R* มีการแสดงออกในทุกระยะของการพัฒนาการตัวอ่อนของปลาสลิด ได้แก่ ระยะ 5, 7, 11, 15, 21, 24 และ 48 ชั่วโมงหลังจากได้ที่มีการวางไข่ของปลาสลิด รวมไปถึงไข่ที่ไม่ได้รับการปฏิสนธิมีการแสดงออกของยีน *TpMC4R* ด้วยเช่นกัน ซึ่งแสดงให้เห็นว่ายีน *TpMC4R* นี้เป็นยีน maternal ที่มีการถ่ายทอดจากแม่สู่ลูก และการแสดงของ mRNA ของยีน *TpMC4R* มีการแสดงออกในสมองทุกส่วนและในทุกอวัยวะของปลาสลิด ซึ่งอวัยวะที่มีการแสดงออกมากที่สุดคือในสมองทุกส่วนและในอณฑะ (testis) อวัยวะที่มีการแสดงออกของ mRNA ของยีน *TpMC4R* อยู่ในระดับต่ำ คือ เหงือก (gill), ตับ (liver), ไตส่วนบน (head kidney), ไตส่วนล่าง (trunk kidney), ลำไส้ (intestine), กล้ามเนื้อ (muscle) และ รังไข่ (ovary) อวัยวะที่มีการแสดงออกของ mRNA ของยีน *TpMC4R* อยู่ในระดับต่ำที่สุด คือ 睥 (spleen)

2. จากการศึกษาการแสดงออกของ mRNA ของยีน *TpMC4R* ในระหว่างมื้ออาหารของสมองในแต่ละส่วนของปลาสลิด ซึ่งโดยปกติปลาสลิดกินอาหารวันละ 2 ครั้ง คือ 10.00 น. และ

16.00 น. พบว่าการแสดงออกของ mRNA ของยีน *TpMC4R* ในสมองแต่ละส่วนมีลักษณะการแสดงออกไปในทิศทางเดียวกัน โดยที่เวลา 1 ชั่วโมงก่อนอาหารเข็นมีระดับการแสดงออกของ mRNA ของยีน *TpMC4R* ลดลงอย่างมีนัยสำคัญทางสถิติ ซึ่งแสดงให้เห็นว่าการแสดงออกของยีน *TpMC4R* มีการเปลี่ยนแปลงในรอบวัน และจากการศึกษาผลของการอุดอาหารระยะสั้นที่มีการอุดอาหารปลาสติด เป็นเวลา 6, 12, 18 และ 24 ชั่วโมง พบว่าการแสดงออกของ mRNA ของยีน *TpMC4R* ในสมองแต่ละส่วนมีลักษณะการแสดงออกไปในทิศทางเดียวกัน ซึ่งเวลาการอุดอาหาร 6 ชั่วโมงมีระดับการแสดงออกของ mRNA ของยีน *TpMC4R* อยู่ในระดับต่ำและมีการแสดงออกของ mRNA ของยีน *TpMC4R* เพิ่มขึ้น เมื่อระยะเวลาของการอุดอาหารเพิ่มขึ้น

3. ปลาสติดที่มีการนีด MC4R antagonist (HS024) 3 $\mu\text{g}/\text{kg}$ มีการกินได้ที่เพิ่มขึ้นตั้งแต่ในชั่วโมงที่ 3 หลังจากการฉีด HS024 และในปลาสติดที่มีการฉีด HS024 1 $\mu\text{g}/\text{kg}$ มีการกินได้ที่เพิ่มขึ้นตั้งแต่ในชั่วโมงที่ 6 หลังจากมีการฉีด ถึงแม้จะพบความแตกต่างอย่างมีนัยสำคัญทางสถิติ แต่จะเห็นได้ว่าปลาสติดที่มีการนีด HS024 เข้ากล้ามเนื้อมีแนวโน้มการกินได้ที่เพิ่มในปลาสติด และ HS024 มีผลต่อการกระตุ้นการกินได้ตั้งแต่ในชั่วโมงที่ 3 และ 6

6.2 ข้อเสนอแนะ

จากการศึกษาในข้างต้นสามารถนำข้อมูลจากการศึกษานี้ไปใช้เป็นข้อมูลพื้นฐานในการศึกษาวิจัยในอนาคต ได้ ซึ่งสามารถศึกษาลำดับนิวคลีโอไทด์และลำดับกรดอะมิโนของ cDNA ของยีน *MC4R* ในปลาชนิดอื่น ๆ เพื่อทราบถึงความสัมพันธ์ทางวิวัฒนาการระหว่างสิ่งมีชีวิต และสามารถทำนายหน้าที่ของโปรตีนจากลำดับนิวคลีโอไทด์และลำดับกรดอะมิโนของยีน *MC4R* ในปลาชนิดอื่น ๆ ได้ อีกทั้งยังสามารถใช้ข้อมูลลำดับนิวคลีโอไทด์และลำดับกรดอะมิโนของ cDNA ของยีน *TpMC4R* ไปใช้เป็นส่วนหนึ่งในการศึกษา polymorphism ของยีน *MC4R* ในปลาสติด ซึ่ง polymorphism นี้มีหน้าที่ต่อการกินได้ในปลาสติด ซึ่งอาจจะพัฒนาในการใช้ยีน *MC4R* เป็นยีนเครื่องหมายสำหรับการคัดเลือกพันธุ์ปลาสติดได้ แต่อย่างไรก็ตามในการควบคุมการกินและการรักษาสมดุลของพลังงานจะเกี่ยวข้องกับบทบาทการทำหน้าที่หลักของยีน ยกตัวอย่างเช่น ยีน *POMC*, *leptin*, *AgRP* ซึ่งต่างก็มีบทบาทต่อการควบคุมการกินได้ ดังนั้นจึงควรมีการศึกษาการทำหน้าที่และการแสดงออกของ mRNA ของยีน *POMC*, *leptin*, *AgRP* เพิ่มเติม เพื่อทราบถึงความสัมพันธ์การทำหน้าที่ของยีน *MC4R* ร่วมกับยีนอื่น ๆ ต่อการควบคุมการกิน และการรักษาสมดุลของพลังงานในปลาหรือในสัตว์

รายการอ้างอิง

กลุ่มวิเคราะห์การค้าสินค้าประมงระหว่างประเทศ กองประมงต่างประเทศ กรมประมง [ออนไลน์].

ได้จาก <http://www.fisheries.go.th/it-stat/>

บุณยรัตน์ จันทร์สว่าง. (2523). ชีวประวัติของปลาสกิด. สถาบันประมงน้ำจืดแห่งชาติกรมประมง. 8: 1-30.

ประเทศไทย เช่าวันคลาง. (2536). การเลี้ยงปลานำ้จืด. กรุงเทพฯ พลิกส์เซ็นเตอร์.

สุปราณี ชินบุตร. (2515-2516). ชีววิทยาของปลาสกิด. รายงานประกอบวิชา Zoology บัณฑิต
วิทยาลัย มหาวิทยาลัยราชภัฏรัตนโกสินทร์. 1-35.

อาคม ชุมธี. (2548). การเพาะเลี้ยงปลาสกิด. กรมประมงกระทรวงเกษตรและสหกรณ์. 1-32.

Adan, R. A. H. and Gispen, W. H. (2000). Melanocortins and the brain: From effects via receptors to drug targets. *Eur. J. Pharmacol.* 405: 13-24.

Adan, R. A. H. and Kas, M. J. H. (2003). Inverse agonism gains weight. *Trends in pharmacological sciences.* 24: 315-320.

Argiolas, A., Melis, M. R., Murgia, S. and Schioth, H. B. (2000). ACTH- and α -MSH-induced grooming, stretching, yawning and penile erection in male rats: site of action in the brain and role of melanocortin receptors. *Brain Res. Bull.* 51: 425–434.

Baile, C.A. and Della-Fera, M.A. (2009). The future of feed intake regulation research. *Journal of animal science.* 79: E171-E179.

Balthasar, N., Dalgaard, L. T., Lee, C. E., Yu, J., Funahashi, H., Williams, T., Ferreira, M., Tang, V., McGovern, R. A., Kenny, C. D., Christiansen, L. M., Edelstein, E., Choi, B., Boss, O., Aschkenasi, C., Zhang, C., Mountjoy K., Kishi, T., Elmquist, J. K. and Lowell, B. B. (2005). Divergence of melanocortin pathways in the control of food intake and energy expenditure. *Cell journal.* 123: 493–505.

Barb, C. R., Robertson, A. S., Barrett, J. B., Kraeling, R. R. and Houseknecht, K. L. (2004). The role of melanocortin-3 and-4 receptor in regulating appetite, energy homeostasis and neuroendocrine function in the pig. *J. Endocrinol.* 181: 39-52.

Bertile, F. and Raclot, T. (2006). The melanocortin system during fasting. *Peptides.* 27: 291-300.

- Cerda-Reverter, J. M., Ringholm, A., Schioth, H. B. and Peter, R. E. (2003). Molecular cloning, pharmacological characterization, and brain mapping of the melanocortin 4 receptor in the goldfish: Involvement in the control of food intake. **Endocrinology**. 144(6): 2336-2349.
- Chaki, S. and Okuyama, S. (2005). Involvement of melanocortin-4 receptor in anxiety and depression. **Peptides**. 26: 1952-1964.
- Dridi, S., Swennen, Q., Decuypere, E. and Buyse, J. (2005). Mode of leptin action in chicken hypothalamus. **Brain Res.** 1047: 214-223.
- Giraudo, S. Q., Billington, C. J. and Levine, A. S. (1998). Feeding effects of hypothalamic injection of melanocortin 4 receptor ligands. **Brain Research**. 809: 302-306.
- Haitina, T., Klovins, J., Andersson, J., Fredriksson, R., Lagerstrom, M. C., Larhammar, D., Larson, E. T. and Schioth, H. B. (2004). Cloning, tissue distribution, pharmacology and three-dimensional modeling of melanocortin receptors 4 and 5 in rainbow trout suggest close evolutionary relationship of these subtypes. **Biochemical Journal**. 380: 475-486.
- Haitina, T., Klovins, J., Takahashi, A., Lowgren, M., Ringholm, A., Enberg, J., Kawauchi, H., Larson, E. T., Fredriksson, R. and Schioth, H. B. (2007). Functional characterization of two melanocortin (MC) receptors in lamprey showing orthology to the MC1 and MC4 receptor subtypes. **BMC Evol. Biol.** 7: 14 p.
- Harrold, J. A., Widdowson, P. S. and Williams, G. (1999). Altered energy balance causes selective changes in melanocortin-4 (MC4-R), but not melanocortin-3 (MC3-R), receptor in specific hypothalamic regions further evidence that activation of MC4-R is a physiological inhibitor of feeding. **Diabetes**. 48: 267-271.
- Higgins, S.E., Ellestad, L.E., Trakooljul, N., McCarthy, F., Saliba, J., Cogburn, L.A. and Porter, T. E. (2010). Transcriptional and pathway analysis in the hypothalamus of newly hatched chicks during fasting and delayed feeding. **BMC Genomics**. 11: 17 p.
- Huang, M., Gao, X., Li, J. Y., Ren, H. Y., Chen, J. B. and Xu, S. Z. (2010). Polymorphisms in MC4R gene and correlations with economic traits in cattle. **Mol. Biol. Rep.** 37: 3941–3944.
- Huang, Y., Wang, Y., He, D. and Liu, Y. (2010). Genetic diversity of the melanocortin 4 receptor (MC4R) gene and its association with slaughter traits in the Landes goose. **Biochem. Genet.** 48: 944–953.

- Irani, B. G. and Haskell-Luevano, C. (2005). Review Feeding effects of melanocortin ligands-A historical perspective. **Peptides**. 26: 1788–1799.
- Jonsson, L., Skarphedinsson, J. O., Skuladottir, G. V., Watanobe, H. and Schioth, H. B. (2002). Food conversion is transiently affected during 4-week chronic administration of melanocortin agonist and antagonist in rats. **J. Endocrinol.** 173: 517-523.
- Kas, M. J. H., Dijk, G. V., Scheurink, A. J. W. and Adan, R. A. H. (2003). Agouti-related protein prevents self-starvation. **Molecular Psychiatry**. 8: 235–240.
- Kask, A., Pahkla, R., Lrs, A., Rago, L., Wikberg, J. E. S. and Schioth, H. B. (1999). Long-term administration of MC4 receptor antagonist HS014 causes hyperphagia and obesity in rats. **Neuroreport**. 10: 707-711.
- Kask, A., Mutulis, F., Muceniece, R., Pahkla, R., Mutule, I., Wikberg, J. E. S., Rago, L. and Schioth, H. B. (1998). Discovery of a novel superpotent and selective melanocortin 4 receptor antagonist (HS014): Evaluation *in Vitro* and *in Vitro*. **Endocrinology**. 139: 5006-5014.
- Kawauchi, H. and Baker, B. I. (2004). Review Melanin-concentrating hormone signaling systems in fish. **Peptides**. 25: 1577-1584.
- Kim, K. S., Larsen, N., Short, T., Plastow, G. and Rothschild, M. F. (2000). A missense variant of the procine melanocortin-4 receptor (MC4R) gene is associated with fatness, growth, and feed intake traits. **Mammalian genome**. 11: 131-135.
- Kim, K. S., Reecy, J. M., Hsu, W. H., Anderson, L. L. and Rothschild, M. F. (2004). Functional and phylogenetic analyses of a melanocortin-4 receptor mutation in domestic pig. **Domestic animal endocrinology**. 26: 75-86.
- Kim, K. S., Lee, J. J., Shin, H. Y., Choi, B. H., Lee, C. K., Kim, J. J., Cho, B. W. and Kim, T.-H. (2006). Association of melanocortin 4 receptor (MC4R) and high mobility group AT-hook 1 (HMGA1) polymorphisms with pig growth and fat deposition traits. **Animal genetic**. 37: 419-421.
- Klovins, J., Haitina, T., Fridmanis, D., Kilanova, Z., Kapa, I., Fredriksson, R., Gallo-Payet, N. and Schioth, H. B. (2004). The melanocortin system in Fugu: determination of POMC/AGRP/MCR gene repertoire and synteny, as well as pharmacology and anatomical distribution of the MCRs. **Mol. Biol. Evol.** 21: 563–579.
- Kobayashi, Y., Tsuchiya, K., Yamanome, T., Schioth, H. B., Kawauchi, H. and Takahashi, A. (2008).

- Food deprivation increases the expression of melanocortin-4 receptor in the liver of barfin flounder, *Verasper moseri*. **General and Comparative Endocrinology**. 155: 280-287.
- Lagerstrom, M. C., Klovins, J., Fredriksson, R., Fridmanis, D., Haitina, T., Ling, M. K., Berglund, M. M. and Schioth, H. B. (2003). High affinity agonistic metal ion binding sites within the melanocortin 4 receptor illustrate conformational change of transmembrane region 3. **J. Biol. Chem.** 278: 51521-51526.
- Lasaga, M., Debeljuk, L., Durand, D., Scimonelli, T. N. and Caruso, C. (2008). Review Role of α -melanocyte stimulating hormone and melanocortin 4 receptor in brain inflammation. **Peptides**. 29: 1825-1835.
- Lee, E. J., Lee, S. H., Jung, J. W., Lee, W., Kim, B. J., Park, K.W., Lim, S. K., Yoon, C. J. and Baik, J. H. (2001). Differential regulation of cAMP-mediated gene transcription and ligand selectivity by MC3R and MC4R melanocortin receptors. **Eur. J. Biochem.** 268: 582-591.
- Logan, D. W., Bryson-Richardson, R. J., Taylor, M. S., Currie, P. and Jackson, I. J. (2003). Sequence characterization of teleost fish melanocortin receptors. **The melanocortin system**. 994: 319-330.
- Metz, J. R., Peters, J. J. M. and Flik, G. (2006). Molecular biology and physiology of the melanocortin system in fish: A review. **General and Comparative Endocrinology**. 148: 150-162.
- Metz, J. R., Geven, E. J. W., Vanden Burg, E. H. and Flik, G. (2005). ACTH, α -MSH and control of cortisol release: cloning, sequencing and functional expression of the melanocortin-2 and melanocortin-5 receptor in *Cyprinus carpio*. **Am. J. Physiol.** 289: R814–R826.
- Oosterom, J., Nijenhuis, W. A. J., Schaaper, W. M. M., Slootstra, J., Meloen, R. H., Gispen, W. H. H., Burbach, J. P. H. and Adan, R. A. H. (1999). Conformation of the core sequence in melanocortin peptides directs selectivity for the melanocortin MC3 and MC4 receptors. **J. Biol. Chem.** 274: 16853-16860.
- Peng, P. J., Sahm, U.G., Doherty, R. V. M., Kinsman, R. G., Moss, S. H. and Pouton, C.W. (1997). Binding and biological activity of C-terminally modified melanocortin peptides: a comparison between their actions at rodent MC1 and MC3 receptors. **Peptides**. 18: 1001-1008.
- Rees J. L. (2003). Genetics of hair and skin color. **Annu. Rev. Genet.** 37: 67-90.
- Ringholm, A., Fredriksson, R., Poliakova, N., Yan, Y.-L., Postlethwait, J. H., Larhammar, D. and Schioth, H. B. (2002). One melanocortin 4 and two malanocortin 5 receptors from zebrafish

show remarkable conservation in structure and pharmacology. **Jornal of Neurochemistry.** 82: 6-18.

Ringholm, A., Klovins, J., Fredriksson, R., Poliakova, N., Larson, E.T., Kukkonen, J. P., Larhammar, D. and Schiöth, H. B. (2003). Presence of melanocortin (MC4) receptor in spiny dogfish suggests an ancient vertebrate origin of central melanocortin system. **Eur. J. Biochem.** 270: 213-221.

Sahm, U. G., Olivier, G. W. J., Branch, S. K., Moss, S. H. and Pouton, C.W. (1994). Synthesis and biological evaluation of alpha-MSH analogs substituted with alanine. **Peptides.** 15: 1297-1302.

Saito, N. and Nei, M. (1987). The neighbor-joining method: a new method for reconstructing phylogenetic tree. **Mol Bio Evol.** 4: 406-425.

Sanchez, E., Rubio, V. C., Thompson, D., Metz, J., Flik, G., Millhauser, G. L. and Cerdá-Reverter, J. M. (2009). Phosphodiesterase inhibitor-dependent inverse agonism of agouti-related protein on melanocortin 4 receptor in sea bass (*Dicentrarchus labrax*). **Am. J. Physiol. Regul. Integr. Comp. Physiol.** 296: R1293-R1306.

[Saper, C. B.](#), [Lu, J.](#), [Chou, T. C.](#) and [Gooley, J.](#) (2005). [The hypothalamic integrator for circadian rhythms. Trends Neurosci.](#) 28: 152-157.

Schiøth, H. B., Haitina, T., Fridmanis, D. and Klovins, J. (2005). Unusual genomic structure: Melanocortin receptors in *Fugu*. **Ann. N. Y. Acad. Sci.** 1040: 460-463.

Schiøth, H. B., Kask, A., Mutulis, F., Muceniece, R., Mutule, Ilg., Mutule, Ilz., Mandrika, I. and Wikberg, J. E. S. (2003). Novel selective melanocortin 4 receptor antagonist induces food intake after peripheral administration. **Biochem. Biophys. Res. Commun.** 301: 399-405.

Schjolden, J., Schiøth, H. B., Larhammar, D., Winberg, S. and Larson, E. T. (2008). Melanocortin peptides affect the motivation to feed in rainbow trout (*Oncorhynchus mykiss*). **Gen. Comp. Endocrinol.** 160: 134-138.

Schwartz, M. W., Seeley, R. J., Woods, S. C., Weigle, D. S., Campfield, L. A., Burn, P. and Baskin, D. G. (1997). Leptin increases hypothalamic pro-opiomelanocortin mRNA expression in the rostral arcuate nucleus. **Diabetes.** 46: 2119-2123.

Schwartz, M. W., Woods, S. C., Jr, D. P., Seeley, R. J. and Baskin, D. G. (2000). Central nervous system control of food intake. **Nature.** 404: 661-671.

Shinyama, H., Masuzaki, H., Fang, H. and Flier, J. S. (2003). Regulation of melanocortin-4 receptor signaling: Agonist-mediated desensitization and internalization. **Endocrinology.** 144: 1301-1314.

จดรูปแบบ: แบบอักษร: (คำเรื่อง นตอน) AngsanaUPC, 16 พ., ตัวหนา, แบบอักษรภาษาไทยและภาษาอังกฤษ: AngsanaUPC, 16 พ., ตัวหนา

จดรูปแบบ: แบบอักษร: (คำเรื่อง นตอน) AngsanaUPC, 16 พ., แบบอักษรภาษาไทยและภาษาอังกฤษ: AngsanaUPC, 16 พ.

Srinivasan, S., Lubrano-Berthelier, C., Govaerts, C., Picard, F., Santiago, P., Conklin, B. R. and Vaisse, C. (2004). Constitutive activity of the melanocortin-4 receptor is maintained by its N-terminal domain and plays a role in energy homeostasis in humans. **J. Clin. Invest.** 114: 1158-1164.

Strader, A. D., Schioth, H. B. and Buntin, J. D. (2003). The role of melanocortin system and the melanocortin-4 receptor in ring dove (*Streptopelia risoria*) feeding behavior. **Brain Research.** 960: 112-121.

Stutz, A. M., Staszkiewicz, J., Ptitsyn, A. and Argyropoulos, G. (2007). Circadian expression of genes regulating food intake. **Obesity.** 15: 607-615.

Takeuchi, S. and Takahashi, S. (1998). Melanocortin receptor genes in the chicken-tissue distributions. **Gen. Comp. Endocrinol.** 112: 220-231.

Tan, K., Pogozheva, I. D., Yeo, G. S. H., Hadashik, D., Keogh, J. M., Haskell-Leuvano, C., O'Rahilly, S., Mosberg, H. I. and Sadaf Farooqi, I. (2009). Functional characterization and structural modeling of obesity associated mutations in the melanocortin 4 receptor. **Endocrinology.** 150: 114-125.

Tarnow, P., Schoneberg, T., Krude, H., Gruters, A. and Biebermann, H. (2003). Mutationally induced disulfide bond formation within the third extracellular loop causes melanocortin 4 receptor inactivation in patients with obesity. **J. Biol. Chem.** 278: 48666-48673.

Tucci, F. C., White, N. S., Markison, S., Joppa, M., Tran, J. A., Fleck, B. A., Madan, A., Dyck, B. P., Parker, J., Pontillo, J., Arellano, M., Marinkovic, D., Jiang, W., Chen, C. W., Gogas, K. R., Goodfellow, V. S., Saunders, J., Foster, A. C. and Chen, C. (2005). Potent and orally active non-peptide antagonists of the human melanocortin-4 receptor based on a series of *trans*-2-disubstituted cyclohexylpiperazines. **Bioorganic & medicinal chemistry letters.** 15: 4389-4395.

Van der Ploeg, L. H. T., Martin, W. J., Howard, A. D., Nargund, R. P., Austin, C. P., Guan, X., Drisko, J., Cashen, D., Sebhate, I., Patchett, A. A., Figueroa, D. J., DiLella, A. G., Connolly, B. M., Weinberg, D. H., Tan, C. P., Palyha, O. C., Pong, S. S., MacNeil, T., Rosenblum, C., Vongs, A., Tang, R., Yu, H., Sailer, A. W., Fong, T. M., Huang, C., Tota, M. R., Chang, R. S., Stearns, R., Tamvakopoulos, C., Christ, G., Drazen, D. L., Spar, B. D., Nelson, R. J. and MacIntyre, D. E. (2002). A role for the melanocortin 4 receptor in sexual function. **Proc. Natl. Acad. Sci. U.S.A.** 99: 11381-11386.

จดหมายเหตุ: แบบอักษร: (ค่าเริ่มต้น) AngsanaUPC, 16 พ., ไม่ตัวหนา, แบบอักษรภาษาไทยและภาษาอังกฤษ: AngsanaUPC, 16 พ., ไม่ตัวหนา

จดหมายเหตุ: แบบอักษร: (ค่าเริ่มต้น) AngsanaUPC, 16 พ., ไม่ตัวหนา, แบบอักษรภาษาไทยและภาษาอังกฤษ: AngsanaUPC, 16 พ., ไม่ตัวหนา

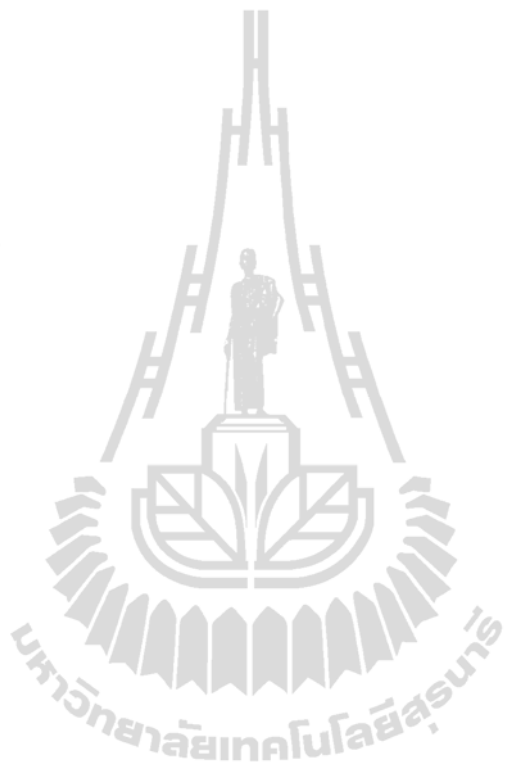
จดหมายเหตุ: แบบอักษร: (ค่าเริ่มต้น) AngsanaUPC, 16 พ., ไม่ตัวหนา, แบบอักษรภาษาไทยและภาษาอังกฤษ: AngsanaUPC, 16 พ., ไม่ตัวหนา

จดหมายเหตุ: แบบอักษร: (ค่าเริ่มต้น) AngsanaUPC, 16 พ., ไม่ตัวหนา, แบบอักษรภาษาไทยและภาษาอังกฤษ: AngsanaUPC, 16 พ., ไม่ตัวหนา

จดหมายเหตุ: แบบอักษร: (ค่าเริ่มต้น) AngsanaUPC, 16 พ., ไม่ตัวหนา, แบบอักษรภาษาไทยและภาษาอังกฤษ: AngsanaUPC, 16 พ., ไม่ตัวหนา

Van der Salm, A.L., Metz, J. R., Wendelaar Bonga, S. E. and Flik, G. (2005). Alpha-MSH, the melanocortin-1 receptor and background adaptation in the Mozambique tilapia, *Oreochromis mossambicus*. **Gen. Comp. Endocrinol.** 144: 140–149.

Xuemei Q., Ning L., Xuemei D., Xingbo Z., Qingyong M. and Xiuli W. (2006). The single nucleotide polymorphisms of chicken melanocortin-4 receptor (*MC4R*) gene and their association analysis with carcass traits. **Life Sciences**. 49: 560-566.







การเตรียมอาหารเลี้ยงเชื้อ

1. LB plate (100 ml)

ประกอบด้วย	NaCl	1 g
	Tryptone	1 g
	Yeast extract	0.5 g
	Agar	1.5 g

ใส่น้ำ DI 100 ml ทำการผสมสารละลายให้เข้ากันและนำไป autoclave จากนั้นทำการเท plate

2. 2XYT plate (100 ml)

ประกอบด้วย	NaCl	0.5 g
	Tryptone	1.6 g
	Yeast extract	1 g
	Agar	1.5 g

ใส่น้ำ DI 100 ml ทำการผสมสารละลายให้เข้ากันและนำไป autoclave หลังจากนั้นวางรอน้ำยาอุ่น ๆ แล้วใส่ IPTG 100 μ l, X-gal 100 μ l และ ampicillin 100 μ l ผสมสารละลายให้เข้ากันและทำการเท plate

3. SOB (60 ml)

ประกอบด้วย	NaCl	0.0351 g
	Tryptone	1.2 g
	Yeast extract	0.3 g
	KCl	0.0111 g

ใส่น้ำ DI 60 ml ทำการผสมสารละลายให้เข้ากันและนำไป autoclave หลังจากนั้นวางรอน้ำยาอุ่น ๆ แล้วใส่ 1 M $MgSO_4 \cdot 7H_2O$ 600 μ l, 1 M $MgCl_2 \cdot 6H_2O$ 600 μ l ผสมสารละลายให้เข้ากัน (หากต้องการเตรียมสาร SOC มีกระบวนการและส่วนประกอบเหมือนกับ SOB ยกเว้นจะต้องมีการใส่สาร 2 M glucose 600 μ l)

การเตรียมสารละลายและบัฟเฟอร์

1. การเตรียม Holtfreter's solution buffer (2 L)

ประกอบด้วย	NaCl	7.0 g
	Sodium bicarbonate	0.4 g
	CaCl ₂ anhydrous	0.2 g
	หรือ CaCl ₂ ·H ₂ O	0.24 g
	KCl	0.1 g

หลังจากนั้นทำการละลายในน้ำกลั่นปราศจากไออกอน (DI) จำนวน 2 ลิตร

2. TE buffer (10 ml)

ประกอบด้วย	1 M Tris-HCl, pH 7.5	0.1 ml
	0.5 M EDTA	0.02 ml

ผสมสารละลายให้เข้ากัน และปรับปริมาตรให้เท่ากับ 10 ml ด้วยน้ำ DI

3. สาร Solution I (2 ml)

ประกอบด้วย	25% sucrose	0.8 ml
	1 M Tris-HCl, pH 8	0.05 ml
	0.5 M EDTA	0.04 ml

ผสมสารละลายให้เข้ากัน และปรับปริมาตรให้เท่ากับ 2 ml ด้วยน้ำ DI

4. สาร Solution II (2 ml)

ประกอบด้วย	25% sucrose	0.8 ml
	25% SDS	0.16 ml

ผสมสารละลายให้เข้ากัน และปรับปริมาตรให้เท่ากับ 2 ml ด้วยน้ำ DI

5. สาร Solution III (สาร 3 M potassium acetate pH 5.2) (100 ml)

ชั้งสาร potassium acetate 29.46 g ละลายในน้ำ DI 60 ml เติม glacial acetic acid 11.5 ml และใส่น้ำ DI 28.5 ml

6. สาร transformation buffer (100 ml)

ประกอบด้วย	PIPER	0.3 g
	CaCl ₂ ·2H ₂ O	0.22 g
	KCl	1.86 g

ใส่น้ำ DI (ที่ผ่านการ autoclave ฆ่าเชื้อแล้ว) 80 ml ทำการผสมสารละลายให้เข้ากัน และปรับ pH ให้เท่ากับ 6.7-6.8 ด้วย 5 N KOH และใส่ MnCl₂·4H₂O 1.09 g หลังจากนั้นทำการปรับปริมาตร ให้เท่ากับ 100 ml ด้วยน้ำ DI และทำการ sterilization ด้วยการกรอง

7. การเตรียมดีเอ็นเอมาตรฐาน

ในการศึกษาครั้งนี้ใช้ β-actin เป็นยีนอ้างอิง (internal reference) เพื่อเป็นตัวมาตรฐานในการวิเคราะห์เบริยนเทียบการแสดงออกของยีน MC4R ในอวัยวะต่างๆ ซึ่งมีการเตรียมดีเอ็นเอมาตรฐาน โดยใช้พลาสมิดที่มีชิ้นส่วนดีเอ็นเอ MC4R ด้าน 3' UTR ของปลาสติด (p3-MC4R) และพลาสมิดที่มีชิ้นส่วนดีเอ็นเอ β-actin ด้าน 3' UTR ของปลาสติด (p-Actin) ที่ทราบความเข้มข้นที่แน่นอนและทำการเจือจางดีเอ็นเอ

การเจือจางความเข้มข้น p3-MC4R

p3-MC4R	มีความเข้มข้น	353.4 ng/μl
MC4R 3'UTR	มีขนาดเท่ากับ	1060 base pair (bp)
pGEM T easy vector	มีขนาดเท่ากับ	3015 bp
ดังนั้น p3-MC4R	มีขนาดเท่ากับ	4075 bp

ต้องการเตรียมดีเอ็นเอมาตรฐานความเข้มข้น 10^{10} copies/μl โดยเตรียมให้มีความเข้มข้น 10 เท่า สุดท้ายเมื่อเตรียมอยู่ในปริมาตร 100 μl สารละลายพลาสมิดดีเอ็นเอจะมีความเข้มข้นเท่ากับ 10^{10} copies/μl

$$\begin{aligned}
 & \text{ชิ้งดีเอ็นเอ 1 bp} & \text{มีน้ำหนักเท่ากับ} & 1.1 \times 10^{-15} \mu\text{g} \\
 & \text{ดังนั้น p3-MC4R} & 1 \text{ copies มีน้ำหนัก} & = 4075 \text{ bp} \times 1.1 \times 10^{-15} \mu\text{g} \\
 & & & = 4.4825 \times 10^{-12} \mu\text{g} \\
 & \text{ถ้า p3-MC4R } 10^{10} \text{ copies มีน้ำหนัก} & & = 4.4825 \times 10^{-12} \times 10^{10} \mu\text{g} \\
 & & & = 44.825 \text{ ng/μl}
 \end{aligned}$$

ดังนั้นถ้าต้องการเตรียม p3-MC4R มีความเข้มข้น 10^{10} copies/μl ปริมาตร 100 μl

$$\begin{aligned}
 C_1 \times V_1 &= C_2 \times V_2 \\
 353.4 \text{ ng/μl} \times V_1 &= 44.825 \text{ ng/μl} \times 100 \mu\text{l}
 \end{aligned}$$

$$= 12.6839 \sim 12.684 \mu\text{l}$$

ใส่น้ำ DI 87.316 μl (เพื่อปรับปริมตรให้เท่ากับ 100 μl) และผสมให้สารละลายให้เข้ากันทำการเจือจางความเข้มข้นของ p3-MC4R ให้เป็นความเข้มข้น $10^9, 10^8, 10^7, 10^6, 10^5, 10^4, 10^3, 10^2, 10^1 \text{ copies}/\mu\text{l}$ ตามลำดับ

การเจือจางความเข้มข้น P-Actin

P-Actin	มีความเข้มข้น	3105.2 ng/ μl
β -actin	มีขนาดเท่ากับ	505 bp
pGEM T easy vector	มีขนาดเท่ากับ	3015 bp
ดังนั้น P-Actin	มีขนาดเท่ากับ	3520 bp

ต้องการเตรียมดีเอ็นเอมาตรฐานความเข้มข้น $10^{10} \text{ copies}/\mu\text{l}$ โดยเตรียมให้มีความเข้มข้น 10 เท่า สุดท้ายเมื่อเตรียมอยู่ในปริมาตร 100 μl สารละลายพลาสมิคดีเอ็นเอจะมีความเข้มข้นเท่ากับ $10^{10} \text{ copies}/\mu\text{l}$

ซึ่งดีเอ็นเอ 1 bp	มีน้ำหนักเท่ากับ	$1.1 \times 10^{-15} \mu\text{g}$
ดังนั้น P-Actin	1 copies มีน้ำหนัก	$= 3520 \text{ bp} \times 1.1 \times 10^{-15} \mu\text{g}$
		$= 3.872 \times 10^{-12} \mu\text{g}$
ถ้า P-Actin	10^{10} copies มีน้ำหนัก	$= 3.872 \times 10^{-12} \times 10^{10} \mu\text{g}$
		$= 38.72 \text{ ng}/\mu\text{l}$

ดังนั้นถ้าต้องการเตรียม P-Actin มีความเข้มข้น $10^{10} \text{ copies}/\mu\text{l}$ ปริมาตร 100 μl

$$\begin{aligned} C_1 \times V_1 &= C_2 \times V_2 \\ 3105.2 \text{ ng}/\mu\text{l} \times V_1 &= 38.72 \text{ ng}/\mu\text{l} \times 100 \mu\text{l} \\ &= 1.2469 \sim 1.25 \mu\text{l} \end{aligned}$$

ใส่น้ำ DI 98.72 μl (เพื่อปรับปริมตรให้เท่ากับ 100 μl) และผสมให้สารละลายให้เข้ากันทำการเจือจางความเข้มข้นของ P-Actin ให้เป็นความเข้มข้น $10^9, 10^8, 10^7, 10^6, 10^5, 10^4, 10^3, 10^2, 10^1 \text{ copies}/\mu\text{l}$ ตามลำดับ



การวิเคราะห์ Melting temperature (TM) curve

ตารางที่ ข. 1 ค่า Melting temperature (TM) curve ของยีน *TpMC4R* และยีน β -Actin ในอวัยวะต่าง ๆ

อวัยวะ	TM (°C)	
	TpMC4R	β -Actin
Telencephalon	89.73	83.81
Metencephalon	89.69	83.90
Mesencephalon	89.63	83.73
Diencephalon และ pituitary gland	89.92	83.28
Gill	90.02	83.73
Liver	89.86	83.81
Head kidney	89.89	83.64
Trunk kidney	89.55	83.54
Stomach	89.89	83.82
Intestine	89.95	83.82
Muscle	89.93	84.12
Spleen	90.00	83.74
Ovary	89.83	83.31
Testis	89.88	83.31

ตารางที่ ข. 2 ค่า Melting temperature (TM) curve ของดีเอ็นมาตรฐานชนิด *TpMC4R* (p3-MC4R)

Standard	Concentration	TM (°C)
water	0	0
MC4R 10(4)	10000	90.92
MC4R 10(5)	100000	90.92
MC4R 10(6)	1000000	90.89
MC4R 10(7)	10000000	90.9
MC4R 10(8)	1E+08	90.89
MC4R 10(9)	1E+09	91.62

ตารางที่ ข. 3 ค่า Melting temperature (TM) curve ของดีเอ็นมาตรฐานชนิด β -Actin (P-Actin)

Standard	Concentration	TM (°C)
Water	0	0
Actin 10(2)	100	84
Actin 10(3)	1000	83.78
Actin 10(4)	10000	83.89
Actin 10(5)	100000	83.66
Actin 10(6)	1000000	83.71
Actin 10(7)	10000000	83.72
Actin 10(8)	1E+08	83.74
Actin 10(9)	1E+09	83.79

การวิเคราะห์ว่าเรียนส์

1. การศึกษาการแสดงออกของ mRNA ของยีน *TpMC4R* ในอวัยวะต่าง ๆ

ตารางที่ ข. 4 การวิเคราะห์ว่าเรียนช์ระดับการแสดงออกของ mRNA ของยีน *TpMC4R* ในอวัยวะต่าง ๆ

Source	Sum of Squares	df	Mean Square	F	Sig.
Between Groups (ชนิดของอวัยวะ)	1.292	13	.099	19.106	.000
Within Groups (ความคลาดเคลื่อน)	.219	42	.005		
Total	1.511	55			

2. การศึกษาระดับการแสดงออกของ mRNA ของยีน *TpMC4R* ในระหว่างมื้ออาหาร (Daily feeding) ของการกินอาหารปกติ

ตารางที่ ข. 5 การวิเคราะห์ว่าเรียนช์ระดับการแสดงออกของ mRNA ของยีน *TpMC4R* ในระหว่างมื้ออาหารของสมองส่วน Telencephalon

Source	Sum of Squares	df	Mean Square	F	Sig.
Between Groups (ช่วงเวลาระหว่างมื้ออาหาร)	.084	3	.028	12.537	.000
Within Groups (ความคลาดเคลื่อน)	.036	16	.002		
Total	.119	19			

ตารางที่ ๖ การวิเคราะห์ว่าเรียนชี้ระดับการแสดงออกของ mRNA ของยีน *TpMC4R* ในระหว่างมื้ออาหารของสมองส่วน Mesencephalon

Source	Sum of Squares	df	Mean Square	F	Sig.
Between Groups (ช่วงเวลาระหว่างมื้ออาหาร)	.074	3	.025	73.294	.000
Within Groups (ความคลาดเคลื่อน)	.005	16	.000		
Total	.080	19			

ตารางที่ ๗ การวิเคราะห์ว่าเรียนชี้ระดับการแสดงออกของ mRNA ของยีน *TpMC4R* ในระหว่างมื้ออาหารของสมองส่วน Metencephalon

Source	Sum of Squares	df	Mean Square	F	Sig.
Between Groups (ช่วงเวลาระหว่างมื้ออาหาร)	.077	3	.026	39.935	.000
Within Groups (ความคลาดเคลื่อน)	.010	16	.001		
Total	.088	19			

ตารางที่ ข. 8 การวิเคราะห์ว่าเรียนชี้ระดับการแสดงออกของ mRNA ของยีน *TpMC4R* ในระหว่างมื้ออาหารของสมองส่วน Diencephalon

Source	Sum of Squares	df	Mean Square	F	Sig.
Between Groups (ช่วงเวลาระหว่างมื้ออาหาร)	.072	3	.024	41.359	.000
Within Groups (ความคลาดเคลื่อน)	.009	15	.001		
Total	.080	18			

3. การศึกษาระดับการแสดงออกของ mRNA ของยีน *TpMC4R* ในสภาวะการอดอาหาร (Fasting period)

ตารางที่ ข. 9 การวิเคราะห์ว่าเรียนชี้ระดับการแสดงออกของ mRNA ของยีน *TpMC4R* ในสภาวะการอดอาหารของสมองส่วน Telencephalon

Source	Sum of Squares	df	Mean Square	F	Sig.
Between Groups (ช่วงเวลาของการอดอาหาร)	.145	3	.048	5.752	.007
Within Groups (ความคลาดเคลื่อน)	.135	16	.008		
Total	.280	19			

ตารางที่ ข. 10 การวิเคราะห์ว่าเรียนชี้ระดับการแสดงออกของ mRNA ของยีน *TpMC4R* ในสภาวะการอดอาหารของสมองส่วน Mecencephalon

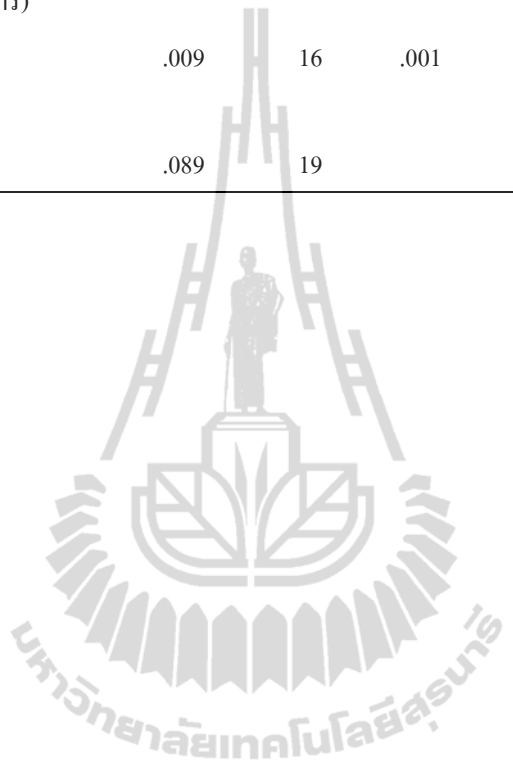
Source	Sum of Squares	df	Mean Square	F	Sig.
Between Groups (ช่วงเวลาของการอดอาหาร)	.082	3	.027	7.580	.002
Within Groups (ความคลาดเคลื่อน)	.057	16	.004		
Total	.139	19			

ตารางที่ ข. 11 การวิเคราะห์ว่าเรียนชี้ระดับการแสดงออกของ mRNA ของยีน *TpMC4R* ในสภาวะการอดอาหารของสมองส่วน Metencephalon

Source	Sum of Squares	df	Mean Square	F	Sig.
Between Groups (ช่วงเวลาของการอดอาหาร)	.033	3	.011	7.481	.002
Within Groups (ความคลาดเคลื่อน)	.024	16	.001		
Total	.057	19			

ตารางที่ ข. 12 การวิเคราะห์ว่าเรียนช์ระดับการแสดงออกของ mRNA ของยีน *TpMC4R* ในสภาวะการอดอาหารของสมองส่วน Diencephalon

Source	Sum of Squares	df	Mean Square	F	Sig.
Between Groups (ช่วงเวลาของการอดอาหาร)	.081	3	.027	49.659	.000
Within Groups (ความคลาดเคลื่อน)	.009	16	.001		
Total	.089	19			



4. การศึกษาผลของ MC4R antagonist (HS024) ต่ออัตราการกินไข่ของปลาสลิด

ตารางที่ ข. 13 การวิเคราะห์ว่าเรียนช์ผลของ MC4R antagonist ต่ออัตราการกินไข่ของปลาสลิด

Hour	Source	Sum of Squares	df	Mean Square	F	Sig.
1h	Between Groups (ระดับการรีด HS024)	6.873	3	2.291	.482	.698
	Within Groups (ความคลาดเคลื่อน)	114.071	24	4.753		
	Total	120.944	27			
2h	Between Groups (ระดับการรีด HS024)	437.203	3	145.734	.733	.543
	Within Groups (ความคลาดเคลื่อน)	4774.523	24	198.938		
	Total	5211.726	27			
3h	Between Groups (ระดับการรีด HS024)	871.417	3	290.472	.461	.712
	Within Groups (ความคลาดเคลื่อน)	15130.239	24	630.427		
	Total	16001.655	27			
4h	Between Groups (ระดับการรีด HS024)	4812.774	3	1604.258	1.221	.324
	Within Groups (ความคลาดเคลื่อน)	31542.338	24	1314.264		
	Total	36355.112	27			

ตารางที่ ข. 13 การวิเคราะห์ว่าเรียนซึ่งผลของ MC4R antagonist ต่ออัตราการกินได้ของปลาสลิด (ต่อ)

Hour	Source	Sum of Squares	df	Mean Square	F	Sig.
5h	Between Groups (ระดับการรีด HS024)	6006.946	3	2002.315	1.325	.289
	Within Groups (ความคลาดเคลื่อน)	36270.263	24	1511.261		
	Total	42277.209	27			
6h	Between Groups (ระดับการรีด HS024)	6177.640	3	2059.213	1.225	.322
	Within Groups (ความคลาดเคลื่อน)	40351.444	24	1681.310		
	Total	46529.085	27			
7h	Between Groups (ระดับการรีด HS024)	5737.781	3	1912.594	1.019	.402
	Within Groups (ความคลาดเคลื่อน)	45062.183	24	1877.591		
	Total	50799.965	27			
8h	Between Groups (ระดับการรีด HS024)	4909.744	3	1636.581	.740	.539
	Within Groups (ความคลาดเคลื่อน)	53068.255	24	2211.177		
	Total	57977.999	27			
9h	Between Groups (ระดับการรีด HS024)	4581.469	3	1527.156	.735	.541
	Within Groups (ความคลาดเคลื่อน)	49861.378	24	2077.557		
	Total	54442.847	27			

ตารางที่ ข. 13 การวิเคราะห์ว่าเรียนซึ่งผลของ MC4R antagonist ต่ออัตราการกินไข้ของปลาสกิด (ต่อ)

Hour	Source	Sum of Squares	df	Mean Square	F	Sig.
10h	Between Groups (ระดับการน้ำ HS024)	6408.630	3	2136.210	.914	.449
	Within Groups (ความคลาดเคลื่อน)	56123.428	24	2338.476		
	Total	62532.058	27			
11h	Between Groups (ระดับการน้ำ HS024)	7762.516	3	2587.505	.943	.435
	Within Groups (ความคลาดเคลื่อน)	65825.804	24	2742.742		
	Total	73588.320	27			
12h	Between Groups (ระดับการน้ำ HS024)	8273.520	3	2757.840	.974	.421
	Within Groups (ความคลาดเคลื่อน)	67942.723	24	2830.947		
	Total	76216.243	27			

5. การศึกษาผลของการฉีด MC4R antagonist (HS024) ต่อการแสดงออกของ mRNA ของยีน *TpMC4R*

ตารางที่ ข. 14 การวิเคราะห์ว่าเรียนซ์ผลของการฉีด MC4R antagonist (HS024) ต่อการแสดงออกของ mRNA ของยีน *TpMC4R* หลังจากการฉีด 4 ชั่วโมง

Source	Sum of Squares	df	Mean Square	F	Sig.
Between Groups (ระดับการฉีด HS024)	.002	3	.001	1.098	.373
Within Groups (ความคลาดเคลื่อน)	.012	20	.001		
Total	.014	23			

ตารางที่ ข. 15 การวิเคราะห์ว่าเรียนซ์ผลของการฉีด MC4R antagonist (HS024) ต่อการแสดงออกของ mRNA ของยีน *TpMC4R* หลังจากการฉีด 8 ชั่วโมง

Source	Sum of Squares	df	Mean Square	F	Sig.
Between Groups (ระดับการฉีด HS024)	.002	3	.001	1.998	.147
Within Groups (ความคลาดเคลื่อน)	.006	20	.000		
Total	.008	23			

ตารางที่ ข. 16 การวิเคราะห์ว่าเรียนซ์ผลของการนีด MC4R antagonist (HS024) ต่อการแสดงออกของ mRNA ของยีน *TpMC4R* หลังจากการนีด 12 ชั่วโมง

Source	Sum of Squares	df	Mean Square	F	Sig.
Between Groups (ระดับการนีด HS024)	.001	3	.000	1.915	.160
Within Groups (ความคลาดเคลื่อน)	.005	20	.000		
Total	.007	23			

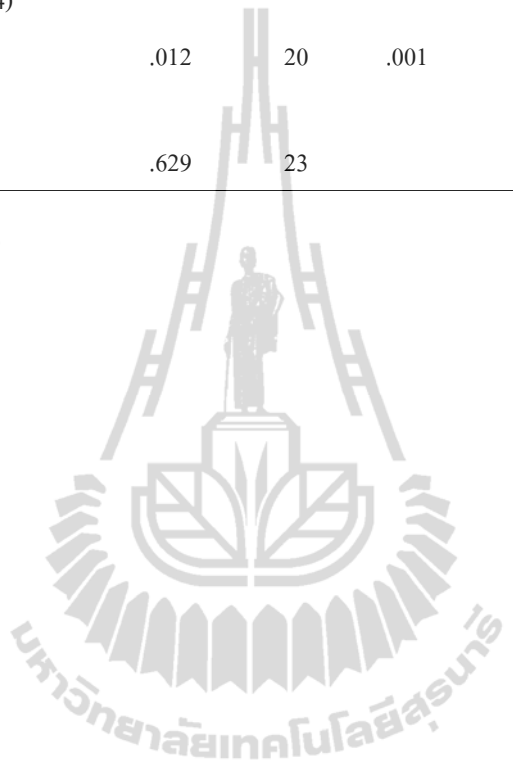
6. การศึกษาผลของการแข่งขันในสาร MC4R antagonist (HS024) ในระดับต่าง ๆ ต่อการแสดงออกของ mRNA ของยีน *TpMC4R*

ตารางที่ ข. 17 การวิเคราะห์ว่าเรียนซ์ผลของการแข่งขันในสาร MC4R antagonist (HS024) ในระดับต่าง ๆ ต่อการแสดงออกของ mRNA ของยีน *TpMC4R* หลังจากการแข่งขัน 2 ชั่วโมง

Source	Sum of Squares	df	Mean Square	F	Sig.
Between Groups (ระดับของการแข่งขัน HS024)	.002	3	.001	2.486	.090
Within Groups (ความคลาดเคลื่อน)	.006	20	.000		
Total	.008	23			

ตารางที่ ข. 18 การวิเคราะห์ว่าเรียนซึ่งผลของการแข่งขันในสาร MC4R antagonist (HS024) ในระดับต่าง ๆ ต่อการแสดงออกของ mRNA ของยีน *TpMC4R* หลังจากการแข่งขัน 4 ชั่วโมง

Source	Sum of Squares	df	Mean Square	F	Sig.
Between Groups (ระดับของการแข่งขัน HS024)	.617	3	.206	354.080	.000
Within Groups (ความคลาดเคลื่อน)	.012	20	.001		
Total	.629	23			



ประวัติผู้เขียน

นางสาวอารยา แจ้งไพร กิจเมื่อวันที่ 22 พฤษภาคม พ.ศ. 2527 ที่จังหวัดนราธิวาส เริ่ม
ศึกษาขั้นปฐมศึกษาที่โรงเรียนบ้านวัดหลักร้อย และขั้นมัธymศึกษาที่โรงเรียนโกราชพิทยาคม
อำเภอเมือง จังหวัดนราธิวาส และสำเร็จการศึกษาระดับปริญญาตรี สาขาวิชาเทคโนโลยีการผลิต
สัตว์ มหาวิทยาลัยเทคโนโลยีสุรนารี จังหวัดนราธิวาส เมื่อปี พ.ศ. 2549 และได้เข้าศึกษาต่อใน
ระดับปริญญาโท สาขาวิชาเทคโนโลยีการผลิตสัตว์ มหาวิทยาลัยเทคโนโลยีสุรนารี ในปีการศึกษา
2550

